

**Die Expedition ARKTIS II
des FS „Polarstern“ 1984
mit den Beiträgen des FS „Valdivia“ und des
Forschungsflugzeuges „Falcon 20“
zum Marginal Ice Zone Experiment 1984 (MIZEX)**

von

Ernst Augstein, Gotthilf Hempel, Joachim Schwarz, Jörn Thiede,

Wilfried Weigel

unter Mitarbeit der Expeditionsteilnehmer

**Berichte zur Polarforschung Nr. 20/Dezember 1984
Reports on Polar Research No. 20/December 1984**

ZUSAMMENFASSUNG

Dieses Heft enthält den Fahrbericht über die zweite Arktisreise des FS "Polarstern" sowie die Beiträge des FS "Valdivia" und des Forschungsflugzeuges "Falcon 20" zum MIZEX. Das Forschungskonzept, der Reiseverlauf und die Durchführung der einzelnen Forschungsprojekte werden geordnet nach Fahrtabschnitten erläutert. Listen der Fahrtteilnehmer, der beteiligten Institute, der ozeanographischen und der biologischen Stationen vervollständigen die Darstellung.

SUMMARY

This booklet contains the report of the second cruise of R.V. "Polarstern" into the Arctic and of the contributions of R.V. "Valdivia" and the research aircraft "Falcon 20" to MIZEX. The research projects, the cruise events and the conduction of the research work is outlined for all of the five cruise legs. Tables of the participants, the participating institutions, the oceanographic and biological stations complete the text.

I N H A L T
C O N T E N T S

	Seite page
Einleitung	6
Introduction	7
1. Icebreaking trials with the R.V. "Polarstern", ARK II/1	8
1.1 Introduction	8
1.2 Narrative	9
1.3 Reports of the individual groups	10
2. The Marginal Ice Zone Experiment (MIZEX) 1984	21
2.1 Second cruise leg of R.V. "Polarstern", ARK II/2	22
2.1.1 Cruise events	22
2.1.2 Coordination of the different programmes on board	25
2.1.3 Weather information	25
2.1.4 The individual programmes	26
2.2 The meteorological programme of the "Falcon 20"	44
2.2.1 The instrumentation of the aircraft	44
2.2.2 The flight programme	46
2.3 Cruise report of R.V. "Valdivia"	51
2.3.1 Narrative	51
2.3.2 The individual programmes	53

3.	Wassermassen in der Fram-Straße und im Nordpolarmeer, ARK II/3	60
	Water masses in Fram Strait and in the Arctic Ocean, ARK II/3	
3.1	Aufgaben	60
3.2	Reiseverlauf Longyearbyen - Tromsö 19. Juli bis 8. August 1984	62
3.1 a	Objectives	65
3.2 a	Cruise report: Longyearbyen - Tromsö (July 19 to August 8, 1984)	66
3.3	Weather situation between 20.7. and 6.8.1984	69
3.4	Chemical and physical oceanography	70
3.5	Large volume seawater radiochemistry	71
3.6	Radon daughters in Arctic air	74
3.7	Freon studies	75
3.8	Sea ice measurements	76
3.9	Phytoplankton	79
3.10	The distribution and ecophysiology of Arctic zooplankton	80
3.11	Birds and mammals	83
3.12	Squid fishing in the High Arctic	85
	Biological station list ARK II/3	86
4.	Geologie, ARK II/4	95
4.1	Wissenschaftliches Arbeitsprogramm	95
4.2	Bericht über den Reiseverlauf	97
4.3	Berichte der Arbeitsgruppen und erste Ergebnisse	101

**Seite
page**

5.	Geophysik und Geologie am Jan-Mayen-Rücken, ARK II/5	113
5.1	Wissenschaftliche Zielsetzung	113
5.2	Zeitlicher Ablauf der Arbeiten	115
5.3	Berichte der Arbeitsgruppen	118
	Stationsliste (list of stations)	130
	Beteiligte Institute (participating institutions)	183
	Liste der Fahrtteilnehmer (participants)	189

EINLEITUNG

FS "Polarstern" hat während seiner zweiten Arktisreise vom 10. Mai bis 20. September 1984 in fünf Fahrtabschnitten unterschiedliche Forschungsprojekte durchgeführt.

Zunächst wurden schiffstechnische Untersuchungen im Meereis der Labrador-See vorgenommen, um die dem Bau des Schiffes zugrundeliegenden Modellannahmen zu überprüfen. Danach diente "Polarstern" als eisbrechende Plattform für physikalische, chemische und biologische Programme sowie als Koordinierungszentrale des Marginal Ice Zone Experimentes 1984 (MIZEX) in der Grönlandischen See. Die biologischen und ozeanographischen Arbeiten wurden im dritten Abschnitt besonders unter dem Aspekt des Wassermassen austausches zwischen dem Arktischen und Atlantischen Ozean in der Grönlandischen See fortgesetzt. Geologisch-sedimentologische Studien in der Grönlandischen und Norwegischen See bildeten den Schwerpunkt der vierten Phase dieser Reise. Diese Forschungen wurden auch im letzten Teilabschnitt - ergänzt um umfangreiche seismische Messungen im Bereich des Jan-Mayen-Rückens - weitergeführt.

Während der gesamten Expedition arbeiteten Wissenschaftler und Techniker aus mehreren deutschen und ausländischen Instituten gemeinsam auf dem Schiff. Die Meßprogramme wurden während der ersten drei Phasen durch Hubschrauber unterstützt. Sowohl die Eisbrechversuche als auch die multidisziplinären Forschungsprogramme der anderen Abschnitte stellten an alle Beteiligten hohe Anforderungen. Der Erfolg der wissenschaftlichen Untersuchungen beruht jedoch zu einem großen Teil auf dem rückhaltlosen Einsatz des Brücken-, Maschinen- und Deckpersonals des Schiffes sowie der Hubschraubermannschaft. Ihnen allen, insbesondere aber dem Kapitän und dem Leitenden Ingenieur des FS "Polarstern" schulden die an Bord arbeitenden Wissenschaftler großen Dank für die ihnen gewährte wirkungsvolle Unterstützung.

Die deutschen Projekte wurden neben den Beiträgen der beteiligten Institutionen vor allem durch den Bundesminister für Forschung und Technologie und die Deutsche Forschungsgemeinschaft gefördert.

In den folgenden Berichten werden die Programme und der Ablauf der Untersuchungen der "Polarstern"-Expedition dargestellt. Wegen des engen sachlichen Zusammenhangs sind im zweiten, dem MIZEX-Abschnitt, auch die Arbeiten des Forschungsschiffes "Valdivia" und des Forschungsflugzeuges "Falcon 20" berücksichtigt.

In Anbetracht der intensiven Teilnahme ausländischer Gruppen vor allem an den ersten drei Fahrtabschnitten sind die betreffenden Kapitel in englischer Sprache abgefaßt.

INTRODUCTION

Various research projects have been conducted during the five legs of the second "Polarstern" cruise into the Arctic from 10 May to 20 September 1984.

The first phase was primarily devoted to technical studies of the ship's hull, engine and propulsion system under different ice conditions in the Labrador Sea. Then "Polarstern" served as an icebreaking platform for physical, chemical and biological programmes and as the coordination centre of the Marginal Ice Zone Experiment 1984 (MIZEX) in the Greenland Sea. The biological and oceanographic measurements were extended into the third phase with special emphasis on the water mass exchange between the Arctic and Atlantic Oceans. Geological-sedimentological studies had the priority during the fourth leg which covered parts of the Greenland and Norwegian Sea. These measurements - completed by an extensive seismological programme - were continued in the area of the Jan Mayen Ridge during the last part of the expedition.

During the entire voyage scientists and technicians from several German and foreign institutions have been involved in the operations. The shipborne measurements were extended by helicopter during the first three legs. The multidisciplinary programmes of all cruise legs demanded concentrated efforts of all participants. But a major contribution to the success of the research work resulted from the outstanding support through the ship's and helicopter crews. The on board working scientists are very grateful to all of them but primarily to the captain and to the chief engineer of "Polarstern" for their valuable assistance.

The German projects have been funded beyond the contribution of the participating institutions by the Bundesminister für Forschung und Technologie and the Deutsche Forschungsgemeinschaft.

In the subsequent paragraphs the programmes and the events of the the entire "Polarstern" cruise are delineated. Since the work of the R.V. "Valdivia" and the research aircraft "Falcon 20" are closely interrelated with "Polarstern's" MIZEX investigations their reports are included in the MIZEX part of this booklet.

The language of the report is partly in German and partly in English, depending on the extent of non-German participation during the different legs.

1. ICEBREAKING TRIALS WITH THE R.V. "POLARSTERN"

First Cruise Leg of R.V. "Polarstern": Arktis II/1

Chief Scientist: Joachim Schwarz (HSVA)*

1.1 Introduction

The first part of the Arctic II Expedition from 10 May to 10 June 1984 was mainly dedicated to technical investigations of the R. V. "Polarstern" during icebreaking manoeuvres.

Until twenty years ago, the design and construction of icebreaking ships was purely a matter of experience. Increasing explorations of natural resources in Arctic regions made it necessary to develop icebreaking technology of ships in a more systematic way including ice model tests. The Hamburgische Schiffbau-Versuchsanstalt (HSVA) is operating such test facilities since 1972 which were applied to determine the hull shape and other ice-breaking features of "Polarstern". Since certain semiempirical functions are needed to transfer the model results to the full scale version, icebreaking research has still to be conducted in the field in order to test the validity of transfer functions.

The Germanischer Lloyd (GL) had to ensure that "Polarstern" was designed and built according to international regulations which guarantee safe operation in heavy ice conditions. These regulations are largely based on experience rather than on scientific research. Therefore, trials with the full scale version also help to broaden the basis of judgement of classification societies responsible for icebreaker licences.

Besides the HSVA, the GL, The Technical University of Hamburg-Harburg (TUHH), and the German Hydrographic Institute (DHI) engineers from German shipyards and shipping companies joined this cruise in order to carry out icebreaker related research. Since "Polarstern" fails the Canadian Arctic Shipping Pollution Prevention Regulations (CASPPR) by approx. 5 % with respect to the hull thickness in the aftbody, the Canadian Government was not in a position to accept the ship's test to be carried out in the Davis Strait. Fortunately, this year the ice along the Labrador Coast was much thicker than normally so that the coastal region near Hebron which does not fall under the restrictions of CASPPR was chosen instead. In the framework of international cooperation, scientists of Canada, the United States of America and the Soviet Union were invited to participate in the expedition. The Soviet colleagues were unable to join the cruise, but

* For acronyms of institutes see under "Beteiligte Institute"

three participants from the United States (Cold Regions Research and Engineering Laboratory (CRREL) and eleven persons from Canada (National Research Council (NRC) - 3, Canadian Coast Guard - 2, Atmospheric Environmental Service (AES) - 4, Transport and Development Center - 1, Office of Northern Affairs - 1) worked on the ship. Additionally, three Inuits from Nain assisted us in our research.

1.2 Narrative

Sensors and instruments were installed already on "Polarstern" during a two week docking period in Bremerhaven. On May 10, 1984, the R. V. "Polarstern" departed from Bremerhaven and headed for Nain, Labrador. After crossing the North Sea in fair weather, bow winds up to 8 Bft prevailed from the Pentland Firth to the Labrador coast. During this part of the voyage, tests were carried out on the performance of the newly developed turbo-chargers manufactured by Klöckner-Humboldt-Deutz.

The pack ice edge was reached on 17 May at 57°31'N 57°58'W. In the outer region of the drift ice belt the ice coverage was up to 8/10. Nevertheless, "Polarstern" could be navigated with full power at a speed of 10 - 11 knots. On the afternoon of 17 May the ice conditions became heavy. A reconnaissance flight with the helicopter disclosed that the remaining distance to our destination (70 nm) consisted of compressed, ridged pack ice with a few open leads. Under these ice conditions the average speed dropped to 3 knots. Occasionally, "Polarstern" even came to a standstill.

On the morning of 18 May, when "Polarstern" was still approx. 20 nm off the fast ice edge, a helicopter shuttle to Nain was arranged to bring the guest scientists and their gear on board.

The chief scientist flew to Nain to explain the purpose of the expedition to the Inuits. The mayor of Nain, Mr. Anderson, specified the area around the Hebron Fjord (80 - 100 nm north of Nain) for our icebreaker trials. The test programme was carried out from 19 to 30 May. The level ice in this area was 0.7 m to 1.4 m thick, in some parts the ice was heavily ridged and at some locations multi-year ice floes were incorporated in the refrozen pack ice. Because of air temperatures around 0°C the ice was unfortunately quite weak (the flexural strength was 250 kPa, normally it should be 500 kPa).

The weather was generally fair and mostly sunny; only on two days the helicopters were unable to fly due to low visibility (snow storms).

On 30 May the Canadian and American colleagues, the Inuits, and the television team were transferred by helicopter to the nearby Saglek airfield.

On 30 May at noon "Polarstern" left the area for Tromsö, Norway. The ice belt was still approx. 100 nm wide but not as dense as on the way to Nain. Therefore, "Polarstern" managed to cross the ice belt within 34 hours with six hours of additional testing in a large level ice floe and also impact tests against a large multi-year ice floe.

During the voyage to Tromsö most of the scientific equipment was dismounted and the data analysis was started. The weather was mostly sunny with the exception of the southeast of Greenland where dense fog and drift ice from the East Greenland Stream caused some delay. In the morning of 10 June "Polarstern" arrived in the harbour of Tromsö, where the scientific crew disembarked.

1.3 Reports of the individual groups

1.3.1 Model to full scale correlation for navigating in ice (HSVA)

Full scale trials were planned for level and broken ice conditions as well as for ice ridges.

A suitable but rather weak level ice cover was found in the entrance of the Hebron Fjord, Labrador. Ice thicknesses between 0.75 m and 1.4 m were registered, whereby a slush layer was enclosed in the thicker ice near the surface leading to a decrease in ice strength.

More than twenty test runs at various power levels were conducted in level ice to investigate the icebreaking performance of "Polarstern". The results of these trials are collected as a relationship of power, speed and ice thickness valid for weak spring ice of less than 250 kPa bending strength. For example: A 1.3 m thick ice cover was broken at a speed of 5.5 kn under a power consumption of approx. 12000 kW.

The performance of "Polarstern" in broken ice was investigated mainly when the ship returned through the channel of broken level ice. The results showed a remarkably small reduction in speed compared with open water values.

In order to determine the ridge breaking capability of the ship, four ridges of different sizes situated in undisturbed level ice areas were selected. Their geometry and the degree of consolidation were determined before the breaking started.

Several attacks were necessary to break through these ridges. "Polarstern" passed the largest ridge (approx. 26 m total thickness) with her midship section on the ninth attack.

Besides the penetration speed and penetration distance also the ship motions, i.e. pitch and roll angles as well as the deceleration were recorded. These data form a basis for the estimation of forces acting on the ship during the ride up on to the ridge.

1.3.2 Performance of the air-water-jet system, Intereng-tank system and transverse thrusters while navigating in ice (HSVA, JAST)

The air-water-jet system, Intereng-tank system and the transverse thrusters were tested in order to evaluate their efficiency and reliability when the ship navigates in ice.

The air-water-jet system reduces the frictional resistance in snow covered ice. It has water intakes for the pumps in the forepart of the ship's bottom. The trials showed that the water intakes become blocked in level and pack ice. This also happens in broken ice for short periods of time.

Therefore, tests of the air-water-jets were limited to conditions of regular floe ice covered with wet snow. Their application lead to a speed increase from 7.6 kn to 8.5 kn with a fixed pitch of 13° and a propeller-thrust reduction of 10 - 15 %.

To improve the system for heavy ice conditions the position of the water intakes must be changed. Two solutions seem to be favourable: Either to install a seabox in the lowest part of the deadwood or to move the water intake into the bow thruster channel. The second alternative could be combined with a shifting of the pumps into the bow thruster room.

The Intereng-tank system is installed for roll damping. In heavy ice it can be used to free the ship when it gets stuck. The investigations indicated that the shifted water volume effects the freezing process. The shifting speed seems to have no influence on the icebreaking performance itself. A higher shifting speed will increase the cracking rate. It can be achieved easily by minor modifications of the control system.

The transverse thrusters are used in open water and in broken ice. In the latter case ice blockage at the water intakes can occur. Ice particles on the intake grid may cause a propeller thrust three times higher than in open water, without changing the force on the ship. These effects lead to a power overload, heavy cavitations and vibrations even with reduced pitch. The

automatic pitch reduction prevents overload of the motors in most cases but does not control the thrust overload of the propeller and the breakdown of the thruster's effect.

1.3.3 Ice loads acting on the ship's hull (GL)

The actual icebreaker specifications in Germany are based on empirical and semiempirical data gained from ice navigation in the Baltic Sea. How good these specifications apply to Arctic ice conditions was one of the objectives of the expedition. For this purpose strain gauges were applied to a longitudinal frame in the bow area on the portside just below the waterline. Additionally, displacement transducers were installed in the engine room to measure the compression of the hull under ice loads.

The ice loads acting on a ship's hull depend mainly on the ice conditions encountered. Other influences are the hull's shape, especially the bow, and the ship's speed. The following ice conditions are relevant for the dimensioning of icegoing vessels:

- one-year level ice
- pack ice containing floes of different sizes and strengths
- ridges.

A first evaluation of the data shows a relatively low stress level corresponding to an ice pressure of about 0.5 MPa under these conditions. Considerably higher loads were measured during impacts with multi-year ice floes which are much harder than normal sea ice due to their low salinity content. Additionally, a considerably larger thickness can be expected compared to first year level ice.

The impact recorded during the icebreaker trials led to an equivalent uniform load of about 4 MPa. The bow area of "Polarstern" is designed to withstand a pressure of 9.5 MPa according to class Arc. 7. The technical experiments, however, were carried out in a region where only class Arc 3 with a design pressure of 5.5 MPa for the bow area is required.

1.3.4 Ice impact and frictional forces at the forebody of "Polarstern" (HSVA)

The friction between the ship's hull and sea ice significantly contributes to the resistance in icebreaking. Also the impact forces on the ship's hull are important for the construction design of the ship and for its safety. Since only a little knowledge exists on both subjects, newly developed triaxial force measuring devices have been installed in the forebody of "Polarstern" in plane with the hull below the waterline to study

hull friction and impact forces. Each array has a size of 1.4 m x 0.8 m and is equipped with four load cells which allow the measurement of normal and tangential force components.

Measurements have been performed under following ice conditions:

- level ice of different thicknesses and strengths
- broken ice of different coverages
- multi-year ice floes
- pressure ice ridges.

First analyses of the normal forces due to level ice show lower values than stated in the classification regulations. In contrast to this result remarkably high impact forces have been measured in multi-year ice conditions. During the last run one load cell was even destroyed.

The friction coefficients will be derived from the ratio of tangential and normal forces.

1.3.5 Ice loads on propeller nozzles (GL)

Propeller nozzles protect the propellers against impact forces and they increase the thrust.

During icebreaking manoeuvres the nozzles have to withstand ice floe impacts mainly in the alongside direction, i.e. the strong axis of the nozzle structure. Significant loadings in the lateral direction can occur due to freeze in and due to the impact of ice floes.

With respect to ice loads "Polarstern" has been designed on the basis of model values without any verification of the full scale version. Therefore, large safety factors were considered for the dimensioning of all structural members, as damage to the nozzles could result in a complete failure of the propulsion plant, which is a considerable risk for ships in polar regions. Therefore, it was an essential part of this ice-breaking related research voyage to measure the actual ice loads on the propeller nozzles.

Several strain gauges had been installed at the starboard nozzle at such positions where according to theory large stresses were expected. These gauges as well as all cables were protected against ice impacts by specially shaped steel plates.

A comprehensive data set was recorded under various ice conditions. The first analysis indicates that the loads on the nozzles were relatively low due to the ice conditions encountered. Although valuable information can be deducted from the experimental results no information is obtained on the possible maximum loads.

1.3.6 Ice effects on the propulsion system (GL)

The propulsion unit of an icebreaker is exposed to frequent load changes particularly during repeated ahead and astern manoeuvres in heavy pack ice. Besides the stresses due to these load changes the system has to withstand ice floes which get into the propeller blades. In such cases the propeller RPM is abruptly reduced and the speed governor of the main engines respond so that the actuating rods of the injection pumps are set to the maximum position. When the governors touch their stops, the automatic control system reduces the pitch of the propeller to relieve the engines. As a result, the torque of the shafting system and the exhaust gas temperatures of the engines increase. However, so far the temperatures have not reached critical values. Any ice impact or sequence of impacts within a very short period of time result in a sudden torsion variation of the shafting system. The spontaneous load decrease when the propeller rotates freely again leads to an abrupt increase of the propeller RPM. Because of the inertia of the engine governors the speed limit of the engine is exceeded. In order to avoid stalling of the engine due to overspeed, the vessel was operated at reduced RPM under heavy ice conditions. During the RPM overshooting of the intake air pressure increases temporarily while the temperature remains more or less constant.

1.3.7 Model to full scale correlation of manoeuvring tests in ice (HSVA)

The correlation between ship model and full-scale manoeuvring tests is a fundamental problem in ship hydrodynamics, which is not yet completely solved even for open water conditions. Practically no data exist for the manoeuvring in various ice conditions.

During the arctic expedition of "Polarstern" extensive manoeuvring tests have been carried out in different level ice conditions and in open water. During these tests the rudder and course angle have been measured as well as the longitudinal and transversal ship velocity, the ship's position in an Earth coordinate system, the rudder shaft torque and all significant engine parameters. For these purposes the integrated ship navigation system INDAS was of valuable assistance.

Most of these tests were standardized zig-zag manoeuvres with different rudder angles, but several turning circles have been performed as well. The torque measurements at the rudder shaft can also be used for the rudder design of icebreaking ships.

The next step in the correlation study is to perform corresponding manoeuvring tests with a 1 : 18 scale model of "Polarstern" in the towing tanks of HSVA in open water and under different ice conditions as tested in full scale.

1.3.8 Temperature distribution and stresses due to low temperatures (GL)

All structural parts of "Polarstern" which may be exposed to very low temperatures - i. e. hull, decks and superstructure - are made of fine grain steel (grade E) which has a good ductility even at low temperatures. Grade-E-steel is often used for thick plates of the outer shell for icegoing ships, but usually not for their superstructures. From an economic point of view, the use of fine grain steel should be reduced to a minimum. Therefore, the actual temperature distributions and the corresponding stresses on the structure must be accurately known.

The stresses occurring in the superstructure of icegoing ships can be divided into the following components:

- static stress due to longitudinal strength and temperature gradients
- dynamic components due to seaway
- dynamic components due to ice impacts
- dynamic components due to possible steady state vibrations.

In order to investigate the stresses in the deckhouse a window in the sidewall forward end of the superstructure was instrumented with strain gauges since rather extreme values could be expected there. The measurements indicated that indeed all dynamic components were in fact present at a considerably high level. For example, a distinct longitudinal vibration of the superstructure was observed at a frequency of 3 Hz caused by ice floes as well as by slamming.

Stresses created by temperature gradients could not be measured under the given weather conditions. Therefore, long term measurements over a time period of approx. 2 years will be carried out in the Antarctic and Arctic. Of special interest are results from simultaneous occurrences of low temperatures and high stresses.

1.3.9 Mechanical Properties of sea ice (NRC)

Measurements were made on mechanical properties of ice in the area in which the icebreaking trials were conducted. The ice types encountered included granular (frazil), columnar-grained and aligned columnar-grained first-year sea ice. The ice cover was quite warm (- 2°C) and had already undergone some brine drainage. Measured salinities were 1 - 2 ppt.

Large blocks of ice (approximately 1 m cubes) were recovered onto the vessel and taken to the on board cold laboratory for specimen preparation and testing. Measurements of shear strength as a function of test conditions, ice type and temperature were carried out giving values in the range of 500 to 800 kPa. Uniaxial and biaxial compressive strengths were determined as a function of strain rates for selected ice types and temperatures. In the case of columnar ice at - 2° C and a strain rate of 2×10^{-4} 1/s the uniaxial compressive strength of horizontal and vertical specimens was 1 and 7 MPa. With this information it was possible to establish the failure envelope of this ice type. Strains were also measured on the specimen for some of the uniaxial compression tests. Over 100 tests were performed. Analysis of the results is continuing.

1.3.10 Geometry and consolidation of pressure ridges (HSVA)

Since one of the goals of the icebreaking related research voyage was the evaluation of the ship's ability to break through ice ridges, it was mandatory to establish the geometry and the degree of consolidation of all tested ridges.

The ridge profile above sea water level was established by measuring the elevation of the ice cover at about 45 locations of a grid by using the electronical tachymeter ZEISS SM 4. The determination of the ridge keel depth was performed at each established grid location by drilling bore holes and measuring the depth.

The degree of consolidation was estimated by a bore hole jack which was lowered into 6 bore holes near the ridge sail. In steps of 0.5 m depth, pressure was applied to the load plates of the bore hole jack until the surrounding ice failed. The measured failure load indicated the consolidation of the ridge material.

Alltogether, four different ridges were investigated. The sail heights varied between 1.6 m and 4.3 m and the keel depths were in the range of 7.0 m to 22.0 m. The consolidated ice thickness varied between 1.2 m and 1.5 m.

1.3.11 Crystal structure and salinity characteristics of sea ice (CRREL)

These studies, conducted during the period 20 May to 26 May 1984, included ice sampling at 11 separate sites, nine of which were located in Hebron Fjord. Sea ice in Hebron Fjord and vicinity is composed principally of columnar type ice formed by direct freezing (congelation) of sea water to the underside of the ice

sheet. Varying degrees of c-axis alignment were observed. No measurements of currents beneath the ice were made. However, in those cores where moderate to strong alignments occurred, the latter were found to parallel the coastal outlines and/or the inferred directions of ocean currents in Hebron Fjord. This would further confirm earlier conclusions based on studies in the Arctic and Antarctica that the orientation textures in sea ice are controlled by the direction of the currents at the ice-water interface. Salinity profiles indicate that the ice in Hebron Fjord had undergone significant desalination prior to sampling in late May. Ice thicknesses did not exceed 120 cm (thicknesses of up to 140 cm were recorded at some locations by other researchers involved in the icebreaking trials) and evidence from salinity profiles and ice bottom examinations of cores all indicate that the ice sheet in Hebron Fjord had undergone appreciable bottom melting prior to our arrival. During the latter stages of the cruise sustained warm weather led to widespread surface flooding and rapid deterioration of the ice both in- and outside Hebron Fjord. Multi-year ice appears to be of strictly limited occurrence in the region of the Labrador Coast encompassed by this cruise.

1.3.12 Friction coefficient between ice and various steel surfaces (CRREL, NRC)

The dynamic friction factor between sea-ice samples and various surfaces was measured in the zone of the ship trials. Primarily a steel sheet coated with Inerta 160 was taken to represent the ship's hull and bare steel sheets of two different roughnesses.

The friction test table was specially constructed by the Hamburgerische Schiffbau-Versuchsanstalt (HSVA) and was instrumented on board "Polarstern". The ice samples used in the friction tests were cut from two large ice blocks gathered at the trial site, primarily Hebron Fjord, which also provided the samples used in two other scientific projects (ice crystallography and ice strength properties).

The main results of this admittedly limited study can be summarized as follows:

- The dynamic friction coefficient of columnar sea ice is independent of ice crystal orientation with respect to the test surface. It is independent of normal pressure.
- In general, the friction coefficient initially decreases with increasing relative velocity and reaches a constant value beyond some velocity. The initial rate of decrease appears to depend upon the test surface characteristics such as roughness and surface tension.

- The friction coefficient increases with increasing surface roughness, but is also strongly dependent on the roughness morphology and surface tension property of the test surface. A water-repellent surface, such as Inerta-coated steel, has a significantly lower friction coefficient than a wetted surface of same or even higher roughnesses.

1.3.13 Ice thickness measurements by impulse radar (CRREL)

During the last weeks of May 1984 a CRREL impulse radar system was used on board R.V. "Polarstern" to measure the thickness of level first-year sea ice. The purpose was to determine the on-board performance of the radar system and, if possible, provide ice thickness information to researchers conducting other tests. Analysis of radar data compared with ice thicknesses determined by drilling indicate that this could be a viable means of collecting ice thickness information.

A lack of adequate coordination between the two measurement systems and long portions of unidentified signals prevented a point by point comparison of ice thicknesses. Comparisons were made for averages of particular test runs. The variation in the difference of the averages of the two measuring systems ranged from 0.03 m to 0.22 m with a mean variation in the differences of 0.13 m for eight runs.

There may have been some interference from the ship's hull during data collection because of the location of the antenna, however, the unidentified signal in some of the data does not appear to obscure a valid return from the bottom of the ice sheet.

1.3.14 Remote sensing of sea ice (DHI, AES)

The main topics of this programme were:

- ground truth observations from "Polarstern" (including helicopter flights),
- airborne reconnaissance and remote sensing of sea ice with the Canadian Ice Patrol aircraft ELECTRA, and
- use of real-time visual/IR and passive microwave satellite data (weather satellites NOAA and METEOR series and NIMBUS-7).

Two objectives could be met, namely (1) to correlate surface and near surface ice information with side-looking airborne radar (SLAR) imagery and passive microwave data from space and (2) to provide ice reconnaissance and ice information for "Polarstern" operations. The second objective was of practical importance

since in spring 1984 ice conditions off the Labrador Coast were much heavier than usual. The extent of the sea ice and ice thicknesses reached near or even beyond recorded long-term values. Consequently, an extensive amount of thick first-year ice together with some old ice drifted southward along the coast. Very close to the coast compact ice dominated within the ice belt, which was about 100 nm to 120 nm broad in the operation area. During the traverses of the ice belt to and from the coast (17 May to 18, 31 May to 1 June) the ice conditions were continuously observed and coded according to WMO standards (symbols and terminology). On 17 May, four hours after passing the ice edge, "Polarstern" and the "Electra" had a rendezvous about 70 nm off the coast. The aircraft dropped a film with radar (SLAR) observations of a 50 nm broad track along the coast showing details of the fast ice boundary, shore leads and pack ice.

Further data sets were provided by on board received APT imagery of the NOAA and Meteor weather satellites with several orbits per day, and by ice charts of the Canadian Ice Forecasting Central, which were telefaxed nearly daily from Ottawa via a telecommunication satellite (INMARSAT) to "Polarstern". Ph.D. Associates, Toronto, telefaxed NIMBUS-7 SMMR (Scanning Multi-channel Microwave Radiometer) data (charts) showing the situation of the ice edge and the main ice concentration boundaries off the Labrador Coast.

During the ship trials in the Hebron Fjord area extensive helicopter reconnaissance flights were carried out. With respect to the SMMR data, special attention was paid to observations of ice surface conditions (such as dry and wet), since during the melting season the microwave emission is strongly influenced by these parameters. Furthermore, during the last helicopter traverse (May 31) test sites for the vessel were located within the pack ice, and navigational aspects for the cruise through the ice belt (31 May to 1 June) were considered.

1.3.15 Investigations on reinforced ice properties (TUHH)

For the exploitation of the natural resources in polar regions and the construction of roads and platforms it has been proposed to use ice which has been reinforced with glass fibres as construction material. The mechanical properties of such reinforced ice was examined.

For this purpose, ice beams were cut out of the sea ice which was up to 1.2 m thick. The beams, up to 10 m long, were held down at both ends and lifted up in the middle by a hydraulic jack-up in order to have a three-point loading condition. The deformations were measured with a theodolite from a distance of 15 - 20 m to the beams and with fixed surveyor's rods on the beams.

Freezing of glass fibre mats onto the beams was not possible due to the relatively warm temperatures of about 0°C. Therefore, in-situ measurements were carried out on non-reinforced ice beams in order to establish the flexural strength (flexural strength of 250 kPa to 350 kPa and E-modules higher than expected were determined). In order to obtain results for reinforced ice, small ice beams were examined in the cold room of "Polarstern" at a temperature of -12°C. The beams were about 40 cm long, 10 cm wide and 5 cm thick. After planing, glass fibres were frozen to one side of the beams. These reinforced beams were examined in a testing machine in a four-point bending mode. With less than 1 % glass fibres out of 100 % ice volume, the strength increased more than four times.

1.3.16 Aerosols in arctic air masses (MIM)

Long range transports of particulate matter from Eurasian and North American sources into the Arctic have been thoroughly investigated for about the last five years. Most of the information, however, is derived from total aerosol mass related data like SO₄-ion concentrations and various elemental concentrations. Therefore, this knowledge mostly originates from the aerosol "mechanical" range (particle radius $r > 1 \mu\text{m}$) and of the "accumulation" range (approx. $0.1 \mu\text{m} < r < 1 \mu\text{m}$). This study, however, was oriented towards measurements of the total aerosol size distribution and number concentration in clean maritime and polar surface masses. Thus, most attention was paid to the Aitken particles (radius $r < 0.1 \mu\text{m}$), which are derived from "gas to particle conversion".

The instrumentation used for this experiment includes a condensation nucleus counter coupled with a diffusion battery, an optical particle counter, various impactors, filter sampling devices, multi-wavelength sun photometers, and an aerosol monitor.

The preliminary results of the data evaluation can be summarized as follows:

- Maritime air masses - North Atlantic Ocean: Total number concentrations were found to be in the order of $100\text{-}500 \text{ cm}^{-3}$, total aerosol mass concentrations between 10 and $30 \mu\text{g m}^{-3}$ and the size distribution following the background-type.
- Clean arctic air masses - during northwest winds off the Labrador Coast: Total number concentrations between 50 and 100 cm^{-3} . Results like these can be observed only in a latitude belt north of 80°N over Europe. From the turbidity measurements, one may conclude that the Labrador area can be categorized as "high arctic" from the aerosol air chemistry point of view when northerly winds prevail.

2. THE MARGINAL ICE ZONE EXPERIMENT (MIZEX) 1984

The scientific aims

The primary goal of MIZEX was the investigation of the physical processes in the ocean and the atmosphere at the marginal ice zone of the Greenland Sea. Of more or less similar interest were studies of the distribution and the content of chemical substances and of biological properties in the ice edge regime of the ocean.

According to earlier case studies, satellite images and recent analytical and numerical model computations, various scales of motion seem to influence the air-sea-ice interactions particularly in the transition zone of sea ice and open water. Predominant features in the Greenland Sea in summer are oceanic eddies in the horizontal size range of about 10 to 50 kilometers. These phenomena, which may be caused by barotropic as well as by baroclinic instability mechanisms, enhance the lateral heat exchange between open and ice covered oceanic waters. Thus their rôle in sea ice ablation during summer is thought to be rather important.

The horizontal coverage, the thermodynamics and kinematics of the sea ice are critically influenced furthermore by the momentum and heat exchanges across the air-sea interface. The floe size structure is also dependent on wind waves and swell which propagate from the open into the ice covered waters.

Temperature and salinity of the water column already provide a useful background for the classification and history of water masses. But additional valuable information is obtained from the analyses of chemical constituents. Therefore, an extensive treatment of the latter was also foreseen.

The point measurements of oceanic, atmospheric and biological quantities from ships and ice floes were successfully completed by the application of direct and indirect observational techniques from aeroplanes and helicopters.

In order to cover the various scales of motion seven ships operated in basically four different schemes, namely so called large scale, synoptic scale, mesoscale and mini drift arrays. "Polarstern" participated in all of them with physical, chemical and biological measurements in the ocean as well as with atmospheric soundings and a microwave remote sensing method. The latter will be evaluated primarily to determine sea ice characteristics.

Subsequently the research work executed from the two German vessels "Polarstern" and "Valdivia" and from the German aircraft "Falcon 20" is delineated.

2.1 SECOND CRUISE LEG OF R.V. "POLARSTERN": ARKTIS II/2

Chief Scientist: Ernst Augstein (AWI)*

2.1.1 Cruise events

MIZEX was carried out during the second leg of "Polarstern's" 1984 cruise Arktis II. After four weeks work in the Labrador Sea the ship arrived in Tromsö (Norway) on 10 June 1984. During the port call the scientific equipment of most of the non-German groups was loaded and the ship was refuelled. On 12 June 1984 at 19.00 LT "Polarstern" left port with 55 scientists and technicians and 40 crew members on board. Her track line of the MIZEX leg is delineated in Figure 2.1.

The first task was to deploy five and to recover two deep sea current meter moorings in the ice-covered ocean east of Greenland at about 79°N. This work started on 14 June and was finished on 17 June. Both positions of the current meter moorings to be recovered were covered by large ice floes. Since the mooring devices did not respond to the acoustic control the command for release was given with some uncertainty. The first one floated up in a small lead near the given position while the second one either did not react at all or was trapped under the ice. The mooring work was complemented by CTD measurements, sea ice probing, biological and chemical analyses and meteorological soundings.

On the way from the mooring site to the north "Polarstern" had a short rendezvous with the Norwegian ship "Hakon Mosby" in order to exchange scientific gear. Both ships subsequently performed measurements within a so-called synoptic grid across the zonally oriented ice edge near 80°N. During this work "Polarstern" furthermore recovered and redeployed two meteorological-oceanographic buoy stations of the University of Bergen. Finally, the three meteorological buoys of the University of Hamburg were deployed by helicopter. The synoptic CTD grid consisted of open water measurements by "Hakon Mosby" and stations in the ice by "Polarstern" and helicopters. The extensive oceanographic survey was accompanied by biological samplings, chemical analyses, meteorological investigations, ice probing and remote sensing studies from the ship and by helicopters. A total of 10 transponders was distributed on ice floes by helicopters and tracked with the ship's radar. Seven transponders could be recovered, one was destroyed and two could not be located. At the end of the minidrift station "Polarstern" met with the University of Hamburg's R.V. "Valdivia" near the ice edge in open water in order to assist in calibrating the current measuring device CODAR.

*For acronyms of institutes see under "Beteiligte Institute"

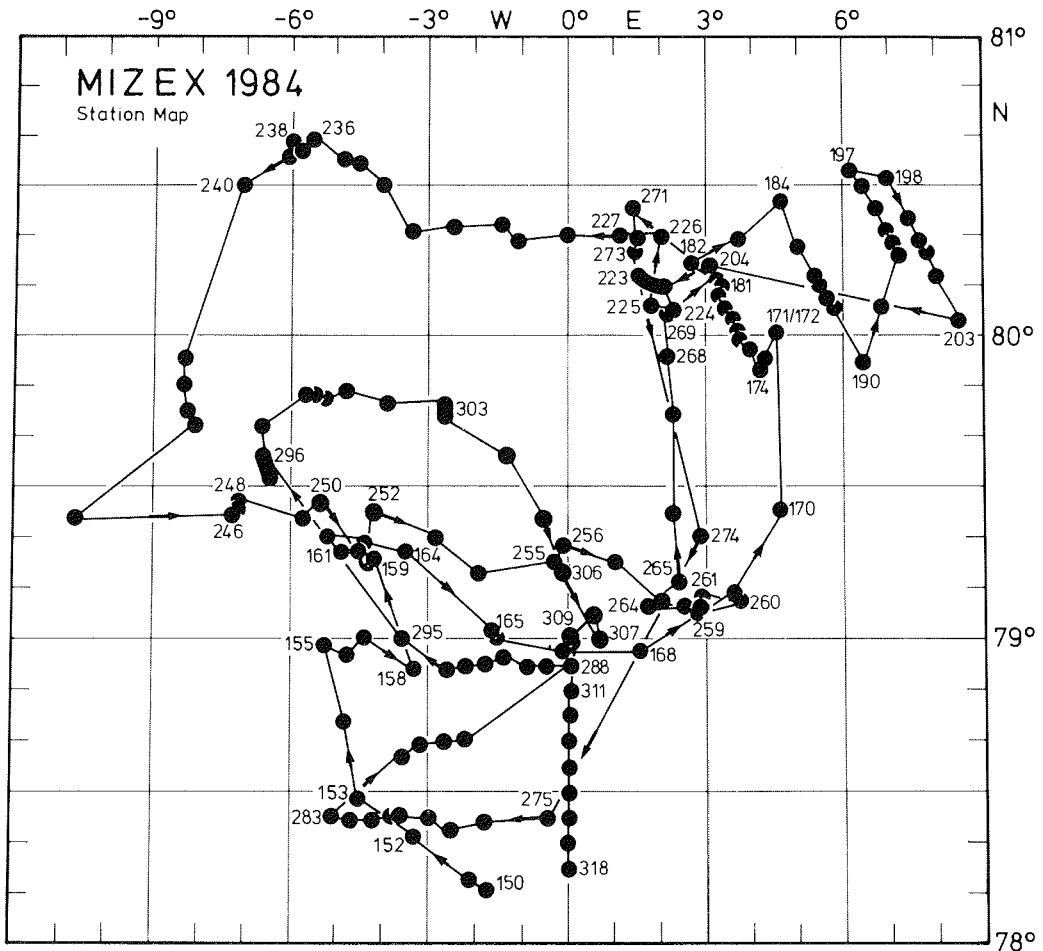


Figure 2.1: "Polarstern" track during MIZEX 1984. Dots indicate oceanographic stations starting with No. 150 and ending with No. 318

When this procedure was finished both German ships started a large scale oceanographic survey across Fram Strait. "Valdivia" was responsible for the open water part while "Polarstern" extended the first transect on 80°20'N through the sea ice westwards to the East Greenland Shelf. A second transect was executed on the latitude of 79°20'N. Heavy ice conditions forced an extension of this work by nearly one day so that the beginning of the second minidrift had to be postponed until 06.00 GMT on 3 July.

Due to this delay the full array of seven transponders and one reflector was not operational before the afternoon of 3 July. On 4 July equipment and personnel of the Scott Polar Research Institute were transferred to the R.V. "Kvitbjörn" in order to continue the transponder tracking from that platform. Three of the four AWI transponders were retrieved before "Polarstern" left the area on 4 July.

During the minidrift the moonpool on "Polarstern" was repaired by the professional diver Mr. Wüllner from R.V. "Valdivia" with the aid of the diving equipment of "Polarqueen". This is only one example of the fruitful cooperation between the crews of the various platforms.

For the second synoptic array "Polarstern" had to sail to 78°25'N and 01°W. The survey was again carried out jointly with "Hakon Mosby" and "Valdivia". It ended at noon on 8 July when "Polarstern" departed the area for her position further northwest which she had to occupy during the meteorological large scale network.

This position near 79°40'N and 6°30'W was kept from 9 to 14 July 1984. Because of the relatively small water depth on the Greenland Shelf only reduced oceanographic and biological measurements were conducted. Helicopter work was also considerably limited since one aircraft was unserviceable. Additionally, poor visibility forced the other helicopter also down for most of the time. The large scale meteorological programme was terminated on 14 July 12.00 GMT.

"Polarstern" then moved first eastwards to about 79°45'N 2°30'W and from there southeastwards to 79°N 00°30'E. On the entire leg a total of 11 oceanographic stations, some of which were extended for biological sampling, were carried out. The final part of "Polarstern's" MIZEX contribution was a meridional cross-section from 79°N to 78°20'N on the Greenwich meridian. The oceanographic and biological measurements on this transect will help to describe a relatively large eddy-like feature at the ice edge.

The ship departed from the experimental area on 17 July 16.00 GMT for Longyearbyen/Svalbard where it arrived on 18 July 12.00 GMT. With the exception of three persons all scientists and technicians disembarked during the afternoon of the same day.

2.1.2 Coordination of the different programmes on board

The planning of the MIZEX field work was based on considerable past experience. Consequently, the programmes to be conducted from "Polarstern" were anticipated quite realistically, but they nevertheless turned out to be rather ambitious. In respect to time we found that an icebreaker needs a few spare days to compensate for heavy ice conditions. During certain periods we were also short of helicopter time since the execution of some projects demanded for minimum block time periods which could not always be made available.

In spite of such shortcomings nearly all subprogrammes have achieved their main goals and some even passed beyond their planned targets. These results could only be obtained through the cooperative spirit of the scientific personnel, the ship's and the helicopter crews.

The coordination of the entire field programme from "Polarstern" worked satisfactorily. Limitations in radio communication, which had to be accepted due to interference of the radio transmission with measurements on the ship could be largely eliminated through the use of the satellite telephone and telex links.

The advantage of having the coordination centre in the field lies undoubtedly in the continuous confrontation of the coordinator with the actual working situation. In this particular case it was also profitable that the meteorological station on the ship produced quite reliable weather forecasts for the area. This information usefully supported the daily planning of the field centre.

2.1.3 Weather information (SWA)

During MIZEX-East 1984 the meteorological station on board R.V. "Polarstern" was manned with a meteorologist and a weather-radio-operator of the Deutscher Wetterdienst.

The primary task of the weather station was to advise the chief scientist and the ship's master about the development of the weather situation and to provide the helicopter crews with actual weather information and forecasts.

Additionally, the weather station conducted reduced hourly and full three-hourly WMO-observations, supported by other scientific groups. The data set of routine surface observations was distributed to all groups interested in weather information immediately after the ship had left the MIZEX-area.

Since climatic data such as descriptions of typical weather situations of this area are very rare, new observations are very useful to obtain a detailed picture of the atmospheric conditions in the Fram Strait. Among others an increase of days with fog or low stratus from spring to summer was observed. In general, two different large scale patterns of surface pressure over Fram Strait and the adjacent areas were found during this cruise:

- In June 84 winds from northerly directions were prevailing over Fram Strait, caused by a quasi-stationary low over the Barents Sea and Svalbard. A high pressure ridge was spreading along the eastern coast of Greenland. Due to cold air advection in lower atmospheric layers flight weather conditions were mostly good. Below the lifted warm air at the rear side of the low over Svalbard sometimes light snow or rain occurred. At temperatures slightly below freezing point such conditions are hazardous for helicopter operations.
- In July 84 southerly winds predominated over the Norwegian Sea and Fram Strait. This circulation was generated by a nearly stationary high over the Barents Sea and a zone of low pressure over the Greenland Sea. During this period atmospheric warming dominated the weather in our area. Due to the great amount of moisture in the advected air mass persistent fog situations occurred. On a daily cycle the height of the fog layer varied between surface and some hundred feet, forming a layer of low stratus. Nevertheless, such conditions are marginal for helicopter operations, especially for long distance flights.

Based on the rather complete equipment of the weather station the meteorologist on board R.V. "Polarstern" was able to provide short-time and medium-range forecasts for the MIZEX area. The satellite images recorded on board allowed the distinction of air masses, cloudiness and ice cover. The experience of this cruise shows that an on board meteorological station can be superior to land based forecast centres.

2.1.4 The individual programmes

2.1.4.1 Oceanography

2.1.4.1.1 Physical Oceanography

The oceanographic data set is primarily based on CTD high resolution temperature and salinity profiles as well as on water samples with the aid of a rosette sampler. CTD measurements have also been carried out from ice floes down to 500 m depth with the assistance of helicopters. Generally, the "Polarstern" measurements must be considered as a partial contribution to the joint MIZEX investigation of large- and mesoscale phenomena in the Fram Strait region and the marginal ice zone, respectively.

2.1.4.1.1.1 Shipborne measurements (AWI, DHI)

A total of 177 CTD profiles has been obtained on RV "Polarstern" at 118 different ship positions. On the various transects the spacing between stations ranged from 3 to 15 nm. The vertical resolution of water sampling varied depending on total water depth and geographical location. Thus, between 12 and 36 sampling levels have been chosen.

The mesoscale network was concentrated on two regions centred at $80^{\circ}20'N$ $06^{\circ}E$ and at $78^{\circ}40'N/02^{\circ}W$. "Polarstern" covered the iceward side of the ice edge.

The main large scale zonal transect was conducted at about $80^{\circ}20'N$. Shorter sections have been carried out at $79^{\circ}45'N$ and $79^{\circ}N$. The first two transects reached west to the 250 m depth line at the East Greenland Shelf and together with the "Valdivia" network they provide a zonal section across the entire Fram Strait. Consequently, the northward Atlantic Current, its return flow further to the west and the southward pointing East Greenland Current are well documented by these measurements.

Mesoscale features at the ice edge were studied with the aid of rather dense observational grids at the southwest slope of the Yermak Plateau and on the western side of the pronounced southeast-northwest oriented bottom rise centred at $78^{\circ}25'N$ $01^{\circ}E$. At both positions eddy-like phenomena were obvious in the ice pattern as well as in the temperature and salinity distribution.

Finally, time variations of the vertical temperature, salinity and density structures were detected during two drift stations of 70 h and 40 h duration.

The chemical and biological analyses of the water samples will be discussed below and the complementary ice floe CTD work is outlined under the subsequent item.

2.1.4.1.1.2 Helicopter-based CTD measurements (LDGO)

The helicopter based CTD programme commenced operations on 18 June and continued until 17 July. A total of 103 station were taken within this time period to depths ranging from 300 to 650 meters and up to 50 nm away from the ship. Of the 103 stations 93 were helicopter based. The remaining 10 are to provide intercalibration statistics with the shipboard Neil Brown CTD. Spatial limits were from $8^{\circ}E$ to $8^{\circ}W$ and from 79° to $81^{\circ}N$. Most of the coverage was rather uniform with station spacing every 6 to 10 nm; however the southeast quadrant of the box was not covered at all.

Over 60 % of the helo-CTD data collected were devoted to the meso-and synoptic scale programmes which were cooperative mapping efforts with ship-based CTDs. Due to the dispersed nature of the data sets, it is impossible to come up with concise results at this point in time. One survey, however, (which was predominantly helo-CTD oriented) does tend to indicate a meander pattern or intrusive feature at the ice-edge front.

Independent helicopter surveys were completed almost exclusively around the shelf and slope region of Greenland in an attempt to better define the major frontal system between the inflowing Atlantic Water and the southward moving East Greenland Current. The largest of these surveys comprised 14 stations and covered nearly 800 square nm within a period of 10 hours. The minimum survey was six stations covering 200 square miles. Although not totally analyzed there are definite indicators of the frontal zone as well as southward moving filaments of water of Atlantic origin.

2.1.4.1.1.3 Drifter-based current observations (LOP)

Trajectories of the water particles at the sea surface and at depths of 100 m and 200 m have been determined with the aid of two types of floats. Surface currents mainly of the open water area could be derived from 5 operating buoys tracked by the ARGOS satellite system. This part of the programme was complemented by similar systems launched on ice floes.

Subsurface currents have been obtained from ten so-called SOFAR floats. Five of them were ballasted for 100 m and five for 200 m depth. Their position was located acoustically by hydrophones from three ships and from two ice floes.

On "Polarstern" the hydrophone was launched to generally 740 m depth 51 times from 18 June to 15 July. Although the signal was attenuated in ice-covered waters it was detected satisfactorily up to 120 km distance between the floats and the ship. Critical limitations of the acoustic tracking arose from regions of shallow water depths due to variable bottom topography.

Preliminary analysis of the float trajectories supports the following conclusions: a) The northward propagating Atlantic water diverges into two branches at about 80°N. The easterly one turns northeastwards while the westerly one turns back to the south. b) The bottom topography in the Fram Strait region has a major control on the currents even up to the sea surface. c) The northward motion of the Atlantic water is superimposed by numerous eddies while the southward flow of Arctic water appears to be nearly laminar on the large scale.

2.1.4.1.2 Chemical Oceanography (BIO, UG)

The basis of the chemistry programme was to examine the chemical composition of sea ice, to look for changes in the chemical constituents of near surface water as a result of the addition of sea ice meltwater and the presence of sea ice, and to measure several chemical constituents of seawater for water mass identification and tracing.

In sea ice produced in the laboratory, the relative composition of salts in the brine entrained in the ice changes as a result of the selective precipitation of the salts from the brine when the ice is cooled. Calcium carbonate is the first to precipitate, beginning just below the freezing point near -2°C , followed by sodium sulphate near -10°C . Almost no studies have been done to verify this laboratory result and its geochemical significance using sea ice produced under natural conditions. Several cores of first-year and multi-year ice were collected throughout the MIZEX area. Not one showed anything like the degree of calcium enrichment expected on the basis of the laboratory results. Sulphate concentrations will be determined later in the laboratory, but based on the calcium data, little sulphate enrichment is expected. These results seem to show that the studies of ice produced under laboratory conditions cannot be used in any simple way to describe the composition of natural sea ice.

The examination of near surface water to determine changes in composition resulting from the addition of sea ice meltwater involved measurements of calcium, alkalinity and $^{18}\text{O}/^{16}\text{O}$ isotope ratios. Preliminary results show essentially no change in either calcium or alkalinity attributable to the presence of sea ice meltwater. Oxygen isotope ratios, which will be measured later in the laboratory, are expected to determine how much of the fresh water component of the surface water is from river input and how much is from sea ice melt water.

Preliminary evaluation of the chemical data shows no obvious ice edge effects such as upwelling attributable to the physical presence of sea ice. Definite conclusions, however, will have to await a more thorough analysis of the data.

Water mass identification and tracing involves consideration of salinity and temperature distributions together with chemical components such as nutrients, calcium, alkalinity, inorganic carbons, oxygen and pH. The chemical components are used both individually and in combinations (e.g.: nitrate and oxygen) to form the tracer NO to determine circulation and mixing of water masses. The exploitation of these measurements will take considerable effort on the part of all groups contributing to the data. One preliminary result immediately apparent, however, is

the presence of water from the near surface halocline of the Arctic Ocean identified by a nutrient and inorganic carbon mechanism. This water in the East Greenland Current seems to have maintained much of its identity along the Trans-Polar Drift Current and out of the Arctic Ocean through Fram Strait.

Altogether, approximately 1500 samples from 90 stations were analyzed for oxygen and salinity, and approximately 800 samples from 50 stations for alkalinity, inorganic carbon, calcium and pH. About 540 samples from 60 stations were collected for oxygen isotope ratio determinations. Eight ice cores from multi-year and from first-year ice, sectioned into 20 cm lengths were analyzed for salinity, calcium and alkalinity. About 140 samples from 7 stations along the 80°20' transect for tritium analysis and 12 samples at the westernmost station of the transect for helium-3 analysis were collected for the University of Miami.

2.1.4.2 Sea Ice

The sea ice investigations were concerned with a) observing the pattern, concentration and floe size distribution of the sea ice, b) detecting the deformation of the floe field and c) determining the crystal structure and physical properties of first-year, second-year and multi-year ice floes.

The programme was carried out by visual observations from the ship, evaluation of satellite and radar images, helicopter photography, radar tracking of transponders mounted on ice floes and drilling of ice cores.

2.1.4.2.1 Visual, satellite and radar observations (DHI)

Sea ice documentation based on visual, satellite and radar information has been carried out from 14 June to 2 July. The eye observations on board the ship could be extended through several helicopter flights, each covering a mean distance of about 50 nm from the ship.

The data on coverage, floe sizes, thickness and age of the sea ice were collected to support the remote sensing and ice property studies. The continuous monitoring of the ice conditions and its evaluation served also for the ship's routing and helped e. g. to circumnavigate vast ice floes.

2.1.4.2.2 Aerial Photography (SPRI)

An aerial reconnaissance camera was fitted in a vertical mode on both helicopters for a total of sixteen flights during the cruise. These flights yielded approximately five thousand frames of 70 mm photographs in total. The three main purposes for this

work were support for the wave attenuation and transponder array experiments carried out from "Polarstern", for the CV-990 aircraft radar altimeter overflights and for other remote sensing experiments. In addition to the 70 mm photography oblique video filming provided further information on the ice cover to aid in the interpretation and analysis of the 70 mm transect photography. Selected 70 mm frames will be digitized, and a statistical analysis of a number of geometrical parameters for each floe will provide data on variations in the floe size distributions along each transect. Additional analyses will give information on ice concentration change and morphometric variations. In the case of the wave attenuation experiments, the prime interest is in the relationship between rates of energy loss in the swell incident upon the ice cover from the open sea and the consequent floe size distribution. The ice cover deformation experiment was designed in such a way as to examine the relative positional change of an array of radar transponders in relation not only to wind and current but also to changes in the structure of the ice cover. The analysis of the aerial photography will provide the latter. In the case of the radar altimeter overflights the objective has been to provide ground truthing for the subsequent interpretation of the altimeter pulse train. The two parameters of greatest importance are concentration and surface roughness. The former may be easily obtained from aerial photography while surface roughness is more problematic. However, an attempt will be made to extract basic roughness information as well. Additional aerial photographic work was carried out in support of helicopter scatterometry, SAR-measurements and wind stress measurements.

The dates, file codings and objectives for each photographic transect are listed below:

Friday 15 June	V1	ice reconnaissance, surface characterisation
Saturday 16 June	V2	wave attenuation experiment 1
Sunday 17 June	V3	wave attenuation experiment 2
Friday 22 June	V4,5	scatterometer sections
Saturday 23 June	V6,7	1st minidrift array overflights
Monday 25 June	V8	1st minidrift array overflights
Thursday 28 June	V9	CV990 transect and scatterometer sections
Saturday 30 June	V10	CV transect
Monday 2 July	V11	transects of Fram Strait eddy located at Molloy Deep
Tuesday 3 July	V12	2nd minidrift array overflight
Wednesday 4 July	V13,14	2nd minidrift array overflight
Monday 9 July	V15	SAR and scatterometer sections
Friday 13 July	V16	5 x 6 nm box wind stress measurements

Finally, in addition to the above objectives, wherever possible, the aerial photography and the resultant analyses will be used within the context of a long term programme of satellite imagery analysis of the East Greenland Current. The main thrust of this research programme is to analyze the eddy and meander structures observed at the ice edge. The transects flown on Monday 2 July in clear conditions are of particular worth in this respect for they will provide the part of the floe size distribution which cannot be obtained from satellite imagery.

2.1.4.2.3 Sea Ice Properties (CRREL)

Ice cores were taken from 55 sites, with 41 separate floes being sampled. At each location 2 cores were obtained, one for crystallographic analysis and another to measure the salinity profile of the ice. Thirty of the floes sampled were multi-year ice which comprised most of the ice in the MIZEX area. The bulk salinity of the multi-year ice was 2.0 o/oo and was 3.9 o/oo for the first year ice. Thickness of the first-year ice varied from 38 to 222 cm. Multi-year ice varied from 174 to 572 cm, however, ice thicker than 350 cm was usually associated with ancient ridges.

From the structural cores over 200 thin sections have been prepared and were shipped to CRREL upon the return of "Polarstern" to Bremerhaven. Approximately 150 of these thin sections have been photographed on the ship. Cursory examination of the crystal structure reveals that over 90 % of the ice is columnar. The granular ice found appears to be limited to areas of deformed ice. This finding is in contrast to ice from the Weddell Sea of Antarctica where over 60 % of the ice is granular or frazil. The columnar ice found on this cruise shows a variety of crystal c-axis alignments. Some ice contains completely randomly oriented crystals while other samples show very strong orientations which change with depth, indicating rotation of the ice floe with respect to ocean current during growth.

2.1.4.2.4 Ice edge kinematics (SPRI, AWI)

Two "minidrift" experiments were successfully conducted from "Polarstern", in which an array of four radar transponders positioned near the ice edge by SPRI was tracked by the ship's radar, with readings taken every ten minutes. These experiments were done in collaboration with 4 - 6 radar-radio buoys deployed by the AWI in the extreme edge zone.

The first minidrift took place from June 22 to 25, with the ship positioned initially at $80^{\circ}14'N$ $3^{\circ}E$, about 8 nm from a diffuse ice edge. The array was deployed around two Bergen toroid buoys (Argos numbers 5062 and 5064) which were already in place near

the ice edge and which were equipped with Aanderaa automatic weather stations and with current meters at 5, 10 and 40 m depth. The deployment was done by helicopter. The first flight was an ice edge reconnaissance, in which two of the AWI buoys were installed very close to the edge (1 - 2 nm) in order to study anomalous phenomena of the extreme margin (e.g. longshore jets). The buoys responded to the ship's radar with RF pulses which are converted to radar screen signals via a decoder attached to the radar console. On the second flight 4 further AWI buoys were installed in the immediate vicinity. On subsequent flights 4 SPRI buoy sites were installed, each comprising a radar transponder and reflector, a Seadisc one-dimensional telemetering wave buoy, and an Aanderaa current meter at 10 m depth. The initial array shape was a line of 3 sites at 5 nm intervals beginning 5 nm from the edge, with a fourth site offset 5 nm along the ice edge. On the day of deployment remote sensing coverage of the array area was obtained by CV-990 and NOAA P-3 overflights.

On June 23 a photo reconnaissance flight over the array was carried out by helicopter in the morning, followed by a low-level mission of the "Falcon 20" doing 7 lines of stress measurements across the ice edge. Later in the day the wind changed direction radically to southeast from northeast, changing the direction of ice drift to northwesterly from southwesterly. This resulted in a compaction of the ice edge from its previously diffuse state, which squashed the array along the northsouth axis and stretched it along the eastwest axis (the mean trend of the ice edge was about 060 deg). A further helicopter photo and video survey was done on June 24. During the night of June 24 - 25 one of the SPRI buoys, which had been approaching the ice edge, disappeared from radar. A helicopter flight early on June 25 showed it to have been wrecked at the ice edge, although the current meter mooring was intact and was recovered. Rapid erosion of the edge was occurring, with floes being broken into small fragments by the steep incident wind sea. The rate of approach of the buoys to the ice edge was a measure of the rate of lateral erosion of the ice edge due to this effect. During June 25 the remainder of the SPRI buoys were successfully recovered by helicopter together with 4 of the AWI buoys. The total tracking period exceeded 3 days, and covered the very interesting transition from a weak off-ice to a strong on-ice wind, with its resulting ice deformation.

The second minidrift began early on July 3 and continued through a transfer of personnel to "Kvitbjörn" until the evening of July 7. "Polarstern" moved 15 nm into the ice to establish herself at 80° 26' N 1° 20' E, 15 nm from "Polarqueen". This enabled the ice edge and interior arrays to be coupled. 4 SPRI buoys were set out by helicopter as in the first minidrift, together with 4 AWI buoys on the seaward radar horizon. The SPRI buoy deepest into

the ice was 9 nm from "Polarqueen" and within range of her radar. An initial ice edge reconnaissance on the evening of July 2 had revealed a compact ice edge trending generally eastwest with some vast floes near the edge, and with a deep inlet of open water extending several nm into the ice (already investigated by "Valdivia" and "Kvitbjörn" with CTD stations and tentatively identified as an anticyclonic eddy). The array was set out west and northwest of this inlet. "Kvitbjörn" deployed two Bergen toroids in the ice near this inlet on July 3, providing additional wind and current data to augment the current data from the SPRI buoys and the wind data from "Polarstern". On July 3 and 4 photographic transects of the array were carried out by helicopter. As in the first minidrift the motion was mainly wind-driven, with an on-ice wind squashing and stretching the array. In addition the western elements moved relatively southwestwards as they became caught in the beginning of the East Greenland Current. As a result two of them were repositioned by helicopter on July 4.

On the afternoon of July 4 "Kvitbjörn" moved to a floe beside "Polarstern" and deployed a meteorological tower on the ice and launched a tethersonde. Meanwhile 3 of the 4 AWI buoys were recovered by helicopter. Then at midnight on July 4 - 5 "Polarstern" moved alongside "Kvitbjörn" and transferred the SPRI tracking personnel. Tracking of the array continued from "Kvitbjörn" until the evening of July 7, when all sites were successfully recovered by helicopter from "Polarqueen". Photographic coverage of the array during this period came from "Polarqueen", while a NOAA P-3 with gust probe and laser profilometer overflew the array on July 6. The total tracking period was almost 5 days.

2.1.4.2.5 Waves programme (SPRI)

In addition to measuring waves in the icefield by Seadisc during minidrifts, specific experiments on directional wave spectra near the ice edge have also been conducted, using an Endeco Wavetrack directional wave buoy for open water stations and a heave-tilt sensor for stations on floes. Experiments comprised a) single stations to coincide with remote sensing overflights or with open-water wave sections carried out by "Valdivia"; b) "floe hopping" experiments. Sixteen stations were occupied as follows:

June 16: "Floe hopping" experiment. The purpose was to study the modification of the directional wave spectrum deep inside the ice using the heave-tilt sensor on a line of helicopter stations. Concurrent vertical aerial photography shows the modification of the floe size distribution associated with the change in wave energy level. Two stations were occupied, cut short by problems with recording electronics.

June 17: a) Endeco station - ground truth.
b) "Floe hopping" experiment repeat. 5 stations occupied at 10 km intervals moving towards the ice edge deep inside the ice.

June 18: Seadisc station in polynya - ground truth.

June 19: Two Seadisc stations in polynya - ground truth.

June 20: a) Heave on floe - ground truth for P-3.
b) Endeco station - ground truth.

June 21: Heave station on floe - ground truth.

June 24: Endeco station - support for "Valdivia".

July 2: Endeco station just within ice edge - support for "Valdivia" and reference station for photo transect of Fram Strait eddy.

The waves programme was continued at a higher level of intensity from "Kvitbjörn".

2.1.4.3 Active microwave measurements of sea ice

2.1.4.3.1 The general purpose of the investigations

The primary objective of the near-surface scatterometer programme was to describe the scattering coefficients of sea ice and open water in the marginal ice zone and to understand the influence of the MIZ on the microwave properties. Physical and electrical property and active and passive microwave aircraft measurements were coordinated with the scattering measurements programme.

2.1.4.3.2 The University of Kansas programme (RSLUK)

Observations from a BELL 206 helicopter as an airborne-platform for the scatterometer, a calibrated radar, were made at 5.2, 9.6, 13.6 and 16.6 GHz; at VV, HH and HV antenna polarizations and at angles from 0° to 70°. A calibrated radar operating at 1.5 GHz and HH-polarization was also used for making observations from the ship. Its viewing angles ranged from 17° to 50°. Small to vast first-year and multi-year sea ice floes which appeared to be representative of ice types in the MIZ and pack ice region were investigated. Ice thickness ranged from 30 cm to well over 3 meters. A heavier than expected snow cover ranged in thickness from 10 to 15 cm on first-year ice and 25 to 60 cm on multi-year ice. Over the duration of the experiment the snowpack and ice sheets experienced a transition from cool late-spring to summer melt conditions. The effects of melting and refreezing of the snowpack were noted in the microwave observations.

Measurements made at 13.6 and 5.2 GHz and a vertical look angle will be used in the study of the radar altimeter response to sea ice and ocean. Measurements were also made to study the relationship between the radar response and ocean phenomena such as fronts and eddies.

General ice condition descriptions supported by oblique photography and detail descriptions of snowpack construction were made in conjunction with the near-surface and aircraft microwave observations.

2.1.4.3.3. The programme of the Centre Nationale d'Etudes Spatiales (CNES)

The goal of this study is also to characterize ice types and ice properties in terms of roughness, structure and dielectric properties. Both surface and internal properties of the medium are important. Penetration of centimeter waves depends strongly on the wetness of the snowcover. Thickness of snow and ice stratifications must be considered since multiple reflections occur at the interfaces.

The shipborne RAMSES and helicopter mounted ERASME are frequency modulated radar scatterometers. The information from the surface is given by the backscattering coefficient computed from the received power which also depends on radar parameters.

The surface based radar can be applied for measurements between ten and thirty meters height. The corresponding illuminated surface varies with the incidence angle and frequency but does not exceed a few square meters. Frequency and incidence range are three to eighteen GHz and zero to sixty degrees, respectively. The main frequencies used are 5.3 GHz - 9.4 GHz - 13.6 GHz. The radar was mounted on a boom to avoid interference with the ship's superstructure at the nadir pointing angle and to average the received power. Acquisition time for each point is thirty seconds. Results will be compared with the direct ice measurements.

The helicopter based system ERASME works at 5.3 GHz for like and cross polarizations. Measurements give the angular dependence of the backscattering coefficient and alongtrack profiles for a given incidence angle. The angular dependence of the backscattering coefficient will be compared with surface based radars.

The horizontal profiles will be used to study ice types, ice-water transitions and ice-water concentrations. A video system provides ground truth of the ice distribution. Elementary acquisition time is 0.04 seconds. The data will be averaged over one second, and the backscattering coefficient is computed for two degree intervals of the antenna angle.

2.1.4.3.4 Remote sensing surface truth efforts (ERIM)

The objective of this programme was to obtain measurements of snow cover parameters critical to the interpretation of remote microwave data. Measurements were therefore carried out in conjunction with scatterometer measurements made from helicopter and ship, and with aircraft SAR, SLAR, or PMI data collection. The dielectric constant, snow wetness and the free water fraction were measured.

During the period from 18 June through 14 July nineteen sites were visited where dielectric constant measurements with the 100 MHz Q-meter and the L-band samples were taken back to ship, and the free water fraction was measured in the cold room under controlled conditions. At two sites snow wetness was measured on the floe, but due to the lengthiness of the measurement and the shortness of the stations, this was not continued. Auxiliary data collected at each site include snow depth, crystal size, snow temperature, and snow density. Nine of the site measurements were coordinated with ship scatterometer measurements, five with helo scatterometer flights, two with aircraft PMI overflights, and seven with aircraft SAR or SLAR overflights.

Conditions found during this period ranged from a very dry, cold snow cover with a crust to melting conditions. For these two extremes, free water fraction (by volume) ranged from approximately 0 % to 7.3 %, dielectric constant (at the surface) from 1.45 to 3.2, and loss tangent from .007 to .07. Additional measurements of the dielectric constant were made in the cold room on both first-year and multi-year cores.

In addition to surface measurements, an incident power receiver was placed on the deck above the bridge to record the antenna pattern of the aircraft SAR as it passed over. Incident power from the CV-580 SAR was recorded on both 5 July and 9 July overflights. During the 9 July overflight, an active calibration device and corner reflectors were placed on floes for both identification and calibration purposes.

2.1.4.4 Meteorology

The meteorological programme consisted of four main components. a) The upper air radiosonde and OMEGA wind measurements contribute to the large scale quantitative survey of the atmospheric flow conditions and resolve details at least of the thermodynamic structure of the atmospheric boundary layer. b) The vertical wind profile of the latter is obtained in detail by Doppler-SODAR measurements. c) The vertical turbulent transports of heat, water

vapour and momentum near the sea surface over water and over ice have been determined by means of a gust probe aircraft and of a ship's boom equipment. d) Finally, the horizontal gradients of pressure, temperature and the wind vector in the surface layer over sea ice have been measured by a triangular buoy array.

2.1.4.4.1 Radiosondes and SODAR winds (AWI)

The vertical profiles of temperature, relative humidity and the horizontal wind vector in the troposphere were measured with the aid of a Vaisala Micro Cora System. During the entire cruise 249 balloons with radiosondes were launched. From 19 June to 16 July 1984 three-hourly aerological soundings were conducted. Preliminary examination shows that in 90 % of all cases the atmospheric boundary layer is characterized either by a stable vertical density distribution starting at the sea surface or by a distinct capping temperature inversion. No such clear structures were found in the low level wind profiles.

The latter have been derived from the backscattered signals of a three component Doppler SODAR. This apparatus provided vertical profiles of the backscattered energy, the three wind components and the standard deviation of the vertical velocity during most of the ship's stops.

The maximum height of SODAR-profiles was about 600 m with a spatial resolution of 20 m. In about 60 % of the measuring time the lowest 200 m could be covered and during periods with bad backscatter conditions (25 %) the profiles terminated below the 150 m level.

2.1.4.4.2 Boom measurements (AWI)

Turbulent momentum and heat fluxes, the mean air pressure and horizontal wind velocity were measured at a boom which extended from the bow crane of "Polarstern" by about 10 meters. The data were recorded on a PCM-coded magnetic tape.

There is no doubt that these measurements are to some extent perturbed by the influence of the ship's superstructure on the atmospheric flow. In spite of such uncertainties attempts of others have shown that fluxes derived by the "dissipation"-method do not differ significantly from undisturbed eddy correlation measurements.

With respect to the 10-minute mean wind velocity and pressure values previous experience suggests that sensors mounted on a bow boom are less perturbed than at any other location on a ship.

2.1.4.4.3 Meteorological stations on ice floes (MIH)

Three meteorological stations measuring air pressure, temperature and wind velocity in addition to the ARGOS positions were deployed in a triangular configuration on 23 June 1984. Due to electronic malfunctioning only the ARGOS positions were received from the northeastern corner of the triangle. The other two stations worked properly in parallel from 25 June through 1 July. Differential ice drift carried the two latter stations southward with a speed of occasionally more than one knot, while the northeastern station remained stationary so that the triangle eventually became rather deformed, and the system had to be recovered. A redeployment was planned but could not be executed due to an unserviceable breakdown of the larger helicopter. Intensive intercomparisons of pressure sensors, in particular, were carried out so that the data of the two ice floe stations can be combined with ship data of "Polarstern" and "Polarqueen" to derive the pressure field and consequently the geostrophic surface wind. A preliminary on board data analysis reveals that with a few exceptions the data from the two ice floe stations appear to be of good quality. Because of the short measuring period one objective, namely the determination of variance spectra and their relation to the ice floe drift, could not be achieved.

2.1.4.5 Biology

The pelagic primary and secondary productions seem to be extremely active in the Arctic marginal ice zone during the summer season. The hydrographic structure of the upper water column, the summer light conditions, the sudden change from open to ice-covered waters, the nutrient supply and several biological processes may either alone or interactingly control the observed features.

Therefore, the biological sampling was carried out in close relationship to physical and chemical oceanography. The primary and secondary productions were studied by in situ observations and through laboratory experiments. The latter were conducted to examine the important components of the marine ecosystem in dependence on different environmental conditions.

2.1.4.5.1 Phytoplankton (IfMK, RWTH, NPS)

The phytoplankton investigations concentrated primarily on

- the examination of the distribution of selected species as well as of communities and of their productivity in relation to hydrography and ice conditions

- determination of qualitative and quantitative compositions of particulate organic matter as food source for herbivorous zooplankton.

For these purposes water samples were collected with a 6 x 30-l Rosette system. Chlorophyll, organic carbon and nitrogen contents as well as dry weight of particulate matter were determined separately for two size fractions ($<20 \mu$, $>20 \mu$). The distribution of different species will be determined from preserved samples. A full size spectrum of phytoplankton was obtained with the aid of a Coulter Counter. Details of the vertical profile of phytoplankton in the upper layers of the water column were observed during the last part of the experiment by a fluorescence sonde.

Generally it was possible to distinguish between the subsequent 3 different conditions:

- In the North Atlantic water near the ice edge visibility was poor and the phytoplankton concentration was relatively high.
- In the central pack ice the visibility was high with a small phytoplankton content of the water.
- In a polynya and in open leads over the East Greenland shelf poor visibility with rich phytoplankton occurrence was typical.

The production for various light depths was estimated with the ^{14}C method. The depths were determined with a Secchi disc. Light measurements with a so-called quantum meter were carried out from a rubber boat near the edges of ice floes and through bore holes in the ice. These data will help to define the light regimes between and underneath ice floes.

The incubation experiments to investigate the productivity were attempted in four different ways:

- The samples were exposed to deck level light conditions and sea surface temperatures.
- The natural light conditions and ambient temperatures were artificially simulated in the laboratory.
- The incubation bottles were exposed in situ. This test was not successful in the given situation.
- One incubation experiment was carried out through a bore hole to get some insight into the productivity under reduced light conditions.

Finally, diatom cultures were prepared for further ecophysiological experiments in home laboratories.

2.1.4.5.2 Zooplankton (AWI, IfMK, BNL)

Zooplankton abundance was estimated at 25 stations by tows of an opening/closing multinet system (mesh size 200 μ) which was released at 5 depths down to 500 m. The close relationship between the dominant copepods *Calanus finmarchicus*, *C. glacialis* and *C. hyperboreus* and the various watermasses of Fram Strait is noteworthy. Microzooplankton was concentrated by filtering 20 l water samples originating from different depths through 20 μ m gauze.

Secondary production and life cycles of herbivorous copepods were studied by the following approaches:

- The activity of the digestive enzymes amylase and trypsin indicates whether the copepodids of the genus *Calanus* are in an overwintering condition with reduced metabolism or stay in an active feeding mode. More than 100 homogenates were prepared of the fifth copepodid stage (CV) of *C. finmarchicus*, *C. glacialis* and *C. hyperboreus* from 500-200 m depth and from surface tows.
- Moulting experiments were conducted on CV *C. finmarchicus* from the surface. Animals were kept at ambient temperature to observe their development, which was practically zero since the physiological preparation for wintering had already taken place.
- The production was estimated by calculating the growth from the difference between ingested food and energy used for maintenance metabolism. Food ingestion ("grazing") of various species and stages was measured by the difference between particle concentrations before and after animals were added. Assimilation efficiency will be derived later through biochemical analyses of faecal pellets.
- The egg production of female *C. finmarchicus* and *C. glacialis* is strictly correlated with food supply. Since the females are not growing at this stage, the egg production can be taken as a measure of their net production under observed nutrient conditions. Healthy females were selected from bongo net hauls (500 μ m and 700 μ m mesh size) covering the upper 150 m of the water column.

With *C. glacialis* 20 experiments were carried out on 11 stations during the Fram Strait transects. This species is found almost exclusively under the ice. Eggs were produced only in samples of the East Greenland Shelf.

With *C. finmarchicus* 120 experiments were carried out on 57 stations. Stations were closely spaced near the ice edge. In general egg production was low under the ice. Maximum production was found at the ice edge which in these cases was more or less identical with the Polar Front. Towards the open Atlantic egg production apparently decreased again.

In the laboratory the influence of experimental conditions upon egg production was studied as well. Females were incubated in ambient seawater, in filtered seawater and in algae cultures. In addition maximum egg production was studied at different temperatures with optimum food conditions (algae cultures).

2.1.4.5.3 Nitrogen dynamics in the Marginal Ice Zone (NPS, BNL, BLOS)

The research goal was to determine whether the extensive ammonium maximum which was observed during MIZEX 83 was present during the 1984 study, and if so, what processes produced it and what were the rates of those processes. To accomplish this, the nitrogenous nutrient (ammonium and urea) distributions as well as the phyto- and zooplankton fields were determined. Samples for nutrients were collected at 55 stations, and most of these stations were embedded in the mesoscale grid pattern used in the synoptic study. These samples indicated that there was indeed a distinct ammonium maximum within the water column, generally occurring at a depth of 40 to 60 m. Phytoplankton biomass was estimated by chlorophyll analyses at 59 stations.

Rates of nitrogen turnover were specified by various techniques. Uptake of nitrate, ammonium and urea by plankton in the euphotic zone (100, 50, 30, 15, 5, 1 and .1 % light depths) was determined by use of ^{15}N -isotopes. Ammonium regeneration by organisms less than 333 μm was obtained by the use of an isotope dilution technique. This procedure measures the change in the ratio of the dissolved NH_4^+ during an incubation period (i.e. $^{15}\text{NH}_4^+$ is initially added to create a known $^{15}\text{N}/^{14}\text{N}$ ratio, but because $^{14}\text{NH}_4^+$ is regenerated from preformed nitrogen, the ratio is lowered through time; this allows the calculation of absolute regeneration rates). Experiments with size fractionations separated the microzooplankton from bacterially-mediated regeneration. Impact of zooplankton was estimated by adding animals to filtered seawater and measuring the change in ammonium concentration through time. When combined with estimates of zooplankton biomass, the impact of macrozooplankton on the water column nitrogen dynamics can be determined.

Additional experimental work was carried out to test various nitrogen dynamics. Oxygen uptake experiments were conducted to estimate respiration by individual zooplankters as well as the entire planktonic community. ^{14}C -uptake was also measured in

conjunction with ^{15}N -uptake, and ^{14}C -methylamine uptake was also determined (as an ammonium analogue). These samples will be analyzed by microautoradiography and hopefully will tell us which phytoplankton species were most active in nitrogen uptake.

Finally, particulate nitrogen flux was estimated in sinking rate experiments. Preliminary results showed that water column position, grazing activity and cell size were important in controlling rates of nitrogen flux.

2.1.4.5.4 Distribution of nutrients and organic substances (SFB 94)

Together with CTD measurements more than 2200 water samples were taken for chemical analysis. Each station consisted of 12 or 24 samples. Nutrients - nitrate, nitrite, phosphate, silicate, and ammonium - were determined on board from unfiltered samples by a Technicon Autoanalyzer. Additionally filtered probes have been preserved by mercury chloride for analysis of organic substances later.

In the upper ocean layer distinct correlations between nutrients and the biological activity became obvious. At the ice edge the nutrient concentrations were rather low while the phytoplankton productivity seemed to be quite high. In particular, nitrate was rare in the euphotic zone. This substance seems to be the limiting factor of the phytoplankton growth. The concentrations of the other nutrients tended to increase towards ice covered regions. In general the contents of nitrate, silicate and phosphate increased with depth assuming maxima near the ocean bottom. In contrast ammonium and nitrite showed highest concentrations between 30 and 80 m depth in the ice edge region due to decomposition processes and release of zooplankton.

The distribution of nutrients seems to be characteristic for certain water masses, e.g. the outflow of the Arctic Ocean showed a high concentration of nutrients with more than 20 $\mu\text{moles dm}^{-3}$ of silicate and $1.5 \mu\text{moles dm}^{-3}$ of phosphate in the layer between 50 and 100 m depth. The silicate concentration decreased from about $21 \mu\text{moles dm}^{-3}$ at 80 m to $6 \mu\text{moles dm}^{-3}$ below 100 m depth.

2.2 THE METEOROLOGICAL PROGRAMME OF THE "FALCON 20"

by Hans Peter Fimpel (DFVLR) and Marianne Gube (AWI)*

2.2.1 The instrumentation of the aircraft

The "Falcon 20" is a two-engine fanjet with a pressurized cabin equipped for both visual and instrument flight conditions. Flight data and atmospheric parameters such as static air pressure, impact pressure, air flow angle, temperature, humidity and downward and upward directed radiative fluxes can be continuously recorded.

The pressure and flow angle sensors (Rosemount 5-hole sonde) are located at the front end of a nose boom of 1.8 m length. The central opening for impact pressure is symmetrically surrounded by four further openings. The pressure differences between opposite inlets provide a measure for the angle of attack and the sideslip. Together with static pressure values and the Inertial Navigation System (INS) information on the aircraft motions these data allow the determination of the three-dimensional wind vector. Figure 2.2 gives a side and front view of the 5-hole sonde.

Air temperature is measured by two platinum resistance thermometers (Pt-100 and Pt-500) positioned in the front of the aeroplane. The two instruments have different time constants. The Pt-100 reacts much faster than the Pt-500.

The humidity channel with two devices to measure atmospheric humidity is also located in the front part of the aircraft. The Lyman- α hygrometer registers the absorption within the Lyman band of atomic hydrogen which is proportional to the absolute humidity. The instrument has a short response time, however, its calibration is unstable over longer time periods. A Vaisala-Humicap serves as a reference for in-flight calibration of the Lyman- α hygrometer. The atmospheric conditions within the humidity channel can be quite different from the outside air, so that temperature and pressure are measured additionally in the channel.

The instrumentation for radiative flux measurements consists of two Eppley-pyranometers for the shortwave radiation flux (wavelengths 0.3 - 3.0 μm) and two Eppley-pyrgeometers for the terrestrial wavelengths (4.0 - 100.0 μm). Two outlets in the roof and two in the bottom of the aircraft's body allow the upward and downward facing installation of the pyrradiometers.

* For acronyms of institutes see under "Beteiligte Institute"

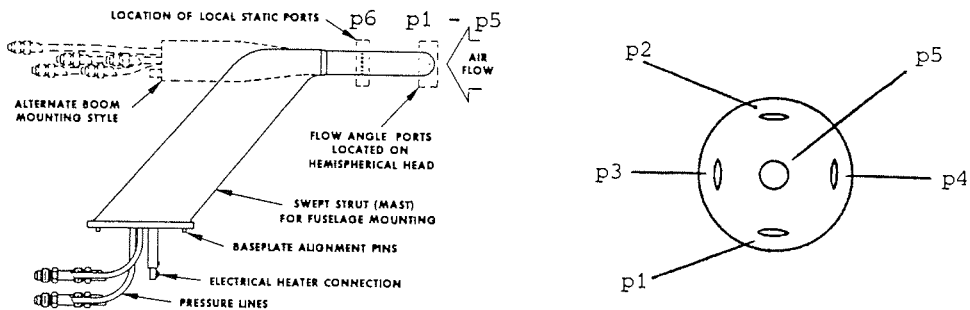


Figure 2.2: Side and front view of the 5-hole sonde

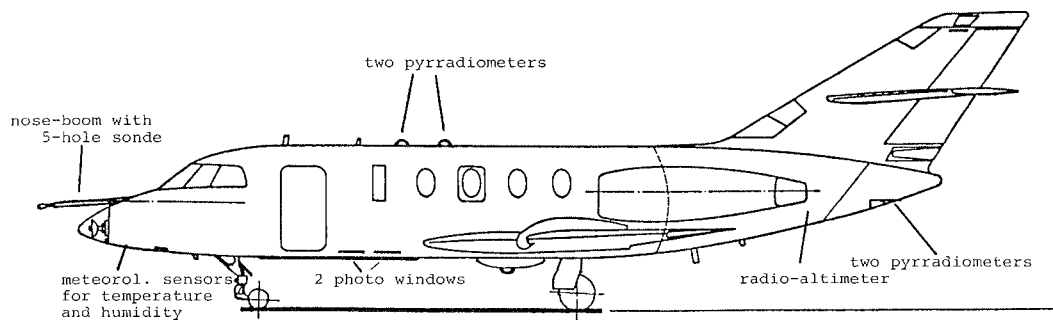


Figure 2.3: Location of sensors on board the "Falcon 20"

In addition, a PRT-6 radiometer is installed facing downward through the aircraft's bottom window. The radiometer's spectral sensitivity in the so-called "atmospheric window" (8 - 12 μm) allows the determination of the Earth's surface radiation temperature. Since the PRT-6 is highly temperature dependent, in-flight calibrations can be performed by placing a black body of known temperature into the radiometer's field-of-view.

A video and a Hasselblad camera are installed in the second floor window facing downward. Video tapes and photographs at selected time intervals were routinely recorded during each flight.

Figure 2.3 schematically shows the location of the above described sensors.

The flight data are provided by the Inertial Navigation System (INS). With a given starting point of the platform (geographical coordinates of the airport of departure), a time integration of all experienced accelerations results in a complete knowledge of position, velocity, true heading, actual track angle, and aircraft roll and pitch. These data are not only important for navigation purposes but also for any computation of true wind data from the pressure and flow angle sensor outputs. Three additional accelerometers serve as a (rather crude) back-up for the INS.

Finally, the aircraft's height over ground is given by a radio-altimeter which functions up to 2000' flight level.

The on board data registration provides a 10 Hz data recording of all meteorological, INS and accelerometer data, which amounts to a total of 105 individual channels. An additional 100 Hz recording was performed primarily for turbulence measurements. The 100 Hz channels included the radio-altimeter, the 5-hole pressure sonde, the Ly- α hygrometer, the Pt-100 temperature, and the INS vertical acceleration. All data were stored on PCM magnetic tapes.

2.2.2 The flight programme

2.2.2.1 Boundary layer flights (AWI)

The meteorological research aircraft "Falcon 20" of the DFVLR took part in the MIZEX field phase from June 20, 1984 to July 17, 1984.

The aircraft was stationed at Longyearbyen/Svalbard. The technical coordinator, 6 scientists, 6 technicians and 2 pilots were accommodated in a guest house of the SNSK (the Spitsbergen coal

company). The house had enough room also for the ground computer system (PDP-11 of the DFVLR). Limited office space for flight preparation and a hangar for the "Falcon" were available on the Svalbard airfield.

The boundary layer flight programme commenced on 23 June 1984. The aim of these flights was to measure the turbulent fluxes of heat, water vapour and momentum under various conditions of sea ice cover, ice floe size distribution and large scale wind direction.

The "Falcon" flew generally low-level patterns with the main legs parallel to the ice edge. An individual flight leg was about 30 nm long to cover the relevant turbulence scales. Between four and seven legs were flown during one mission, partly over ice and partly over open water.

The normal flight level was 100 m, which is the minimum height for this jetplane. In three cases the flight pattern was repeated in a second level just below the temperature inversion at the top of the atmospheric mixed layer. Cruising speed during the measurements was 200 knots.

The flight patterns were centered on "Polarstern" during the first two minidrift periods; they lay within the meteorological buoy triangle for two missions (27 and 29 June 1984) and within the ship's quadrangle during the intensive meteorological phase (9 -14 July 1984). The "Falcon" measurements are thus well related to the observations of the MIZEX ships.

The scientific flight missions were limited by the plane's technical constraints. The endurance of the "Falcon" was only three hours since fuel reserve for one additional hour was necessary because no alternate airport was available in a reasonable distance of the experiment site.

In spite of these facts, only a few flights had to be re-scheduled due to bad weather conditions. The endurance of three hours allowed an average time in the experiment area of 85 minutes. Roughly half the low level flights were carried out in fog, i.e. under instrument flight conditions. The limited endurance gave room only for minor changes of the flight plan after take-off. Therefore, a proper coordination with other research planes working in the same area was vital. In cases in which the flight patterns of aeroplanes could not be firmly defined for the entire mission the "Falcon" flight was usually delayed until all other research planes had left the MIZEX area.

A total of 13 boundary layer flights were performed with 18 hours and 25 minutes of measuring time. Some details are indicated in Table 2.1. Technical defects occurred on two occasions. The flight

on 30 June 1984 suffered from an INS failure which terminated the mission ten minutes before the normal end. A broken fuel flow meter prohibited flying on 12 July and the morning of 13 July 1984.

A quick-look plot of six selected data channels was possible during each flight, and all tracks were plotted after each flight at Longyearbyen. This raw data evaluation suggests good functioning of all sensors. The last flight was executed on 14 July 1984. On 17 July 1984, 8.00 GMT the "Falcon" departed from Svalbard to Oberpfaffenhofen where she arrived on 18 July 1984.

2.2.2.2 Arctic Stratus Cloud Programme (DFVLR, UST)

The second type of mission was concerned with the structure and formation of arctic stratus clouds. For this purpose the standard equipment has been extended by cloud physics probes (PMS-Knollenberg: FSSP and OAP-230 X, KING-LWC-Probe) and an aerosol/cloud water sampling device which was developed and operated by the University of Stockholm. Data have been collected on seven flights with a total flight time of 17 hours and 46 minutes and with a time on target of 8 hours and 21 minutes. Dependent on the structure of the low level clouds, between 7 and 10 legs of about 34 nm were flown in different levels and directions during each mission.

The main goal was to investigate the formation and dissipation of arctic stratus clouds. Therefore, the following physical parameters will be determined from the observations:

- turbulent fluxes of momentum, sensible and latent heat as a function of height in the planetary boundary layer
- microphysical cloud properties such as drop size distribution and liquid water content
- radiative cloud properties (reflectivity, transmissivity and absorptivity)
- physico-chemical and optical properties of the atmospheric aerosol.

With respect to this programme Longyearbyen/Svalbard appeared to be a very suitable airport and it can be recommended for similar purposes. The attached Table 2.2 presents some details of the flight missions conducted.

DFVLR Flt. No.	Date	Time (GMT)	Time over target (GMT)	Corner Coordinates	Remarks	
1070	23.6.84	11:05-14:15	11:40-13:35	80°17'N 01°29'E, 80°29'N 04°03'E 79°48'N 02°42'E, 80°00'N 05°17'E	7 flight legs of 30nm length, orientation 67°, height 300'	
1071	24.6.84	10:55-14:05	11:35-13:25	80°22'N 00°40'W, 80°34'N 01°54'E 79°53'N 00°35'E, 80°05'N 03°10'E	7 flight legs of 30nm length, orientation 67°, height 300'	
1074	27.6.84	10:55-13:55	11:35-13:05	80°14'N 00°50'E, 80°33'N 04°00'E 79°53'N 03°20'E, 79°05'N 05°40'E	box is flown twice, in 300' and in 800' height	
1075	29.6.84	14:10-17:05	14:50-16:12	80°45'N 02°30'E, 80°25'N 04°40'E 80°22'N 00°30'E, 80°03'N 02°39'E	box is flown twice, in 300' and in 600' height	
1076	30.6.84	13:55-16:50	14:30-15:33	82°30'N 05°00'E, 82°36'N 08°50'E 80°00'N 08°00'E, - -	L-shaped pattern, one 150nm and one 30nm leg, height 300'	
1078	2.7.84	11:50-14:45	12:30-14:10	80°18'N 00°32'E, 80°42'N 02°22'E 80°02'N 02°39'E, 80°25'N 04°30'E	7 flight legs of 30nm length, orientation 40°, height 300'	
1080	4.7.84	16:55-19:55	17:35-19:16	80°30'N 00°43'W, 80°39'N 01°42'E 79°51'N 00°56'E, 79°57'N 02°20'E	8 flight legs of 30nm length, orientation 70°, height 300'	
1081	7.7.84	12:50-15:45	13:30-14:55	78°52'N 06°17'W, 79°13'N 04°39'W 78°09'N 02°47'W, 78°30'N 01°00'W	4 flight legs of 30nm length, orientation 44°, height 300'	
1082	9.7.84	10:00-12:50	10:40-12:10	79°22'N 03°55'W, 79°50'N 03°10'W 79°00'N 02°00'E, 79°28'N 03°00'E	4 flight legs of 30nm length, orientation 21°, height 300'	
1083	9.7.84	15:55-18:45	16:35-18:00	as flight 1082, only in height 900'		
1084	10.7.84	08:55-11:55	09:40-11:50	79°22'N 03°55'W, 79°50'N 03°10'W 79°00'N 02°00'E, 79°28'N 03°00'W	4 flight legs of 30nm length, orientation 21°, height 300'	
1087	13.7.84	15:55-18:45	16:38-17:55	79°24'N 03°51'W, 79°49'N 02°57'W 79°04'N 01°11'E, 79°31'N 02°12'E	4 flight legs of 30nm length, orientation 21°, height 300'	
1088	14.7.84	09:10-12:00	09:50-11:20	79°51'N 00°34'E, 79°59'N 03°21'E 78°55'N 02°30'E, 79°03'N 05°03'E	5 flight legs of 30nm length, orientation 70°, height 300'	

Table 2.1

DFVLR Flt. No.	Date	Time (GMT)	Time over target (GMT)	Corner Coordinates	Remarks
1072	25.6.84	11:01-13:47	11:33-12:41	80°04'N 05°20'E, 80°51'N 03°33'E 80°07'N 06°04'E, 80°53'N 04°20'E	7 flight legs of 17 and 34nm length betw. 300' and 13500'
1073	26.6.84	15:11-17:38	15:52-16:53	79°46'N 00°30'E, 80°33'N 02°14'E 80°34'N 01°57'E, 79°47'N 00°14'E	9 flight legs of 17 and 34nm length betw. 300' and 1850'
1077	1.7.84	10:40-13:29	11:32-12:46	78°37'N 05°30'E, 78°31'N 07°58'E 78°07'N 05°04'E, 78°02'N 07°27'E	8 flight legs of 27nm length, between 700' and 1700' height
1079	3.7.84	09:04-11.32	09:44-10:49	80°00'N 01°00'E, 80°30'N 01°00'E 80°30'N 01°11'E, 80°00'N 01°10'E 79°58'N 06°04'E	10 flight legs of 17 and 34nm length in levels between 300' and 1700' height
1085	10.7.84	15:03-17:25	15:42-16:41	79°00'N 02°00'E, 79°48'N 03°36'E 79°48'N 03°20'E, 79°01'N 01°45'E 79°32'N 04°49'E	9 flight legs of 17 and 34nm length in levels between 300' and 1000' height
1086	11.7.84	08:28-11:20	09:13-10:20	79°00'N 00°00', 79°42'N 00°00' 79°42'N 00°17'E, 79°00'N 00°16'E 79°21'N 01°54'W	10 flight legs of 17 and 34nm length in levels between 300' and 1000' height
1089	15.7.84	08:07-09:51		southwest coast of Spitzbergen	breakdown of INS; sampling of aerosols in 12000' height

Table 2.2

2.3. CRUISE REPORT OF R.V. "VALDIVIA"

Chief Scientist: Detlef Quadfasel (IfMH)*

2.3.1. Narrative

"Valdivia" sailed from Hamburg on 15 June 1984 at 18.00 LT, a few hours after the final tests of the newly installed "Grims Leitrad" had been completed. The scientific crew consisted of 16 scientists and technicians working on six different programmes: Hydrography, currents, waves, meteorology, plankton and production biology.

The first leg from Hamburg to Longyearbyen where the ship arrived at 1:00 LT on 22 June was mainly used for installation and testing of scientific equipment. Additionally, the sea surface temperature and salinity were measured along the ship's track at hourly intervals and reported to the German Hydrographic Institute. At two locations, in the Norwegian Coastal Current and south of Svalbard surface water was sampled for ^{137}Cs analysis.

After refuelling the ship and unloading equipment for the "Falcon 20" aircraft "Valdivia" left Longyearbyen in the evening of June 22 to join the MIZEX field programme.

On a zonal transect with XBT launches at 78° N three satellite tracked drifting buoys were put into the West Spitzbergen Current with a spacing of 20 nm. A fourth buoy was deployed about 30 nm north of this transect.

After reaching the ice edge at 80° N, 7° E "Valdivia" joined "Hakon Mosby" in the mapping of oceanic mesoscale features near the ice edge. During the course of this work surface current measurements with CODAR were made in an area of approximately $50 \times 80 \text{ km}^2$. Furthermore closely spaced CTD stations as well as biological and wave measurements were carried out on transects perpendicular to the ice edge.

During a meeting with "Polarstern" on 25 June the CODAR antennas were calibrated using a transmitter which was temporarily installed on "Polarstern".

From 26 June to 2 July two large scale transects across Fram Strait were executed at latitudes $80^{\circ}20'$ N and $78^{\circ}55'$ N. Station spacing varied between 6 and 10 nm. Deep CTD casts down to 5 m above the ocean bottom were conducted at all stations. Water samples for calibration and nutrient analysis were taken at various depth levels with the aid of a 20 bottle rosette sampler. The biological sampling at each station consisted of 30 litre-

* For acronyms of institutes see under "Beteiligte Institute"

bottle casts in the upper 150 m of the water column, multinet hauls in the upper 500 m and optical chlorophyll measurements in the upper 80 m. CODAR measurements were carried out either at the beginning or end of a station in order to derive the surface current pattern under the assumption of stationarity. On stations which lay within a range of 80 nm distance the ice edge waves were measured with waverider and pitch and roll buoys as well as derived from radar observations.

On 29 June three additional CTD-stations were occupied along a meridional transect at 6°45' E. This work was started by "Kvitbjörn" and finished by "Valdivia".

During the minidrift phase from 2 to 4 July four mesoscale CTD sections and one biological section were jointly carried out with "Kvitbjörn". The planned wave programme had to be cancelled unfortunately due to lack of wind and waves.

The synoptic scale CTD programme was carried out from 5 to 8 July in cooperation with "Hakon Mosby" and "Polarstern" and additional helicopter support. "Valdivia" occupied four zonal transects at 77°40' N, 77°55' N and 78°10' N and 78°55' N consisting of ten stations each and extending some 35 nm off the ice edge. In between surface current measurements were made with CODAR. Along the northernmost transect biological and wave measurements were carried out as well.

On 9 July the five day intensive meteorological programme started. "Valdivia" occupied the easterly position of a diamond shaped array of platforms some 70 nm off the ice edge. During this time the launching interval of radiosondes was decreased from 6 to 3 hours. Parallel to this programme four CTD profiles and two multinet hauls were obtained every day. A waverider buoy was maintained throughout the five days. In order to save fuel "Valdivia" was drifting during most of this period steaming up to the nominal position only once or twice per day.

On 14 July the third of the large scale transects was started at 77°30' N near the ice edge at 1° W. The measurement schedule was the same as on the first two transects with CTD casts, biological samplings, wave observations and CODAR measurements. Altogether 24 stations were occupied between the ice edge and the coast of Svalbard at 13°30' E. This work was completed on 18 July 1984 and "Valdivia" arrived at Longyearbyen on the afternoon of 18 July. During the port stay some equipment was exchanged with "Polarstern". "Valdivia" departed from Longyearbyen on 19 July and arrived in Hamburg - after a 6 day passage - on 25 July 1984.

2.3.2 The individual programmes

2.3.2.1 Oceanography

2.3.2.1.1 Hydrography (IfMH, SFB 94)

Hydrographic observations were carried out in the eastern Fram Strait employing a CTD (ME-Multisonde) which was supplemented by a 20-bottle rosette sampler. The salinity samples were analyzed with a Guildline Autosal and provided calibration values for the CTD's conductivity cell. Ten of the bottles were equipped with reversing thermometers which were also used for the calibration of the CTD. Additional water samples were drawn and conserved for analysis of nutrient concentration. Preliminary analysis of the GOHLA precision reversing thermometers showed differences of less than $\pm 0.003^\circ \text{C}$ between individual thermometers. An intercalibration of the two Autosal salinometers on "Valdivia" and "Polarstern" resulted in differences of less than $\pm 0.003\%$ for 20 samples. The hydrographic programme consisted of three parts, each covering processes of different spatial scales.

Large scale programme: Three zonal cross-sections at $80^\circ 20' \text{ N}$ (12 Stns), at $78^\circ 55' \text{ N}$ (15 Stns) and at $77^\circ 30' \text{ N}$ (24 Stns) were occupied between the ice edge and the coast of Svalbard. Additional 22 stations were carried out during the meteorological programme in the area of 78° N 7° E (Fig. 2.4, heavy dots). All profiles extended from the sea surface to 5 m above the bottom. XBT measurements were obtained on transit between CTD sections with a grid spacing between 3 and 10 nm (Fig. 2.5). The CTD work was partly continued by "Polarstern" in the ice covered region.

Synoptic scale programme: Four transects, each consisting of ten CTD-stations were carried out along $77^\circ 40' \text{ N}$, $77^\circ 55' \text{ N}$ and $78^\circ 10' \text{ N}$, $78^\circ 55' \text{ N}$ (Fig. 2.4, crosses), spanning an area from the ice edge to about 35 miles into the open water. Sampling depths were 500 m and 1500 m alternatively. This part of the programme was carried out in cooperation with "Hakon Mosby" and "Polarstern".

Mesoscale programme: Centered at $80^\circ 10' \text{ N}$ 3° E five transects were occupied with a profile depth of 500 m (Fig. 2.4, light dots). They were intended to support the mesoscale surveys of "Hakon Mosby" and "Kvitbjörn".

2.3.2.1.2 Current observations (IfMH, SFB 94)

Drifting buoys: Four satellite tracked Argos buoys were launched into the West Spitzbergen Current at the beginning of the cruise. Three were deployed along 78° N at 20 nm spacing, one at $78^\circ 30' \text{ N}$ north of this row. The expected life time of the buoys is about 6 months. They should help to investigate the mean surface inflow

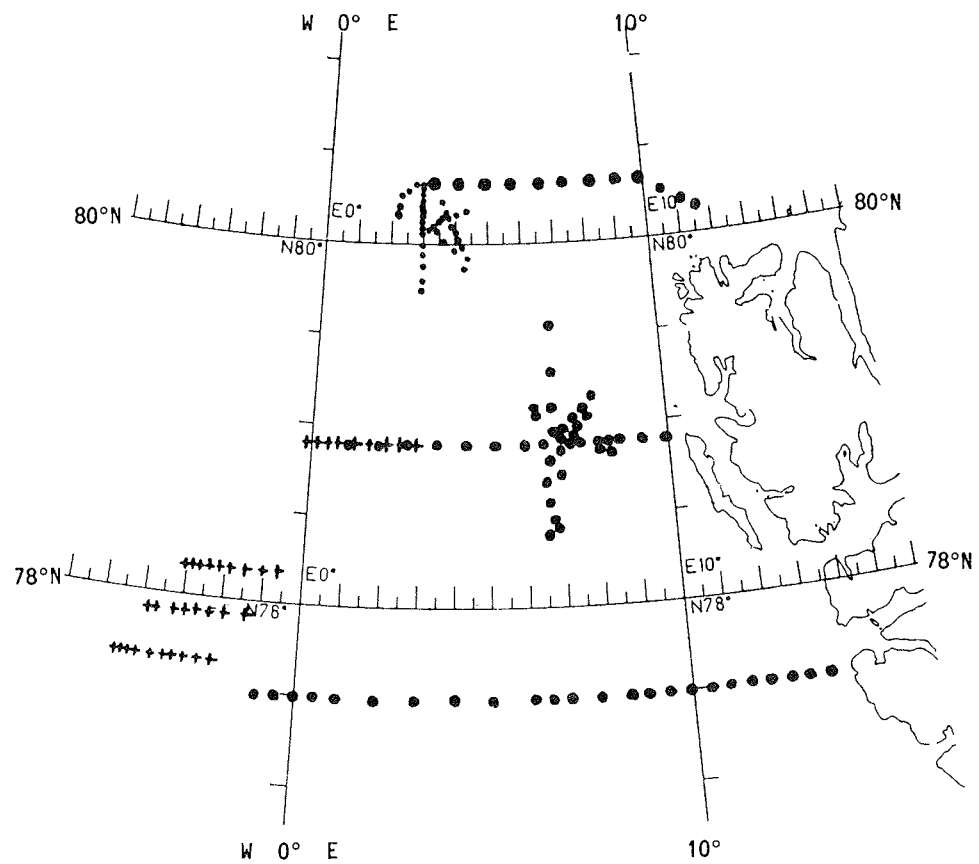


Figure 2.4: CTD stations of "Valdivia" during MIZEX 1984
 Heavy dots: large scale
 Crosses : synoptic scale
 light dots: mesoscale

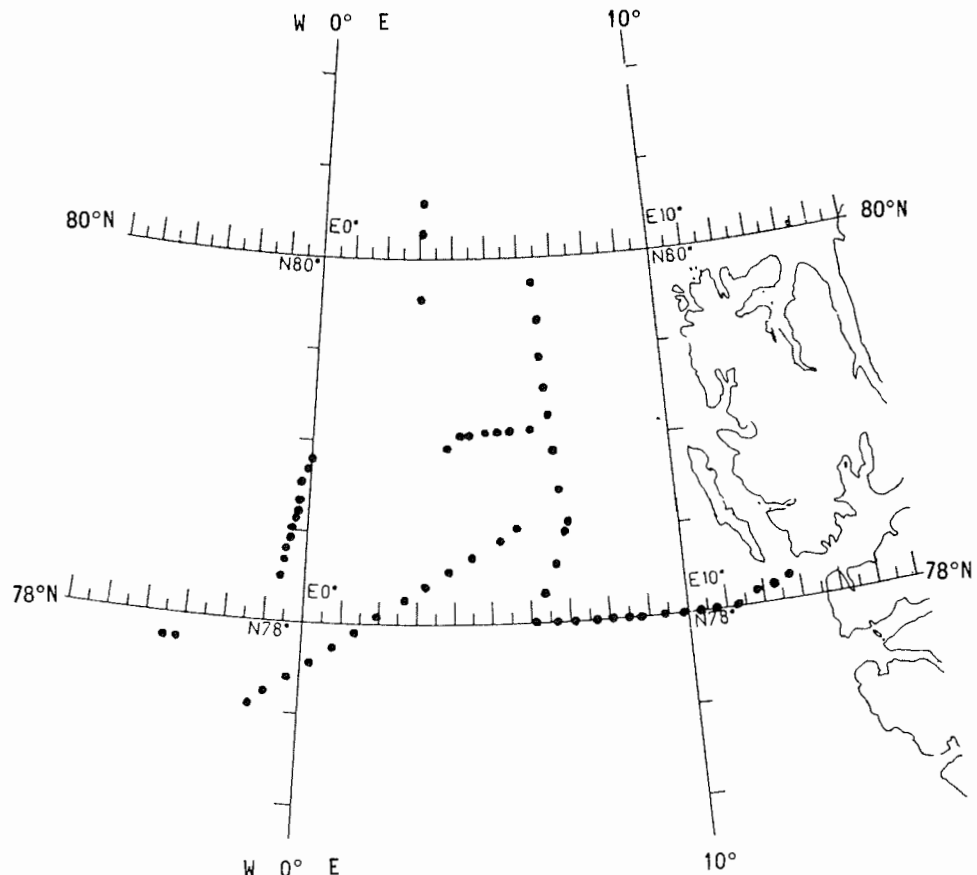


Figure 2.5: XBT positions occupied by "Valdivia" during MIZEX 1984

of warm Atlantic water into the Arctic Basin, the structure of the recirculation cell and the mesoscale variability of this current system in comparison to the outflow regime of the East Greenland Current.

High-frequency CODAR: The Coastal Oceanic Dynamics Application Radar (CODAR) was applied for the first time from a drifting platform to measure surface currents. On the basis of test measurements during MIZEX 1983 new receiving antennas had been developed to improve the angle resolution and the range of the instrument. During two calibration runs, one in the North Sea and the other near the ice edge the instrument worked satisfactory.

Since the current was measured only relative to the moving platform, ship drift was logged during the measurements to allow for a later correction. The ship's acceleration in three dimensions was also monitored to account for movements of the antennas due to waves and swell.

Measurements were carried out on all stations of the large scale CTD sections and during the mesoscale programmes near the ice edge.

2.3.2.1.3 Wave measurements (SFB 94)

Wave measurements were conducted with three different instruments: a waverider buoy, giving one-dimensional wave spectra, a pitch and roll buoy for two-dimensional wave spectra and the ship's radar, giving two dimensional directional spectra from the moving ship.

Routine measurements were obtained along the large scale transects and during the five day meteorological programme and whenever required for ground truth for aircraft remote sensing.

Additional measurements were carried out near the ice edge of the antennas due to waves and swell.

Measurements were carried out on all stations of the large scale CTD sections and during the mesoscale programmes near the ice edge.

2.3.2.1.3 Wave measurements (SFB 94)

Wave measurements were conducted with three different instruments: a waverider buoy, giving one-dimensional wave spectra, a pitch and roll buoy for two-dimensional wave spectra and the ship's radar, giving two-dimensional directional spectra from the moving ship.

Routine measurements were obtained along the large scale transects and during the five day meteorological programme and whenever required for ground truth for aircraft remote sensing.

Additional measurements were carried out near the ice edge to investigate the effects of the ice barrier on waves and swell during on-ice and off-ice winds. This part of the programme was executed during the meso- and synoptic scale surveys.

2.3.2.2. Meteorological measurements (AWI)

Vertical profiles of temperature, relative humidity and the wind vector in the troposphere and lower stratosphere were measured every six hours during the entire cruise. The determination of the wind velocity is based on the OMEGA navigation system, which after some problems at the beginning provided satisfactory signals later on. Standard meteorological observations were conducted routinely at three-hourly intervals.

During the five-day intensive meteorological programme, when "Valdivia" was positioned about 70 nm off the ice edge in the open water, radiosonde profiles were measured every three hours.

2.3.2.4 Biological Measurements

2.3.2.4.1 Zooplankton (SFB 94)

The aim of our research was to study the spatial distribution and variability of the phytoplankton and zooplankton standing stocks in the Fram Strait, which seem to depend primarily on physical and chemical parameters of the water column.

The biological properties were studied on the three large scale hydrographical transects between Spitzbergen and the ice edge as well as on synoptic surveys at the ice edge. Generally the vertical distribution of the organisms in the 0-500 m water column was analyzed in detail. Chlorophyll fluorescence was measured continuously down to 100 m depth with a fluorometer (Elektro Optik Suarez). For calibration 502 distinct chlorophyll samples from ten standard depths were taken for a spectrophotometric analysis in the laboratory. In addition 20-ml water samples were prepared for taxonomical analyses of the phytoplankton standing stock. For the investigation of the zooplankton stock primarily 30-l water bottles and a an opening /closing multinet system were used. The water bottles were sampling at 12 standard levels from the surface to 150 m depth, the multiclosing net was applied in the depth ranges from 500 to 350 m, from 350 to 250 m, from 250 to 150 m, from 150 to 50 m and from 50 to 0 m. Besides these measurements 49 water bottle series and 48 multiclosing net hauls were obtained at further stations. In total we have gained 550 water bottle samples and 240 net hauls.

The taxonomic evaluation of the zooplankton samples (a.o. subdivision of the copepods in species and their development stages) is accompanied by measurements of body sizes and volumes of the organisms to estimate size differences of species living in different water masses of the Fram Strait. At nine stations in various distances from the ice edge living zooplankton was counted and the dry weight per individual was determined for different stages of development. From these data the biomass in the water column will be derived. The lipid content of the similarly specified species was estimated from 44 samples. Nutrients were analyzed from various water samples down to depths of 3200 m. The chemical parameters have been determined from 2137 samples.

2.3.2.4.2 Biological Production (IHF)

Primary and heterotrophic production were studied in the ice-edge region and on three large scale transects in the open water region of the Fram Strait.

The primary producers basically influence the development of the marine ecosystem. Their composition is dependent upon physical processes and the distribution patterns of chemical substances. The activity of bacteria controls the turnover rate of diluted organic substances and the recycling of nutrients.

Primary productivity was measured with the ^{14}C method at 37 stations with the aid of 30-l water samplers. Sampling depths corresponded to light penetrations of 90 %, 50 %, 30 %, 15 %, 5 %, 1 % and 0.1 %. 200 ml of the samples were incubated on deck in PTFE-bottles darkened according to the light depths as well as in totally dark bottles. The radioactivity of the samples was 10 μCi per 200 ml; the incubation time ranged from 4 to 6 hours. After filtration, the filters were deepfrozen. Besides light penetration (quantameter) the global radiation and the alkalinity were measured. For analysis of algal species composition and biomass samples were collected from 1 m, 10 m, 20 m, 40 m, 60 m, 80 m, 100 m and 150 m on 88 stations.

Bacterial production was determined by incorporation of H-3-thymidine into bacterial DNA at 37 stations which were alternating the primary production measurements. Water samples were taken at 5 depths regularly distributed over the water column. Additionally 50 ml of water from the hydrographic rosette were incubated with 5 μCi H-3-thymidine for 3 to 4 hours. After filtration and rinsing with TCA these filters were also deepfrozen.

Analyses of bacterial biomass (epifluorescent microscopy) were carried out for 10 depths at 88 stations.

Special samples for corrections of the quench and the influence of different bottle material (glass, PVC, PTFE) on the production have been taken once.

The natural concentration of tritium ($H-3$) will be derived from samples out of a 3000 m deep depression.

3. WASSERMASSEN IN DER FRAM-STRASSE UND IM NORDPOLARMEER

WATER MASSES IN FRAM STRAIT AND IN THE ARCTIC OCEAN

Dritter Fahrtabschnitt (Third Cruise Leg)
des FS "Polarstern": Arktis II/3

Fahrtleiter (Chief Scientist): Gotthilf Hempel (AWI)*

3.1. Aufgaben

Die Fram-Straße zwischen Grönland und Spitzbergen ist die einzige Tiefwasserverbindung zwischen dem Arktischen Ozean und dem übrigen Weltmeer. Ihre Schwellentiefe im Lena-Graben beträgt 2600 m. Bis vor wenigen Jahren nahm man an, daß der Arktische Ozean hinsichtlich der Wassermassen, die unterhalb dieser Schwellentiefe lagern, weitgehend abgeschlossen ist. Die Ergebnisse der Reisen von "Hudson" 1982, "Meteor" 1982 und "Polarstern" 1983 ergaben aber ein sehr kompliziertes Bild der vertikalen und horizontalen Zirkulation, das stark geprägt wird von der Bodentopographie und von verschiedenartigen Vermischungsprozessen. Diese Daten stammen allerdings überwiegend aus dem Gebiet südlich 80° N, wo auch 1984 während MIZEX hochgenaue CTD- und Nährstoffmessungen durchgeführt wurden. Aufgabe des 3. Fahrtabschnittes war es, das ozeanographische Beobachtungsprogramm möglichst weit in die verschiedenen Becken nördlich von Spitzbergen und nördlich der Fram-Straßen-Schwelle vorzutreiben. Die bisherigen aus diesem Gebiet vorliegenden Datensätze stammten meist von driftenden Eisschollen. Sie reichen nicht in große Tiefen. Die wenigen älteren Schiffsdaten sind nur bedingt brauchbar.

Die Entwicklung der Spurenstoff-Chemie und der Radiochemie eröffnete in den letzten Jahren eine wesentliche Ergänzung der auf Temperatur- und Salzgehaltsmessungen fußenden Identifizierung von Wassermassen und ihres Schicksals im Gefolge von Transport- und Vermischungsprozessen.

Bezogen auf unser Untersuchungsgebiet können natürliche und anthropogene Spurenstoffe und ihre radioaktiven Isotope sowohl das Alter des Arktischen Bodenwassers der internen Tiefenzirkulation als auch die Wechselwirkungen zwischen den Wassermassen nördlich und südlich der Fram-Straßen-Schwelle sowie den Austausch in mittleren Tiefen anzeigen. Ziel des Fahrtabschnittes ist u. a. eine neue Beschreibung der Rezirkulation des atlantischen Wassers im Arktischen Ozean.

* Erläuterung der Institute unter "Beteiligte Institute"

tischen Wassers, das der Westspitzbergenstrom in mehreren Ästen um das Yermak-Plateau herumführt und das hier auf arktische Wassermassen trifft, mit denen es im Ostgrönlandstrom teilweise wieder nach Süden gelenkt wird.

FS "Polarstern" als geräumiger Forschungseisbrecher bot sich als geeignete Plattform für eine breitangelegte Kooperation zwischen starken, instrumentell gut ausgestatteten - vorwiegend amerikanischen - Gruppen von Meereschemikern, deutschen und norwegischen Ozeanographen und deutschen Planktologen an.

Das biologische Programm bezog sich auf die Erfassung der Zooplankton-Gemeinschaften in den verschiedenen Wassermassen. Das im Vorjahr nördlich von Spitzbergen gesammelte Material sollte durch weitere Fänge ergänzt werden. Vor allem aber war ein planktologischer Zonalschnitt quer durch die Fram-Straße geplant, auf dem die verschiedenen Zooplankton-Biozönosen nebeneinander erwartet werden konnten. Neben dem zoogeographischen Aspekt wurde der Frage nach der Vertikalverteilung und den Beziehungen zur Eisbedeckung nachgegangen. Dabei sollten die Untersuchungen des MIZEX-Abschnittes über den Einfluß von Wassertemperatur und Eisbedeckung auf Stoffwechsel und Fortpflanzung bei dominanten Copepoden in beschränktem Umfang fortgesetzt werden. Der geplante ozeanographisch-chemische Schnitt über die Ausflüsse von Amundsen- und Nansen-Becken in die nördliche Fram-Straße sollte genutzt werden, um die bisher nicht ausreichend bekannte Plankton-Fauna dieser hocharktischen Region mit tiefreichenden Vertikalfängen zu erfassen.

Das norwegische Polar-Institut führt seit mehreren Jahren ein sehr intensives Programm zur Erfassung der Vogel- und Säugetierfauna der Seegebiete um Spitzbergen und Ostgrönland durch. Aufgrund der Eisverhältnisse sind die Beobachtungen, die meist von relativ kleinen Forschungsschiffen durchgeführt werden, ungleichmäßig verteilt. Die geplante Fahrtroute von "Polarstern" versprach, einige Lücken im Beobachtungsnetz zu schließen. Daher führten vier junge Biologen im Auftrag des norwegischen Polar-Instituts rund um die Uhr Vogel- und Säugetierzählungen vom Peildeck aus durch.

Die Verteilung der Eisbedeckung und der Eisdicken in der Fram-Straße sollte von einem weiteren Wissenschaftler des Norsk Polarinstitutts erfaßt werden.

Der Fahrtabschnitt diente - wie üblich - auch zur Prüfung und Eichung von Geräten, die für die Arbeiten des Alfred-Wegener-Instituts neu beschafft waren und auf der nächsten Antarktisexpedition routinemäßig eingesetzt werden sollten: Autoanalyser, Multinetz, Pilkmaschine zum Fang von Tintenfischen.

In folgenden Gebieten sollte "Polarstern" arbeiten:

- Gebiet des Yermak-Plateaus,
- Südrand des Nansen-Beckens nördlich von Nordostland (Spitzbergen),
- ein Zonalschnitt bei ca. $82^{\circ}30'N$ durch die beiden Einlässe vom Amundsen-Becken und Nansen-Becken zum Lena-Graben vor NO-Grönland,
- in der Längsachse des ostgrönländischen Grabensystems von $82^{\circ} N$ bis $78^{\circ} N$,
- auf ca. $78^{\circ} N$ vom grönländischen Schelf quer durch die Fram-Straße bis auf den Spitzbergen-Schelf.

Das gewählte Arbeitsgebiet lag hinsichtlich der Eisbedeckung buchstäblich am Rande des für "Polarstern" Erreichbaren. Die Programmgestaltung mußte entsprechend flexibel gehalten werden.

3.2. Reiseverlauf Longyearbyen-Tromsö 19. Juli bis 8. August 1984

Nachdem FS "Polarstern" am 18. Juli nachmittags vor Longyearbyen (West-Spitzbergen) auf Reede vor Anker gegangen war, erfolgte der Personalaustausch in der Nacht des 18./19. Juli. Die Wissenschaftler und Techniker des 3. Fahrtabschnittes trafen auf dem Flugplatz Longyearbyen die Aussteiger nur zu einem kurzen Gespräch. Für die Fahrtleiter des 2. und 3. Fahrtabschnittes war am 19. Juli ausreichend Zeit für einen gründlichen Erfahrungsaustausch. Am 19. Juli vormittags waren Schiffsführung und Wissenschaftler des FS "Valdivia" an Bord der "Polarstern" und nachmittags fand ein kleiner Empfang für die Honoratioren von Longyearbyen statt. "Polarstern" ging 20.00 GMT Anker auf.

Bei ruhigem Wetter erreichte das Schiff am 20. Juli nachmittags seine erste Station auf dem Yermak-Plateau am Rande des Packeises. Zwei weitere Stationen am Ostrand des Plateaus folgten, sie lagen im mäßig dichten Packeis. Hier wurde physikalisch-ozeanographisch, chemisch und biologisch gearbeitet.

55 Seemeilen weiter ostwärts, auf dem Schelf des Nordostlandes begann ein Schnitt über dem Südosthang des Nansen-Beckens. Für die Chemiker und physikalischen Ozeanographen war die tiefste Station auf 2400 m Wassertiefe von besonderer Bedeutung. Hier hielt sich das Schiff im dichten Packeis bis zum 22. Juli abends auf. Bei anfangs günstigen Wetterbedingungen suchte "Polarstern" anschließend den kürzesten Weg zur Packeisgrenze, um möglichst im freien Wasser bis zum Yermak-Plateau zurückzukehren, wo am 23. Juli, bei meist dichtem Nebel, drei biologische Stationen erledigt wurden. Dann begann die 600 Seemeilen lange Fahrt zur

Nordostecke Grönlands. Dabei wurde die Packeiszunge des Ostgrönlandstromes weit südlich auf $78^{\circ}20'N$ gekreuzt, weil hier nach der detaillierten Eisberatung durch Herrn Strübing, Deutsches Hydrographisches Institut Hamburg, mit den geringsten Zeitverlusten zu rechnen war. Tatsächlich erfolgte die Passage unter Umgehung großer Eisschollen relativ schnell, so daß "Polarstern" bereits am 25. Juli im Treibeis, das nach Norden zu immer lockerer wurde, etwa entlang der 200 m-Linie unter der grönländischen Küste nordwärts vordringen konnte. Am 26. Juli morgens wurde auf $81^{\circ}46'N$ $10^{\circ}41'W$ die Anfangsposition für den Südwest - Nordost Schnitt durch den Nordausgang des Lena-Grabens erreicht. 46 Stunden lang konnte auf sechs Stationen in freiem Wasser auf Tiefen zwischen 200 m und 4500 m ein intensives Programm aller beteiligten Disziplinen abgearbeitet werden. Für die Wahl der Stationspositionen erwies sich auch die neueste Tiefenkarte des Office of Naval Research als wenig hilfreich. So wurde für die Suche nach dem tiefsten Teil des Lena-Grabens ein Lotprofil gefahren, das Wassertiefen von 4500 m ergab, wo laut Karte bereits der Osthang des Grabens mit Wassertiefen um 3000 m lag. Dieser Osthang konnte wegen der massiven Barriere von mehrjährigem Packeis, die die Polynya östlich begrenzte, nicht erreicht werden. Am 28. Juli folgte ein kurzer Abstecher nach Nordwesten, etwa in der Achse des Lena-Grabens, wo auf $82^{\circ}45'N$ $9^{\circ}40'W$ die nördlichste Station der Reise mit vollem ozeanographischem und biologischem Programm erreicht wurde. Die allgemein günstige Eislage dieses Jahres und die anhaltenden südlichen Winde, die das Treibeis weit nach Norden verdriftet hatten, erlaubten ein noch weiteres Vordringen nach Norden, wobei allerdings das Treibeis zunehmend großflächiger und massiver wurde. Auf $83^{\circ}00'N$ $10^{\circ}28'W$ drehte das Schiff nach Süden ab und begann einen Meridionalschnitt mit XBT zur Erfassung des Atlantikassers entlang des Lena-Grabens. Bei den Arbeiten im Eis und der Suche nach geeigneten Positionen für die Stationen wurden wir taqelang vom dichten Nebel behindert, der seit dem 22. Juli jegliche Aufklärungstätigkeit durch Hubschrauber verhinderte. Am 29. Juli konnte "Polarstern" im freien Wasser vor der im wesentlichen nord-südlich verlaufenden Packeisgrenze auf drei Stationen am Osthang des Grabens arbeiten und anschließend den XBT-Schnitt nach Süden fortsetzen. Der Süd kurs am 30. und 31. Juli führte bei Nebel meist durch schweres Packeis. Am Westhang des südlichen Lena-Grabens erfolgte eine biologisch-ozeanographische Station, bei der das Schiff für Eisdickenmessungen an einer großen Scholle längsseits ging.

Auf Wunsch des MIZEX-Koordinators bemühten wir uns, eine norwegische Driftboje von einer Eisscholle zu bergen. Dies gelang nach längerer Suche am 1. August morgens. Der Beginn des Zonalprofils über die Fram-Straße verzögerte sich damit beträchtlich.

Der "Fram-Straßen-Schnitt" auf 77°40'N sollte die horizontale und vertikale Verteilung der Wassermassen vom Grönlandischen Schelf über die Grönlandsee und den Mittelatlantischen Rücken zur Norwegischen See und dem West-Spitzbergenschelf erfassen. Alle Disziplinen von den Vogel- und Robben-Beobachtern über die Zoo- und Phytoplanktologen zu den Spurenstoff-Chemikern, physikalischen Ozeanographen und Glaziologen waren gleichermaßen an diesem Schnitt interessiert. Daraus ergab sich ein sehr komplexes Untersuchungsprogramm. Starker Strom am steilen Schelfrand bei schwierigen Packeis-Verhältnissen und meist dichtem Nebel machte die Einhaltung eines strikten Stationsprogrammes anfangs unmöglich. Aufdampfen auf Station, um die geforderte Position und Tiefe wieder zu erreichen, konnte Stunden kosten, da bis zu 5 sm lange Eisschollen im dicken Packeis zu umfahren waren. Auch kleine technische Ausfälle an den Geräten, Winden und Zählwerken verzögerten den Stationsablauf; sie konnten aber dank des Einsatzes und Geschickes der Elektroniker meist mit bordeigener Mitteln behoben werden. Vom 1. - 5. August wurden anfangs bei Nebel, später bei starken südwestlichen Winden auf dem Fram-Straßen-Schnitt 13 ozeanographische Meßstationen und zwei Untersuchungen von Eisschollen durchgeführt. Stationen nahmen bis zu 13 Stunden in Anspruch, wenn große Probenmengen aus Tiefen bis 3400 m genommen wurden. Dabei richtete sich das chemische und biologische Sammelprogramm z.T. nach den durch CTD-Messungen ermittelten hydrographischen Verhältnissen. So erübrigte sich z.B. im Becken der Norwegischen See die Entnahme von Tiefenwasser für Tritium und Caesium, da das Becken offenbar seit den Untersuchungen der "Hudson" im Frühjahr 1982 stark durchspült worden war.

Die bei den meereschemischen Arbeiten im Fram-Straßen-Schnitt eingesparten Stunden wurden am Sonntag, dem 5. August für einen Besuch im Hornsund (Spitzbergen) verwendet, wo im ruhigen Wasser eine zum Fang von Tintenfischen neu beschaffte Pilk-Maschine getestet wurde; diese Tests wurden auf der Fugloya-Bank am 7. August fortgesetzt. Vorher aber lief "Polarstern" auf dem Weg von Spitzbergen nach Tromsö eine Position auf 1500 m Wassertiefe westlich der Bäreninsel an, um ein neubeschafftes CTD-System zu erproben. Um einen Tiefenmesser des Multinetzes zu überprüfen, wurde am 6. August eine weitere Station gefahren. Am 7. August, 19:00 Uhr Ortszeit, machte "Polarstern" an der Breivika-Pier von Tromsö fest, wo am folgenden Morgen die Entladung schwerer Expeditionsgeräte begann. Die eingeschifften Wissenschaftler und Techniker verließen das Schiff im Laufe des Vormittags. Nachmittags hatte die Bevölkerung von Tromsö und besonders die Angehörigen der Universität Gelegenheit, "Polarstern" zu besichtigen. Norwegische Wissenschaftler, die an der Expedition teilgenommen hatten, unterstützten ihre deutschen Kollegen bei Gruppenführungen durch das Schiff. Am Abend fand ein offizieller Empfang für Honoratioren der Stadt und für marin interessierte Universitätsprofessoren statt. An diesem Empfang nahmen bereits Kapt. Zapff, der Kapt. Suhrmeyer in Tromsö ablöste, und Prof. Thiede als Fahrtleiter des folgenden Expeditionsabschnittes

teil. Anschließend bunkerte "Polarstern" und die Teilnehmer von ARK II/4 kamen an Bord. Am 9. August, 9:00 Uhr, verließ "Polarstern" Tromsö.

"Polarstern" hat sich auch auf diesem Fahrtabschnitt als eisbrechendes Forschungsschiff wieder bewährt. Es ist eine hervorragende Basis für multidisziplinäre Arbeit im Packeis. Dabei ist aber eine sehr enge Kooperation, ein gegenseitiges Mitdenken von wissenschaftlicher Fahrtleitung und Schiffsführung erforderlich, denn ein starres Festhalten an geplanten Kursen und Stationspositionen ist im Eismeer technisch nicht möglich und in Seegebieten, deren Bodentopographie und Strömungsverhältnisse nur schlecht bekannt sind, wissenschaftlich nicht sinnvoll. Wir haben auf diesem Fahrtabschnitt hinsichtlich der Flexibilität der Programmdurchführung viel dazugelernt, gegenseitiges Verstehen eingeübt. Geduld mußten auch die einzelnen Arbeitsgruppen beweisen, die oft stundenlang auf ihren Einsatz warten mußten, weil das Schiff nicht die geforderte Wassertiefe oder geographische Position erreichte oder dort nicht die gewünschte ozeanographische Situation, die erwartete Konfiguration der Wassermassen, antraf.

Die Operationen im Packeis vor Ostgrönland - meist bei Nebel - bedeuteten für Kapitäne, Brückenoffiziere, Rudergänger und Windenfahrer eine starke Anspannung. Sie wurde besonders für den Kapitän zu einer sehr hohen Dauerbelastung. Die Sicherheit, mit der Schiffsführung und Besatzung die Anforderungen der Forschungsarbeiten im Eismeer bewältigten, fand hohe Anerkennung auch bei den mit der Arktisforschung vertrauten norwegischen und amerikanischen Kollegen. Die Stationen dieses Fahrtabschnittes sind in der Abbildung 3.1 dargestellt.

Water masses in Fram Strait and in the Arctic Ocean

3.1 a Objectives (Summary):

Fram Strait represents the only deep water connection between the Arctic Ocean and the Atlantic. Formerly, the deep water of the Arctic was considered as being cut off from regular exchange processes. Based on observations of recent cruises ("Hudson" 1982, "Meteor" 1982, "Polarstern" 1983), a new and complex pattern of vertical and horizontal exchange processes across the sill evolved. The circulation pattern is strongly influenced by the bottom topography and a variety of different mixing processes. While existing data were mainly collected south of 80°N, including MIZEX 1984, the objective of leg 3 was to extend the observations as far as possible into the basins north of Spitsbergen and to the north of the Fram Strait sill.

Recent advances in tracer and radionuclide chemistry have greatly improved the established methods of water mass identification, especially, with respect to transport and mixing processes. Natural and anthropogenic tracers, including their radioactive isotopes, allow estimates of the age of the Arctic bottom water, and to quantify the exchange processes across the Fram Strait sill. A major objective of this cruise was the evaluation of the complicated flow pattern in Fram Strait. Water masses of Atlantic origin are transported around the Yermak Plateau, and are also recirculated in the southward flow of the East Greenland Current after mixing with Arctic Ocean water.

The biological programme focussed on the zooplankton communities associated with the different water masses, the vertical distribution of the species and their correlation with ice cover. Physiological experiments of the previous leg, MIZEX cruise, were to be continued. In addition, birds and mammals were registered along the cruise track, which covered areas not observed before. During the entire cruise new equipment was tested and calibrated: a fluorescence probe, an autoanalyzer, the Multi-net, and a jigging machine for squid fishing.

The extension of the pack ice and the thickness of the floes was measured in the Fram Strait area.

Proposed regions of research activities:

- Area of the Yermak Plateau,
- Southern part of the Nansen Basin north of Svalbard,
- Transect at 82° 30'N through the entrance of the Lena Trough off the coast of northeast Greenland,
- Longitudinal transect through the East-Greenland trough system from 82°N to 78°N,
- Latitudinal transect along 78°N between the Greenland Shelf and the Svalbard Shelf.

3.2 a Cruise report: Longyearbyen - Tromsö (July 19 to August 8, 1984) (Summary)

After changing scientific and technical personnel in Longyearbyen, "Polarstern" set sail at 20:00 on July 19, 1984. The next day, the scientific programme started with three stations across the ice edge in the area of the Yermak Plateau.

55 nm to the east, a transect along the southeast slope of the Nansen Basin followed. "Polarstern" returned to the Yermak Plateau to complete three more biological stations. From here the ship progressed to the northeast tip of Greenland. During the 600 nm run, the ship's course was selected according to the pack ice situation. On July 26, "Polarstern" reached $81^{\circ}46'N$ $10^{\circ}41'W$, the first station along the transect through the entrance of Lena Trough. A very involved 46 h scientific programme started. Some of the arising problems were due to the lack of charts in the still un-surveyed area, and the eastern slope of Lena Trough could not be reached because of a thick multi-year ice cover. On July 28, the northernmost station ($82^{\circ}45'N$ $9^{\circ}40'W$) was completed. A favourable ice situation allowed "Polarstern" to proceed as far north as $83^{\circ}00'N$ $10^{\circ}27'W$.

During a southbound longitudinal transect through Lena Trough XBT measurements were done underway. Dense fog restricted any survey of the ice cover by helicopter. On July 29, "Polarstern" completed three stations on the eastern slope of the trough; then continued the southbound voyage in fog and heavy ice with XBT stations underway. Another multi-disciplinary station was located on the western slope of Lena Trough.

At the request of the MIZEX coordinator, a Norwegian drifting buoy was picked up on Aug 1. Thus, the Fram Strait transect along $77^{\circ}40'N$ started with considerable delay. The complex multi-disciplinary programme was partially hampered by strong shelf currents, thick pack ice, heavy fog and equipment failures. In managing the latter, the ship's electronic personnel were most helpful. By August 5, a total of 13 stations in Fram Strait and two ice floe experiments were completed.

During a short visit in Horn Sound (Spitsbergen) and later near Fugloya Bank a new jigging machine for squid fishing was tested. "Polarstern" reached Tromsö by 19.00 LT on August 7, 1984.

During this leg, the icebreaking R.V. "Polarstern" proved to be a most suitable base for a multi-national cooperation of American chemical oceanographers, German and Norwegian physical oceanographers and German planktologists.

Of utmost importance for the execution of the scientific programme was the good cooperation between the captain of the vessel and the chief scientist. Flexibility with respect to the ship's course and the position of the stations was necessary when "Polarstern" operated in areas of unknown bottom topography and current movements particularly under conditions of heavy ice and fog. The positions of stations of this leg are portrayed on Figure 3.1.

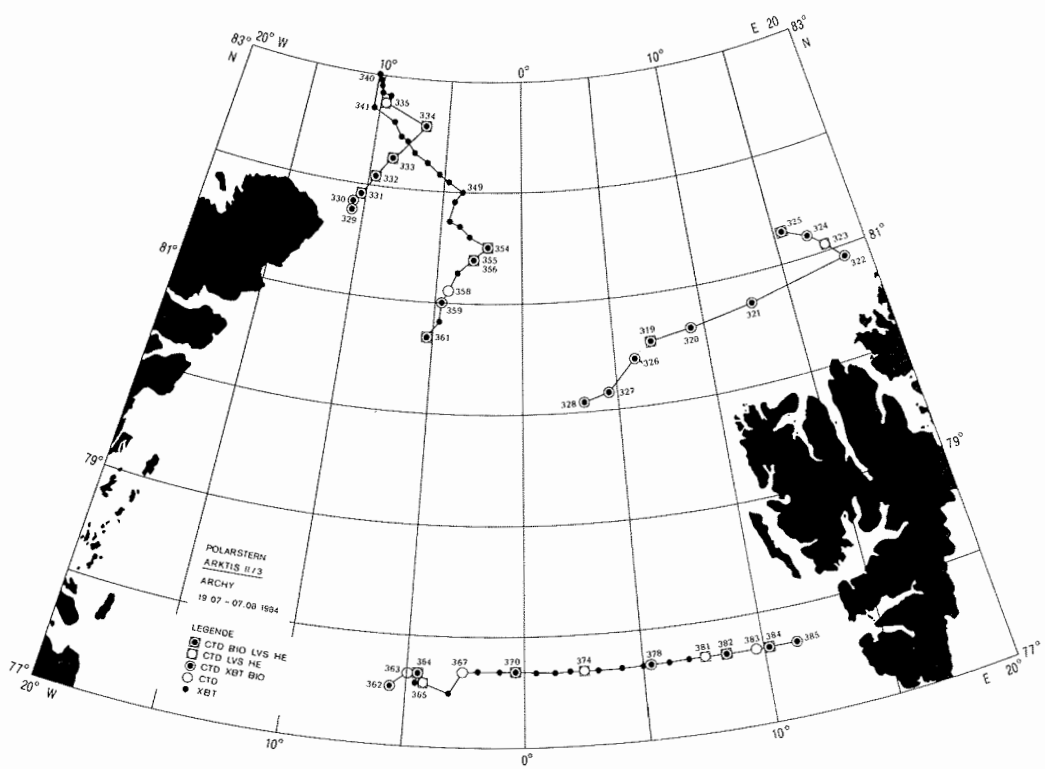


Figure 3.1: Station map of cruise leg Arktis II/3

3.3 Weather situation between 20.7. and 6.8.1984 (SWA)

At the beginning of the cruise the working area was influenced by high pressure centered over the Barents Sea. The anticyclonic flow changed to a cyclonic one very soon, due to a high level trough extending from Greenland to Central and Eastern Europe, acting as a steering flow. At its front side depressions were moving towards the northeastern edge of Greenland. Apart from short time intervals of high pressure due to a persistent Siberian high, cyclonic air flow was predominant. During this time easterly wind directions were prevailing. The air masses were of warm continental character modified by the long way across the Barents Sea where they took up moisture. At the beginning of August the large scale pattern changed significantly. A frontal zone was built up from New Foundland over Iceland to Svalbard. Now strong southwesterly winds were prevailing, transporting maritime Atlantic air. Visibility conditions were moderate to poor during nearly the entire cruise.

We did 131 observations. At 47.3 % of these observations fog occurred (Vis. 1000 m or less); if expressed in days with prevailing fog, 11 days out of 16 were foggy. For detailed information see Table 3.1. The wind statistics show the following picture: Force 1 - 4 (velocity in beaufort) occurred at ca. 64 % of all observations, force 5 - 7 at 36 %. For detailed information see Table 3.2.

Table 3.1

Visibility in % related to 131 observations, done in 3 hours intervals

Vis.	<1000 m	1 - 3 km	3 - 9 km	9 - 20 km
	47.3	15.3	19.1	18.3

Table 3.2

Wind velocity in % related to 131 observations, done in 3 hours intervals

Beaufort	1	2	3	4	5	6	7	8
	8.4	12.2	25.2	18.3	17.6	15.3	3.0	0

3.4 Chemical and physical oceanography (DHI, GPiB, SIO)

An interactive set of processes ties the Arctic Ocean, the Greenland/Norwegian Sea, and the peripheral shelf seas into a unique thermohaline system, with deep and bottom waters primarily forming and circulating internally, while various intermediate waters ventilate the deep North Atlantic. Programmes of measurements of geochemical tracers and routine hydrographic properties were carried out during the "Polarstern" cruise Arktis II/3 to determine the characteristics of the water masses from the surface to bottom both north and south of Fram Strait. Special attention was given to the routine hydrographic measurements because geochemical tracer data have been previously collected from this domain without sufficient background information, especially for the properties needed to calculate density, to make comparisons with other regions. Density is closely tied to salinity at the extremely cold temperatures typical of these domains.

A team from the Scripps Institution of Oceanography brought a rosette water sampler with a capacity of 24 10-liter sample bottles plus laboratory equipment, calibration standards, and supplies to determine salinity, oxygen, and nutrient salts in the seawater samples from the rosette. They also brought low range deep sea reversing thermometers to measure in-situ temperatures at up to six depths per rosette cast. The rosette was, without problems, mated with a Neil Brown CTD from the Alfred-Wegener-Institut. The CTD was run mainly by the DHI group. Pressures and temperatures for the water samples were provided by the CTD measurements. The Scripps rosette provided water samples for several other programmes of measurements. These include freons (LDGO) and Cesium/strontium isotopes (WHOI) and carbon dioxide partial pressure (LDGO), oxygen-18 (CaTe and Geofysisisk Institutt), tritium (Miami Tritium Lab.), helium-3 (Institut für Umweltphysik, Heidelberg), neodymium, lead and uranium (all CaTe).

The preliminary hydrographic data show previously unknown features important to our understanding of the circulation. The salinity measurements provide an example of data quality: the Scripps salinities, carefully collected and run within 48 hours of collection on a Guildline Auto-Sal salinometer, with a fresh vial of IAPSO Standard Seawater for each cast, are nominally accurate to ± 0.003 PSU. The "Polarstern" measurements in individual deepwater masses appear to have a standard deviation of less than ± 0.002 with respect to the calibration standard.

It is interesting to compare the deep Arctic Ocean salinity results -just north of Fram Strait - with those from the central Greenland and Norwegian seas, regions well sampled with similar standards on other recent expeditions. The Greenland and Norwegian seas are known to be nearly isohaline below 2000 m. But a

deep salinity gradient plus several extrema, depending on the respective location, appear in the "Polarstern" Arctic Ocean results. A similar structure is also seen at the western boundary of the Fram Strait section. Later analysis and a comparison with tracer data may show if these extrema are interdependent. It is also not known as yet whether these deep salinity extrema arise from the proximity to an active boundary region (Fram Strait) or are ubiquitous throughout the Eurasian sector of the Arctic Ocean. From the data it becomes quite evident that on the East Greenland side of Fram Strait the current system has a very much banded structure, with several cores well separated from each other on different density surfaces.

The Fram Strait sections clearly show the warm Atlantic water in the West Spitsbergen Current flowing north. This current provides the only heat input to the Arctic Ocean, but it is not known how much of the West Spitsbergen Current actually enters the Arctic Ocean and how much is recirculated in Fram Strait. Our section shows two cores of this recirculating high salinity water, the westmost of which is at the East Greenland Shelf break.

All the rosette sampling programmes appear to have met their goals. Because the new data form a northward and westward extension of the available high-quality data base near Fram Strait they shall be incorporated into many studies of the thermohaline circulation and exchange in this region.

3.5 Large volume seawater radiochemistry (UL, WHOI, DHI)

The broad objectives of this programme are to use artificial radionuclides as tracers of water circulation in the Arctic and sub-Arctic oceanic regions. These artificial radionuclides have been introduced to the region from nuclear weapon testing in the atmosphere and from discharges to the Irish Sea of radioactive waste from nuclear fuel reprocessing. A major benefit of these tracers is that they can provide some information on the rates of the various water transport processes. The area of Fram Strait is very important in that it is the location of exchange between the Arctic Ocean to the north - and the Norwegian/Greenland Sea to the south.

The large volume sampling programme on the cruise was divided between the Lund University programme and the Woods Hole programme. The Lund University programme concentrated on the collection of large volume surface water samples to be analyzed for ^{3}H , ^{90}Sr , ^{137}Cs , ^{134}Cs , $^{239} + ^{240}\text{Pu}$, ^{241}Am and ^{99}Tc . Sample sizes ranged from 50 to 1700 liters depending on the radionuclide to be analyzed. The stations or positions at which surface samples were collected are compiled in Table 3.3 together with the radionuclides to be measured.

Table 3.3

Surface water samples (UL)

<u>Stn or position</u>	<u>Nuclide</u>						
	³ H	⁹⁰ Sr	¹³⁷ Cs	¹³⁴ Cs	²³⁹⁺²⁴⁰ Pu	²⁴¹ Am	⁹⁹ Tc
319	x	x	x	x	x	x	x
321	x	x	x	x	x	x	x
322	x	x	x				
325	x	x	x	x	x	x	x
327	x	x	x	x	x	x	x
329	x	x	x	x	x	x	x
331	x	x	x				
333	x	x	x	x	x	x	x
334	x	x	x				
335	x	x	x				
354	x	x	x	x	x	x	x
359	x	x	x				
363	x	x	x	x	x	x	x
365	x	x	x				
366	x	x	x	x	x	x	x
367	x	x	x				
371	x	x	x				
375	x	x	x				
381	x	x	x				
383	x	x	x				
384	x	x	x				
76°45'N 14°40'E	x	x	x				
76°58'N 14°36'E	x	x	x				
386	x	x	x				
74°44'N 15°05'E	x	x	x				
73°55'N 16°00'E	x	x	x				
73°27'N 16°29'E	x	x	x				
72°53'N 16°52'E	x	x	x				
72°24'N 17°28'E	x	x	x				
71°38'N 18°19'E	x	x	x				
71°11'N 18°38'E	x	x	x				
70°47'N 19°06'E	x	x	x				

Table 3.4

Large volume samples collected for ^{137}Cs , ^{90}Sr and ^{3}H analysis

Region	Station	Atlantic Water	Polar Water	Deepwater
<u>Atlantic Inflow</u>				
S.Fram Strait	381-2	7	-	2
NW Yermak Plateau	354-5	3	-	-
Nansen Basin	325	7	1	3
	319	1	-	-
	327	1	-	-
	361	2	-	-
<u>Arctic Outflow</u>				
E.Greenland Slope	362	1	-	-
	363	2	1	-
	364-5	5	1	5
SW Nansen Basin	329	-	1	-
81°46'N - 83°32'N	331	6	1	4
	332	1	-	1
	334	6	1	4
	335	1	-	-
<u>Boreas Basin</u>				
	310	4	3	

Table 3.5

Large volume samples collected for ^{14}C and ^{85}Kr analysis

Station	Depth (m)
<u>Nansen Basin</u>	
335	250
332	600
332	1000
334	1500
334	2500
334	3566
334	4266

The Woods Hole programme concentrated primarily on subsurface sampling. Large volume samples for ^{137}Cs , ^{90}Sr and ^3H analysis were collected using multiple tripping of bottles on a 24 x 10-liter rosette, 100 liter GOFLO bottles and 280 litre "Gerard" bottles (from DHI). The number of samples collected in the various regions are tabulated in Table 3.4 according to type of water mass. On the Atlantic inflow side of Fram Strait we collected samples along a section at $77^\circ 40' \text{N}$, at locations to the northwest of the Yermak Plateau and in the southern portion of the Nansen Basin. The outflow samples were collected in the Lena Trough north of Fram Strait sill and south of the sill on the East Greenland slope at $77^\circ 40' \text{N}$. In all cases the comparison of the tracer properties of the various water masses on either side of the Fram Strait sill should provide information about the nature of the circulation and exchange processes.

The complete profile of large volume samples was collected in the Nansen Basin for radiochemical analysis of ^{14}C by Dr. G. Ostlund of the University of Miami and for ^{85}Kr by Dr. W. Smethie of the Lamont-Doherty Geological Observatory, New York (Table 3.5). For the DHI radiochemistry group large volume samples were taken at 13 positions for the polar surface layer and at the main depth of the Atlantic inflow core. These samples are to be used for calculations of transfer rates between waters of Atlantic and polar origin to assess other surface data from this area.

One negative result of interest in the sampling programme was our failure to find high salinity water in the deep mid-ocean ridge trough just east of the Boreas Basin. In winter 1982, R.V. "Hudson" occupied a station there at which it was shown that the deep water carried both a huge ^3H and salt signal. On returning to this location no trace of this water was found. So it seems that the trough has been effectively flushed since 1982.

3.6 Radon daughters in Arctic air (UL)

A number of air filter samples were taken in order to measure the concentrations of the long-lived radon daughters, ^{210}Pb ($T=22$ y) and ^{210}Po ($T=138$ d), in arctic air.

These elements are known to adhere to aerosols to practically 100 %. Since the radon (^{222}Rn , $T=3.8$ d) nearly exclusively originates from the decay of ^{226}Ra in the continents, such measurements yield information about the time elapsed since the air mass concerned left a continent, and, furthermore, on the mean residence time of arctic aerosols.

The project is a follow-up to the YMER-80 expedition, which encompassed extensive studies of radon and its daughters in Arctic air.

3.7 Freon studies (LDGO)

The overall objective of the study is to understand better the exchange of water between the Arctic Ocean and the Greenland and Norwegian seas. The specific objectives of the Freon field programme were to measure a vertical section of Freon-11 and Freon-12 across Fram Strait and to measure the vertical distribution of both Freons in the Arctic Ocean. Both of these objectives were met very successfully.

Freon samples were collected from all bottom rosette casts beginning with station 325. A total of about 550 samples were collected from 25 stations. These samples were analyzed on board for Freon-11 and Freon-12 using electron capture gas chromatography. Air samples were also collected and analyzed for Freon-11 and Freon-12. A comparison of inside air to outside air revealed that the ship's atmosphere had a variable freon content ranging from 1.3 to 3 times outside air for Freon-11 and 1.3 to 6 times outside air for Freon-12. These levels did not cause contamination problems.

Final data reduction will be carried out at Lamont Doherty Geological Observatory, but some preliminary calculations were made at sea. The highest and lowest freon concentration were observed at station 334 in the deepest part of northern Fram Strait. The surface water which had a temperature of -1.6° C had Freon-11 and Freon-12 concentrations of approximately 6.1 pmoles/kg and 2.4 pmoles/kg. The water below 3000 m at this station had a salinity of 34.936 to 34.938 ‰ and was presumably Arctic Ocean Deep Water. This water mass had the lowest freon concentration measured on this cruise, 0.14 pmoles/kg for Freon-11 and 0.08 pmoles/kg for Freon-12. These concentrations are similar to concentrations measured in Norwegian SeaDeep Water, 0.16 pmoles/kg for Freon-11 and 0.15 pmoles/kg for Freon-12, by Bullister and Weiss (1983) on the 1982 "Hudson" expedition.

The Fram Strait section revealed lobes of low freon water at about 2000 m on both the western and eastern slopes. The central part of the 77°40'N transect crossed the northern part of the Boreas Basin. The freon content of the bottom water in the Boreas Basin was 0.71 pmoles/kg for Freon-11 and 0.36 pmoles/kg for Freon-12. This is similar to values measured in the deep Greenland Sea, 0.76 pmoles/kg for Freon-11 and 0.31 pmoles/kg for Freon-12, on the 1982 " Hudson" expedition (Bullister and Weiss, 1983).

In the coming months the freon data will be reduced to its final form and we will work with the other scientists who participated in this cruise in the interpretation of the results.

Reference

Bullister, J.L. and R.F. Weiss. 1983. Anthropogenic chlorofluoromethane in the Greenland and Norwegian seas, Science 221:265-268

3.8 Sea ice measurements (NPI)

The oceanographic condition in the Arctic is dominated by a negative radiation balance which requires a heat transport from lower latitudes. The oceanographic part of this transport is composed of the transport of warm Atlantic water and export of ice through Fram Strait. The other passages to the Arctic Ocean are too small to be of importance in this connection.

The participation in this cruise by the Norwegian Polar Research Institute is part of a long term programme in which information on the ice fluxes in the area has been collected.

The objective of the work was to record the distribution of ice-types and to measure the ice thickness along cross-sections in Fram Strait. For this purpose ice observations (when there was ice) were made every three hours (total 73 ICEOBS), and ice drilling was done as often as possible (5 ice stations, 30 holes). The ice thickness is an extremely important and the least known variable in the dynamics of sea ice transport from the Arctic Ocean.

The ice programme was hampered by poor weather conditions, which prevented helicopter operations. It was impossible to operate on small ice floes (40-100 m in diameter) from the ship, and the drillings therefore had to be made somewhat inside the outer ice edge.

The shiptime was mainly spent on the eastern and western sides of the main core of the ice stream in Fram Strait and ice characteristics in these areas have been pretty well registered. A representation of the results is given in Figure 3.2. It shows that the multi-year ice is concentrated on the western side indicating an ice outflow of older ice, probably from the Beaufort Sea Gyre. The second-year ice increases towards the east, - the winter ice too, indicating that the Transpolar Drift Stream, bringing younger ice from the Siberian shelf, dominates the ice conditions on the eastern side of Fram Strait.

Normalized ice distribution across the
Fram Strait,- proportion of area.

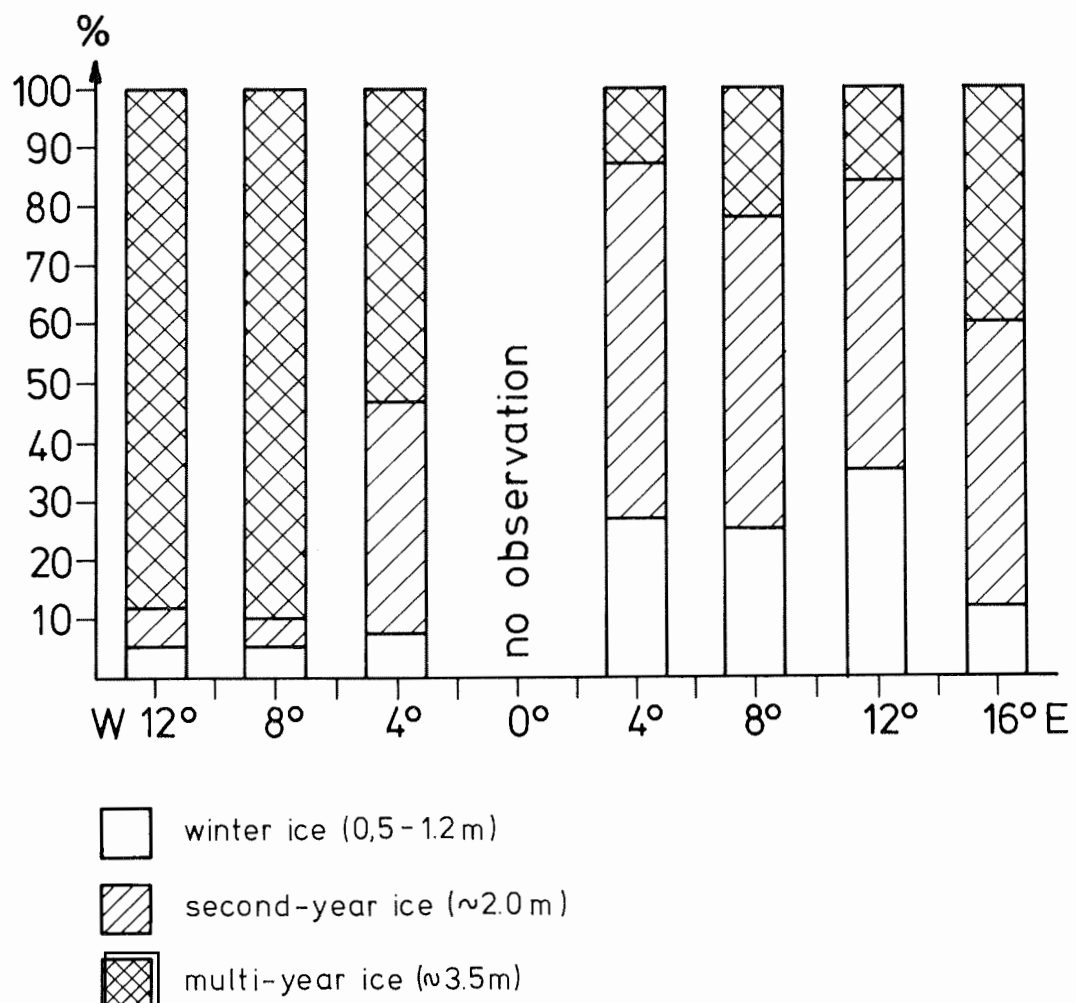


Figure 3.2

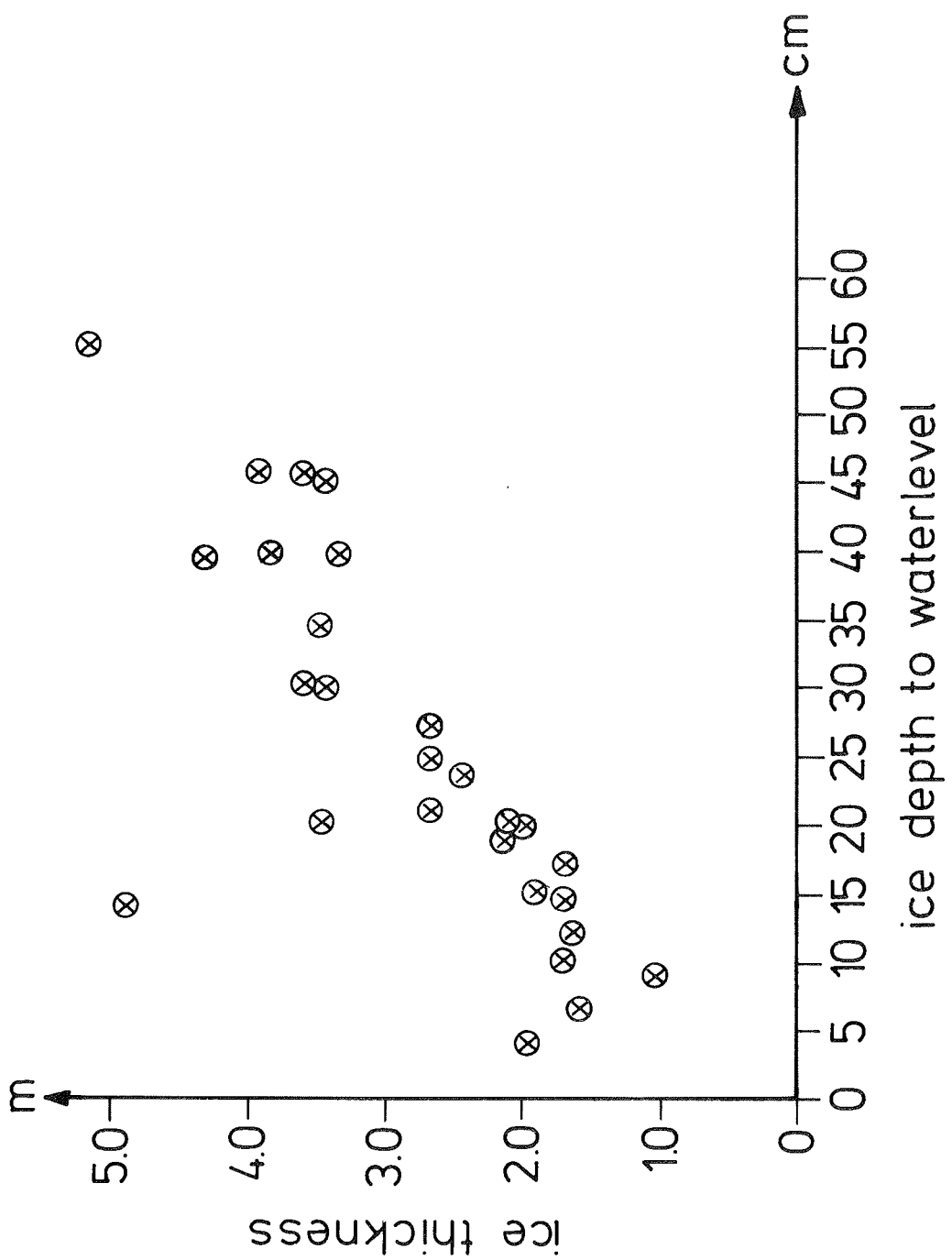


Figure 3.3: Ice thickness versus ice depth

Figure 3.3 shows a representation of the drilling data. The holes were drilled in 'flat' spots on the ice.

3.9 Phytoplankton (AWI)

a) Calibration of fluorescence probe

The fluorescence probe has been recently installed in the Neil-Brown rosette sampler. On 18 stations vertical profiles were registered. Fluorescence was measured during slackening and heaving. The two profiles at each station were identical. Depending on the fluorescence intensity, at least three samples (500 - 2000 ml) of different depths were filtered. For pigment analysis ashore, the filters were immediately frozen. The calibration should facilitate the correlation between fluorescence units and actual amounts of chlorophyll a. The fluorescence of a watermass will vary with different dominant phytoplankton species and will be influenced by chemical characteristics of the water. Thus, a calibration is needed at every station. Concurrently, with each chlorophyll a sample, 200 ml of seawater was preserved for the identification of the dominant algal species.

b) Profiles of fluorescence

None of the profiles showed any fluorescence peak below 30 m depth. Between 40 m and the maximum depth of 150 m, the measured fluorescence hovered around the zero value. The three northernmost stations (333, 334, 335) at 82° N showed so little fluorescence that the proper functioning of the probe was in doubt. Chlorophyll a extraction of the filtered samples will provide an estimate of the phytoplankton biomass.

c) Fluorescence- and chlorophyll a profiles along the Fram Strait transect (77° 40' N)

Along the Fram Strait transect, vertical profiles of fluorescence were registered. Concurrently water samples were taken for chlorophyll a and phaeopigment analysis as well as preserved samples for identification of phytoplankton species. An attempt will be made, to correlate the phytoplankton data with the results of the zooplankton study.

3.10 The distribution and ecophysiology of Arctic zooplankton (AWI, IPÖ)

The Framstrait Expedition 1984 had four major objectives:

- Extension of the descriptive zooplankton study that had been started during the previous summer in the area north of Spitsbergen.
- Zooplankton survey in the up to now scarcely examined pack ice region off north-eastern Greenland.
- Investigations concerning the correlation between zooplankton communities and certain hydrographically defined water masses along a transect through Fram Strait along 77° 40'N, from the Greenland Shelf through the Greenland Sea and across the Mid-Atlantic-Ridge into the Norwegian Sea and to the Spitsbergen Shelf. By a sequence of closing net stations the large scale horizontal and the vertical distribution of zooplankton was studied.
- Experimental investigations on secondary productivity of three dominant copepod species of the sampled watermasses were carried out in order to round up the results of the preceding cruise leg (MIZEX).

In the area north and northwest of Spitsbergen between 80°04'N - 81°18'N and 03°09'E - 16°45'E, eight stations, visited during the 1983 cruise, were repeated. This allows for a study of annual variation.

The Multi-net was opened and closed at five defined depths; it was equipped with 300 micron mesh netting. Hauls were done over standard depth ranges: 1000 m - 500 m - 200 m - 100 m - 50 m - surface.

In the pack ice northeast of Greenland, vertical hauls were done with the Bongo net; either with 300 and 500 micron mesh netting, or with 500 and 700 micron mesh netting. At each station the first haul sampled the entire water column, the second haul only the upper 100 m. First results of the distribution of high latitude zooplankton are given in Figure 3.4. The Bongo net was equipped with metal collectors, which kept the zooplankton in very good condition. In the deep hauls bathypelagic decapods, medusae and pteropods could be observed. The seven most northern Bongo hauls were made between 81°46'N and 82°45'N - 06°49'W and 09°40'W. Three additional hauls were located near 81°30'N 02°44'W.

Along the Fram Strait transect ($77^{\circ}40'N$) the Multi-net was deployed at 7 stations: the first station on the Greenland Shelf, stations 2 and 3 in the Greenland Sea, station 4 at the Polar Front on the western slope of the Mid-Atlantic Ridge, stations 5 and 6 in the West-Spitsbergen Current, and the station 7 on the West-Spitsbergen Shelf. At the above stations two hauls were made, one according to the standard depth ranges and one with variable depth intervals. In the latter hauls the depths for opening and closing of the five nets were selected with respect to the hydrographic CTD-data.

The experiments on secondary productivity were carried out on board with various developmental stages of the copepods Calanus finmarchicus, Calanus glacialis and Calanus hyperboreus. Egg-production rates of the females should give an indication of the production of organic matter by the adult; in the earlier stages this production goes into somatic growth. The freshly caught animals were kept for 24 h in 4 l incubation vessels at $2^{\circ}C$.

Moult ing rates of various copepodite stages of the three species, taken in different water masses, were determined by calculation of the time required for the shift from one defined stage to the next.

Furthermore, five copepodite stages were sampled for later laboratory analysis of digestive enzyme activities. Active Amylase, Trypsin and Laminarinase mean that the animals are feeding and will probably moult into adults within the same season. The preliminary results reveal that Calanus finmarchicus seems to be able to reproduce in relatively warm waters only, while Calanus glacialis seems to be unaffected by in situ water temperatures below zero. The females of Calanus hyperboreus, found mainly off East Greenland, never produced eggs in our experiments.

Within the period of observation of 18 days no animal incubated as fifth copepodite stage matured, while moult ing from the fourth to the fifth stage of Calanus finmarchicus and Calanus glacialis took place. This could indicate that the copepods reached a resting stage for this year, allowing them to mature quickly the following season.

For the community studies, a total of 24 Multi-net and 10 Bongo net hauls were performed during the entire cruise. Further 20 Bongo hauls of the upper 150 m were taken for the eco-physiological studies. While the use of the Bongo net did not cause any trouble, certain technical difficulties were encountered with the Multi-net.

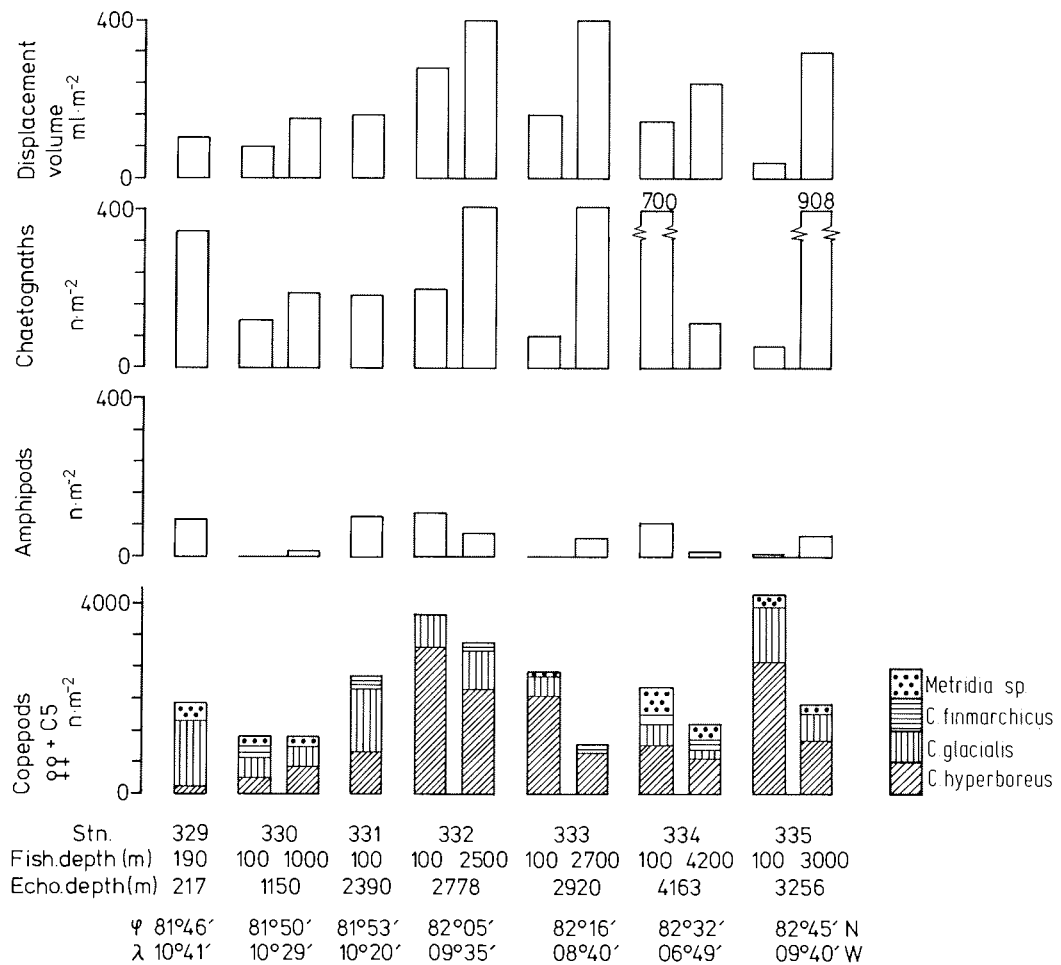


Figure 3.4: Distribution of zooplankton along the section northeast of Greenland (stn. 329–335). One Bongo net 500 micron 0.26 m^2 , vertical hauls of upper 100 m and total water column.

3.11 Birds and mammals (NPI)

In recent years the Norwegian Polar Research Institute has conducted transect observations of bird and marine mammal life in the high Arctic waters of Svalbard and adjacent areas. The long term goal of all the transects is to map important faunal areas through successive yearly observations, to describe migrational patterns and the relative and absolute distribution of birds and mammals in Norwegian high Arctic areas and in the surrounding waters. The Fram Strait expedition of R.V. "Polarstern" provided an excellent chance to perform transect observations through areas with little or no previous observations.

While "Polarstern" was in motion observations were conducted from the top-deck. The observation crew consisted of two ornithologists and two marine zoologists, all with sufficient experience in both subjects to enable each observer to cover both bird and mammal spotting. A shift system was established with rotating shifts of 4 and 3 hours. This gave each observer the chance of working all the shifts. Observations were conducted with the aid of binoculars and a laser distance meter.

The transect observations from "Polarstern" rendered difficulties due to the many foggy days experienced on the cruise (11 out of 16 days were foggy). Especially the number of mammals, but also of birds, observed must have been negatively influenced by this. During the cruise all expected species were observed, but some special observations should be mentioned: The high number of Pomarine Skuas counted was unexpected. This species is normally only observed east of Svalbard and is usually not numerous. Furthermore observations of two Leach's Storm-petrels were of interest because these may be the worlds northernmost observations of this species. A list of birds and mammals seen from "Polarstern" and the number of individuals of each species observed is enclosed.

Outside the observation area on the way home between Bear Island and northern Norway the following whales were observed: at $73^{\circ}45'N$ $16^{\circ}09'E$ two large sperm whales swimming and diving, at $73^{\circ}04'N$ $16^{\circ}40'E$ a group of four large and possibly two small humpback whales were seen jumping and playing. Finally a group of approximately 30 white nosed dolphins were seen feeding at $71^{\circ}34'N$ $18^{\circ}22'E$.

LIST OF BIRDS AND MAMMALS OBSERVED FROM "POLARSTERN"
20.07.-04.08.1984

Polar Bear	5 (+1)
Fin Whale	3
Minke Whale	12
Ringed Seal	207
Bearded Seal	23
Harp Seal	7
Hooded Seal	39
Seal sp.	85
Walrus	2
Fulmar	4308
Leach's Storm-petrel	2
Glaucous Gull	76
Kittiwake	3013
Ivory Gull	319
Arctic Tern	8
Great Skua	4
Pomarine Skua	212
Arctic Skua	14
Long-tailed Skua	31
Skua sp.	5
Black Guillemot	105
Brünnichs Guillemot	813
Little Auk	17362
Puffin	47
Purple Sandpiper	2
Ross's Gull	5

3.12 Squid fishing in the High Arctic (AWI)

At stations of <500 m depth a 'jigging machine' was tested; it is used in an attempt to catch live squid.

The 'jigging machine' was developed in Japan and has been used very successfully in coastal fisheries. After testing, German biologists plan to employ the device on future research cruises in the Arctic as well as in the Antarctic.

The two common squid species in the Arctic are Gonatus fabricii and Todarodes sagittatus. While the latter species is intensively harvested by Norwegian fishermen in coastal waters between August and January (c. 18 000 metric tons in 1983), not a single animal was caught during the cruise, not even in Horn Sound and on Fugloya Bank.

MUL = Multi-net; BGO = Bongo-net; Remarks: + additional notes see "Comments to stations";
 * Mesh size in μm .

Stat. Haul	Date 1984	Position	Echo depth (m)	Gear	Fishing depth (m)	Haul start (GMT)	Fluorescence depth (m)	CTD	Remarks
319 1	20.07.	80°34'N 07°12'E	739	MUL 1 BGO 700	100- 150-	80 0	14:40 15:30	- 0 - 100	+
319 2	20.07.	80°34'N 07°15'E	740	BGO 500* BGO 700	80- 100-	60 40	- -	+	+
319 3	20.07.	80°34'N 07°13'E	732	MUL 1 MUL 2 MUL 3 MUL 4 MUL 5	700- 500- 200- 100- 50-	500 200 100 50 0	17:25 -	+	+
319 4	20.07.	80°34'N 07°13'E	730	MUL 1 MUL 2 MUL 3 MUL 4 MUL 5	700- 500- 200- 100- 50-	500 200 100 50 0	18:22 -	+	+
320 5	21.07.	80°38'N 09°27'E	1129	MUL 1 MUL 2 MUL 3 MUL 4 MUL 5	1000- 500- 300- 100- 50-	500 300 100 50 0	00:15 -	+	+
321 6	21.07.	80°44'N 12°50'E	1330	BGO 500 BGO 700	150-	0	08:00 0 - 50	+	+

Stat.	Haul	Date	Position	Echo depth (m)	Gear	Fishing depth (m)	Haul start (GMT)	Fluorescence depth (m)	CTD	Remarks
321	7	21.07.	80°43'N 12°52'E	1328	MUL 1 MUL 2 MUL 3 MUL 4 MUL 5	1000- 500 500- 200 200- 100 100- 50 50-	10:00	-	+	-
322	8	21.07.	80°54'N 18°30'E	167	BGO 500 BGO 700	150-	0	20:30	0 - 80	+
324	9	22.07.	81°12'N 16°48'E	1237	BGO 500 BGO 700	150-	0	03:40	0 - 60	+
324	10	22.07.	81°12'N 16°45'E	1240	MUL 1 MUL 2 MUL 3 MUL 4 MUL 5	1000- 500 500- 200 200- 100 100- 50 50-	04:35	-	+	-
325	11	22.07.	81°18'N 15°24'E	2283	MUL 1 MUL 2 MUL 3 MUL 4 MUL 5	1000- 500 500- 200 200- 100 100- 50 50-	09:55	-	+	-
325	12	22.07.	81°18'N 15°24'E	2283	BGO 500 BGO 700	150-	0	11:45	0 - 50	+
326	13	23.07.	80°27'N 05°52'E	591	MUL 1 MUL 2 MUL 3 MUL 4 MUL 5	500- 200 200- 100 100- 40 40- 20 20- 0	14:03	-	-	-

Stat. Haul	Date 1984	Position	Echo depth (m)	Gear	Fishing depth (m)	Haul start (GMT)	Fluorescence depth (m)	CTD	Remarks
326 14	23.07.	80°27'N 05°52'E	591	BGO 500 BGO 700	150- 0	14:10	0 - 50	-	+
327 15	23.07.	80°08'N 04°44'E	1020	BGO 500 BGO 700	150- 0	18:40	0 - 50	-	+
327 16	23.07.	80°08'N 04°44'E	1018	MUL 1 MUL 2 MUL 3 MUL 4 MUL 5	950- 500 500- 200 200- 100 100- 50 50- 0	18:55	-	-	-
328 17	23.07.	80°04'N 03°09'E	2330	MUL 1 MUL 2 MUL 3 MUL 4 MUL 5	1000- 500 500- 200 200- 100 100- 50 50- 0	22:11	0 - 60	-	-
329 18	26.07.	81°46'N 10°41'W	217	BGO 300 BGO 500	190- 0	09:10	-	+	-
329 19	26.07.	81°46'N 10°41'W	217	BGO 300	150- 0	09:30	-	+	-
329 20	26.07.	81°46'N 10°41'W	217	BGO 300 BGO 500	150- 0	10:00	0 - 50	+	+
330 21	26.07.	81°50'N 10°29'W	1150	BGO 300 BGO 500	1000- 0	12:15	-	+	-
330 22	26.07.	81°50'N 10°29'W	1150	BGO 300 BGO 500	100- 0	13:45	-	+	-
331 23	26.07.	81°53'N 10°20'W	2390	BGO 500	100- 0	14:37	-	+	+

Stat.	Date 1984	Position	Echo depth (m)	Gear	Fishing depth (m)	Haul start (GMT)	Fluorescence depth (m)	CTD	Remarks
331 24	26.07.	81°53'N 10°20'W	2390	BGO BGO 500	100- 0	14:47	0 - 50	+	-
332 25	26.07.	82°05'N 09°35'W	2778	BGO BGO 500	100- 0	22:26	-	+	-
332 26	26.07.	82°05'N 09°35'W	2778	BGO BGO 500	2500- 0	00:46	-	+	-
333 27	28.07.	82°16'N 08°41'W	2920	BGO BGO 500	150- 0	08:15	0 - 50	+	+
333 28	27.07.	82°16'N 08°41'W	2920	BGO BGO 500	2700- 0	08:45	-	+	-
333 29	27.07.	82°16'N 08°41'W	2920	BGO BGO 500	100- 0	11:45	-	+	-
334 30	28.07.	82°33'N 06°46'W	4435	BGO BGO 500	150- 0	15:07	-	+	+
334 31	27.07.	82°32'N 06°49'W	4163	BGO BGO 500	100- 0	16:15	-	+	-
334 32	27.07.	82°32'N 06°14'W	4323	BGO BGO 500	4200- 0	23:40	-	+	-
335 33	28.07.	82°45'N 09°40'W	3256	BGO BGO 500	100- 0	10:07	-	+	+
335 34	28.07.	82°45'N 09°40'W	3256	BGO BGO 700	3000- 0	13:30	-	+	-

Stat.	Haul	Date 1984	Position	Echo depth (m)	Gear	Fishing depth (m)	Haul start (GMT)	Fluorescence depth (m)	CTD	Remarks
354 35	29.07.	81°29'N 02°02'W	3150	BGO BGO 500	300 500	150-- 0	11:00	--	+	+
354 36	28.07.	81°29'N 02°02'W	3151	BGO BGO 500	300 500	100-- 0	11:05	0 -- 70	+	-
355 37	29.07.	81°26'N 02°44'W	3604	BGO BGO 500	300 500	100-- 0	14:38	0 -- 100 0 -- 80	+	-
356 38	29.07.	81°25'N 02°58'W	4045	BGO BGO 500	300 500	100-- 0	18:41	--	-	-
356 39	29.07.	81°25'N 02°58'W	4045	BGO BGO 700	500 700	3900-- 0	19:23	0 -- 50	--	-
359 40	30.07.	80°41'N 05°08'W	3001	MUL 1 MUL 2 MUL 3 MUL 4 MUL 5	1 2 3 4 5	300-- 200-- 100-- 50-- 25-- 0	12:45	--	-	+
359 41	30.07.	80°42'N 09°05'W	3004	BGO BGO 700	500 700	150-- 0	13:45	--	-	+
361 42	30.07.	80°42'N 05°08'W	3009	MUL 1 MUL 2 MUL 3 MUL 4 MUL 5	1 2 3 4 5	1000-- 500-- 200-- 100-- 50-- 0	16:34	--	+	-
362 43	01.08.	77°32'N 05°42'W	415	MUL 1 MUL 2 MUL 3 MUL 4 MUL 5	1 2 3 4 5	350-- 200-- 100-- 50-- 25-- 0	08:53	--	+	-

Stat. Haul	Date 1984	Position	Echo depth (m)	Gear	Fishing depth (m)	Haul start (GMT)	Fluorescence depth (m)	CTD	Remarks
362 44	01.08.	77°32'N 05°41'W	514	MUL 1 MUL 2 MUL 3 MUL 4 MUL 5	550- 300- 190- 95- 20-	10:35 - - - 0	- + + - +	-	-
362 45	01.08.	77°32'N 05°42'W	415	BGO 500 BGO 700	150- 0	11:45 0 - 50	+ +	+ +	+ +
364 46	01.08.	77°37'N 04°28'W	1890	BGO 500 BGO 700	150- 0	19:30 - -	+ + -	+ +	+ +
364 47	01.08.	77°38'N 04°34'W	1687	MUL 1 MUL 2 MUL 3 MUL 4 MUL 5	1000- 500- 200- 100- 50-	23:33 - - - 0	- + + - -	-	-
364 48	02.08.	77°34'N 04°44'W	1697	MUL 1 MUL 2 MUL 3 MUL 4 MUL 5	500- 350- 297- 202- 95-	02:24 0 - 50 - - 0	+ + + + -	+ +	+ +
370 49	02.08.	77°40'N 00°28'W	3122	MUL 1 MUL 2 MUL 3 MUL 4 MUL 5	1000- 500- 200- 100- 50-	21:10 - - - 0	- + + - -	-	-

Stat.	Haul	Date 1984	Position	Echo depth (m)	Gear	Fishing depth (m)	Haul start (GMT)	Fluorescence depth (m)	CTD	Remarks
370 50	03.08.	77°38'N 00°21'W	3123	MUL 1 MUL 2 MUL 3 MUL 4 MUL 5		500- 380- 200- 200- 170- 106- 0	00:55	0 - 60	+	-
370 51	03.08.	77°38'N 00°21'W	3123	BGO 500 BGO 700	MUL 1 MUL 2 MUL 3 MUL 4 MUL 5	150- 260- 135- 90- 60-	02:10	-	+	+
378 54	03.08.	77°39'N 05°10'E	2480				22:00	-	+	-
378 55	03.08.	77°39'N 05°10'E	2498	MUL 1 MUL 2 MUL 3 MUL 4 MUL 5		1000- 500- 200- 100- 50-	22:55	-	+	-
382 56	04.08.	77°40'N 08°31'E	2204	MUL 1 MUL 2 MUL 3 MUL 4 MUL 5		1000- 500- 200- 100- 50-	10:00	-	+	-
382 58	04.08.	77°39'N 08°28'E	2209	MUL 1 MUL 2 MUL 3 MUL 4 MUL 5		500- 316- 180- 117- 56- 0	13:51	-	+	-

Stat. Haul	Date 1984	Position	Echo depth (m)	Gear	Fishing depth (m)	Haul start (GMT)	Fluorescence depth (m)	CTD	Remarks
384 59	04.08.	77°40'N 10°23'E	815	MUL 1 MUL 2 MUL 3 MUL 4 MUL 5	750- 500 500- 200 200- 100 100- 50 50- 0	20:12	-	+	-
384 61	04.08.	77°40'N 10°21'E	804	MUL 1 MUL 2 MUL 3 MUL 4 MUL 5	500- 420 420- 320 320- 250 250- 40 40- 0	22:57	-	+	-
385 62	05.08.	77°41'N 11°19'E	299	MUL 1 MUL 2 MUL 3 MUL 4	250- 200 200- 100 100- 50 50- 0	01:40	-	+	-
385 63	05.08.	77°39'N 11°19'E	302	BGO 500 BGO 700	150- 0	-	-	+	+
385 64	05.08.	77°39'N 11°20'E	300	MUL 1 MUL 2 MUL 3 MUL 4 MUL 5	240- 180 180- 115 115- 50 50- 8 8- 0	02:40	-	+	-
390 65	06.08.	74°17'N 15°34'E	1538	MUL 1 MUL 2 MUL 3 MUL 4 MUL 5	1000- 500 500- 200 200- 100 100- 50 50- 0	10:10	-	-	+

Comments to stations

319/ 1 test haul
319/ 2 material not available, used for physiological experiments
319/ 3 MUL 3 not released
319/ 4 MUL 5 not quantitative, because of large quantities of phytoplankton
320/ 5 300 m instead of 200 m for technical reasons
321/ 6 see stat. 319/2
322/ 8 see stat. 319/2
324/ 9 see stat. 319/2
325/12 see stat. 319/2
326/14 see stat. 319/2
327/15 see stat. 319/2
329/20 see stat. 319/2
331/23 see stat. 319/2
333/27 see stat. 319/2
334/30 see stat. 319/2
335/33 100 m catch not quantitative
354/35 see stat. 319/2
359/40 depth-recorder out of action, depth determination by rope, test haul
359/41 see stat. 319/2
362/45 see stat. 319/2
364/46 see stat. 319/2
364/48 drifting of the ship due to strong current
370/51 see stat. 319/2
385/63 see stat. 319/2
390/65 test haul

4. GEOLOGIE

Vierter Fahrtabschnitt (Fourth Cruise Leg)
des FS "POLARSTERN": Arktis II/4

Fahrtleiter (Chief Scientist): Jörn Thiede (GPI)*

4.1 Wissenschaftliches Arbeitsprogramm

Struktur und Geschichte des europäischen Nordmeeres und des Nordpolarmeeres umfassen eine Vielzahl von Fragestellungen, die verschiedene Disziplinen berühren. Die geologisch-geophysikalischen Programme des Forschungsschiffes "Polarstern" befaßten sich im Sommer 1984 mit Untersuchungen der Struktur des Untergrundes (Vesterisbanken), Jan-Mayen-Rücken, Fram-Straße, Ostgrönland-Strom) und der heute wirkenden Ablagerungsprozesse (Sedimentfallen in den Lofoten- und im Grönlandbecken, Planktonfänge in der Fram-Straße, Untersuchungen stabiler Isotope in polaren Wassermassen). Die wichtigsten Einflüsse auf die Sedimentation in diesem Tiefseebecken ergeben sich neben der Plattentektonik aus dem "Import" warmen Oberflächenwassers in arktisch-subarktische Meeresräume und dem "Export" kalter Oberflächen- und Bodenwassermassen in die temperierten Zonen des Weltmeeres. Dieser ozeanische Massenaustausch trägt erheblich zur Aufrechterhaltung der klimatischen Zonierung auf der nördlichen Hemisphäre bei. Er hat weitreichende Konsequenzen für biologische, chemische, physikalische und geologische Prozesse in den Teilbecken des europäischen Nordmeeres.

Die in diesem Fahrtabschnitt durchgeföhrten Untersuchungen umfassen im einzelnen folgende Programme:

4.1.1 Plankton und Wassersäule

Zur Deutung des aktuell suspendierten und sedimentierten Materials ist eine Charakterisierung der unterschiedlichen Warmkörper notwendig. Sie sollte mit Hilfe von Multinetzfängen und Wasserproben (Salzgehalt, Temperatur, Nährsalze, partikuläre Substanzen, C/N-Verhältnisse, Chlorophyll) erfolgen. Die Wasserproben werden auch zur Bestimmung der stabilen C-Isotopenverhältnisse herangezogen.

4.1.2 Sedimentfallen-Verankerungssysteme

Im Jahre 1983 sind Verankerungssysteme mit Strommessern und Sedimentfallen im südlichen Lofoten-Becken und im südlichen Grönland-Becken ausgelegt worden. Mit diesen Messsystemen soll der

* Erläuterung der Institute unter "Beteiligte Institute"

saisonale Partikelfluss erfaßt werden. Wichtigstes Instrument ist eine neu entwickelte Sedimentfalle, die es erlaubt, den Partikelfluß nach vorgegebenen Zeitabschnitten zu unterteilen, um seine zeitliche Variabilität festzuhalten. Die 1983 im Lofoten-Becken ausgebrachte Verankerung wurde aufgenommen und in diesem Jahr vor der Barentssenke wieder ausgelegt. Eine weitere Verankerung wurde in der Fram-Straße ausgesetzt. Das System im Grönland-Becken wurde aufgenommen und nach Entnahme der Proben wieder ausgelegt.

4.1.3 Meeresgeologische Untersuchungen in der Fram-Straße

Die Fram-Straße verbindet die Tiefsee-Ebenen des Nordpolarmeeres und des europäischen Nordmeeres und ermöglicht seit dem Oligozän einen relativ freien Wasseraustausch zwischen diesen beiden Ozeanen der nördlichen Hemisphäre.

Struktur und geologischer Aufbau, Bodentopographie, Ablagerungsprozesse in diesem für meridionale Austauschprozesse bedeutenden Tiefseekanal sind noch in vieler Hinsicht unerforscht. Von besonderem Nutzen erscheint zunächst eine genaue bathymetrische Aufnahme des in einigen Teilbecken abnormal tiefen ozeanischen Untergrundes, um die Konfiguration der Plattengrenze festzulegen, die mit Hilfe des magnetischen Streifenmusters in diesem Gebiet bisher nicht aufgelöst werden konnte. Wir hoffen, aus den Ablagerungen die Geschichte des Wasseraustausches zwischen dem Nordpolarmeer und dem europäischen Nordmeer und die Entwicklung der Eisdecke in der westlichen Fram-Straße soll aus den sedimentären Ablagerungen zu rekonstruieren und aus Veränderungen der Sedimentzusammensetzung die Paläo-Ozeanographie dieses Seegebietes für das Quartär zu beschreiben. Untersuchungen der Wassersäule auf ihren Gehalt an partikulärem Material erlauben die Abhängigkeit biogener Sedimentkomponenten von der Wassermassenverteilung in der Fram-Straße festzulegen. Wassermasseneigenschaften sollen auch durch die Bestimmung leichter Isotopenverhältnisse erfaßt werden.

4.1.4 Geologischer Aufbau der Vesterisbanken

Vesterisbanken ist ein mächtiger, isolierter unterseeischer Berg im Grönlandbecken, der paläogener ozeanischer Kruste aufsitzt. Sein Aufbau und Ursprung sind noch weitgehend unbekannt. Während dieser "Polarstern"-Reise wurde die Tiefenstruktur dieses Gebirgsstocks genau vermessen und die Verteilung der Sedimente entlang seiner Flanken und in seiner näheren Umgebung aufgenommen. Mit Hilfe von Dredgen wurden die Sedimentdecke und die vulkanischen Gesteine der Vesterisbanken beprobt.

4.2 Bericht über den Reiseverlauf

Am Vormittag des 9. August lief "Polarstern" mit einigen Stunden Verspätung aus Tromsö aus. Bei verhangenem Himmel, aber sonst guter Sicht, verließen wir die Stadt zunächst in nordwestlicher Richtung, bis wir nach Absetzen des norwegischen Lotsen und Passieren von Fugloeya die offene Norwegische See erreichten. Mit südwestlichen Kursen wurde zunächst die Position der Verankerung im südlichen Lofoten-Becken angesteuert, die von uns im vergangenen Jahr (1983) ausgelegt worden war. Die Position $69^{\circ}12'N$ und $10^{\circ}59'E$ wurde im Laufe des 10.8. erreicht, die Verankerung recht schnell geortet und trotz geringer technischer Schwierigkeiten mit dem akustischen System sofort ausgelöst. Nach kurzer Zeit war die Verankerung (1 Sedimentfalle, 2 Strommesser) geborgen, und wir konnten uns versichern, daß die Honjo-Falle 12 einwandfreie Proben gesammelt hatte. Die beiden Strommesser hatten ebenfalls Messungen registriert (einer jedoch nur während 40 % der Zeit).

Vom südlichen Lofotenbecken wurde ein nördlicher Kurs gewählt, um auf möglichst schnellem Wege die zentrale Fram-Straße zu erreichen. Die Profilfahrt wurde an zwei Stationen für Kastengreifertypen unterbrochen. Nach Queren des großen Sedimentfächers vor dem Bäreninseltrog wurde eine Position nordwestlich der Bäreninsel angelaufen, um geologische Stationsarbeit auszuführen und um die im Lofotenbecken aufgenommene Verankerung wieder auszu bringen. Die Sedimentfalle und die Strömungsmesser dieser Verankerung sollen über die kommenden 12 Monate den Sedimenttransport und den Bodenwasserstrom vom Barents-Schelf in die Fram-Straße messen. Die Arbeiten auf dieser Station (nahe $78^{\circ}55'N$ und $11^{\circ}30'E$ in 2200 m Wasser) verliefen planmäßig und ohne weitere Probleme.

Vom Kontinentalabhang vor der Bäreninsel segelte das Schiff in die zentrale Fram-Straße, um die geplante SEABEAM-Vermessung zu beginnen, die ein Gebiet zwischen 0° Länge bis $4^{\circ}E$ und $78^{\circ}55'N$ bis $79^{\circ}24'N$ und vor allem das Molloy-Tief abdecken sollte. Die ersten zwei Tage verliefen nach Plan, und es war klar, daß wir den tiefen Teil des Molloy-Tiefes durch unsere Vermessung erfassen würden. Die vorläufigen Registrierungen ergaben bereits zahlreiche morphologische Details des Meeresbodens, die bisher unbekannt waren und die zur Interpretation der plattentektonischen Situation und zur Festlegung der Lage des Mittelatlantischen Rückens beitragen werden. Da sich die Eisgrenze in diesem Jahr außerordentlich weit nach Nordwesten verschoben hatte, versuchte man, Gebiete aufzunehmen, die in den Vorjahren für diese Untersuchungen nicht zugänglich waren. Es war daher möglich, eine geologisch gut abgegrenzte Einheit in einem normalerweise nur unter großen Schwierigkeiten zugänglichen Gebiet untersuchen zu können.

Wir entschlossen uns daher, die günstige Eissituation zu einem Vorstoß nach Westen auszunutzen, um Wassersäule und Sedimente im westlichen Teil der zentralen Fram-Straße zu beproben und

zumindest entlang einiger weniger Profillinien auch morphologische Daten zu sammeln. Die Stationen wurden nach Wassertiefe gefahren und decken die Tiefenintervalle um 1200 m, 2000 m und 2600 m ab. Schweres, altes Packeis behinderte sehr bald nach Überschreiten von 0 Grad Länge die Fahrt von "Polarstern", so daß wir nur noch 5 - 6 kn laufen konnten. Der ursprüngliche Plan, die Profillinien bis auf den grönlandischen Schelf fortzusetzen, wurde daher aufgegeben und die 1200 m-Station direkt angelaufen. Die Stationsarbeit bestand aus Wasserprobennahmen und CTD-Läufen, diversen Planktonnetz- und Secchi-Scheiben-Einsätzen, 6-m- und 12-m-Schwereloten und Kastengreifern.

Die Einfahrt in den eisbedeckten Teil der Fram-Straße war für viele Fahrtteilnehmer ein einmaliges Erlebnis, das die sonst eher eintönigen Arbeitstage in dem größtenteils nebligen Wetter wohltuend unterbrach.

Am 17.8., nach Abschluß der Stationsarbeit vor Grönland liefen wir in die zentrale Fram-Straße zurück, um die SEABEAM- und 3,5-kHz-Aufnahmen fortzusetzen. Das Untersuchungsgebiet näherte sich immer mehr dem Eisrand, der sich jedoch, begünstigt durch südliche Winde, langsam nach Nordwesten verschob und uns daher das Anfügen immer neuer vollständiger Linien ermöglichte. Die unerwartet günstige Wettersituation versetzte uns in die Lage, die geplante Vermessung selbst in dem nordwestlichen Teilstück vollständig und ohne wesentliche Eisbehinderung auszuführen.

Der Stationsschnitt quer über die Fram-Straße wurde durch 2 Stationen unter dem nördlichen Ausläufer des Norwegen-Stromes vor Spitzbergen in ca. 180 m und 1300 m vervollständigt. Primäres Ziel war hier, Wasserproben zur Bestimmung der stabilen Kohlenstoff-Isotopenverhältnisse zu nehmen. Nach Abschluß dieser Arbeiten kehrte "Polarstern" in die zentrale Fram-Straße zurück, um eine verbindende Traverse über das vermessene Gebiet zu legen und um einige Lücken, die durch verschiedene, kurzfristige Ausfälle des SEABEAM-Systems verursacht worden waren, auszufüllen. Das SEABEAM hatte Schwierigkeiten, steile Hänge bei der Anfahrt hangaufwärts zu bewältigen und "verschluckte" sich dabei. Eines der Profile mußte sogar viermal abgelaufen werden, ehe wir eine brauchbare Aufnahme erhielten.

Die Profilfahrt wurde über dem tiefsten Teil des Molloy-Tiefs unterbrochen, um das Kabel der Tiefseewinde neu aufzutrommeln. Dabei wurde versucht, eine Kastengreiferprobe aus dem Molloy-Tief zu gewinnen. Die graugrünen siltig-tonigen Sedimente, die vom Rahmen des nicht ausgelösten Kastengreifers gewonnen werden konnten, ließen keine ungewöhnlichen Eigenschaften erkennen, sondern glichen weitgehend denen der umliegenden, wesentlich flacheren Teile der zentralen Fram-Straße.

Am Morgen des 20. August segelte das Schiff auf eine Position wenig südlich des Meßgebietes in der zentralen Fram-Straße, um langwierige Stationsarbeiten in Angriff zu nehmen. Neben der Beprobung der Wassersäule wurde der Kastengreifer und danach mit gutem Erfolg ein 10-m-Kolbenlot eingesetzt (Kerngewinn 8.35 m). Auch das Auslegen der Verankerung mit Sedimentfalle und Transmissometer auf dieser Station ($78^{\circ}53'N$ $1^{\circ}30'E$ in 2400 m Wasser) gelang ohne Schwierigkeiten. Probleme bestanden jedoch mit dem an Bord installierten VAX-Computer, die am Vortage dazu geführt hatten, daß ein Teil detaillierter Navigationsdaten, die in 5-s-Intervallen aufgezeichnet werden, verlorengegangen waren. Die Datenübertragung wurde seitdem besonders sorgfältig überwacht.

Am Abend des 20.8. nach Abschluß der Stationsarbeit in der Fram-Straße nahm "Polarstern" südlichen Kurs, um eine Position im südlichen Grönland-Becken ($74^{\circ}34'N$ $6^{\circ}25'W$) zu erreichen, wo im vergangenen Jahr ein Verankerungssystem mit zwei Sedimentfallen und Strommessern ausgesetzt worden war. Dank der vorzüglichen Navigation des Schiffes wurde die Verankerung auch am Vormittag des 21.08. ohne Zeitverlust gefunden. Trotz vielfältiger Versuche sowohl vom Schiff (auch nach Stilllegung der Maschinen, um den Geräuschpegel niedrig zu halten), als auch vom Schlauchboot aus, gelang es nicht, die Verankerung auszulösen. Nach fast 12stündigen Versuchen wurde daher entschieden, die Verankerung zunächst vor Ort zu belassen und den Versuch der Rückgewinnung auf das nächste Jahr zu verschieben.

Die geophysikalische und geologische Aufnahme der Vesterisbanken etwa 6 Stunden südlich der letzten Position war die letzte größere Aufgabe dieses Fahrtabschnittes. Es standen dafür ca. 50 Stunden zur Verfügung. Neben dem Einsatz von SEABEAM und der 3,5-kHz-Anlage wurden reflexionsseismische Profil-Aufnahmen mit großer und kleiner Airgun vorgenommen. Die Profilfahrt verlief ohne größere Schwierigkeiten, und die bisher auf allen bathymetrischen Karten morphologisch sehr einfach dargestellte Vesterisbanken bot sich als ein sehr komplex aufgebautes untermeerisches Gebirge dar, über dessen Ursprung viel gerätselt wurde. Nachdem am Morgen des 24.08. drei Dredgen Gesteinsmaterial vom Gipfel des bis in 133 m unter der Wasseroberfläche aufragenden Gebirges an Bord gebracht hatten, war zu übersehen, daß es sich um einen riesigen Vulkan handelt, der aus basaltischen Gesteinen besteht und der vielleicht bis in geologisch jüngste Vergangenheit tätig war.

Sofort nach Abschluß der Dredge-Arbeiten auf Vesterisbanken nahm "Polarstern" Kurs auf Aalesund in Norwegen, wo das Schiff an die nächste Arbeitsgruppe übergeben werden sollte. Die Profilfahrt führte in südöstlichen Richtungen über das gesamte Europäische Nordmeer, querte den mittelozeanischen Rücken, die Jan-Mayen-Fracture-Zone und den südlichen Teil des Voering-Plateaus. Am frühen Abend des 26. August 1984 lief "Polarstern" in Aalesund ein. Die Wege- und Stationskarte dieses Abschnittes wird durch die Abbildung 4.1 wiedergegeben.

Wege- und Stationskarte FS Polarstern Arktis II/4 (9.8.-26.8.1984) Tromsö-Ålesund

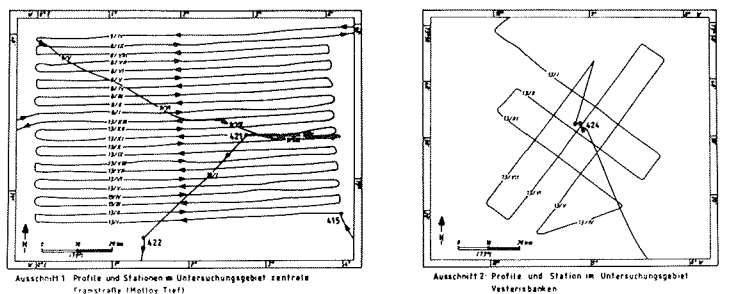
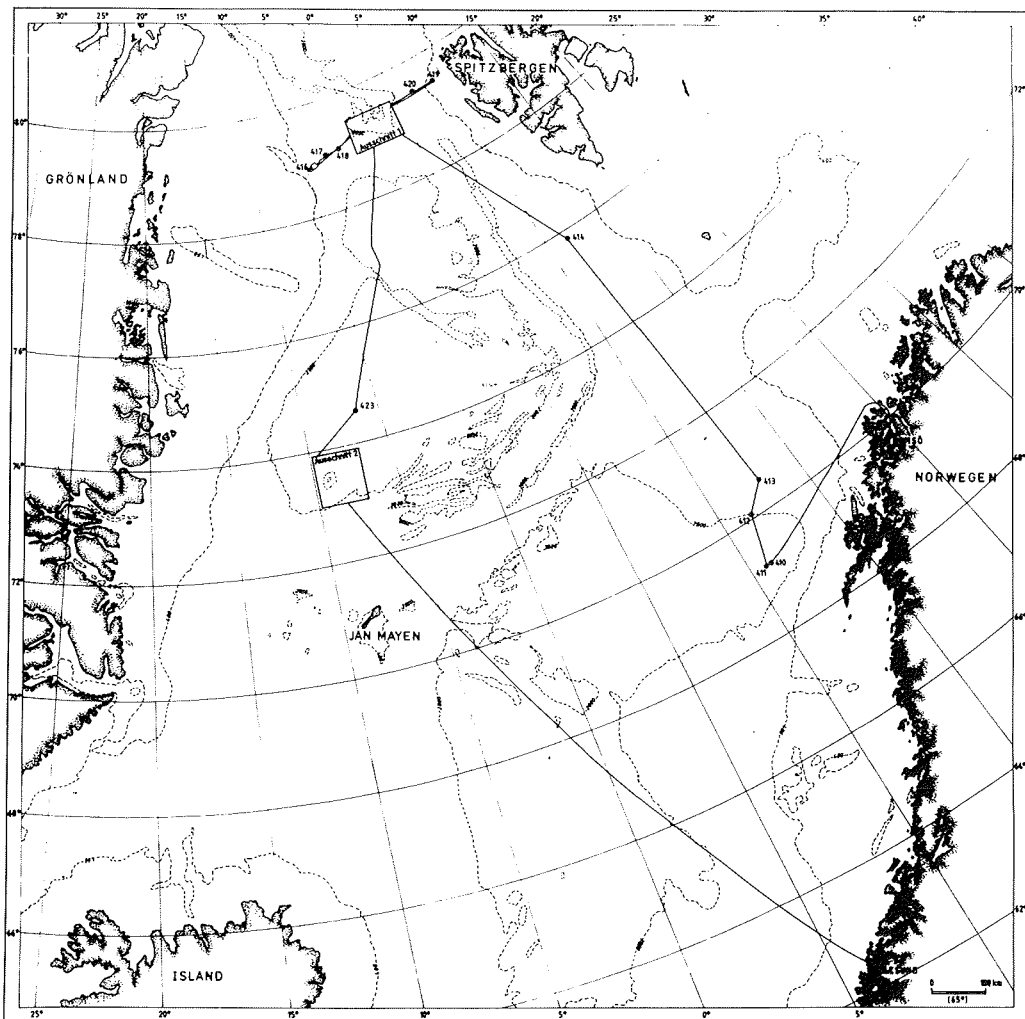


Abb. 4.1: Wege- und Stationskarte des 4. Fahrtabschnitts

4.3 Berichte der Arbeitsgruppen und erste Ergebnisse

4.3.1 Hydrographie (IAP)

Salzgehalt, Temperatur und Schallgeschwindigkeit wurden auf 10 Stationen in der Nähe der Bäreninsel, der Fram-Straße und im Grönland-Becken gemessen. In Verbindung mit Planktonfängen, Filterproben des partikulären Materials und Nährsalzdaten dienen diese Messungen zur Charakterisierung der Wassersäule an den Sedimentproben- und Sedimentfallenstationen. Als Messonde wurde das CTD- und Rosettensystem des Alfred-Wegener-Instituts für Polarforschung verwendet.

Für die Detailaufnahme der Fram-Straße mit dem SEABEAM und 3,5-kHz-Lot wurde das Schallgeschwindigkeitsprofil an folgenden Stationen aufgenommen: Im Südosten der Fram-Straße an der Molloy-Fracture-Zone ($78^{\circ}55'N$ $4^{\circ}00'E$), auf der Position $79^{\circ}02'N$ $1^{\circ}40'W$) und in der südlichen Fram-Straße ($78^{\circ}53'N$ $1^{\circ}30'E$). Die Ausgabe der Meßergebnisse erfolgte direkt beim Absenken der CTD-Sonde als Tabelle und als Profilzeichnung.

4.3.2 Suspendiertes Material, Planktonfänge und Nährstoffe (IfMK)

Zur Interpretation des Sedimentfallen-Materials, der Suspensionsmessungen und der Oberflächen-Sedimentproben sind Angaben über Phyto- und Zooplanktonvorkommen und deren Artenzusammensetzung wichtig. Auf allen geologischen Stationen wurden deshalb meereschemische und planktologische Untersuchungen durchgeführt.

Mit Hilfe der CTD-Wasserschöpfer-Rosette wurden Wasserproben sowohl aus der euphotischen Zone als auch aus dem Tiefenwasser gewonnen. Dabei benutzten wir in der Regel die in der Planktologie üblichen Standardtiefen (55, 25, 40, 75, 100, 200 m), weitere Tiefen, die sich aus dem Temperatur- und Salzgehaltsprofilen der CTD-Sonde anboten und einen Schöpfer aus dem Bodenwasserbereich.

An Bord analysiert wurden die Mikronährstoffe Nitrat, Nitrit, Ammoniak, Silikat und Phosphat. Jeweils ein bis zwei Liter wurden für Seston-, Chlorophyll-a und Gesamtphosphatbestimmungen durch $0.45\ \mu m$ Glasfiber filtriert, 100 bis 250 ml wurden zur Artenanalyse des Phytoplanktons mit Formol fixiert.

Zur näheren Beschreibung der Situation in der euphotischen Zone wurde die 1-%-Lichttiefe mit der Secchi-Scheibe ermittelt und Planktonfänge mit verschiedenen Geräten durchgeführt. Zur Erfassung der Organismenzusammensetzung, insbesondere der planktischen Foraminiferen, wurden aus 50 m Tiefe Vertikalhols mit einem kleinen Planktonnetz (Öffnungsduurchmesser: 16 cm; Maschenweite: $63\ \mu m$) gemacht. Mit dem Hydribios-Multinetz

(Öffnungsfläche: 50 x 50 cm²; Maschenweite: 200 µm) wurden Stufenfänge für die Arbeitsgruppe Lenz (IfMK) an den Positionen in der Framstraße in den Standardtiefen (500 - 200 m, 200 - 100 m, 100 - 50 m, 50 - 25 m, 25 - 0 m) gemacht. Diese Fänge sind als Ergänzung des MIZEX-84-Programms dieser Arbeitsgruppe gedacht. Weitere Multinetz-Fänge aus den Tiefen 200 - 150 m, 150 - 100 m, 100 - 50 m, 50 - 25 m und 25 - 0 m wurden für sedimentologische Untersuchungen an Hartschalen-Planktern durchgeführt. Alle Lebendfänge wurden mit gepuffertem Formol fixiert.

Von den gewonnenen Proben konnten an Bord nur die Nährstoffanalysen ausgewertet werden. In Kombination mit den 1-%-Lichttiefen ergeben die Nährstoffuntersuchungen, insbesondere in der Fram-Straße, eine geringe Tiefe der euphotischen Zone. Nur in den oberen 40 bis 60 m findet sich eine deutliche Verarmung der Nährstoffe Nitrat, Silikat und Phosphat. Dieses dokumentiert eine Auszehrung dieser Nährstoffe in der euphotischen Zone durch das Plankton. Zwischen 40 bis 80 m Tiefe trat in der Regel ein deutliches Nitritmaximum auf, das auf eine Sauerstoffverarmung hinweist. Dies ist ein oft beobachtetes Phänomen an der unteren Grenze der euphotischen Zone und wird auf den Abbau organischer Substanz zurückgeführt. Die geringe Tiefe der euphotischen Zone wurde auch durch Secchi-Tiefen von acht bis maximal achtzehn Metern dokumentiert, während auf der Station in der offenen Grönlandsee 24 m gemessen wurden.

Unterhalb der euphotischen Zone sind die Nährstoffkonzentrationen konstant oder steigen mit zunehmender Tiefe leicht an. Insbesondere für Nitrat zeigt sich dann in Bodennähe wieder eine leichte Konzentrationsabnahme. Auf allen Stationen ist mit zunehmender Wassertiefe ein Anwachsen der Silikatkonzentrationen, verursacht durch die Auflösung von Opal (wahrscheinlich Diatomeenschalen), zu beobachten.

4.3.3 ^{13}C -Wasserproben (GPI)

Mit der Bestimmung des Verhältnisses stabiler Kohlenstoff-Isotope am Gesamt-CO₂ des Meerwassers werden a) Aussagen über den Wassermassen austausch zwischen Arktischem Ozean, Norwegen-Grönland-See und Nordatlantik angestrebt, b) Grundlagen zur Eichung von $\delta^{13}\text{C}$ -Werten aus planktischen sowie benthischen Foraminiferenschalen gegen die des Wassers geschaffen.

Dazu wurden an 9 Stationen insgesamt 69 Wasserproben aus der euphotischen Zone sowie dem Tiefwasserbereich (bis 3500 m Wassertiefe) anhand von T-S-Diagrammen gezielt entnommen. Die Proben wurden unter einem N-Gasstrom abgefüllt und mit HgCl₂ vergiftet, um Fraktionierungen des $\delta^{13}\text{C}$ -Verhältnisses durch CO₂-Gasaustausch mit der Atmosphäre und/oder durch bakterielle Aktivität zu verhindern.

Die Wasserproben sollen im Anschluß an die Reise massenspektrometrisch analysiert werden.

4.3.4 Sedimentfallen-Programm (GPI, WHOI)

Während der Reise wurden zwei Verankerungen ausgelegt und eine aufgenommen. Die Verankerung im Grönland-Becken konnte nicht ausgelöst werden.

a) Aufnahme Lofoten-Becken (Verankerung LB-1)

Diese Verankerung wurde am 18. August 1983 von "Polarstern" ausgelegt, sie besteht aus einer 12-Becher-Sedimentfalle und zwei Strömungsmessern. Sie wurde am 10. August 1984 um 6.00 GMT ausgelöst, und um 8.45 GMT waren alle Geräte an Bord. Die PARFLUX-Mark-5-Sedimentfalle hatte gut gearbeitet und der Ereignis-Recorder zeigte an, daß die Probenflasche alle 30 Tage (Genauigkeit besser als eine Minute) weitergedreht wurden. Die 12 Proben, die jeweils den Partikelfluß von 30 Tagen enthalten, zeigten keine Zeichen mechanischer Störungen während der Aufnahme.

Eine starke jahreszeitliche Schwankung des Partikelflusses konnte anhand sehr unterschiedlicher Volumina in den einzelnen Bechern festgestellt werden. Das größte Volumen wurde im September, das zweitgrößte im Mai aufgefangen. Eine detaillierte Untersuchung dieses Materials wird sofort nach Eintreffen der Proben im Labor begonnen.

b) Auslegung der Verankerung im Storfjord Ausfluß (BI-1)

Eine PARFLUX Sedimentfalle Mark 5 mit 12 Probenbechern und einem Strömungsmesser wurde am 12. August 1984 auf der Position 75°50'N 11°30'E in einer Wassertiefe von 2099 m ausgelegt. Mit dieser Verankerung soll der saisonale Partikelfluß an dieser Position bestimmt und zum Ausfluß aus dem Storfjord in Beziehung gesetzt werden. Der Storfjord, der in den nördlichen Teil der Norwegischen See mündet, führt eine große Menge feiner lithogener Partikel von der Barents-See in das Fram-Straßen-Gebiet. Diese Verankerung soll im August 1985 wieder aufgenommen werden.

c) Auslegung der Fram-Straßen-Verankerung (FS-1)

Diese Verankerung soll als Schlüsselexperiment für die Erfassung des Sedimentations-Systems in der Fram-Straße dienen. Die Verankerung besteht aus einer 13-Becher-PARFLUX-Mark-6-Sedimentfalle, einem Strömungsmesser und einem Seatech-WHOI Transmissometer (Trübungsmesser). Die Sedimentfalle wurde 400 m über dem Boden, der Trübungsmesser 50 m über dem Boden und 3 m unterhalb des Strömungsmessers angebracht. Die Auflösung des Trübungsmessers

beträgt 5 µg suspendierter Partikel (Ton) in 1 kg Seewasser. Die Durchsichtigkeit des Wassers wird jede Stunde einmal registriert; dies ist die gleiche Zeitskala wie bei den Strömungsmessern. Das Fram-Straßen-Experiment dient der Erfassung a) des saisonalen Partikelflusses in der zentralen Fram-Straße in Abhängigkeit von der Eisbedeckung, dem eistransportierten Material und der Bodenströmungen und b) der Nepheloid-Lage und Regeneration (Wiederaufwirbelung) der Partikel vom Meeresboden sowie c) für Zeitserien-Informationen über die Bildung von Nepheloid-Lagen.

d) Versuch der Aufnahme der Grönland-Becken-Verankerung (GB-1)

Die etwa 2600 m lange Grönland-Becken-Verankerung (GB-1) mit 2 PARFLUX-Mark-5-Sedimentfallen und 3 Strömungsmessern wurde am 5. August 1983 von "Polarstern" auf Position 74°34'N 6°25'W ausgelegt. Nach Erreichen der Position am 22. August 1984 um 6.30 GMT antwortete der Auslöser sofort mit einem starken Signal. Trotz mehrfacher Versuche versagte der Auslöser jedoch. Auch Versuche vom Schlauchboot aus und mit einem bordeigenen Gerät brachten keinen Erfolg. Mögliche Gründe für das Versagen der Auslösung könnten sein: a) Kurzschluß im Auslöser-Commandboard, b) geringe Drift der Auslöse-Frequenz im Bordgerät, c) Fehler beim Einbau der neuen Lithium-Batterie, die eine um 2 Volt höhere Spannung besitzt als das konventionelle System.

4.3.5 Bathymetrische Vermessungssysteme (GPI, AWI, PS)

a) Echolote

Die kontinuierliche Messung der Wassertiefe entlang des Fahrtweges erfolgte mit dem ELAC-Lot mit den Meßfrequenzen 12 und 40 kHz abhängig von der Wassertiefe. Die Werte wurden auf mehreren Schreibern an Bord (SEABEAM-Raum, Lotraum, Brücke und Geophysiklabor) analog aufgezeichnet. Die Schriebe wurden regelmäßig überwacht und beschriftet. Die Wassertiefen wurden ferner durch das Datenerfassungs- und -verteilungssystem INDAS digital aufgezeichnet. Die digitalisierten Tiefenwerte erwiesen sich jedoch häufig als sehr fehlerhaft. Die Mittelwerte über 10 Minuten, gerechnet aus 5-Sekunden-Werten zeigen häufig Standardabweichungen von einigen hundert Metern. Korrekte Wassertiefen über längere Zeiträume können daher nur aus den Analogschriften abgeleitet werden.

b) SEABEAM

Das SEABEAM ermöglicht eine hochauflöste präzise dreidimensionale bathymetrische Vermessung eines Bodenstreifens unterhalb des Schiffes, dessen Breite etwa 75 - 80 % der Wassertiefe beträgt. Der Betrieb der SEABEAM-Anlage muß ständig überwacht werden, um einwandfreie Messungen und Aufzeichnungen der Daten zu gewährlei-

sten. Es hat sich gezeigt, daß die Anlage manchmal bei starken Geländeanstiegen, auch mit relativ geringer Fahrt, fehlerhaft arbeitet. Untersuchungen während dieser Reise haben weiterhin ergeben, daß die Berücksichtigung eines korrekten Wasserschallmodells für die SEABEAM-Messungen unerlässlich ist. Fehlerhafte Wasserschallwerte führen besonders bei den äußeren Strahlen zu erheblichen Abweichungen.

Die Messungen im Gebiet der Molloy Fracture Zone haben weiterhin bewiesen, daß die SEABEAM-Anlage auf "Polarstern" in der Lage ist, den Meeresboden auch bei Tiefen von über 5000 m zu erreichen.

Während dieser Messungen wurden Analogaufzeichnungen des Rauschpegels durchgeführt. Bei großen Wassertiefen ist zwar ein erhöhtes Störsignal vorhanden, das aber die Meßtauglichkeit nicht wesentlich beeinträchtigt.

Im Bereich der Molloy Fracture Zone wurden 23 Profile gefahren und dabei eine Fläche von 80 km (Ost-West) mal 55 km (Nord-Süd) vermessen. Der Profilabstand von 1.3 Seemeilen erwies sich bei Wassertiefen von über 3000 Metern als ausreichend, um noch eine kleine Überlappung zu gewährleisten. In flacheren Gebieten berühren sich die äußeren Strahlen benachbarter Profile nicht. Es können hier jedoch ausreichende Interpolationsverfahren verwendet werden.

Bei zwei Profilabschnitten, die in östlicher Richtung verliefen, fiel die SEABEAM-Anlage bei Messungen im Bereich des Geländeanstieges aus und mußte neu initialisiert werden.

Während der seismischen Vermessung der Vesterisbanken wurden sechs Profile mit ca. 6 Seemeilen Abstand aufgenommen. Zur flächenhaften Auswertung sind diese Profilabstände jedoch zu groß. Es soll versucht werden, auch hier eine detaillierte Nachauswertung durchzuführen. Im Bereich der Vesterisbanken konnte die Leistungsfähigkeit und das Auflösungsvermögen der Anlage unter Beweis gestellt werden. Die dort vorhandenen Nebenkrater des untermeerischen Vulkans mit Ausdehnungen von ca. 1 km und Höhenunterschieden von 200 bis 300 m wurden auf dem on-line Plotter eindrucksvoll gezeichnet.

SEABEAM-Messungen und dazugehörige Aufzeichnungen der Meßdaten sind abgesehen von wenigen Ausfällen während der gesamten Reise durchgeführt worden. Eine spätere Auswertung aller Daten ist vorgesehen, diese ist besonders wichtig für die Meßdaten aus der Molloy Fracture Zone.

c) 3,5-kHz-Anlage

Die 3,5-kHz-Anlage wurde parallel zum SEABEAM kontinuierlich betrieben. Außer einem leichten Störsignal auf dem Analogschrieb (verursacht durch das SEABEAM) gab es keine Interferenzen mit

anderen Systemen. Es hat sich erneut gezeigt, daß dieses Meßverfahren eine wesentliche Ergänzung zur SEABEAM-Messung darstellt. Bei der Bestimmung von Probenentnahmestellen gibt das 3,5-kHz-Lot wichtige Aufschlüsse über die Beschaffenheit des Meeresbodens. Der Betrieb dieses Gerätes bedarf ebenfalls einer kontinuierlichen Überwachung. Bei schnellen Änderungen der Geländeform und bei großen Neigungen ist es manchmal unmöglich, rechtzeitig den korrekten Meßbereich einzugeben.

Die Eindringtiefe, die im wesentlichen von der Bodenbeschaffenheit und von der Wassertiefe abhängt, variiert häufig sehr stark, so daß nicht immer alle Horizonte erkennbar sind.

4.3.6 Mehrkanalige reflexionsseismische Vermessung der Vesterisbanken im Grönlandbecken (IGK)

Vesterisbanken stellt eine markante bathymetrische Anomalie im Grönland-Becken dar. Die reflexionssmeismische Vermessung sollte Aufschluß über die innere Struktur der Vesterisbanken sowie über die Lage und Ausdehnung der ozeanischen Kruste in der näheren Umgebung geben.

Als Schallquelle dienten Luftpulser mit einem Kamervolumen von 5,0 l und 1,2 l, die mit 150 bar = 15 MPa Arbeitsdruck eingesetzt wurden. Als Schallaufnehmer wurde ein "Streamer" mit zehn Registrierkanälen in 9 aktiven Messlängen auf einer Gesamtauslage von 450 m eingesetzt. Eine analoge Monitor-Registrierung wurde mit einem RAYTHEON Line Scan Recorder durchgeführt. Die digitale Datenerfassung erfolgt mit einem NOVA 3 Computer (Data General) sowie mit Hilfe der zugehörigen Peripheriegeräte zur Signalaufbereitung. Die Kompressoranlage für die Durckluftversorgung der Luftpulser wurde bordseitig gestellt.

Über die Vesterisbanken wurde ein Profilnetz von drei NW-SE, einem E-W und drei NE-SW Profilen in einer Gesamtlänge von ca. 230 Seemeilen gelegt. Die Schiffsgeschwindigkeit betrug 5 kn, woraus sich eine Meßzeit von ca. 48 Stunden ergab. Um eine möglichst große Eindringtiefe zur Auflösung des akustischen Basements zu erzielen, wurde vornehmlich mit dem 5 l Luftpulser gearbeitet. Lediglich für Wartungsarbeiten mußte dieser gegen den kleineren 1,2 l Luftpulser ausgetauscht werden.

Bei Eindringtiefen bis zu 1 s Zweiweglaufzeit konnte das akustische Basement an den Flanken der Vesterisbanken über weite Strecken verfolgt werden. Eine erste Durchsicht der Seismogramme zeigte, daß für das akustische Basement, wie auch für die Bathymetrie eine axiale Struktur in Nordost-Südwest-Richtung festgestellt werden konnte. Eine detaillierte geologisch-geophysikalische Interpretation der Messungen, sowie die Auswertung der digitalen Daten ist im Anschluß an diese Reise durchzuführen.

4.3.7 Geologische Probennahme (GPI)

Ziel der sedimentologischen Arbeiten war die Beprobung der Oberflächensedimente auf einem Profil quer zur Fram-Straße sowie die Entnahme einiger Referenzproben für ausgelegte Sedimentfallen zwischen den Lofoten und westlich der Bäreninsel. Ferner sollte die längerfristige Veränderlichkeit der Sedimentation in der Fram-Straße anhand von Kernprofilen aus Sedimentloten untersucht werden. Schließlich sollten erstmals die Vesterisbanken mit Dredge beprobt werden, um die Beschaffenheit ihres Untergrundes kennenzulernen.

Im Rahmen dieses Programms wurden insgesamt 8 Großkastengreifertypen (GKG) mit durchschnittlich 45 cm Eindringtiefe gewonnen. Ein 9. Greifer im Molloy-Tief hat bedauerlicherweise nicht ausgelöst. Hinzu kommen 3 Schwerelote mit 4,83, 5,12 und 5,90 m sowie ein Kolbenlot mit 8,18 m Kerngewinn. Auf der Vesterisbanken wurden drei volle Kasten-Dredgen gewonnen. Die Großkastengreifertypen wurden fotografiert und nach einem detaillierten Entnahmeplan (siehe unten) beprobt, um den verschiedensten Probenwünschen gerecht zu werden. Der Kolbenlotkern 23235-2 wurde an Bord geöffnet, makroskopisch beschrieben und für Wassergehaltsbestimmungen und Magnetostратigraphie beprobt.

Die Oberflächensedimente des Arbeitsgebietes sind im wesentlichen braungraue, tonige Schlämme, weithin reich an Eisdriftgesteinen (vor allem im Zentrum und im Ostteil der Fram-Straße), an der benthischen Foraminifere Pyrgo sp. (am Westhang der Fram-Straße und in der nördlichen Norwegen-See) sowie örtlich an Sandschaler-Foraminiferen, Kotpillen und aktiver Bioturbation (am Westhang der Fram-Straße, u. U. unter dem Einfluß örtlich erhöhter Produktivität). Die Sedimente nahe dem Gipfel der Vesterisbanken erwiesen sich als Kieselschwamm-Serpel-Bryozoen-Fazies mit gelegentlichen Crinoiden-Kelchen und zahlreichen Pecten sowie etwas Eisdrift-Material.

Der Felsuntergrund der Vesterisbanken (bis 133 m unter NN aufragend) besteht offensichtlich ausschließlich aus Basaltgesteinen, Fliesenstrukturen sind häufig. Ferner wurden Basalt-Brekzien und Gerölle mit Fe-Mn-Krusten und -Zement beobachtet.

Die Holozänprofile der GKG bestehen zur Hauptsache aus hellbraun-oliv-beigen, foraminiferenführenden Schlicken. Die Eisdrift-Steinkonzentration steigt zum Westhang der Fram-Straße an und ist etwas niedriger im Becken und am Osthang. Eine 2 - 14 cm mächtige, laminierte braune Schicht an der Basis der beigen Schlicker erhielt ihre Farbe vermutlich von Fe-Mn-Ausscheidungen. Unterlagert von hell-(rosa-)grauen Schlickern bildet sie einen gut erkennbaren Leithorizont nahezu überall in der nördlichen Norwegischen See und in der Fram-Straße. In Analogie zu datiertem Kernmaterial ist die Schicht chronostratigraphisch etwa in die

oberste Termination I (unterstes Holozän) zu legen. Die Oberkante der laminierten Fe-Mn-Horizonte liegt zwischen 48 und 11 cm Tiefe. Sie lässt sich eventuell als erster Anhaltspunkt für Sedimentationsraten verwenden. Diese schwanken demnach im Holozän zwischen 1,5 - 3,5 cm (Minimum in der Fram-Straße) und 6,0 cm/1000 Jahre (Maximum vor Lofoten). In einem Fall sehr geringer Mächtigkeiten (23232-1) wurde im Liegenden der lichtgrauen Schlick bei ca 30 cm wieder ein pyrgoreicher Schlamm angetroffen, der in seiner Konsistenz dem an der Sedimentoberfläche sehr ähnelt, also nicht einem ersten Interglazial zuzuordnen wäre.

Geringe, vom GKG außen abgestreifte Sedimentmengen aus dem Molloy-Tief erscheinen rein tonig. Sie sind braungrau und zeigen eine Lage mit deutlichen orange-rostbraunen Tönen, möglicherweise entsprechend dem Fe-Mn-Horizont.

Der Sedimentkern 23235-2 zeigt eine ca. 8,20 m lange Wechselfolge von bräunlich-olivgrauem Schlamm, hellgrauen und dunkelgrauen sowie bräunlichen, foraminiferenreichen Tönen. Markante sandige Fe-Mn-Horizonte analog zu dem an der Basis des Holozäns in den GKG liegen mit ihrer Oberkante bei 36, 370, 649 und 761 cm Tiefe und geben zusammen mit sandigen Aufarbeitsungshorizonten mit Schlickgerölle bei 86 und 260 cm Tiefe Anlaß zu ersten stratigraphischen Überlegungen. Demnach reichte die gekernte Schichtfolge etwa bis zu Termination IV (ca. 370.000 J.v.h.) zurück und hätte eine durchschnittliche Sedimentationsrate von 2,2 cm/1000 J.

Entnahmeschema Großkastengreifer

Oberfläche:	- Fotografie	ca. 350 cc
	- 2 Archivrohre	400 cc
	1 cm tief, bengalrosa gefärbt	
	- Sedimentol-Probe:	250 cc
	ca. 15 x 15 cm, 1 cm tief	
	- Sediment-Probe S.Honyo, 1 cm	60 cc
	- Isotopen-Ofl. Probe	250 cc
	15 x 15 cm, 1 cm tief bengalrosa gefärbt	
	- Georg-Probe; 1 cm	20 cc
	an verschiedenen Stellen gesammelt als Durchschnitt	
	- Diatomeen + Silikos; oberster cm	2 cc
	- Pollen Probe; 1 cm	100 cc
	- Probe für Wefer (fallweise) 1 cm	250 cc
	nur bei Sed.-Fallenstation, bengalrosa gefärbt	
	- lebendiges Mikrobenthos für Koeve, IfM (Restfläche)	
	- 1 Stechröhre Makrobenthos	200 cc
	Thomsen-Hanken, Tromsö	
	- Lebendige Mikrofauna absammeln Restfläche	
	Thomsen-Hanken, Alkohol, Formalin	
	- Sammelprobe Ofl.-Rest, 5 cm tief Restfläche	
	Thomson-Hanken	

Vertikal: - Fotografie
Spritzen: - Wassergehaltsproben (+Planktonstratigr.)
 Spritzen in 5 cm Abstand
Plastik-B. - 4 - 5 x C-Proben in 10 cm Abstand
 á 1 - 2 cm Maechtigkeit 2000 cc

Plastik-Deckel - Radiographieproben
Plastik-Dosen - Rückstandsproben Kiesfraktion (jeweils
 zwischen den C-Proben).

4.3.8 Elektronische Verarbeitung der SEABEAM-Daten auf "Polarstern" (AWI)

Seit Beginn der zweiten Arktisexpedition steht auf "Polarstern" ein Bordrechner zur Verfügung, mit dem die 5-Sekunden-Werte der Datenerfassungs- und Verteilungsanlage INDAS gespeichert und weiterverarbeitet werden können. Die 5-Sekunden-Werte werden auf der 120 Mbyte-Platte bereitgestellt. Um bei eventuellen Schäden an dieser Platte einen vollständigen Datenverlust zu vermeiden, muß der Inhalt dieser Platte regelmäßig auf ein Magnetband kopiert werden. Am 16.08.84 wurde ein solcher Kopierlauf durchgeführt. Leider bewirkte diese Prozedur, daß das Leseprogramm der INDAS-Daten nicht mehr weiterarbeitete. Dieser Programmzustand wurde bei der normalen Systemüberwachung nicht erkannt, so daß der Datenverlust erst am 19.08.84 bei der Nutzung dieser Daten bemerkt wurde. Zur Weiterverarbeitung der INDAS-Daten stehen mehrere Programme zur Mittelbildung zur Verfügung. Für die Auswertung der SEABEAM-Daten wurde ein weiteres Programm geschrieben, daß die Positionen für jede Minute aus den Gesamtdaten heraussucht. Mit diesen Navigationsdaten kann ein korrekter Ausgleich des Koppelweges erfolgen.

Auf dem VAX-Rechner werden zur Zeit mehrere Programmsysteme zur Auswertung von SEABEAM-Daten implementiert. Da diese zum Teil von anderen Rechnern stammen, müssen noch erhebliche Analyse- und Anpassungsarbeiten geleistet werden.

Um die Qualität der Satelliten-Navigation abschätzen zu können, wurde ein neues Plotprogramm erstellt, mit dem Karten in beliebigem Maßstab mit geographischen und/oder UTM-Gitterlinien gezeichnet werden können. Weiterhin wurde ein umfangreiches Isolinienprogramm implementiert. Die Anpassungsarbeiten an die SEABEAM-Daten sind noch nicht abgeschlossen.

4.3.9 Navigation (AWI)

a) INDAS-Navigation

Die Vermessung mit dem SEABEAM-System erfordert eine gute Positionsbestimmung der "Polarstern", besonders, wenn Profile mit konstanten Abständen gefahren werden sollen. Bei der häufigen

Satellitenerfassung in Polnähe wurde ohne Ausgleich der Satellitenoffsets eine absolute Positionierungsgenauigkeit von ± 400 - 500 m erreicht. Durch eine spätere Korrektur der Navigationsdaten kann etwa eine Verbesserung auf ± 300 m erwartet werden.

b) Global Positioning System (GPS)

Die Navigation mit Hilfe von künstlichen Erdsatelliten ist schon seit langem ein Standardverfahren. Zur Zeit wird mit dem GPS, ein neues Satellitennavigationssystem mit hoher Genauigkeit aufgebaut. Im Endausbau sollen sich 18 Satelliten auf Umlaufbahnen in 21000 km Höhe befinden. Ihre Konstellation ist so gewählt, daß jederzeit und weltweit mindestens 4 Satelliten über dem Horizont stehen und somit beobachtbar sind. Jeder Satellit sendet auf zwei stabilen Frequenzen (1575 MHz und 1227 MHz) codierte Informationen über seine Identität, seine Position und die genaue Sendezzeit der Signale. Das Zeitsystem (GPS-Zeit) ist für alle Satelliten einheitlich und wird ebenso wie die Satellitenkoordinaten von einem Kontrollsegment mit mehreren Beobachtungsstationen in den USA definiert.

Wenn es dem Benutzer gelingt, die Signale von 4 Satelliten zu decodieren und die genauen Empfangszeitpunkte in GPS-Zeit zu bestimmen, dann ist er in der Lage, seinen Ort sehr präzise zu berechnen. Die Differenz von Empfangs- und Sendezeitpunkt ist die Laufzeit des Signals. Mit der Ausbreitungsgeschwindigkeit erhält man die Strecke zwischen Satellit und Beobachtungspunkt. Streckenmessungen von drei bekannten Punkten (den Satellitenorten) zu einem unbekannten Punkt (die Beobachterposition) genügen, um letzteren zu bestimmen. Da die Empfängeruhr, an der die Empfangszeitpunkte abgelesen werden, in der Regel nicht mit der GPS-Zeit synchronisiert ist, benötigt man eine vierte unabhängige Messung, um die Empfängeruhr nachzustellen. Ein GPS-Empfänger verfolgt außerdem noch Dopplerfrequenzverschiebungen, mit deren Hilfe auf die eigene Bewegung geschlossen wird. Damit ist man in der Lage, jederzeit weltweit seine dreidimensionale Position und Geschwindigkeit sowie die Zeit zu bestimmen. Die Genauigkeit, mit der das gelingt, soll im Bereich von mindestens 50 m liegen.

Zur Zeit befinden sich erst 5 GPS-Satelliten im Umlauf. Dementsprechend sind die Beobachtungszeiträume eingeschränkt. Während dieser Reise konnte täglich etwa 6 Stunden mit 4 Satelliten navigiert werden. Die Navigation mit nur 3 Satelliten ist möglich, wenn man eine Positionskomponente, z. B. die Höhe, kennt. Der Beobachtungszeitraum erhöhte sich dann auf etwa 10 Stunden.

Zur Erprobung einer GPS-Anlage wurden die Antenne, Antennenkabel und Empfänger mit einfachen Mitteln, noch während "Polarstern" in Tromsö lag, installiert. Die Datenaufzeichnung erfolgte zunächst auf Digitalkassetten. Später wurde ein Anschluß an den Bordrech-

ner hergestellt. Die ständige Einrichtung eines GPS auf "Polarstern" ist für mehrere Meßgeräte (SEABEAM, Doppler SONAR, Doppler SODAR, Windvektormeßgeräte) äußerst wünschenswert. Ferner wird die Sicherheit der Navigation erhöht.

4.3.10 Meteorologie und Eisverhältnisse (SWA)

a) Wetterverlauf

In der Zeit vom 9.8.84 bis 24.8.84 in den Gebieten Lofotenbecken, Fram-Straße und Vesterisbanken:

Die großräumige Zirkulation zeigte zu Beginn der Reise einen gut ausgeprägten Höhentrog über der Labradorsee, von dem aus die Frontalzone Richtung Nordmeer verlief. Auf der Vorderseite dieses langsam nordostwärts schwenkenden Tropes konnten sich mehrere Sturmwinden entwickeln, deren Zugbahn über die Dänemark-Straße und weiter entlang der ostgrönlandischen Küste führte. Dort schwächte sie sich jedoch rasch ab. Ihre Frontensysteme erreichten okkludiert das Arbeitsgebiet. In der Zwischenzeit hatte sich über der Barentssee ein kräftiges Hoch aufgebaut, das die weitere Ostverlagerung der Tiefdruckgebiete verhinderte. Diese stabile, quasistationäre Konstellation der Höhenströmung ('Omega'-Lage: Hoch-Barentssee, im Westen flankiert von einem Tief über Grönland, im Osten über Nordrussland) bestand einige Tage.

Als Folge dieser Druckverteilung lag das Arbeitsgebiet (zunächst Lofoten-Becken, später westlich Bäreninsel und Spitzbergen) in einer überwiegend frischen südöstlichen Strömung - kurzzeitig wurden Windstärken von Bft 7 erreicht. Da mit dieser Strömung Warmluft advehiert wurde, bildete sich rasch Nebel, der etwa 6 Tage andauerte. Die Nebelbildung wurde noch begünstigt, als das kalte Wasser (0°C und weniger) in der Nähe der Eiskante erreicht wurde.

Am 19.8. wanderte das bis dahin quasistationäre Hoch nach Osten ab. Von Nordostgrönland zog ein Tief unter kräftiger Vertiefung über die Bäreninsel in die südliche Barentssee. An seiner Nordseite gelangte die Fram-Straße über eine frische östliche in eine nordwestliche Strömung, mit der trockene Kaltluft advehiert wurde. Sie beendete rasch die Nebelperiode.

Während der letzten drei Tage zogen auf südlicher Bahn schwach ausgeprägte Störungen über Vesterisbanken nach Nordskandinavien. Dabei wechselte die Windrichtung mehrfach zwischen dem Südost- und Nordwestsektor und die Windstärken schwankten zwischen Bft 2 und Bft 5.

b) Eisverhältnisse in der Framstraße

Da seit Anfang August, von einer kurzen Unterbrechung abgesehen, ständig südliche oder südöstliche Winde wehten, hatte sich die Packeisgrenze nach Norden zurückgezogen. Die nördliche Grenze wurde am 17.08. bei etwa $79^{\circ}12'N\ 0^{\circ}30'E$ und am 19.8. bei etwa $79^{\circ}25'N\ 1^{\circ}00'E$ erreicht. Nach Südwesten hin schließt sich die weit nach Süden (ca. $72^{\circ}N$) reichende permanente kompakte Packeiszunge an. Ihre östliche Begrenzung lag im Arbeitsgebiet bei etwa $78^{\circ}50'N\ 4^{\circ}25'W$. Wegen der südlichen Anströmung gab es vor dem kompakten Packeis nahezu kein lockeres Treibes. Auf dem späteren Kurs nach Südsüdwesten wurde bei etwa $77^{\circ}00'N\ 1^{\circ}20'W$ nochmals Eis angetroffen. Es war ein kompakter nach Südosten gerichteter Nebenarm, der zeitweise auf den Satellitenbildern zu sehen war. Da wegen überwiegend starker Bewölkung die Eisgrenze anhand von Satellitenbildern nur teilweise bestimmt werden konnte, wurden zusätzliche Eiskarten gezeichnet. Hierzu wurden Daten benutzt, die der norwegische Wetterdienst über Telegrafiefunk verbreitet. Die eigenen Beobachtungen stimmten mit den angegebenen Grenzen gut überein.

c) Wind- und Sichtverhältnisse

In den nachfolgenden Tabellen sind die beobachteten Windgeschwindigkeiten und Sichtweiten angegeben:

Tab. 4.1

Häufigkeit der Windstärken in % bezogen auf dreistündliche Beobachtungen

Windstärke (Bft)	1	2	3	4	5	6	7
	0,8	2,5	10,7	26,5	43,8	14,9	0,8

Tab. 4.2

Häufigkeit der Sichtweiten in % bezogen auf dreistündliche Beobachtungen

Sichtweite	< 1000 m	3 km	9 km	9 km
	28,9	14,0	8,3	48,8

6 von 16 Tagen sind als reine Nebeltage zu bezeichnen. An zwei weiteren Tagen wurde zu mindestens 2 Terminen Nebel beobachtet.

5. GEOPHYSIK UND GEOLOGIE AM JAN-MAYEN-RÜCKEN

Fünfter Fahrtabschnitt (Fifth Cruise Leg)
des FS "POLARSTERN": Arktis II/5

Fahrtleiter: (Chief Scientist): Wilfried Weigel (IGH)*

5.1 Wissenschaftliche Zielsetzung

5.1.1 Geophysik

Der Jan-Mayen-Rücken (JMR) - wahrscheinlich ein im Oligozän von Grönland abgespaltenes Kontinentalfragment - bildet eine Schlüsselstellung für die Entwicklungsgeschichte des Nordmeeres. Der Rücken erhebt sich südlich der Vulkaninsel Jan Mayen und der Jan-Mayen-Fracture-Zone und westlich des Norwegischen Beckens. Südöstliche Ausläufer reichen wahrscheinlich bis an die fraglichen magnetischen Anomalien 20 - 23 heran.

Die westliche Flanke, auf die ein Horst- und Grabensystem folgt, stellt möglicherweise die ehemalige Abbruchkante dar. Die östliche Flanke fällt bis zu Tiefen von über 3000 m flach ab. In einigen Flankenbereichen zeigen sich nach früheren reflexionsseismischen Ergebnissen des als Basement interpretierten O-Reflektors (Kaledonische Granite oder metamorphe Gesteine) zum Norwegischen Becken hineinfallende Schichten ("seaward dipping layers"), die gelegentlich als vulkanische Massen interpretiert werden. Darüber gibt es im Gebiet des Jan Mayen Rückens noch keine eindeutigen Befunde. Die seaward dipping layers sollen einen Hinweis geben auf die Frühgeschichte eines vulkanischen Kontinentalrandtyps. Im Gegensatz dazu steht ein durch Rifting und Dehnung entstandener Kontinentalrand. Der Jan-Mayen-Rücken ist ein inaktiver Rücken, da er keine Spreading-Anomalien aufweist. Diese anomalienfreie Zone - vergleichbar mit der magnetisch ruhigen Zone an passiven Kontinentalrändern - gilt als Indiz für ein kontinentales Fragment. Von besonderem Interesse ist auch, wo sich der Übergang von kontinentaler zu ozeanischer Kruste vollzieht. Nach den bisherigen Vorstellungen soll ozeanische Kruste schon relativ nahe am durch die Topographie gekennzeichneten östlichen Rand bei ca. 3000 m Wassertiefe vorliegen.

Die geophysikalischen Untersuchungen dieser Reise hatten im wesentlichen drei Ziele:

- Refraktionsseismische Messungen im Gebiet des Jan-Mayen-Rückens unter Verwendung von Ozeanoboden seismographen - mit großer Beobachtungsdichte und hoher Auflösung.

* Erläuterung der Institute unter "Beteiligte Institute"

- Reflexionsseismische Messungen zur Feinauflösung der bodennahen Sedimente mit einem neuen tiefgeschleppten System. Es bestand die günstige Möglichkeit des stratigraphischen Anschlusses an die DSDP-Bohrungen 346, 347 und 349 (Post Site survey).
- Die Ergebnisse sollten einen Beitrag zum Site Survey im Gebiet des Jan-Mayen-Rückens für spätere Bohrungen innerhalb der 2. Atlantikkampagne des ODP-Bohrschaftes leisten.

Die tiefenseismischen Untersuchungen wurden durchgeführt zur:

- a) genauen Bestimmung der Verteilung von seismischen Wellengeschwindigkeiten im Krustenbereich bis zum Oberen Mantel und der Lateral-Tiefenausdehnung des Jan-Mayen-Blocks;
- b) Erkundung des Überganges von vermutlich kontinentaler zu ozeanischer Kruste in Richtung auf das Norwegische Becken (passiver Kontinentalrand, u. a. im Vergleich mit dem norwegischen Rand);
- c) Erforschung der Struktur, der Natur und der Bedeutung der "seaward dipping reflectors" (Mächtigkeit, untere Begrenzung und Aufbau im Liegenden).

Die geplanten refraktionsseismischen Profile konnten - bis auf die Besetzung mit 2 Ozeanbodenseismographen im nördlichen Teil des Profiles IV und eine geringe Verkürzung des Profiles I im Osten - vollständig mit Erfolg bearbeitet werden. Weitere Daten wurden von einer seismischen Mobilstation auf Jan Mayen und von der norwegischen Feststation in Zusammenarbeit mit der Universität Bergen gewonnen. Die Registrierungen auf der Erdbebenstation sind qualitativ gut. Analogabspielungen der Mobilstation liegen noch nicht vor.

An insgesamt 14 Positionen mit Ozeanbodenseismographen wurden - nach einer ersten Sondierung - von etwa 11 Geräten gute Seismogramme aufgezeichnet. Eine permanente externe Störquelle, über deren Ursache nichts bekannt ist, hat in einigen Fällen die Qualität der Seismogramme beeinflußt.

Die erste vorläufige Auswertung erhärtet die Vermutung, daß der Jan-Mayen-Rücken aus einem kontinentalen Block besteht, der sich allerdings viel weiter nach Osten zu erstrecken scheint, als bisher angenommen wurde. Er wird wahrscheinlich durch die Jan-Mayen-Fracture-Zone und den alten Aegir-Rücken begrenzt. Der Zentralbereich des Kontinentalblockes ist gegenüber der Rückenachse nach Osten versetzt. Die Vorauswertung an Bord reicht nicht aus, um die Mächtigkeit der "dippings" zu bestimmen.

Um die DSDP-Bohrung 349 herum wurden Seismogramme mit Ozeanbo-denseismographen gewonnen, die durch Sprengstoff, Airgun und Watergun angeregt wurden. Ferner wurden ein tiefgeschlepptes System, das 3,5 KHz-Lot und das SEABEAM eingesetzt. Das Material erlaubt den angestrebten Vergleich verschiedener akustischer Methoden, die für Site Surveys geeignet sein können.

5.1.2 Geologie

Die meeresgeologischen und biologischen Arbeiten dieses Fahrtabschnittes ergänzen die Untersuchungen des vorangegangenen. Im einzelnen wurden folgende Teilprogramme durchgeführt:

An zwei Stationen am Nordrand des Vöring-Plateaus wurden, wie vor einem Jahr, Großkastengreiferproben entnommen, um Lebendbeobachtungen an einer besonders angepaßten Benthos-Foraminifere (*Rupertia stabilis*) vorzunehmen. Eine dieser Stationen hatte früher besonders hohe Foraminiferen-Siedlungsdichten ergeben. Deshalb wurde in diesem Jahr auch das Makrobenthos aufgenommen, um das Verhältnis der Foraminiferen-Fauna zu untersuchen und eventuell Mikro-Habitate zu finden. Das Stationsnetz des Vorjahrs konnte insbesondere hinsichtlich landferner und landnaher Proben aus gleichen Wassertiefen vervollständigt werden.

Im letzten Teil des Fahrtabschnittes wurden Kerne (Schwerelote) zwischen dem Jan-Mayen-Rücken und Grönland gezogen, deren Auswertung Aufschlüsse über die paläoozeanographische Entwicklung in diesem Gebiet geben soll. Durch begleitende Borduntersuchungen an ausgewählten Kernabschnitten wurde die Häufigkeit des Nannoplanktons in den Sedimenten festgestellt und eine Sofortdatierung versucht. Die Durchführung der Messungen und vorläufige Ergebnisse werden in den folgenden Berichten der Arbeitsgruppen skizziert.

5.2 Zeitlicher Ablauf der Arbeiten

Nach dem Auslaufen am 31.8.84 gegen 11.00 Uhr Ortszeit aus Aalesund nahm "Polarstern" Kurs auf das Kontinentalrandgebiet Norwegens östlich des Vöring-Plateaus. An dessen östlichem und nördlichem Rand wurden am 2.9. und 3.9.84 an insgesamt 5 Positionen geologische Proben mit dem Großkastengreifer (GKG) in Tiefenbereichen von 556 bis 2232 m entnommen. Trotz stärkeren Seeganges (Windstärken bis 7) konnten die Arbeiten zügig durchgeführt werden. Nachdem auf der letzten Position nördlich des Vöring-Plateaus am 2.9., 13.00 GMT, wahrscheinlich wegen harten Untergrundes, eine Beprobung erfolglos war, wurde sie an einer ca. 1,3 sm westlich versetzten Position wiederholt. Der Kastengreifer war nun, wie alle vorhergehenden, fast bis zum oberen Rand mit Material gefüllt. Im Gebiet der Probenpositionen wurden 3,5-kHz-Lotungen und Echolotungen mit größerer Auflösung durchgeführt.

Am 3.9. um 14.15 Uhr verließen wir das Gebiet des Vöring-Plateaus mit Kurs auf die Station 430, einen Punkt der geplanten Geologischen Kerentraverse, auf der mit großem Kastengreifer und Schwere- lot (SL) vom Jan-Mayen-Rücken bis zum Grönlandshelf Proben genommen wurden. Aus Zeitgründen fielen die beiden geplanten östlichen Stationen (9 und 10) aus. Das Schwerelot erbrachte zwei Kerne von ca. 7 m Länge; auch die Beprobung mit dem großen Kastengreifer war erfolgreich.

Am 3.9. wurde Kurs auf Jan Mayen genommen. Während der Anfahrt wurden im Kontakt mit Radio Jan Mayen und dem Kommandanten der Insel die Landevorbereitungen für den seismischen Beobachter getroffen. Später bestand über UKW eine ausgezeichnete Sprechverbindung. Am Morgen des 4.9.84 lag der mächtige Beerenberg im strahlenden Sonnenschein vor uns. Bei ruhigem Wetter gelang die Anlandung ohne Schwierigkeiten. Danach nahmen wir Kurs auf den nördlichsten Punkt des ersten refraktionsseismischen Profiles (Profil II) an der Ostflanke des Jan-Mayen-Rückens.

Vier Ozeanbodenseismographen (OBS) wurden auf dem ca. 67 sm langen Profil ausgebracht. Nach Messung mit der CTD-Sonde wurde das Profil mit Watergun (WG), Seabeam (SB) und 3,5-kHz-Lot bearbeitet und am 5.9. bis 16.00 GMT das gesamte Profil mit Sprengstoff überschossen. Beim Einholen der Geräte konnte ein Tiefsee-OBS nicht geborgen werden. Die übrigen Geräte lieferten - einschließlich der Mobilstation auf JM und der norwegischen Feststation - sehr gute Seismogramme.

Am 7.9. wurde ein zweites Tiefenprofil (Profil II) in Streichrichtung des JMR bearbeitet. Hier ging ein zweiter OBS verloren. Dichter Nebel erschwerte das Wiederauffinden der Geräte. Dennoch konnten die anderen 4 OBS - eingeschlossen der französische (COB-OBS) - erfolgreich geborgen werden.

Am 8.9. konnte der Beobachter - bei diesmal regnerischem Wetter mit Windstärken bis 7 - von JM abgeholt werden. Ein kurzer Ausflug auf die Insel mit Besichtigung der Funk-, Wetter- und Erdbebenstation war eine willkommene Abwechslung für viele "Polarstern"-Fahrer. Die freundliche Haltung der Norweger wurde bekräftigt durch einen Gegenbesuch des Inselkommandanten und einigen Insulanern auf "Polarstern". In guter Stimmung wurde die Fahrt gegen 18.00 Uhr mit Kurs auf den östlichsten Punkt des Querprofiles (Profil I) fortgesetzt.

Am 9.9. wurde das geplante Querprofil I mit Erfolg bearbeitet. Alle Geräte wurden dank der guten Positionierung mit Hilfe von Satelliten und der umsichtigen Arbeit der Besatzung schnell gefunden und geborgen.

Auf sämtlichen bisher bearbeiteten Profilen wurden SEABEAM, 3,5-kHz-Lot und die Watergun eingesetzt, letztere auf dem Profil II auf ganzer Länge und auf Profil III nur ± 6 sm um die OBS-Positionen herum, da die Energie zur Überbrückung größerer Entfernung nicht ausreichte. Die Schallgeschwindigkeit im Wasser wurde durch CTD-Messungen bestimmt.

Am 10.9. wurde mit dem seismischen Profil längs der Jan-Mayen-Rücken-Achse begonnen. Aus Zeitgründen konnte nur der südliche Teil des Profiles über 51 sm mit Ozeanbodenseismographen belegt werden. Das Profil wurde jedoch in einer Gesamtlänge von 71 sm überschossen, um die notwendige Eindringtiefe bis zum Oberen Mantel zu erreichen. SEABEAM und 3,5-kHz-Lot wurden über das gesamte Profil und parallel dazu im Abstand von einer Seemeile gefahren. Die Qualität der refraktionsseismischen Daten mit einer seismischen Reichweite von über 130 km ist sehr gut. Eine erste Auswertung ergab als höchste Kompressionswellengeschwindigkeit 8,4 km/s in nur ca. 8 km Tiefe im Zentralbereich des Rückens: ein unerwartetes Ergebnis. Über die DSDP-Bohrung 349 wurden zwei sich kreuzende Profile von je 12 sm Länge mit Sprengseismik, 16 l Airgun, 3,5-kHz-Lot, SEABEAM und einem tiefgeschleppten reflexionsseismischen System gefahren. Hiermit wurde ein repräsentatives Beobachtungsmaterial mit Eindringtiefen in die meeresbodennahen Strukturen (Feinauflösung im m-Bereich) bis in km-Bereiche gewonnen, das sich an eine Bohrung anschließen läßt (Post Site Survey).

Am 12.9. waren alle 4 OBS auf dem letzten seismischen Profil ohne Schaden geborgen. Anschließend wurde über 23 Stunden das tiefgeschleppte reflexionsseismische System (Anregung Watergun) mit gutem Erfolg geschleppt und an dem nächsten geologischen Punkt auf der Ost-West-Traverse eingeholt. Die geologische Beprobung mit großem Kastengreifer und Schwerelot wurde auf insgesamt 5 Stationen bis ca 18 sm vor Grönland fortgesetzt. Auf einer sechsten Station wurde ein Backengreifer eingesetzt. Die Kernlängen betragen 6,68 m, 6,17 m, 7,09 m und 8,75 m. Auf dem Grönlandschelf konnte trotz sehr groben Sedimentes immerhin noch ein 3,97 m langer Kern gewonnen werden. Wegen schwerer See mußten mehrere Einsätze wiederholt werden. In zwei Fällen gab es Rohrabknicker. Bei den Lebendbeobachtungen an Benthos-Foraminiferen ergaben sich weitere Hinweise darauf, daß ein großer Teil der in den Sedimenten vorkommenden Gehäuse auf Steinen und anderen Hartsubstraten aufwachsen. Auf der gesamten Kerentraverse wurde SEABEAM und 3,5-kHz-Lot gefahren.

Nach Beendigung der geologischen Arbeiten vor Grönland und einem anschließenden CTD-Einsatz bei 1500 m Wassertiefe wurde gegen 23.00 Uhr Kurs auf Bremerhaven genommen. Unterwegs erfolgte noch eine Windenerprobung bei ca. 3500 m Wassertiefe. Am 18.9. wurde die schnelle Heimfahrt noch einmal durch Reste des Wirbelsturmes "Diana" gebremst, der noch Windstärken bis Bft. 11 aus Südost enthielt.

Vor dem Einlaufen wurden 4 geologische Proben mit dem Backengreifer in der Nordsee bei 55° genommen. Am 20.9.84 um 11.30 Uhr legte "Polarstern" an der Columbuskaje in Bremerhaven an. Ihre zweite Reise in die Arktis war damit beendet.

5.3 Berichte der Arbeitsgruppen

5.3.1 Seismik

5.3.1.1 Ozeanbodenseismographen (OBS) und Bord-Hydrophon (IGH)

Auf den 4 Refraktionsprofilen wurden 14 Positionen mit OBS besetzt, 7 davon mit Tiefsee-OBS und ebenfalls 7 Positionen mit OBS und Markierungsboje. 2 T-OBS gingen verloren. Bei einem OBS (T-OBS "Arkti" auf Profil III) war die Empfindlichkeit derart gering, daß die Registrierungen nicht auswertbar waren. Da bei dem Gerät kein Fehler festgestellt werden konnte, wurde es wieder ausgesetzt und arbeitete dann fehlerfrei.

Alle Aufzeichnungen - soweit schon abgespielt - sind von zufriedenstellender Qualität. "Polarstern" bildet allerdings eine sehr starke akustische Störungsquelle. Bei Annäherung an die OBS-Positionen wird bereits bei einem Abstand von 3 sm die empfindlichste Spur völlig ausgesteuert. Dies hat keine Bedeutung für sprengseismische Beobachtungen, stört allerdings bei Water- und Airgunanregung. Dadurch konnten Steilwinkelreflexionen, wie wir sie vor West-Afrika mit "Meteor" beobachtet haben, bei ersten Abspielungen an Bord nicht identifiziert werden. Die akustische Auslösung des OBS mit modifizierter Auslöseelektronik wurde aufgrund der großen Störgeräusche des Schiffes erfolglos versucht. Bei einem weiteren Versuch wurde der Pinger in den ständig laufenden Propeller gezogen und vom Kabel abgerissen.

Das Schießprogramm wurde mit einem Hydrophon, ausgebracht an der Steuerbordseite, auf einem Papierschreiber registriert. Über die aufgezeichneten Signale kann die Laufzeit der direkten Welle, die Blubberperiode und bedingt auch die Signalform des Schallimpulses kontrolliert werden.

5.3.1.2 Tiefgeschlepptes Reflexionsseismisches System (IGH)

Über 23 Stunden wurde das hochauflösende Vertikalarray (2 Hydrophone) eingesetzt und zur Schallanregung eine Watergun (IFREMER) benutzt. Das Schußintervall betrug 10 Sekunden. Die Watergun wurde in ihrer Tiefe so eingestellt, daß ein möglichst hochfrequentes Schußspektrum erreicht wurde. Das System wurde mit einem Scherfuß abgesenkt und bei einer Schiffsgeschwindigkeit von 1,5 kn in ca. 700 m Tiefe geschleppt. Die beiden Kanäle wurden mit einem Hochpaß (300 Hz) gefiltert, addiert und auf dem

Ratheon-Schreiber aufgezeichnet. Nach einstündiger Justierung der Elektronik wurde das Profil mit diesem neuen Meßaufzeichner vermessen. Die Eindringtiefe betrug bis über 200 ms, die Auflösung ist von guter Qualität. Eine akustische Störquelle (U-Boot) hat wiederholt während der Messungen die Aufzeichnungen beeinträchtigt. "Polarstern" selbst war in diesem hochfrequenten Bereich nicht besonders laut. Es müßte aber eine Messung ausgeführt werden, durch welche die Propellerstellung, Druckhöhe und der ins Wasser abgestrahlte akustische Störpegel ermittelt werden. Die reflexionsseismischen Messungen konnten bei einem minimalen Störpegel durchgeführt werden.

Das Ausbringen und Einholen der Schwinger war problemlos. Wir sind der Auffassung, daß ein derartiges System auch im Treibeis eingesetzt werden kann, wo ein Streamer versagt.

5.3.1.3 Seismisches Schießen (Schallanregung mit Sprengstoff) (IGH, THW)

Auf den insgesamt 4 spengseismischen Profilen wurden 322 Schüsse mit Ladungen von 5 kg bis 3 x 25 kg abgetan. Dabei wurde in gewohnter Weise der Minutenimpuls der Mutteruhr als Trigger für die Schießmaschine benutzt. Die Schiffsgeschwindigkeit betrug je nach gewünschtem Schießabstand auf dem Profil II 7 Knoten, Profil III 8 Knoten, Profil I 8,5 Knoten und auf Profil IV 10 Knoten. Die Schießintervalle lagen bei Profil II bei 6 Minuten, bei den Profilen III und I bei 5 Minuten, während sie bei Profil IV von zunächst 5 auf 15 Minuten für die letzten Schüsse ausgedehnt wurden.

Das gesamte Schießprogramm lief aufgrund langer Erfahrungen mit hoher Präzision ab. Insgesamt sind nur 10 Fehlschüsse zu verzeichnen.

5.3.1.4 Seismische Beobachtungen auf der Insel Jan Mayen (IGH)

Im Rahmen der seismischen Arbeiten auf dem Jan-Mayen-Rücken wurde versucht, auch auf der Insel Jan Mayen, die angenähert in der Verlängerung der nordsüdlich verlaufenden Profile II-IV liegt, seismische Signale von den Schüssen auf diesen Profilen zu registrieren. Dazu dienten zwei Einheiten der digitalen seismischen Feldapparatur HERA 35M, die in der Erdbebenstation Hamburg entwickelt wurden und die Stationen des norwegischen Seismometer-Arrays auf der Insel um den Vulkan Beerenberg seismisch zu überwachen und die seismische Mikrobenaktivität der Jan-Mayen-Fracture-Zone und der angrenzenden Teile des mittelatlantischen Rückens festzustellen.

Die Magnetbandaufzeichnungen sowohl der deutschen Feldapparaturen als auch der norwegischen Arraystationen können erst ausgewertet werden, nachdem die Abspielungen zu Hause vorgenommen werden.

Auf der norwegischen Station lief parallel zu den Magnetbandaufzeichnungen ein Monitorschreiber mit geringer Vergrößerung und kleinem Vorschub im Dauerbetrieb. Auf dessen Streifen sind die Einsätze von den 25 kg und 2 x 25-kg-Schüssen bis 115 km deutlich zu erkennen. Eine erste, naturgemäße sehr grobe Auswertung ergibt für den Entfernungsbereich 50 - 155 km einen Laufzeitast mit einer Scheingeschwindigkeit von etwa 7,1 km/s. Die Interpretation im Zusammenhang mit den Seemessungen bereitet noch Schwierigkeiten. Die deutlich sichtbaren Einsätze lassen erwarten, daß auch die Magnetbandabspielen von guter Qualität sein werden.

Nach Absprache mit den norwegischen Kollegen wurden auch nach dem Verlassen der Insel die Registrirungen in der seismischen Station Jan Mayen fortgesetzt. Über Ergebnisse von den Profilen I und IV liegen uns noch keine Meldungen vor.

5.3.1.5 Erste Auswertung refraktionsseismischer Daten (IGH)

Von den 14 ausgesetzten Ozeanbodenseismographen konnten 11 mit aufgezeichneten Daten wieder geborgen werden. Ein angebundenes System wanderte aufgrund starker Störung über Grund, was die Qualität der seismischen Signale dieses Aufnehmers stark begrenzte.

Die seismische Reichweite betrug bis zu 100 km für die Sprengseismik. Die Energie der Watergun scheint dagegen zu schwach für die Erzeugung von Reflexionen an den oberen Sedimentbereichen zu sein.

Mit der Airgun wurde auf ca. 15 km langen Versuchsprofilen eine sehr gute Energieübertragung festgestellt. Für die oberen Sedimentbereiche konnten die Geschwindigkeiten aus den Laufzeitkurven (Refraktion) gewonnen werden. Reflexionseinsätze konnten jedoch bisher nicht mit genügender Genauigkeit identifiziert werden. Eine endgültige Beurteilung, ob Reflexionen erkannt werden können, kann erst nach Seismogrammtonagen erfolgen.

Eine zeitweilige Beeinträchtigung der Daten ergibt sich durch einen offensichtlich in diesem Gebiet befindlichen sehr starken akustischen Sender (U-Boot Ortung o.ä.). Dieser sendete im Abstand einiger Sekunden sekundenlange Signale großer Amplitude aus. Der Frequenzinhalt war der gleiche wie der des seismischen Nutzsignals. Einsätze, die zur gleichen Zeit mit dem Störsignal am Aufnehmer eintrafen, konnten nicht erkannt werden. Eine weitere Störung in der Nähe der OBS-Aufnehmer wurde vom Eigengeräusch der "Polarstern" verursacht.

Alle Laufzeitkurven enthalten für den Nahbereich, bis ca. 20 km, Äste mit einer Geschwindigkeit von 3,6 bis 4,5 km/s und für den ferneren Bereich, z.T. bis 80 km, einen Ast mit einer Geschwindigkeit von 5,9 bis 6,4 km/s. Eine höhere Geschwindigkeit (8 km/s) ließ sich auf dem Profil II ab 70 - 80 km und auf dem Profil IV ab 43 km vorerst als Scheingeschwindigkeit erkennen.

Die vorläufige Interpretation ergibt, daß die Grenzfläche zwischen dem Bereich mit niedrigen Geschwindigkeiten - bis 4,5 km/s - und dem Bereich mit der p-Wellengeschwindigkeit um 6 km/s (Basement) bei einer Durchschnittstiefe von 5,5 km liegt. eine Abschätzung der Tiefenlage der Grenzfläche "6 km/s" gegen "8 km/s" ergibt folgende Minimalwerte:

- für das Profil IV ca. 12 km
- für die Profile I und II 17 - 24 km

Aus vorläufigen Auswertungen ergibt sich, daß die Krustenmächtigkeit östlich des Jan-Mayen-Rückens unerwartet große Werte für die tiefere See aufweist. Endgültige Aussagen wird man jedoch erst nach einer detaillierteren Auswertung aller Daten und Profile unter Berücksichtigung der auf der Jan-Mayen-Insel gewonnenen Werte treffen können.

5.3.1.6 Arbeiten mit dem französischen Ozeanbodenseismographen; Airgun- und Watergunanregung (IFP, IPG, IFRE)

Untersuchungen haben ergeben, daß in der Tiefsee sowohl der natürliche als auch der durch die seismischen Anregungen (Schüsse) erzeugte Störpegel gewöhnlich keine Richtungseigenschaften hat. Beide füllen die Wassermasse gleichmäßig aus und erscheinen als isotroper Lärm. Das im allgemeinen sehr schmale Frequenzband der Refraktionsseismik und die Übereinstimmung der Frequenzspektren des Signals und des von Schüssen angeregten Störpegels tragen wesentlich dazu bei, daß die Anwendung verschiedener Auswerteverfahren die Daten nicht wesentlich verbessern können. Diese Fakten führten zu der Erkenntnis, daß dieser Störpegel schon bei der Registrierung am Meeresboden durch eine geeignete Anordnung der seismischen Sensoren zu unterdrücken sei.

Zu diesem Zweck wurde im "Institut Francais de Recherche et D'Exploitation de la Mer" (IFREMER) in Brest eine mehrkanalige seismische Registrierapparatur für den Einsatz auf dem Meeresboden (bis 6000 m Tiefe) entwickelt. Sie ist so ausgelegt, daß der Sektor der maximalen Empfindlichkeit auf ca. $\pm 30^\circ$ von der Vertikalen begrenzt ist (bei 10 Hz), was dem Grenzaustrittswinkel der von der Tiefe reflektierten und refraktierten Signale entspricht.

Das Instrument besteht aus

- einer von einem Mikroprozessor gesteuerten Elektronik (Lenhartz, PCM-5800) mit 16 Eingangskanälen, Magnetbändern und Batterien in einer Aluminium-Kugel,
- einer aus fünf Elementen zusammengesetzten Hydrophonkette mit einer Länge von ca. 450 m,
- dem akustischen Release-Transponder (Oceano RT 161-B) und
- dem Ankergewicht.

Der Auftrieb ist so bemessen, daß das Gerät auch bei mäßiger Wasserströmung noch fast vertikal auf dem Meeresboden steht.

Während dieser Fahrt des FS "Polarstern" wurden die ersten See-Versuche mit dem Instrument vorgenommen. Nach zwei Auslagen verbrachte das Gerät ca. 3 Tage auf dem Meeresboden in Tiefen von 1600 bis 1300 m bei Wassertemperaturen um 0°C. In diesen Einsätzen wurden die Berechnungen des Auftriebes, das Verhalten an der Meeresoberfläche, das Auslegen und das Einholen des Instruments geprüft. Das Aussetzen vom Achterdeck über das Heck der langen Geräte scheint bei jedem Wetter ohne den Einsatz der Schlauchboote möglich.

Die Elektronik, das Bandgerät und die Stromversorgung arbeiteten auch bei den vorhandenen tiefen Temperaturen einwandfrei. Die mechanischen Eigenschaften der Hydrophonkette zeigten weder Druck- noch Temperatur-Empfindlichkeit. Lediglich die Wechselwirkung zweier Stromkreise beeinträchtigte die Leistung der mit den Hydrophonen gekoppelten Vorverstärker und verursachte ein starkes Absinken des Signalpegels.

Dieser erste Einsatz des "Ocean Bottom Vertical Seismic Array" (OB-VSA) vom FS "Polarstern" wird wesentlich dazu beitragen, aus diesem Prototypen die endgültige, operative Version des Instruments zu entwickeln, das ab 1985 einsatzbereit sein sollte.

Die von IFREMER/Genavic zur Verfügung gestellte Wasserkanone (watergun) TWG und die 16-Liter-Bolt-Luftkanone (Airgun) funktionierten ohne jeglichen Zwischenfall einwandfrei. Die Aussetzvorrichtung des Schiffes für die Kanonen stellt eine gute Lösung dar.

Die Kompressorleistung an Bord ist ausreichend, um auch mit großvolumigen Airgun-Systemen, wie in der Refraktionsseismik z.B. von IFREMER verwendet, befriedigend zu operieren. Es wäre allerdings wünschenswert, dazu das vorhandene Luftspeichervolumen zu erhöhen.

Die Teilnahme der französischen Gruppe erfolgte auf Einladung des Alfred-Wegener-Instituts für Polarforschung aufgrund der seit 1977 bestehenden Kooperation zwischen der Universität Hamburg (IGH) und dem IFREMER.

5.3.2 Positionierung (IGH)

Die für die spätere Auswertung der seismischen Profile und der SEABEAM-Daten notwendigen genauen Positionen erforderten den Einsatz des Bordrechners. Da die direkte Übertragung der Satellitenfixe zur VAX noch nicht möglich war, mußten diese manuell eingetragen werden. Wegen der nördlichen Lage des Meßgebietes betrug der Satellitendurchgang 30 min. Dies führte zu einer Positionsgenauigkeit von 300 - 400 m.

Für die Bestimmung der Schußpunktkoordinaten war es erforderlich, mit Hilfe eines neuen Programmes die Datei abhängig vom Schußintervall zu reduzieren. Für die spätere Auswertung der SEABEAM-Daten sind die Original-Dateien abgespeichert werden.

5.3.3 SEABEAM, 3,5-kHz-Lot, CTD-Multisonde (IGH)

5.3.3.1 SEABEAM

Der Betrieb des SEABEAMs wie auch das 3,5-kHz-Lot diente auf den Profilen als Ergänzung zu den seismischen Untersuchungen. Außerdem wurde die geologische Kerustraverse Jan Mayen - Grönland (KZ JM-Groe) mit SEEBEAM und 3,5-kHz abgedeckt.

Während der Vermessungen traten keine technischen Störungen auf. Zwei Ausfälle auf dem geologischen Profil wurden von der INDAS-Anlage verursacht.

Der Betrieb des SEABEAM erfordert die ständige Anwesenheit eines Operateurs, der die Einstellung des Tiefenbereiches am Echo-Processor vornimmt, Stift- und Papierwechsel durchführt und auf ein fehlerhaftes Arbeiten des Systems achtet.

Als Kontrolle der Wassertiefe wurde der Tiefenschrieb des senkrechten Beams mit dem Tiefenschrieb der ELAC-NBS-Tochter verglichen.

5.3.3.2 3,5-kHz-Lot (Flachseismik)

Das 3,5-kHz-Lot lief parallel zur SEABEAM-Aufzeichnung während der Profilfahrt. Das gesamte System arbeitete ohne wesentliche Störungen, lediglich die durch die seismischen Sprengungen, Airgun, Watergrun und SEABEAM verursachten Signale erschienen auf dem Digital-Analog-Schrieb als schwache Querstreifen. Bei großen

Schwankungen der Topographie ist die Aufzeichnung aus technischen Gründen unbrauchbar. Außerdem führte starker Seegang zu größerer Unschärfe der Aufzeichnung. Durch langsame Fahrt ist eine erhebliche Qualitätssteigerung möglich.

Wegen des begrenzten Tiefenbereiches der Aufzeichnung ist eine ständige Überwachung des Systems durch einen Operateur notwendig.

5.3.3.3 CTD-Multisonde

Um die Geschwindigkeits-Tiefenfunktion (im Wasser) zu bestimmen, haben wir an ausgewählten Positionen eine CTD-Sonde eingesetzt. Sie erlaubt eine gleichzeitige Messung der elektrischen Leitfähigkeit, der Temperatur und des Druckes.

Aus diesen drei Werten wird die Wasserschallgeschwindigkeit berechnet, die u. a. auf dem Plotter als Funktion der Tiefe (Druck) ausgegeben wird.

Damit ein Aufsetzen der Sonde auf den Meeresboden verhindert wird, ist neben einer ständigen Tiefenkontrolle über das NBS-Echolot der Bodenmelder der Sonde mit 20 m Vorgabe eingesetzt worden. In der Regel wurde die Sonde aber 50 m über dem Meeresboden abgestoppt. Die Fiergeschwindigkeit betrug bis 300 m Wassertiefe 0,2 bis 0,4 m/s. Damit erreichten wir eine bessere Auflösung der Kurvenverläufe in den in diesem Bereich stark schwankenden Werten. Bei starkem Seegang hat sich außerdem die Verringerung der Meßperiode von 10 auf 5 s hierfür als vorteilhaft erwiesen. Nach Beruhigung der Meßkurven konnte mit 0,6 bis 0,8 m/s gefiert werden. Bei Erreichung der maximalen Sondentiefe haben wir die geographischen Koordinaten protokolliert. Der Druck-Offset schwankte zwischen 4,0 dbar vor dem Fieren und 6,7 dbar nach dem Hieven. Dieser Offset muß bei den Tiefen sowohl im Druckerprotokoll als auch bei der Plot-Tiefenskala berücksichtigt werden.

5.3.4 Benthos (GPI, IfMK)

5.3.4.1 "In-vivo"-Untersuchungen an Benthosforaminiferen

Die Lebensweise der meisten Tiefsee-Foraminiferen ist nicht genau bekannt. Dies gilt insbesondere für die großwüchsigen Arten, die hohe Anteile an der Gesamt-Biomasse erreichen. Besonders wichtig erscheinen Lebendbeobachtungen an Rupertia stabilis, die auf sehr grobem Sediment in Gemeinschaft mit Suspensionfressern lebt und mit Hilfe von agglutinierten Schwammnadeln eine Art Fangreuse baut, um Partikel aus dem schnell strömenden Bodenwasser zu filtern. Es gelang sofort, den auf einer kleinen Kuppe gelegenen

Biotop wiederzufinden. An den Oberflächenproben (Großkastengreifer) wurden verschiedene Kulturverfahren erprobt, von denen sich eine gekühlte Durchflußanlage als am günstigsten erwies, die mit Seewasser aus der sehr sauberen Bordleitung betrieben werden konnte (halb offenes System mit Eheim-Umwälzpumpe, Colora-Kühlanlage mit Thermostat). Während es gelang, die Rupertien mehrere Wochen aktiv zu halten, erwies sich die Direktbeobachtung im Sediment wegen zu starken Seegangs und ungeeigneter optischer Ausrüstung als unmöglich. Die Objekte mußten daher jeweils mit dem Substrat (Steine) in Beobachtungs-Gefäßen isoliert werden.

Aus der Fülle der Beobachtungen sollen hier nur wenige Ergebnisse mitgeteilt werden. Die Siedlungsdichte auf den Hartsubstraten ist stellenweise viel höher als angenommen (> 100 pro 10 cm^2). Alle beobachteten Rupertien leben und haben im Mündungsbereich die erwähnten Schwamnnadeln "agglutiniert", an denen Protoplasma in kleinen Klümpchen und Strängen sitzt. Die Substrate sind gleichfalls mit Bryozoen, Hydrozoen und Schwämmen besetzt, die wie die Rupertien ihre Nahrung aus dem vorbeiströmenden Wasser filtern. Um weiter in das Bodenwasser hineinzuragen, wird der jeweils höchste Punkt besiedelt, so auch Hydrozoenzweige. Auch an abgestorbenen Hydrozoenzweigen kann ein Protoplasmanetz ausgebrettet werden. Abgefallene Rupertien setzen sich mit der Mündungsfläche erneut fest und scheinen die frühere Anwuchssohle umzubauen und in eine neue Mündung zu verwandeln.

Weitere Beobachtungen wurden an den Großkastengreifer-Oberflächen der Kerentraverse vor Grönland gemacht. Es bestätigte sich die Beobachtung (Meteor-Reise 53), daß die sehr wichtige Benthos-Foraminifere Cibicidoides wuellerstorfi als Epifauna auf Steinen, Schwammskeletten u.a. Hartsubstraten lebt, dort jedoch in viel größeren Siedlungsdichten als bisher bekannt. Sie dürfte also nicht nur von den Eigenschaften des jeweiligen Wasserkörpers abhängig sein, sondern auch vom Vorhandensein solcher Substrate.

5.3.4.2 Ergänzung des Probennetzes am Nordrand des Vöring-Plateaus

Die hohen Siedlungsdichten am Vöring-Plateau wurden bei der Auswertung der vorjährigen "Polarstern"-Stationen mit stärkerer Nahrungszufluhr (Partikelflux) durch Auswaschung am Hang und durch einen Hangabwärts-Transport erklärt. Als Kontrolle wären also landferne, aber gleich tiefe Stationen erforderlich, die noch weitgehend fehlen. Trotz der anfangs sehr knappen Schiffszeit konnten hier drei weitere Großkastengreifer-Stationen gefahren werden, so daß die vorhandenen Proben-Profile sinnvoll ergänzt wurden. Weitere Proben sind aber auch in Zukunft erforderlich.

5.3.4.3 Untersuchungen des Makrobenthos

Bei den an Bord durchgeführten Untersuchungen und Aufsammlungen sollten besonders die Bioturbation und etwaige Mikro-Habitate berücksichtigt werden. Jeweils die Hälfte eines Großkastengreifers, das entspricht einer Oberfläche von $0,125 \text{ m}^2$, wurde für die biologischen Untersuchungen durch ein Sieb der Maschenweite 0,8 mm geschlämmt. Die Rückstände wurden in 4%igem Formalin konserviert. Der oberste Zentimeter des Sediments wurde jeweils gesondert abgetragen und konserviert.

An diesen Proben soll die Verbreitung der Makrofauna untersucht werden. Dabei kommt den Gattungen, die für die Bioturbationsvorgänge verantwortlich sind, besondere Bedeutung zu. Dazu zählen vor allem Polychaeten, Echinodermaten und Mollusken. Es ist zu klären, welche Bioturbatoren in diesen Tiefen eine Rolle spielen, ob ihre Aktivitäten im Sediment die kleinräumige Verteilung der Meiofauna beeinflussen und ob im Rahmen dieser Wühlstrukturen spezielle Mikrohabitare geschaffen werden.

An den Stationen, die tiefer als 2000 m liegen, tritt Makrobenthos nur sporadisch auf, die Polychaetenröhren waren leer oder mit Sediment verfüllt. Oberhalb 2000 m kam dagegen eine sehr vielfältige Makrofauna vor, die sich auf dem Vöring-Plateau aus Ophiurideen, Crustaceen und verschiedensten sedentären Polychaeten, vor allem Ampharetidae und Terebellidae zusammensetzt. An Mollusken wurden nur juvenile Exemplare in geringer Echinoidea und Ascidiacea auf. In einer Probe aus 500 m Tiefe war sehr dicht mit sedentären Polychaeten (Terebellidae, Maldanidea) besiedelt.

Die konservierten Bioturbatoren werden zu weiteren Untersuchungen in das Institut für Meereskunde (IfMK) gebracht. Die folgenden Auswertungen zur Siedlungsdichte des Makro- und Meiobenthos sollen mit den Ergebnissen der mikropaläontologischen Arbeiten (Siedlungsdichte der Foraminiferen) verglichen werden.

5.3.4.4 Kerntraverse Jan-Mayen-Rücken bis Grönland

Das Untersuchungsgebiet spielt für die Wasserzirkulation des Nordatlantiks eine bedeutende Rolle und kann damit auch Einfluß auf das Klima der nördlichen Hemisphäre nehmen. Die Norwegisch-Grönländische See ist in dieser Hinsicht nur wenig erforscht.

Auf einer Traverse zwischen dem Jan-Mayen-Rücken und dem grönländischen Schelf wurden sieben Schwerelot-Kerne gezogen, wobei auf jeder Station zur Rekonstruktion der in Schwereloten oft gestörten obersten Sedimentpartien zusätzlich Großkastengreifer eingesetzt wurden. Mikropaläontologische Untersuchungen sollen paläoozeanographische Daten liefern und mit Hilfe der stabilen Sauerstoff- und Kohlenstoff-Isotopen soll die Paläoklimatologie der Norwegisch-Grönländischen See so weit wie möglich rekonstruiert werden.

5.3.4.5 Sofortdatierungen mit Nannoplankton

Die Untersuchungen an Nanno- und Mikroplankton beruhen auf 114 Proben von ca. 6 cm³ und konzentrieren sich besonders auf das Profil des Großkastengreifers der Station 05/431.

In den 12 Proben von 0 cm bis 46,5 cm konnten Silicoflagellaten, Diatomeen und Radiolarien, Coccolithineen und Foraminiferen nachgewiesen werden. Die Coccolithineen sind fast durchgehend über das ganze Profil in großer Häufigkeit vertreten, wobei *Coccolithus pelagicus* dominiert (weitere Arten: *Cyclococcolithus* sp., *Gephyrocapsa* sp., *Reticulofenestra* sp.). In geringer Häufigkeit finden sich über dem Profil Diatomeen, sowohl centrische Arten (*Coscinodiscus lineatus*, *Cosinodiscus* sp., *Melosira* sp., *Rhizosolenia* sp., *Thalassiosira excentrica*, *Thalassiosira* sp.) als auch pennate (*Thalassionema* sp.). Silicoflagellaten und Radiolarien wurden nur in einer oberflächennahen Probe registriert (*Distephanus speculum*, *Lithomitra lineata*). Die in den Slides beobachteten Mikroforaminiferen konnten artlich nicht angesprochen werden.

Die Proben sind nach der Zusammensetzung der Coccolithineen-Assoziationen wahrscheinlich alle, die tiefste Probe unter Umständen ausgenommen, der spätpleistozänen bis rezenten *Emiliania huxleyi*-Zone, nach der Zusammensetzung der Diatomeen-Assoziationen der pleistozänen bis rezenten *Thalassiosira oestrupii*-Zone zuzuweisen.

Die eingehende Untersuchung aller nachgewiesenen Planktergruppen in den Großkastengreifer- und Schwerelotprofilen dürfte wichtige Daten zur Stratigraphie subpolarer – polarer Sedimentserien und zur Paläoklimatologie des Quartärs liefern.

5.3.5 Einsatz von Backengreifer, Großkastengreifer und Schwerelot (GPI)

Die Einsatzorte der meeresgeologischen Entnahmegeräte gehen aus den Stationslisten hervor. Ein Backengreifereinsatz wurde nur einmal auf einer Kurzstation vor Grönland gefahren: Der Großkastengreifer (GKG) arbeitet im allgemeinen problemlos. Es gab einen Fehleinsatz durch zu frühes Auslösen bei schwerer See. Ferner wurde die Anschlagbegrenzung mehrfach abgeschert, so daß auf Ersatzgeräte zurückgegriffen werden mußte.

Grundsätzlich wurden die Schwerelot-Einsätze von GKG-Einsätzen begleitet, um die obersten Schichten ungestört zu erhalten. Bei der Entnahme von Proben aus den Kästen mußte teilweise anders vorgegangen werden als auf dem Fahrtabschnitt 4, weil die Hälfte

des Inhaltes für die biologischen Untersuchungen durchgesiebt wurde, und außerdem trotz größerer Stationsdichte weniger Personal zur Verfügung stand. Stets wurden neben den Foraminiferen-Proben auch Isotopen-Proben und Sedimentologie-Proben entnommen. Falls die gewünschten Spritzen-proben und ^{14}C -Proben aus den genannten Gründen entfielen, wurde ein Ausgleich durch zusätzliche Rohrproben (Kunststoff-Liner) geschaffen. Bei der Probennahme und dem Durchsieben der GKG-Inhalte an Deck besteht der Mangel an einem festen, geschützten Arbeitsplatz, so daß Störungen durch Decksarbeiten und Wetter unvermeidlich sind.

Auch die Schwerelot-Einsätze waren erfolgreich, wobei die Erfahrung der Decksmannschaft und des Windenfahrers ausschlaggebend waren. Die Eindringtiefe ergab sich meist aus der großen Festigkeit der Sedimente in den tieferen Lagen, so besonders auf der Schelf-Station vor Grönland, wo nur 3,97 m Kernlänge erzielt werden konnte. Die übrigen Kernlängen betragen, von Ost nach West: 6,79 m; 7,67 m; 6,68 m; 6,17 m; 7,09 m und 8,75 m. Zweimal knickte bei schwerer See das Kernrohr bei etwa 4 m ab, doch konnten die Einsätze durch effiziente Zeitplanung erfolgreich wiederholt werden.

5.3.6 Wetterverlauf in der Zeit vom 28.08. bis 20.09.84 in den Gebieten Vöring-Plateau, Jan Mayen und Scoresby Sund (SWA)

Während dieses Abschnittes bestimmte rege Tiefdrucktätigkeit innerhalb der deutlich nach Süden vorgerückten Frontalzone das Wettergeschehen. Das Arbeitsgebiet war überwiegend nur vom nördlichen Randbereich betroffen.

In den ersten Tagen wurde eine kräftige Frontalzone aufgebaut. Sie verlief von Labrador, dann südlich des 60. Breitenkreises und weiter nach Südkandinavien. In ihr wurden Zyklonen rasch Richtung Norwegische See gesteuert, um anschließend in dem komplexen Tiefdrucksystem über Skandinavien/Barentssee zu münden.

Im Bereich des Vöring-Plateaus trat am 31.8. für mehrere Stunden ein Südwestwind mit Stärke Bft 8 auf. In den nun folgenden Tagen baute sich über Grönland ein Hoch auf. Zwischen ihm und dem o.a. Tiefdrucksystem floß mit einer frischen und sehr böigen (Böen bis Bft 10) nordwestlichen Strömung gutschichtige Polarluft über das Nordmeer. Ab 4.9. schwächte sich das Tiefdrucksystem über der Barentsee ab. Zwischen ihm und einer Neuentwicklung über der Labrador-See herrschte im Bereich von Jan Mayen, wo das Arbeitsgebiet jetzt lag, bei geringen Druckgegensätzen Absinken.

An dieser Stelle muß das brillante Wetter am 4.9. erwähnt werden, als Jan Mayen erreicht wurde. Bei strahlendem Sonnenschein bot der schneedeckte Vulkan Beerenberg (ca. 2700 m hoch) mit sich ständig veränderndem Altocumulus lenticularis ein unvergessliches

Bild. Das Labradortief zog dann zur Irminger See, wo sich Teiltiefs abspalteten, die Jan Mayen überquerten. Da die Frontalzone in der nachfolgenden Zeit nach Mitteleuropa gerichtet war, herrschten durchweg günstige Wind- und Wetterverhältnisse mit Windstärken bis maximal Bft'6.

Nach etwa 4 Tagen mit dieser nordwestlichen Strömung wurde Jan Mayen am 13.9. von einem kräftigen Wirbel erfaßt, der sich über dem mittleren Nordatlantik entwickelt hatte und nun nach Nordosten zog. Hier wurde das Tief durch ein sich verstärkendes Hoch über dem Polarmeer blockiert. Dadurch frischte der Wind aus Südost auf. Mit diesem System wurde die Zufuhr polarer Luftmassen unterbunden. Stattdessen setzte in der nun nach Norden vordringenden milden Atlantikluft rasch Nebelbildung ein. In kurzer Folge zogen kräftige Wirbel dicht südlich am Arbeitsgebiet vorbei. Dabei frischte der Wind bei Scoresby Sund am 15.9. stark auf, und es wurde eine hohe Dünung aufgebaut, die die geologischen Arbeiten zeitweilig erschwerte. Beim Ablauen nach Bremerhaven erfaßte am 18.9. der ehemalige Wirbelsturm "Diana", der sich über Island nochmals zu einem kräftigen Sturmtief entwickeln konnte, die Fahrtstrecke mit Südoststurm und Böen bis Bft 11.

→ No.	Stat. No.	Date 1984	Time (GMT) Start End		Position	Depth (m)	Gear and Remarks
109	06.06.	19:09	63°43.0'N	14°15.0'W	925	XBT	
110	06.06.	21:50	63°58.6'N	13°05.0'W	707	XBT	
111	07.06.	01:49	64°23.6'N	11°15.0'W	385	XBT	
112	07.06.	07:25	65°01.0'N	08°35.0'W	1976	XBT	
113	07.06.	09:19	65°12.6'N	07°45.0'W	1637	XBT	
114	07.06.	11:17	65°21.4'N	07°00.0'W	2183	XBT	
115	07.06.	13:49	65°37.5'N	05°50.0'W	3057	XBT	
116	07.06.	15:55	65°50.4'N	04°50.0'W	3746	XBT	
117	07.06.	18:01	66°03.0'N	03°50.0'W	2880	XBT	
118	07.06.	22:35	66°33.0'N	01°40.0'W	3380	XBT	
119	08.06.	04:28	67°07.6'N	01°15.0'E	3035	XBT	
120	08.06.	07:00	67°22.0'N	02°28.0'E	1400	XBT	
121	08.06.	11:05	67°45.5'N	04°24.0'E	1326	XBT	
122	08.06.	15:17	68°03.5'N	06°05.0'E	1756	XBT	
123	08.06.	18:35	68°19.4'N	07°15.0'E	1968	XBT	
124	08.06.	21:01	68°29.5'N	08°10.0'E	1940	XBT	
125	08.06.	04:54	69°02.9'N	11°10.0'E	1930	XBT	
126	08.06.	07:26	69°11.5'N	11°55.0'E	1663	XBT	
127	08.06.	12:01	69°34.0'N	14°00.0'E	2695	XBT	
128	08.06.	14:18	69°47.0'N	15°05.0'E	2343	XBT	
129	08.06.	18:04	70°05.3'N	17°00.0'E	664	XBT, Ende ARC II/1	
130	12.06.	23:30	70°42.3'N	19°00.7'E	257	XBT	
131	13.06.	01:30	71°03.0'N	18°15.0'E	198	XBT	
132	13.06.	02:40	71°15.0'N	17°45.5'E	251	XBT	
133	13.06.	05:30	71°45.3'N	16°28.4'E	362	XBT	
134	13.06.	07:37	72°08.0'N	15°22.0'E	895	XBT	
135	13.06.	10:35	72°42.0'N	14°06.0'E	1100	XBT	
136	13.06.	12:36	73°03.0'N	13°12.0'E		XBT	
137	13.06.	15:36	73°36.0'N	11°42.0'E		XBT	
138	13.06.	17:35	73°59.0'N	10°44.0'E	2346	XBT	
139	13.06.	19:35	74°21.9'N	09°41.5'E	2387	XBT	
140	13.06.	21:35	74°46.7'N	08°39.9'E	2930	XBT	
141	13.06.	23:33	75°08.8'N	07°41.0'E	2896	XBT	
142	14.06.	01:31	75°32.2'N	06°38.6'E	2231	XBT	
143	14.06.	03:34	75°58.3'N	05°31.7'E	2780	XBT	

Stat. No.	Date 1984	Time (GMT) Start End		Position		Depth (m)	Gear and Remarks
144	14.06.	05:35		76°22.7'N	04°25.4'E	3944	XBT
145	14.06.	08:11		76°53.3'N	02°54.1'E	3270	XBT
146	14.06.	10:21		77°19.6'N	01°35.3'E	3242	XBT
147	14.06.	12:36		77°47.5'N	00°18.0'E		XBT
148	14.06.	13:35		77°59.3'N	00°22.5'W		XBT
149	14.06.	14:33		78°07.7'N	01°08.2'W		XBT
150	14.06.	15:26		78°11.0'N	01°45.6'W		XBT
151	14.06.	15:55		78°13.1'N	02°09.1'W		XBT
152	14.06.	18:37		78°21.6'N	03°20.7'W		XBT
153	14./15. 06.	23:55-01:26 01:41-02:56		78°29.6'N	04°34.7'W	1004	MX-2-Verankerung
				78°29.2'N	04°33.3'W	1020	
				78°29.2'N	04°32.7'W	1040	CTD
				78°28.9'N	04°30.8'W	1084	
154	15.06.	07:15-08:43		78°45.1'N	04°53.3'W	1010	MX-1-Verankerung
				78°44.0'N	04°50.9'W	1002	
		08:35-09:55		78°44.0'N	04°51.1'W	1002	Bohrung/Messung auf einer Eisscholle
		09:02-09:49		78°43.9'N	04°49.9'W	1023	Rosi/CTD-Sonde
				78°43.7'N	04°49.7'W	1002	
155	15.06.	15:27-16:20 16:25-18:31		78°59.9'N	05°22.6'W	1054	Test der Hydrophone
				78°59.8'N	05°18.6'W	1075	Verankerung FS 1
				78°58.7'N	05°16.1'W	1113	
		16:25-17:47		78°59.8'N	05°18.6'W	1075	Lichtmessung
		18:49-19:44		78°58.8'N	05°16.0'W	1124	CTD/Rosi
				78°58.7'N	05°16.4'W	1115	
156	15.06.	21:10		78°56.6'N	04°46.7'W	1471	XBT
157	16.06.	02:18-04:39 04:50-06:06		79°00.6'N	04°24.3'W	1720	Verankerung FS 2
				79°00.3'N	04°25.7'W	1708	
				79°00.3'N	04°24.9'W	1720	CTD
				79°00.2'N	04°23.9'W	1733	
158	16.06.	09:27-11:31 10:10-11:26		78°56.0'N	03°15.9'W	2399	Verankerung FS-3
				78°54.8'N	03°17.9'W		
				78°55.6'N	03°16.2'W	2399	Lichtmessung
				78°54.8'N	03°17.8'W	2396	
		12:07-13:43		78°54.4'N	03°18.9'W	2393	CTD
				78°53.6'N	03°19.9'W	2393	

Stat. No.	Date 1984	Time (GMT)		Position		Depth (m)	Gear and Remarks
		Start	End				
158	16:06	13:52-14:12		78°53.6'N	03°19.9'W	2393	Vertikal-Bongo-Netz-Test
				78°53.4'N	03°20.1'W	2390	
159	16.06.	18:45		79°15.4'N	04°13.0'W		XBT
160	16.06.	19:24		79°17.5'N	04°30.0'W		XBT
161	16.06.	20:42		79°17.0'N	04°54.0'W		XBT
162	16./17.	22:40-01:50		79°21.2'N	05°07.8'W	1236	Aufnehmen Verankerung EG-5, XBT
	06.			79°20.3'N	05°13.3'W	1236	
163	17.06.	04:00-07:00		79°19.1'N	04°26.0'W	1740	Suche nach Verankerung EG-6
				79°19.4'N	04°27.1'W	1814	
164	17.06.	10:20-11:38		79°17.4'N	03°31.5'W	2196	RAMSES, Eisbohrung auf einer Eisscholle,
				79°17.5'N	03°34.4'W	2191	Bathysonde
		10:57-12:36		79°17.4'N	03°31.7'W	2194	CTD/Rosi
				79°15.8'N	03°32.0'W	2183	
		11:04-11:55		79°17.4'N	03°32.2'W	2194	Wave-Rider-Buoy
				79°16.0'N	03°31.4'W	2188	
165	17.06.	16:28		79°01.7'N	01°42.7'W		XBT
166	17.06.	16:41		79°00.0'N	01°38.0'W		XBT
167	17.06.	18:43		78°57.5'N	00°07.8'W		XBT
168	17.06.	20:45		78°57.4'N	01°32.0'E		XBT
169	17.06.	23:23		79°09.5'N	03°37.0'E		XBT
170	17.06.						XBT
171	18.06.	08:20-09:33		80°07.0'N	04°26.6'E	1247	Bergung Drifterboje, Current-Meter, Eisbohrungen
				80°06.8'N	04°29.1'E	1258	auf Eisscholle
172	18.06.	11:40-12:45		80°04.2'N	04°36.8'E	1226	Bergung Drifterboje, Current-Meter, Eisbohrungen
				80°04.0'N	04°34.7'E	1325	auf Eisscholle
173	18.06.	14:01		79°55.4'N	04°14.5'E		XBT
174	18.06.	14:20-15:02		79°53.0'N	04°10.5'E	2200	CTD 200 m
				79°53.0'N	04°09.5'E	2212	
		14:30-16:44		79°53.0'N	04°10.3'E		Hydrophon
				79°53.3'N	04°09.9'E	2199	
		15:18-15:48		79°53.0'N	04°09.4'E		Mini-Vertikalnetz
				79°53.3'N	04°09.0'E	2242	
		15:57-17:46		79°53.3'N	04°08.8'E	2263	CTD Bottom
				79°53.2'N	04°09.1'E	2214	
		17:56-18:06		79°53.1'N	04°08.7'E	2218	Bongo
				79°53.1'N	04°08.4'E	2227	

Stat. No.	Date 1984	Time (GMT)		Position		Depth (m)	Gear and Remarks
		Start	End				
174	18.06	18:27-18:44		79°53.0'N	04°07.9'E	2318	CTD/Rosi
		19:12-19:32		79°53.0'N	04°07.8'E	2300	
175	18.06.	20:14-20:54		79°53.1'N	04°07.7'E	2290	CTD/Rosi
		79°53.3'N		04°08.8'E		2284	
176	18.06.	21:20-22:14		79°57.3'N	03°54.2'E	2054	CTD/Rosi
		79°57.4'N		03°54.8'E		2033	
177	18.06.	22:56-23:39		79°59.4'N	03°47.5'E	2138	CTD/Rosi
		79°59.4'N		03°47.7'E		2033	
178	19.06.	00:22-01:18		80°01.4'N	03°38.4'E	2242	CTD/Rosi
		80°01.2'N		03°40.6'E		2234	
179	19.06.	01:09-01:22		80°03.6'N	03°34.5'E	2097	CTD 200 m
		80°03.4'N		03°34.3'E		2094	
		80°03.4'N		03°34.3'E		2093	Bio-Rosi 61 m
		01:40-01:57		80°03.6'N	03°34.0'E	2098	Bio-Rosi 27 m
		80°03.6'N		03°34.0'E		2099	
		02:12-02:23		80°03.6'N	03°34.5'E	2090	Bio-Rosi 100 m
		80°03.6'N		03°34.8'E		2087	
		02:44-03:20		80°03.4'N	03°35.3'E	2088	VN 500 m
		80°03.3'N		03°35.2'E		2090	
		03:25-04:52		80°03.3'N	03°35.2'E	2092	CTD Bottom
180	19.06.	80°03.4'N		03°35.2'E		2136	
		05:10-05:23		80°03.8'N	03°39.2'E	1999	Bongo
		80°04.0'N		03°40.7'E		1940	
		80°05.7'N		03°21.9'E		2208	CTD
		80°05.3'N		03°20.5'E		2259	
		08:06-08:45		80°08.1'N	03°15.0'E	1982	CTD/Rosi
		80°08.2'N		03°11.8'E		1983	
		08:30-11:00		80°07.6'N	03°11.6'E	1998	RAMSES, Bohrungen auf Eisscholle Hydrophon
		09:14-11:08		80°08.1'N	03°13.9'E	1986	
181	19.06.	80°07.5'N		03°11.4'E		2007	
		13:09-13:43		80°09.8'N	03°18.4'E	1867	CTD 500 m
		80°09.7'N		03°05.1'E		1901	
182	19.06.	80°14.4'N		02°48.8'E		1449	VN 500 m
		80°14.7'N		02°45.7'E		1465	

134	Stat. No.	Date 1984	Time (GMT)		Position		Depth (m)	Gear and Remarks
			Start	End				
182	19.06.	15:53-16:19	80°14.7'N	02°45.6'E	1465	CTD 400 m		
			80°14.6'N	02°43.8'E	1478	Bio-Rosi bis 61 m		
			80°14.6'N	02°43.8'E	1485			
			80°14.5'N	02°42.3'E	1491	CTD Bottom		
			80°14.5'N	02°41.1'E	1509			
			80°14.5'N	02°38.3'E	1492	Bio-Rosi 40 m		
			80°14.5'N	02°40.9'E	1496			
			80°14.5'N	02°40.5'E	1505	Bio-Rosi 200 m		
			80°14.5'N	02°39.6'E	1508			
			80°14.4'N	02°38.7'E	1509	BO		
			80°14.2'N	02°38.5'E	1519			
183	19.06.	18:09-18:20	80°14.2'N	02°38.0'E	1520	BO		
			80°14.2'N	02°37.6'E	1528			
			80°19.4'N	03°40.8'E	1123	CTD bis 500 m		
184	20.06.	21:52-22:38	80°19.3'N	03°39.2'E	1128			
			80°26.5'N	04°33.7'E	763	CTD Bottom		
			80°26.5'N	04°33.9'E	766			
			80°27.5'N	04°40.2'E	751	Auslegen "Bergen Boje" und Current-Meter		
185	20.06.	00:53-01:41	80°27.3'N	04°36.2'E				
			80°17.9'N	04°57.9'E	778	CTD Bottom		
			80°17.8'N	04°57.3'E	775			
			80°17.8'N	04°56.2'E	776	Bio-Rosi 100 m		
			80°17.7'N	04°55.5'E	775			
			80°17.7'N	04°55.3'E	775	CTD Bottom		
			80°18.0'N	05°03.4'E	775			
			80°17.7'N	04°54.6'E	776	Bio-Rosi 30 m		
			80°18.0'N	05°03.0'E	775			
			80°18.0'N	05°03.4'E	774	VN 500 m		
			80°18.0'N	05°03.3'E	769			
			80°18.0'N	05°03.0'E	770	BO		
186	20.06.	09:17-10:36	80°18.0'N	05°01.7'E	776			
			80°16.2'N	05°03.8'E	801	Ausbringen Ice Drifter no. 2 und Current-Meter		
			80°15.5'N	05°59.7'E	882			
			80°12.1'N	05°21.3'E	801	CTD Bottom		
			80°12.0'N	05°20.5'E	803			

Stat. No.	Date 1984	Time (GMT) Start End	Position		Depth (m)	Gear and Remarks
187	20.06.	12:48-13:30	80°10.0'N	05°29.9'E	816	CTD 500 m
			80°08.9'N	05°28.3'E	822	
188	20.06.	13:57-14:33	80°07.8'N	05°37.4'E	835	VN 500 m
		14:05-16:16	80°07.7'N	05°36.3'E	836	
			80°07.8'N	05°37.4'E	835	Hydrophon
			80°07.5'N	05°32.9'E	862	
		14:29-14:51	80°07.7'N	05°36.4'E	835	CTD
			80°07.6'N	05°35.7'E	838	
		14:57-15:11	80°07.7'N	05°35.5'E	837	Bio-Rosi 20 m
			80°07.6'N	05°35.0'E	844	
		14:55-15:33	80°07.6'N	05°35.6'E	838	Wave-Rider
			80°07.6'N	05°34.0'E	847	
		15:23-16:06	80°07.6'N	05°34.5'E	844	CTD
			80°07.6'N	05°33.3'E	857	
		15:47-16:13	80°07.7'N	05°33.6'E	853	Bio-Rosi 200 m
			80°07.5'N	05°33.0'E	862	
		16:20-16:30	80°07.6'N	05°33.0'E	857	BO 100 m
			80°07.7'N	05°33.6'E		
189	20.06.	17:02-17:28	80°05.7'N	05°45.4'E	836	CTD 500 m
			80°05.6'N	05°44.4'E	842	
190	20.06.	19:08-19:38	79°55.2'N	06°23.9'E	883	Bio-Rosi 250 m
			79°54.9'N	06°23.3'E	887	
		19:15-21:25	79°54.8'N	06°23.6'E	883	Hydrophon 750 m
			79°54.7'N	06°23.3'E	890	
		19:43-19:52	79°54.4'N	06°23.3'E	890	Große CTD/Rosi, Großer Wasserschöpfer
			79°54.3'N	06°23.2'E	890	
		20:07-20:33	79°54.3'N	06°23.2'E	886	Großer Wasserschöpfer
			79°54.7'N	06°23.2'E	888	
		20:46-21:39	79°54.7'N	06°23.3'E	888	CTD/Rosi
			79°54.7'N	06°23.1'E	892	
		21:48-22:21	79°54.7'N	06°22.9'E	891	(VN)/MU
			79°54.6'N	06°22.1'E	895	
		22:28-22:38	79°54.7'N	06°22.1'E	895	BO
			79°54.8'N	06°22.1'E	892	

136	Stat. No.	Date 1984	Time (GMT) Start End	Position		Depth (m)	Gear and Remarks
	191	20./21. 06.	24:00-00:44	80°05.8'N	06°47.1'E	623	CTD
				80°05.7'N	06°46.5'E	629	
	192	21.06.	02:06-02:41	80°16.2'N	07°09.5'E	592	CTD
				80°16.9'N	07°09.1'E	595	
	193	21.06.	03:09-03:38	80°18.7'N	07°01.7'E	597	CTD
				80°18.9'N	07°01.7'E	597	
	194	21.06.	04:06-04:38	80°21.3'N	06°53.2'E	602	CTD
				80°21.5'N	06°53.0'E	601	
	195	21.06.	05:39-06:14	80°25.7'N	06°39.5'E	613	CTD
				80°23.8'N	06°41.6'E	609	
	196	21.06.	07:59-08:50	80°30.1'N	06°23.0'E	657	CTD
				80°30.2'N	06°21.3'E	664	
	197	21.06.	11:32-12:11	80°33.2'N	06°07.4'E	668	CTD Bottom
				80°32.1'N	06°03.4'E	657	
	198	21.06.	15:02-15:41	80°31.4'N	06°56.0'E	687	CTD 600 m
				80°32.3'N	06°53.2'E	686	
			15:14-17:23	80°31.8'N	06°55.0'E	685	Hydrophon
				80°30.5'N	06°47.4'E	675	
			15:23-15:54	80°32.0'N	06°54.5'E	685	VN 500 m
				80°32.5'N	06°52.3'E	681	
			16:26-17:02	80°31.2'N	06°49.0'E	679	Bio-Rosi 78 m
				80°30.8'N	06°48.6'E	678	
			16:05-17:49	80°32.5'N	06°52.3'E	681	RAMSES
				80°30.5'N	06°47.6'E	675	
			16:42-16:55	80°30.9'N	06°48.9'E	678	Bongo 150 m
				80°30.8'N	06°48.6'E	678	
			17:28-17:42	80°30.5'N	06°47.1'E	675	Bio-Rosi 100 m
				80°30.6'N	06°47.6'E	674	
	199	21.06.	19:52-20:41	80°23.6'N	07°22.3'E	673	CTD
				80°23.6'N	07°20.5'E	668	
	200	21.06.	21:44-22:26	80°19.2'N	07°37.8'E	658	CTD
				80°19.7'N	07°39.9'E	657	
	201	21.06.	23:06-23:27	80°16.5'N	07°45.4'E	633	Bio-Rosi (Großer Wasserschöpfer)
				80°16.4'N	07°45.1'E	634	
			23:41-23:50	80°16.9'N	07°46.1'E	637	Bio-Rosi Nr. 2 (Großer Wasserschöpfer)
				80°16.9'N	07°46.2'E	633	

Stat. No.	Date 1984	Time (GMT) Start End	Position		Depth (m)	Gear and Remarks
201	21.06.	23:41-01:18	80°16.9'N	07°46.1'E	637	Hydrophon
			80°17.3'N	07°45.6'E	637	
	21./22. 06.	23:55-00:42	80°16.9'N	07°46.3'E	632	CTD
			80°17.1'N	07°45.6'E	633	
	22.06.	00:35-01:11	80°17.1'N	07°45.5'E	633	VN 500 m
			80°17.3'N	07°45.6'E	634	
		01:05-01:08	80°17.2'N	07°45.7'E	633	Plankton-Netz
		01:25-01:36	80°17.3'N	07°45.5'E	635	Bongo
			80°17.2'N	07°45.2'E	632	
202	22.06.	02:22-02:59	80°12.1'N	07°58.6'E	575	CTD
			80°12.0'N	08°00.6'E	579	
		03:08-03:20	80°11.9'N	08°00.8'E	574	Bongo 270 m
			80°11.7'N	08°00.6'E	572	
203	22.06.	04:22-04_54	80°03.1'N	08°28.2'E	500	CTD
			80°02.8'N	08°31.3'E	499	
		04:33-05:04	80°03.0'N	08°29.9'E	499	VN
			80°03.1'N	08°25.3'E	498	
		05:13-05:21	80°03.1'N	08°25.4'E	499	Bio-Rosi 33 m
			80°03.1'N	08°25.5'E	500	
		05:49-06:10	80°03.0'N	08°25.8'E	500	Bio-Rosi 200m
			80°03.0'N	08°25.9'E	499	
		06:15-06:27	80°03.0'N	08°25.9'E	499	Bongo 150 m
			80°03.0'N	08°25.3'E	499	
204	22.06.	12:55-13:05	80°14.5'N	03°13.3'E	1378	Bongo 150 m
			80°14.4'N	03°13.4'E	1378	
205	22.06.	19:24-20:11	80°14.5'N	03°00.5'E	1412	CTD 500 m
			80°11.3'N	03°00.2'E	1419	
206	22.06.	20:11-20:20	80°11.3'N	03°00.0'E	1419	Hydrophon
			80°14.3'N	03°00.2'E	1419	
207	22.06.	20:41-21:45	80°14.2'N	03°00.1'E	1425	CTD
			80°14.4'N	03°00.0'E	1441	
208	22.06.	22:02-22:10	80°14.0'N	02°59.2'E	1443	BO
			80°14.0'N	02°59.1'E	1453	
209	22.06.	22:20-23:50	80°14.0'N	02°59.1'E	1447	RAMSES
			80°13.7'N	02°57.9'E	1477	

ω ₈	Stat. No.	Date 1984	Time (GMT)		Position		Depth (m)	Gear and Remarks
			Start	End				
	210	22./23. 06.	23:58-00:04		80°13.6'N	02°57.9'E	1482	BO
					80°13.6'N	02°58.0'E	1482	
	211	23.06.	04:04-04:10		80°13.2'N	02°57.1'E	1537	BO
					80°13.1'N	02°57.1'E	1540	
	212	23.06.	06:00-08:00		80°12.6'N	02°57.1'E	1562	RAMSES
					80°12.4'N	02°56.1'E	1570	
	213	23.06.	08:00-10:07		80°12.4'N	02°56.1'E	1570	Hydrophon
					80°11.9'N	02°55.9'E	1654	
	214	23.06.	10:22-10:33		80°12.0'N	02°56.1'E	1642	Bio-Rosi/Großer Wasserschöpfer
					80°12.0'N	02°55.7'E	1643	
	215	23.06.	10:26-10:33		80°12.0'N	02°54.6'E	1645	BO
					80°12.0'N	02°55.7'E	1643	
	216	23.06.	10:50-11:47		80°11.8'N	02°54.7'E	1652	RAMSES
					80°11.5'N	02°54.4'E	1668	
	217	23.06.	11:18-11:28		80°11.6'N	02°53.7'E	1658	Hydroplanktonnetz
					80°11.6'N	02°53.3'E	1660	
	218	23.06.	13:59-14:06		80°10.5'N	02°43.6'E	1785	BO
					80°10.5'N	02°43.5'E	1784	
	219	23.06.	16:00-17:34		80°09.4'N	02°31.9'E	1910	Hydrophon
					80°09.0'N	02°26.2'E	1980	
	220	23.06.	19:20-20:00		80°08.6'N	02°19.1'E	2112	RAMSES
					80°08.4'N	02°17.3'E	2129	
	221	24.06.	00:11-00:46		80°08.9'N	02°10.4'E	2104	VN 500 m
					80°09.0'N	02°10.8'E	2097	
	222	24.06.	04:10-04:25		80°09.3'N	02°07.5'E	2048	VN 200 m
					80°09.2'N	02°07.0'E	2039	
	223	24.06.	08:09-08:28		80°09.8'N	02°02.9'E	2006	VN/MU
					80°09.8'N	02°02.9'E	2001	
			08:32-09:09		80°09.8'N	02°02.7'E	2000	CTD
					80°10.3'N	01°59.6'E	2007	
			08:32-10:10		80°09.8'N	02°02.7'E	2000	Hydrophon
					80°10.8'N	01°57.8'E	2016	
			08:36-09:08		80°09.9'N	02°02.7'E	2004	Wave-Rider-Buoy
					80°10.3'N	01°59.6'E	2007	
			09:52-11:18		80°10.5'N	01°57.5'E	2014	CTD
					80°11.0'N	01°55.6'E	2013	

Stat. No.	Date 1984	Time (GMT) Start End	Position		Depth (m)	Gear and Remarks
223	24.06.	10:01-10:12	80°10.7'N	01°57.9'E	2015	Bio-Rosi
		10:25-10:43	80°10.8'N	01°57.8'E	2016	
		11:26-11:36	80°10.9'N	01°57.6'E	2017	Bio-Rosi
			80°10.8'N	01°56.5'E	2016	
		12:00-12:30	80°11.0'N	01°55.6'E	2011	BO/VN
			80°11.1'N	01°55.4'E	2014	
		13:04-13:35	80°11.1'N	01°55.9'E	2007	CTD
			80°11.3'N	01°55.0'E	2008	
		14:00-14:31	80°11.4'N	01°55.0'E	2009	CTD 500 m
			80°11.5'N	01°54.2'E	2012	
		15:00-15:31	80°11.4'N	01°53.6'E	2017	CTD 500 m
			80°11.4'N	01°42.9'E	2025	
		16:00-16:30	80°11.3'N	01°52.1'E	2035	CTD 500 m
			80°11.3'N	01°52.4'E	2050	
		16:32-16:48	80°11.3'N	01°52.0'E	2064	CTD
			80°11.2'N	01°51.5'E	2082	
		16:51-17:22	80°11.2'N	01°51.5'E	2084	VN 200 m
			80°11.2'N	01°51.2'E	2093	
		17:24-17:34	80°11.2'N	01°51.0'E	2096	CTD 500 m
			80°11.0'N	01°48.6'E	2125	
		17:40-19:08	80°11.0'N	01°48.5'E	2127	Bio-Rosi
			80°11.0'N	01°48.0'E	2138	
		18:00-18:30	80°10.9'N	01°47.5'E	2143	Hydrophon
			80°10.6'N	01°45.1'E	2234	
		19:00-19:30	80°10.8'N	01°46.3'E	2163	CTD/RO 500 m
			80°10.7'N	01°44.6'E	2193	
		20:00-20:30	80°10.6'N	01°44.3'E	2226	CTD/RO 500 m
			80°10.5'N	01°42.6'E	2259	
		20:08-20:32	80°10.4'N	01°40.4'E	2295	CTD/RO
			80°10.3'N	01°38.5'E	2331	
		20:06-20:41	80°10.3'N	01°39.9'E	2302	MU/VN
			80°10.3'N	01°39.1'E	2322	
		21:58-22:25	80°10.4'N	01°39.0'E	2390	CTD/RO
			80°10.4'N	01°37.3'E	2433	
			80°10.4'N	01°36.5'E	2460	CTD/RO
			80°10.5'N	01°35.5'E	2490	

↓ O	Stat. No.	Date 1984	Time (GMT)		Position		Depth (m)	Gear and Remarks
			Start	End				
223	24.06.	22:59-23:29	80°10.6'N	01°34.4'E	2516	CTD/RO		
			80°10.7'N	01°33.7'E	2536			
	25.06.	00:00-00:31	80°10.9'N	01°33.0'E	2556	CTD		
			80°10.9'N	01°32.4'E	2582			
	00:38-00:55		80°10.9'N	01°32.0'E	2588	VN 200 m		
			80°10.9'N	01°31.6'E	2612			
	01:00-01:31		80°10.9'N	01°31.6'E	2609	CTD		
			80°11.0'N	01°31.1'E	2629			
	01:35-01:51		80°11.0'N	01°31.0'E	2631	VN 200 m (Wiederholung)		
			80°11.0'N	01°30.7'E	2638			
	01:55-02:25		80°11.0'N	01°30.7'E	2638	CTD		
			80°11.2'N	01°31.2'E	2649			
	02:57-03:26		80°11.3'N	01°31.0'E	2658	CTD		
			80°11.4'N	01°30.9'E	2669			
	03:53-04:23		80°11.4'N	01°30.5'E	2681	CTD/RO 500 m		
			80°11.4'N	01°30.0'E	2690			
	04:26-04:42		80°11.4'N	01°29.9'E	2699	VN 200 m		
			80°11.4'N	01°29.6'E	2707			
	05:00-05:30		80°11.1'N	01°29.1'E	2756	CTD/RO 500 m		
			80°11.5'N	01°28.8'E	2763			
	05:57-06:36		80°11.6'N	01°28.5'E	2767	CTD/RO 500 m		
			80°11.6'N	01°28.0'E	2795			
	07:00-07:31		80°11.7'N	01°27.9'E	2804	CTD/RO 500 m		
			80°11.8'N	01°27.7'E	2819			
	07:59-08:31		80°11.8'N	01°27.8'E	2823	CTD/RO 500 m		
			80°11.9'N	01°27.8'E	2824			
	08:00-09:40		80°11.9'N	01°27.8'E	2823	Hydrophon		
			80°12.6'N	01°27.6'E	2743			
	08:37-08:50		80°11.9'N	01°27.9'E	2824	MU/VN		
			80°11.9'N	01°27.9'E	2788			
	08:58-09:29		80°12.0'N	01°27.9'E	2777	CTD/RO		
			80°12.5'N	01°27.2'E	2756			
	08:33-09:50		80°12.6'N	01°27.6'E	2752	Bio-Rosi		
			80°12.7'N	01°27.8'E	2740			
	09:58-10:29		80°12.7'N	01°28.1'E	2721	CTD/RO		
			80°12.7'N	01°28.9'E	2666			

Stat. No.	Date 1984	Time (GMT) Start End	Position		Depth (m)	Gear and Remarks	
223	25.06.	10:33-10:46	80°12.7'N	01°29.0'E	2697	BO	
		10:59-11:30	80°12.8'N	01°29.4'E	2661		
		11:57-12:38	80°12.8'N	01°29.8'E	2625	CTD/RO	
			80°13.1'N	01°29.4'E	2570		
		12:31-12:46	80°13.3'N	01°29.9'E	2524	CTD/RO	
			80°13.4'N	01°30.3'E	2492		
		19:00-19:46	80°13.5'N	01°30.4'E	2491	VN 200 m	
			80°13.5'N	01°31.1'E	2437		
			80°10.7'N	01°58.6'E	2053	Bergen Ice Drifter, Current-Meter	
			80°10.8'N	01°59.6'E	2065		
224	25.06.	21:19-22:25	80°04.3'N	02°17.4'E	2646	CTD/RO	
			80°05.6'N	02°13.5'E	2647		
		22:00-23:13	80°04.8'N	02°16.0'E	2646	Hydrophon	
			80°05.5'N	02°13.3'E	2648		
		22:30-22:40	80°05.7'N	02°13.2'E	2647	BO	
			80°05.5'N	02°13.5'E	2649		
		22:43-23:01	80°05.5'N	02°13.5'E	2649	Bio-Rosi	
			80°05.5'N	02°13.4'E	2648		
		23:06-01:07	80°05.5'N	02°13.3'E	2648	CTD Bottom/RO	
			80°05.9'N	02°13.8'E	2647		
		23:18-23:35	80°05.5'N	02°13.3'E	2648	Bio-Rosi 35 m	
			80°05.2'N	02°15.1'E	2647		
		26.06.	00:08-00:20	80°05.5'N	02°15.1'E	2647	Bio-Rosi 41 m
			80°05.6'N	02°15.1'E	2647		
225	26.06.	00:28-01:01	80°05.6'N	02°14.1'N	2648	VN 500 m	
			80°05.9'N	02°13.8'E	2646		
		01:53-02:26	80°06.0'N	01°45.2'E	2786	CTD 500 m	
			80°06.0'N	01°46.0'E	2783		
		01:57-02:32	80°06.0'N	01°45.2'E	2786	VN 500 m	
			80°06.0'N	01°46.3'E			
		02:34-02:46	80°06.0'N	01°46.5'E	2781	BO 150 m	
			80°05.8'N	01°46.5'E	2775		
14 1	26.06.	02:47-03:03	80°05.8'N	01°46.8'E	2775	Bio-Rosi 200 m	
			80°05.9'N	01°47.4'E	2776		
		03:15-03:26	80°05.8'N	01°47.9'E	2771	Bio-Rosi 37 m	
			80°05.8'N	01°48.3'E	2769		

142	Stat. No.	Date 1984	Time (GMT)		Position		Depth (m)	Gear and Remarks
			Start	End				
226	26.06.	06:17-07:21	80°19.9'N	01°58.3'E	2131	CTD 1600 m		
			80°20.2'N	02°00.4'E	2134			
			06:33-07:56	80°19.5'N	01°57.3'E	2134	Hydrophone	
				80°20.0'N	02°01.4'E	2104		
			07:24-07:37	80°20.1'N	02°08.0'E	2120	Bongo	
				80°20.0'N	02°01.0'E	2113		
			07:40-08:03	80°20.0'N	02°01.0'E	2113	Bio-Rosi 200 m	
				80°20.0'N	02°01.3'E	2109		
			08:10-09:47	80°19.8'N	02°01.1'E	2095	CTD/RO	
				80°19.8'N	02°02.8'E	2095		
			09:08-09:18	80°19.8'N	02°02.1'E	2086	Bio-Rosi	
				80°19.8'N	02°02.2'E	2086		
227	26.06.	09:50-10:20	80°19.8'N	02°03.0'E	2091	MU/VN		
				80°20.0'N	02°02.8'E	2093		
			13:00-14:45	80°19.6'N	00°53.5'E	2678	CTD Bottom	
				80°20.0'N	01°06.9'E	2694		
228	26.06.	15:17-16:00	80°19.7'N	00°59.9'E	2679	Hydrophon 750 m		
				80°20.0'N	01°06.5'E	2685		
			19:00-20:42	80°20.0'N	01°08.1'E	2686	CTD 1000 m	
				80°19.9'N	01°10.8'E	2684		
229	27.06.	21:03-21:54	80°20.3'N	00°02.2'W	2447	CTD		
				80°20.4'N	00°02.3'W	2449		
			19:06-20:27	80°20.3'N	00°02.2'W	2448	Hydrophon	
				80°20.4'N	00°02.3'W	2450		
			19:06-21:00	80°20.3'N	00°02.2'W	2447		
				80°20.4'N	00°02.4'W	2449	RAMSES, Schneeproben, Ausbringen Argos-Boje	
			21:03-21:54	80°20.4'N	00°02.4'W	2449	CTD/RO	
				80°19.1'N	00°02.9'W	2464		
229	27.06.	00:58-01:37	80°19.5'N	01°02.2'W	3568	CTD 750 m		
				80°18.7'N	01°08.3'W	3586		
			01:10-01:41	80°19.3'N	01°03.9'W	3593	VN 500 m	
				80°18.7'N	01°08.9'W	3593		
			01:44-01:55	80°18.6'N	01°09.5'W	3586	BO 150 m	
				80°20.1'N	01°00.1'W	3587		
		01:53-02:14	80°20.1'N	01°01.1'W	3587	Bio-Rosi		
				80°19.3'N	00°59.6'W	3587		

Stat. No.	Date 1984	Time (GMT) Start End	Position		Depth (m)	Gear and Remarks
229	27.06.	01:58-02:06	80°20.2'N	01°00.3'W	3587	BO 100 m
		02:20-04_42	80°20.2'N	01°00.4'W	3602	
		02:47-03:00	80°19.0'N	00°58.1'W	3602	CTD Bottom
		03:18-04:18	80°19.4'N	00°53.7'W	3336	
		03:18-04:18	80°19.1'N	00°56.1'W	3477	Bio-Rosi 75 m
		03:18-04:18	80°19.0'N	00°55.1'W	3490	
		03:18-04:18	80°18.8'N	00°53.5'W		Lichtmessung
		03:18-04:18	80°19.9'N	00°51.6'W	3352	
		08:24-09:13	80°21.9'N	01°27.8'W	3685	CTD/RO
		08:24-10:50	80°22.4'N	01°26.7'W	3624	
230	27.06.	08:36-10:03	80°21.9'N	01°27.8'W	3685	RAMSES, Auslegen Argos-Boje, Schnee- und Eis-
		09:44-12:11	80°20.4'N	01°33.4'W	3585	proben, Eisbohrungen
		09:44-12:11	80°22.2'N	01°26.8'W	3682	Hydrophon
		09:44-12:11	80°20.9'N	01°32.8'W	3601	
		09:44-12:11	80°21.0'N	01°32.2'W	3602	CTD/RO
		09:44-12:11	80°20.8'N	01°32.2'W	3542	
		16:00-18:32	80°21.6'N	02°32.3'W	3503	CTD Bottom
		16:04-17:27	80°19.1'N	02°45.6'W	3417	
		16:26-17:07	80°21.6'N	02°32.3'W	3500	Hydrophon 750
		16:53-20:00	80°19.9'N	02°47.5'W	3455	
231	27.06.	16:53-20:00	80°20.9'N	02°42.1'W	3504	Lichtmessung
		16:53-20:00	80°20.2'N	02°45.7'W	3476	
		16:53-20:00	80°20.7'N	02°46.3'W	3487	RAMSES, Schneeproben, Eisbohrungen
		18:18-18:30	80°18.6'N	02°42.6'W	3326	
		18:18-18:30	80°19.3'N	02°45.5'W	3426	MK
		20:01-21:02	80°19.2'N	02°45.6'W	3414	
		20:01-21:02	80°18.5'N	02°42.5'W	3318	CTD/RO
		20:01-21:02	80°18.2'N	02°45.8'W	3302	
		23:50-00:34	80°21.6'N	02°21.4'W	3066	CTD/RO 800 m
232	27./28. 06. 28.06.	00:05.00:25	80°20.4'N	03°23.4'W	3070	
		00:05-00:39	80°20.8'N	03°22.1'W	3067	Bio-Rosi 200 m
		00:39-00:50	80°20.6'N	03°23.0'W	3067	
		00:39-00:50	80°20.8'N	03°22.1'W	3067	RAMSES, Ausbringen Argos-Boje
		00:39-00:50	80°20.4'N	03°23.6'W	3077	
		00:39-00:50	80°20.2'N	03°21.6'W	3077	BO
					3073	

↓ No.	Stat. Date 1984	Time (GMT) Start End	Position		Depth (m)	Gear and Remarks
			Start	End		
232	28.06.	00:41-00:53	80°20.4'N	03°23.7'W	3077	Bio-Rosi 75 m
		00:53-01:04	80°20.6'N	03°21.6'W	3074	
		01:10-03:18	80°20.6'N	03°21.6'W	3074	BO
		01:11-01:41	80°20.6'N	03°21.6'W	3076	CTD
			80°20.4'N	03°17.4'W	3089	
			80°20.8'N	03°18.8'W	3079	
233	28.06.	10:22	80°30.3'N	04°03.1'W	2994	XBT
234	28.06.	12:31-13:10	80°35.0'N	04°32.2'W	3020	CTD
		12:31-13:57	80°35.0'N	04°33.3'W	3033	
		12:31-14:30	80°35.0'N	04°32.2'W	3020	Hydrophon 750 m
		13:34-15:23	80°34.6'N	04°32.3'W		RAMSES, Schnee- und Eisproben
		13:40-15:39	80°35.1'N	04°33.0'W	3034	Lichtmessung
			80°34.4'N	04°31.0'W	3049	
			80°35.2'N	04°32.8'W	3040	CTD Bottom
			80°35.0'N	04°32.1'W	3050	
235	28.06.	17:00	80°35.1'N	04°52.5'W	2956	XBT
236	28.06.	19:00-19:40	80°39.4'N	05°35.8'W	2020	CTD/RO 500 m
		19:06-20:25	80°38.0'N	05°32.4'W	1834	
		19:10-20:20	80°39.5'N	05°36.4'W	1962	Hydrophon
		20:40-21:55	80°37.7'N	05°34.2'W	1716	
		22:44-23:56	80°39.4'N	05°36.4'W	1932	RAMSES, Schnee- und Eisproben, Eisbohrungen
		23:00-23:56	80°37.8'N	05°34.1'W	1736	
237	28.06.	00:40-01:29	80°37.6'N	05°34.8'W	1704	CTD/RO Bottom
238	29.06.	06:06-06:43	80°38.2'N	05°39.4'W	1695	
		06:06-06:43	80°37.2'N	05°51.3'W	1216	CTD/RO Bottom
			80°36.7'N	05°48.6'W	1304	
239	29.06.	06:06-06:43	80°37.1'N	05°53.6'W	1229	RAMSES
			80°36.7'N	05°48.6'W	1304	
			80°35.7'N	06°00.2'W	912	CTD
			80°35.4'N	06°06.3'W	1033	
			80°35.4'N	06°10.5'W	509	CTD/RO
					373	

Stat. No.	Date 1984	Time (GMT) Start End	Position		Depth (m)	Gear and Remarks
239	29.06.	06:43-07:14	80°35.4'N	06°10.5'W	373	MU
			80°35.2'N	06°12.1'W	357	
		07:20-07:30	80°35.2'N	06°12.4'W	347	BO
			80°35.2'N	06°12.9'W	345	
		07.31-07.39	80°35.1'N	06°13.0'W	344	BO
			80°35.1'N	06°13.3'W	338	
		07.43-08.00	80°35.1'N	06°13.5'W	338	Bio-Rosi (SecchiTiefe 25 m)
			80°35.3'N	06°13.9'W	329	
		08.21-08.40	80°35.3'N	06°14.9'W	330	Bio-RO
			80°35.2'N	06°15.9'W	319	
240	29.06.	12.47	80°29.9'N	07°07.6'W	256	XBT 125
241		22.30	79°55.5'N	08°22.5'W	120	XBT 126
242		23.00	79°50.3'N	08°25.3'W	187	XBT 127
243		23.30	71°45.0'N	08°19.3'W	222	XBT 128
244		23.55	79°42.3'N	08°08.9'W	187	XBT 129
245	30.06.	08.18-08.42	79°23.6'N	10°40.1'W	84	CTD
			79°23.7'N	10°41.6'W	112	
		09.00-09.12	79°23.5'N	10°41.1'W	113	Bio-Rosi
			79°23.5'N	10°41.1'W	113	
		09.29-09.43	79°23.5'N	10°41.5'W	141	Bio-Rosi
			79°23.6'N	10°41.4'W	145	
		09.53	79°23.6'N	10°41.6'W	146	MU
		09.57-10.03	79°23.6'N	10°41.8'W	145	
		10.13-10.22	79°23.7'N	10°42.2'W	145	BO
			79°23.6'N	10°43.2'W	158	
246		15.26	79°24.6'N	07°16.5'W	229	XBT 246
247		15.36	79°25.5'N	07°07.7'W	230	XBT 247
248		17.10	79°26.8'N	06°08.8'W	284	XBT 132
249		21.02	79°24.0'N	05°47.7'W	507	XBT 133
250		23.10	79°26.9'N	05°26.9'W	871	XBT 134
251		23.36 -	79°26.4'N	05°20.7'W	955	CTD/RO
252	01.07	00.26	79°25.9'N	05°21.9'W	935	
		02.31-03.10	79°25.3'N	04°17.2'W	1770	CTD 600 m
		02.52-03.59	79°25.3'N	04°16.0'W	1777	
			79°25.3'N	04°17.1'W	1767	Hydrophon 750 m
			79°24.7'N	04°14.9'W	1799	

↓ No.	Stat. No.	Date 1984	Time (GMT) Start End		Position	Depth (m)	Gear and Remarks
			Start	End			
252	01.07.	03.41-05.00	79°25.2'N	04°15.4'W	1789	CTD Bottom	
			79°24.5'N	04°13.9'W	1810		
253		08.15-09.57	79°21.0'M	02°48.0'W	2338	CTD/RO Bottom	
			79°19.8'N	02°53.0'W	2316		
		08.22-09.50	79°19.9'N	02°48.0'W	2337	Hydrophon	
			79°19.9'N	02°52.8'W	2316		
		08.22-10.30-	79°20.9'N	02°48.0'W	2337	RAMSES-Messungen	
			79°19.8'N	02°53.5'W	2314	MU	
		10.36	79°19.3'N	02°54.5'W	2311		
		10.45-10.58	79°19.2'N	02°54.6'W	2314	Bio-Rosi	
			79°19.0'N	02°55.1'W	2311		
		11.01-11.11	79°18.9'N	02°55.2'W	2311	BO, 150 m	
			79°18.8'N	02°55.5'W	2309		
		11.20-12.08	79°19.0'N	02°55.3'W	2310	CTD /RO	
			79°18.5'N	02°56.6'W	2311		
		12.09-12.24	79°18.4'N	02°56.6'W	2312	Rosi, 200 m	
			79°18.3'N	02°56.9'W	2315		
254	01.07	16.33-18.23	79°12.1'N	01°51.3'W	2585	CTD/RO	
			79°11.7'N	01°56.1'W	2581		
255		20.40	79°15.6'N	00°49.2'E	2759	XBT	
256		22.00	79°17.3'N	00°02.1'W	2805	XBT	
257	02.07.	00.22	79°15.5'N	01°01.0'E	3091	XBT	
258		02.16	79°07.4'N	02°01'0'E		XBT	
259	02.07.	03:02	79°06.4'N	02°48.3'E		XBT	
260	02.07.	04:00-04:47	79°06.8'N	03°42.5'E	2523	CTD 750 m	
			79°06.2'N	03°40.7'E	2641		
		04:08-05:34	79°06.7'N	03°42.3'E	2535	Hydrophon 750 m	
			79°08.2'N	03°41.7'E	2717		
		04:21-04:34	79°06.5'N	03°41.8'E	2578	Bio-Rosi 45 m	
			79°06.4'N	03°41.2'E	2629		
		04:51-05:02	79°06.2'N	03°40.5'E	2639	BO 150 m	
			79°06.1'N	03°40.0'E	2686		
		04:58-05:14	79°06.1'N	03°40.2'E	2686	Bio-Rosi 200 m	
			79°08.2'N	03°42.3'E	2676		
		05:16-05:24	79°08.2'N	03°42.2'E	2682	Plankton-Netz	
			79°08.2'N	03°42.0'E	2735		

Stat. No.	Date 1984	Time (GMT)		Position	Depth (m)	Gear and Remarks
		Start	End			
260	02.07.	05:19	05:50	79°08.2'N 03°42.1'E	2693	VN 500 m
			05:22-07:23	79°08.2'N 03°41.2'E 79°08.2'N 03°42.0'E 79°08.7'N 03°39.8'E	2744 2735 3127	CTD Bottom
261	02.07.	08:21		79°07.6'N 02°50.5'E	4181	XBT
262	02.07.	08:37	09:25	79°06.6'N 02°50.2'E	5452	CTD/RO
			09:32-09:42	79°06.6'N 02°49.2'E 79°06.6'N 02°49.0'E 79°06.6'N 02°48.8'E	5452 5451 5450	BO
263	02.07.	10:07		71°06.3'N 02°31.5'E	4589	XBT
264	02.07.	11:11	12:03	79°06.6'N 01°50.0'E	2643	CTD/RO
			11:23-12:57	79°06.3'N 01°47.3'E 79°06.5'N 01°49.6'E 79°06.2'N 01°46.0'E	2644 2643 2640	Hydrophon
			12:06-12:22	79°06.3'N 01°47.2'E 79°06.3'N 01°46.5'E	2643 2643	BO
			12:09-12:40	79°06.3'N 01°47.2'E 79°06.3'N 01°46.2'E	2643 2643	VN
			12:15-12:50	79°06.3'N 01°46.3'E 79°06.3'N 01°46.1'E	2642 2641	Wave-Rider
			12:36-14:34	79°06.3'N 01°46.3'E 79°06.2'N 01°43.8'E	2640 2634	CTD
			13:42-13:52	79°06.2'N 01°45.3'E 79°06.2'N 01°44.3'E	2638 2640	Bio-Rosi
			14:21-14:36	79°06.2'N 01°43.6'E 79°06.2'N 01°43.7'E	2635 2633	Bio-Rosi
265	02.07.	16:20		79°11.1'N 02°23.7'E	2971	XBT
266	02.07.	17:25		79°24.7'N 02°15.1'E	2987	XBT
267	02.07.	19:00		79°44.6'N 02°13.3'E	3887	XBT
268	02.07.	19:52		79°56.0'N 02°05.2'E	3267	XBT
269	02.07.	20:53		80°05.0'N 02°11.6'E	2645	XBT
270	02.07.	22:22		80°10.7'N 03°16.5'E	1757	XBT
271	03.07.	06:13	07:07	80°25.7'N 01°20.5'E	2912	CTD/RO
			06:17-07:42	80°25.7'N 01°21.1'E 80°25.7'N 01°20.6'E 80°25.5'N 01°19.5'N	2909 2912 2906	Hydrophon

↓ 8	Stat. No.	Date 1984	Time (GMT) Start End		Position	Depth (m)	Gear and Remarks
271	03.07.	07:10-07:24 07:26-07:34 07:44-08:01 08:05-08:24 08:12-08:24 09:40-11:49 10:40 12:11-12:28 12:00-12:18 13:44-114:29 16:15-16:48 16:54-17:12 17:22-17:32 20:00-20:35 20:15-22:45 20:00-21:56 20:36-20:48 20:45-20:55	80°25.7'N	01°21.1'E	2910	Bio-Rosi (Großer Wasserschöpfer)	
			80°25.5'N	01°19.8'E	2906		
			80°25.5'N	01°19.8'E	2906	BO	
			80°25.5'N	01°19.7'E	2905		
			80°25.5'N	01°19.5'E	2905	Bio-Rosi (Großer Wasserschöpfer)	
			80°25.5'N	01°20.2'E	2902		
			80°25.4'N	01°20.3'E	2902	MU	
			80°25.3'N	01°19.2'E	2899		
			80°25.3'N	01°19.4'E	2902	Primärproduktionsmessung	
			80°25.3'N	01°19.2'E	2899		
			80°25.3'N	01°18.8'E	2888	CTD/Ro (Bottom)	
			80°24.6'N	01°17.3'E	2880		
			80°24.9'N	01°18.5'E	2884	RAMSES	
			80°24.5'N	01°16.9'E	2874	VN 200 m	
			80°24.5'N	01°16.8'E	2871		
			80°24.5'N	01°16.9'E	2873	BO	
			80°24.5'N	01°36.9'E	2872		
			80°24.2'N	01°16.1'E	2861	VN 800 m	
			80°24.0'N	01°15.6'E	2857		
			80°23.6'N	01°15.8'E	2847	CTD 500 m	
			80°23.5'N	01°16.2'E	2844		
			80°23.5'N	01°16.2'E	2844	VN 200 m	
			80°23.3'N	01°16.1'E	2838		
			80°23.3'N	01°16.0'E	2835	Bongo 150 m	
			80°23.2'N	01°15.9'E	2836		
			80°22.5'N	01°17.4'E	2813	CTD/RO 500 m	
			80°22.2'N	01°17.3'E	2805		
			80°22.4'N	01°17.3'E	2808	Hydrophon	
			80°21.8'N	01°19.1'E	2786		
			80°22.4'N	01°17.4'E	2813	RAMSES	
			80°21.8'N	01°19.3'E	2780		
			80°22.4'N	01°17.3'E	2805	Bio-Rosi (Großer Wasserschöpfer)	
			80°22.1'N	01°17.7'E	2802		
			80°22.2'N	01°17.7'E	2802	BO	
			80°22.1'N	01°17.7'E	2801		

Stat. No.	Date 1984	Time (GMT)		Position		Depth (m)	Gear and Remarks
		Start	End				
271	04.07.	00:00-00:05		80°21.2'N	01°20.9'E	2739	BO
			06:16-06:23	80°21.2'N	01°21.0'E	2737	
272	04.07.		80°19.8'N	01°27.0'E	2538	Bongo 100 m	
				80°19.8'N	01°27.5'E	2532	
		08:04-09:49		80°19.8'N	01°28.3'E	2507	CTD/RO
			08:34-09:57	80°19.4'N	01°29.2'E	2462	
			09:57-10:08	80°19.9'N	01°27.6'E	2495	Hydrophon
				80°19.4'N	01°29.3'E	2455	
			10:34-11:25	80°19.4'N	01°29.3'E	2455	Bio-Rosi (Großer Wasserschöpfer)
				80°19.5'N	01°29.0'E	2456	
			11:40-11:50	80°19.3'N	01°29.4'E	2457	CTD/RO
				80°19.1'N	01°29.3'E	2420	
273	04.07.		80°19.0'N	01°29.2'E	2420	Bio-Rosi (Großer Wasserschöpfer)	
				80°19.0'N	01°29.2'E	2409	
		12:20-12:38		80°19.8'N	01°28.3'E	2507	RAMSES, Schnee- und Eisproben, Eisbohrungen
			11:52-12:07	80°19.0'N	01°29.2'E	2411	BO
				80°19.0'N	01°29.2'E	2411	
			12:44-12:57	80°19.0'N	01°29.6'E	2398	Bio-Rosi 200 m
				80°18.9'N	01°29.1'E	2397	
			14:30-14:38	80°18.8'N	01°29.8'E	2384	VN 200 m
		18:00-18:40		80°18.4'N	01°31.4'E	2320	Planktonentz
				80°17.6'N	01°32.0'E	2270	RO
274	05.07.			80°17.6'N	01°32.0'E		
			18:06-19:32	80°17.5'N	01°25.8'E	2267	Hydrophon
				80°16.9'N	01°27.6'E	2256	
			18:25-19:07	80°17.5'N	01°25.8'E	2264	VN 500 m
				80°17.2'N	01°26.3'E	2257	
			19:20-19:38	80°16.9'N	01°27.6'E	2256	Bio-Rosi
				80°16.9'N	01°27.6'E	2254	
			19:48-19:59	80°16.9'N	01°27.6'E	2254	Bio-Rosi
				80°16.7'N	01°26.2'E	2257	
		06:28-07:13		79°20.6'N	02°57.3'E	1831	Hydrophon
				79°20.5'N	02°56.8'E	1845	

S O	Stat. No.	Date 1984	Time (GMT)		Position	Depth (m)	Gear and Remarks
			Start	End			
275	05.07.	12:30-14:43	78°25.0'N	00°28.5'W	2869	CTD Bottom	
			78°25.4'N	00°28.2'W	2869		
			12:30-14:02	78°25.0'N	00°28.5'W	2869	Hydrophon 750 m
			12:46-12:54	78°25.4'N	00°28.1'W	2867	
			13:19-13:30	78°24.9'N	00°28.5'W	2868	Bio-Rosi 41 m
			13:41-14:08	78°25.4'N	00°28.6'W	2867	Bio-Rosi 200 m
			13:45-13:58	78°25.4'N	00°28.2'W	2867	
			14:48-14:54	78°25.4'N	00°28.2'W	2867	VN 500 m
			15:18-16:03	78°25.4'N	00°28.0'W	2870	Planktonetz
			78°25.4'N	00°28.1'W	2867		
			78°25.4'N	00°28.1'W	2870	BO 100 m	
			78°25.3'N	00°27.8'W	2868		
			78°24.6'N	00°31.9'W	2870	CTD 750 m	
			78°24.6'N	00°31.9'W			
276	05.07.	18:10-18:53	78°24.3'N	01°49.9'W	2898	CTD 500 m	
			78°25.1'N	01°15.5'W	2900		
			19:00-19:12	78°25.1'N	01°15.5'W	2900	Bongo 100 m
277	05.07.	20:10-20:56	78°25.1'N	01°15.5'W	2898		
			78°24.3'N	02°33.4'W	2800	CTD/RO	
			78°24.3'N	02°34.1'W	2801		
			20:15-20:41	78°24.3'N	02°33.4'W	2800	Hydrophon
			78°24.3'N	02°36.1'W	2802		
			21:07-21:36	78°24.3'N	02°35.3'W	2799	MU
			78°24.2'N	02°36.0'W	2803		
			21:45-21:57	78°24.3'N	02°36.2'W	2803	Bio-Rosi (Großer Wasserschöpfer)
			78°24.4'N	02°36.5'W	2804		
			21:59-22:15	78°24.4'N	02°36.5'W	2803	BO
			78°23.3'N	02°36.7'W	2805		
			22:20-22:38	78°23.3'N	02°36.8'W	2806	Bio-Rosi (Großer Wasserschöpfer)
			78°22.6'N	02°35.9'W	2809		
05./06. 07.	05.06. 07.	22:45-01:00	78°22.6'N	02°35.9'W	2809	PLA	
			78°22.4'N	02°36.2'W	2810		
			78°22.5'N	02°36.6'W	2811	CTD/RO	
			78°21.0'N	02°39.0'W			

Stat. No.	Date 1984	Time (GMT)		Position		Depth (m)	Gear and Remarks
		Start	End				
277	06.07.	01:05-01:15		78°21'N	02°39'W	2827	BO 100 m
278	06.07.	02:08-02:40		78°25.0'N	02°57.6'W	2639	CTD 500 m
		02:43-02:51		78°24.7'N	02°57.8'W	2636	
				78°24.6'N	02°57.7'W	2639	BO 100 m
				78°24.5'N	02°57.9'W	2639	
279	06.07.	03:50-04:23		78°25.1'N	03°22.8'W	2380	CTD 500 m
				78°25.0'N	03°25.0'W	2379	
280	06.07.	05:28-06:13		78°25.8'N	03°45.2'W	2068	CTD 750 m
		05:33-07:11		78°25.6'N	03°45.3'W	2069	
				78°25.7'N	03°41.8'W	2068	Hydrophon 750 m
				78°24.8'N	03°45.6'W	2071	
		05:46-05:55		78°25.6'N	03°45.3'W	2075	Bio-Rosi 53 m
				78°25.6'N	03°45.3'W	2070	
		06:20-06:36		78°25.6'N	03°45.3'W	2073	Bio-Rosi 200 m
				78°25.3'N	03°46.8'W	2069	
		06:23-06:34		78°25.6'N	03°45.3'W	2070	Bongo 150 m
				78°25.3'N	03°46.8'W	2069	
		06:43-07:00		78°25.6'N	03°45.3'W	2069	Bio-Rosi 500 m
				78°24.8'N	03°47.4'W	2070	
		06:59-08:48		78°24.8'N	03°47.4'W	2070	CTD Bottom
				78°23.8'N	03°46.4'W	2069	
		07:00-07:11		78°24.8'N	03°47.4'W	2070	VN
				78°24.7'N	03°47.7'W	2075	
		07:29-08:02		78°24.5'N	03°47.7'W	2080	VN 500 m
				78°24.3'N	03°46.7'W	2079	
281	06.07.	11:45-12:37		78°24.6'N	04°13.,.4'W	1568	CTD 500 m
				78°23.9'N	04°11.2'W	1578	
282	06.07.	14:12-14:53		78°25.0'N	04°43.4'W	726	CTD Bottom
				78°24.7'N	04°44.4'W	712	
283	06.07.	16:13-16:35		78°25.0'N	05°04.9'W	400	VN 350 m
				78°24.9'N	05°05.8'W	398	
		16:15-16:57		78°25.0'N	05°04.9'W	400	CTD
				78°24.9'N	05°05.4'W	403	
		16:45-16:57		78°24.9'N	05°05.1'W	393	Bio-Rosi 89 m
				78°24.9'N	05°05.4'W	403	

	Stat. No.	Date 1984	Time (GMT)		Position		Depth (m)	Gear and Remarks
			Start	End				
283	06.07.	16:57-17:07	78°24.9'N	05°05.4'W	403	BO 100 m	399	Bio-Rosi 200 m
			78°24.8'N	05°05.6'W	403	Bio-Rosi 200 m		
284	07.07.	01:35-03:39	78°24.8'N	05°05.9'W	393		2125	CTD Bottom
			78°24.7'N	05°06.1'W	2124	Hydrophon 750 m		
285	07.07.	01:43-03:15	78°39.3'N	03°33.0'W	2119		2131	CTD 500 m
			78°36.7'N	03°35.0'W	2127			
286	07.07.	04:06-04:39	78°39.2'N	03°33.3'W	2124	Hydrophon 750 m	2119	CTD 500 m
			78°37.1'N	03°34.6'W	2127			
287	07.07.	06:09-06:48	78°36.4'N	03°34.9'W	2124		2391	CTD 500 m
			78°36.1'N	03°35.2'W	2390			
288	07.07.	07:34-08:25	78°39.9'N	03°05.9'W	2391	CTD 500 m	2390	CTD 500 m
			78°39.5'N	03°07.4'W	2390			
289	07.07.	09:05-09:56	78°40.2'N	02°41.8'W	2635	CTD 500 m	2635	CTD/RO 800 m
			78°39.5'N	02°39.1'W	2635			
290	07.07.	09:22-10:34	78°40.0'N	02°16.1'W	2694	CTD/RO 800 m	2688	Hydrophon
			78°39.6'N	02°12.4'W	2692			
291	07.07.	09:56-10:07	78°39.8'N	02°15.1'W	2681		2688	Bio-Rosi (Großer Wasserschöpfer)
			78°40.0'N	02°18.2'W	2681			
292	07.07.	10:08-10:18	78°39.6'N	02°12.4'W	2688		2687	Bio-Rosi (Großer Wasserschöpfer)
			78°39.5'N	02°11.5'W	2687			
293	07.07.	10:24-12:27	78°39.5'N	02°11.4'W	2685	BO	2685	BO
			78°40.4'N	02°17.9'W	2684			
294	07.07.	10:59-11:08	78°40.4'N	02°17.9'W	2683	CTD/RO Bottom	2677	PLA
			78°41.2'N	02°19.7'W	2683			
295	07.07.	15:11-16:03	78°40.9'N	02°18.6'W	2681	PLA	2558	CTD 750 m
			78°41.0'N	02°18.7'W	2681			
296	07.07.	15:14-15:22	78°55.6'N	00°00.6'W	2558		1989	Bio-Rosi 24 m
			78°55.5'N	00°01.6'W	1989			
297	07.07.	15:18-16:52	78°55.7'N	00°00.7'W	2562		2569	Hydrophon 750 m
			78°55.7'N	00°00.7'W	2569			
298	07.07.	15:47-16:07	78°55.7'N	00°00.8'W	2567		2597	Bio-Rosi 200 m
			78°53.4'N	00°07.3'W	2597			
299	07.07.	16:05-16:23	78°55.6'N	00°01.4'W	2587		1989	Bongo 100 m
			78°55.5'N	00°01.6'W	1989			
			78°55.5'N	00°01.6'W	2607			

Stat. No.	Date 1984	Time (GMT) Start End	Position		Depth (m)	Gear and Remarks
288	07.07.	16:35-18:53	78°53.8'N	00°06.7'W	2612	CTD Bottom
			78°50.9'N	00°08.7'W	2626	
289	07.07.	17:00-17:12	78°53.3'N	00°09.7'W	2607	VN
			78°53.1'N	00°08.1'W	2623	
290	07.07.	20:08-20:42	78°54.7'N	00°30.7'W	2651	CTD/RO
		20:45-20:55	78°54.4'N	00°31.2'W	2663	
291	07.07.	21:42-22:23	78°54.4'N	00°31.4'W	2666	BO 100 m
			78°54.3'N	00°31.8'W		
291	07.07.	23:48-00:36	78°54.6'N	00°54.3'W	2660	CTD/BO
			78°54.2'N	00°56.6'W	2654	
291	08.07.	23:48-01:23	78°56.6'N	01°24.5'W	2638	CTD/BO
		23:54-01:23	78°56.2'N	01°27.0'W	2694	
291	08.07.	00:03-00:31	78°56.6'N	01°24.5'W	2638	RAMSES
			78°56.2'N	01°30.7'W	2660	
291	08.07.	00:40-00:54	78°56.5'N	01°24.8'W	2640	Hydrophon
			78°56.2'N	01°30.7'W	2660	
292	08.07.	00:44-00:52	78°56.4'N	01°25.2'W	2640	VN 500 m
			78°56.2'N	01°26.9'W	2649	
292	08.07.	01:24-03:38	78°56.2'N	01°27.2'W	2648	Bongo 150 m
			78°56.2'N	01°27.9'W	2650	
293	08.07.	01:30-01:40	78°56.2'N	01°27.4'W	2650	Bio-Rosi
			78°56.2'N	01°27.9'W	2650	
293	08.07.	04:08-04:45	78°56.2'N	01°30.5'W	2658	CTD Bottom
			78°56.0'N	01°36.6'W	2663	
294	08.07.	05:18-05:55	78°56.1'N	01°31.0'W	2659	Plankton-Netz
			78°56.1'N	01°31.6'W	2660	
294	08.07.	07:23-09:13	78°54.9'N	01°48.8'W	2667	CTD 500 m
		07:50	78°54.4'N	01°47.4'W	2669	
294	08.07.	09:15-09:25	78°54.8'N	02°12.2'W	2655	CTD 500 m
			78°54.9'N	02°13.8'W	2656	
294	08.07.	09:15-09:25	78°54.5'N	02°30.1'W	2618	CTD Bottom
			78°53.7'N	02°33.7'W	2613	
294	08.07.	09:15-09:25	78°54.2'N	02°31.2'W	2616	Hydrophon 750 m
			78°53.7'N	02°33.7'W	2613	
294	08.07.	09:15-09:25	78°53.5'N	02°33.8'W	2613	Secchi Disk

Stat. No.	Date 1984	Time (GMT) Start End	Position		Depth (m)	Gear and Remarks
294	08.07.	09:15-09:25	78°53.5'N	02°33.8'W	2613	PLA
			78°53.6'N	02°34.3'W	2614	
		09:20-09:31	78°53.7'N	02°34.0'W	2614	BO 100 m
			78°53.5'N	02°34.4'W	2612	
		09:35-09:45	78°53.5'N	02°34.7'W	2612	BO 100 m
			78°53.4'N	02°35.0'W	2613	
		09:59-10:19	78°53.3'N	02°35.6'W	2611	Bio-Rosi (Großer Wasserschöpfer) 200 m
			78°53.2'N	02°36.4'W	2610	
		10:32-10:41	78°53.1'N	02°36.6'W	2607	Bio-Rosi (Großer Wasserschöpfer) 28 m
			78°53.0'N	02°36.6'W	2606	
		10:44-11:46	78°53.0'N	02°36.7'W	2606	CTD/RO 1250 m
			78°52.6'N	02°38.7'W	2596	
295	08.07.	11:05-11:56	78°52.8'N	02°37.0'W	2603	MU
			78°52.5'N	02°39.0'W	2596	
		07:23-11:56	78°54.5'N	02°30.1'W	2618	RAMSES
			78°52.5'N	02°39.0'W	2595	
295	08.07.	15:31-17:23	78°59.5'N	03°33.2'W	2253	CTD Bottom
			78°58.5'N	03°27.0'W	2269	
		16:07-16:32	78°59.3'N	03°29.7'W	2256	MULTI-Rosi (Test)
			78°58.9'N	03°30.5'W	2261	
296	09.07.	08:23-09:50	79°37.2'N	06°38.7'W	251	Hydrophon
			79°36.9'N	06°38.6'W	252	
		08:00-19:00	79°37.4'N	06°39.7'W	252	RAMSES
			79°34.1'N	06°35.4'W	250	
		12:30-13:00	79°36.3'N	06°36.2'W	258	CTD
			79°36'N	06°35.9'W		
		13:03-13:20	79°36.1'N	01°35.8'W	256	Bio-Rosi 200 m
			79°36.0'N	06°35.7'W	255	
		13:05-13:20	79°36'N	06°35.7'W	254	Bo 100 m
			79°36.0'N	06°35.7'W	255	
		13:35-13:50	79°36.0'N	06°35.7'W	257	Bio-Multi-Sonde 100 m
			79°36.0'N	06°35.2'W	259	
296	09.07.	13:53-14:00	79°35.9'N	06°35.2'W	260	Bio-Multi-Sonde 22 m
			79°35.8'N	06°35.0'W	254	
		15:00-15:10	79°35.5'N	06°34.8'W	253	Plankton-Netz
			79°35.4'N	06°34.8'W	252	

Stat. No.	Date 1984	Time (GMT) Start End	Position		Depth (m)	Gear and Remarks
296	09.07.	16:02-16:19	79°35.0'N	06°34.9'W	252	Multi-Netz 200 m
		17:02-18:07	79°34.9'N	06°35.0'W	254	
			79°34.6'N	06°35.2'W	253	Hydrophon 200 m
			79°34.4'N	06°35.3'W	251	
		19:56-20:17	79°33.8'N	06°35.5'W	260	MU/VN 200 m
			79°33.8'N	06°35.4'W	249	
		20:25-20:32	79°33.8'N	06°35.3'W	251	Bongo 50 m
			79°33.8'N	06°35.2'W	250	
		20:56-01:04	79°33.7'N	06°34.9'W	252	In situ Inkubation, Primärproduktions-Messungen
			79°33.3'N	06°30.3'W	263	
	09./10. 07.	23:58-00:16	79°33.4'N	06°31.7'W	264	MU/VN 200 m
			79°33.4'N	06°31.0'W	262	
	10.07.	00:24-00:30	79°33.4'N	06°30.8'W	268	Bo 50 m
			79°33.4'N	06°30.8'W	268	
		04:10-04:26	79°32.5'N	06°37.7'N	267	VN
			79°32.4'N	06°27.4'W	269	
		04:32-04:36	79°32.3'N	06°27.5'W	269	
			79°32.3'N	06°27.7'W	269	
		08:02-08:20	79°31.2'N	06°27.0'W	269	MU/VN 200 m
			79°31.2'N	06°27.0'W	264	
		08:17-09:27	79°31.2'N	06°27.0'W	265	Hydrophon 200 m
			79°31.2'N	06°27.1'W	266	
		08:24-08:32	79°31.2'N	06°27.0'W	266	BO 50 m
			79°31.2'N	06°27.0'W	266	
		08:45-09:03	79°31.2'N	06°27.0'W	265	MU/VN 200 m
			79°31.2'N	06°27.0'W	268	
		10:44-11:09	79°31.3'N	06°27.0'W	267	CTD/RO Bottom
			79°31.3'N	06°26.7'W	266	
		11:36-11:54	79°31.3'N	06°26.3'W	267	CTD/RO 140 m
			79°31.3'N	06°26.4'W	269	
		11:36-14:30	79°31.3'N	06°26.3'W	267	RAMSES, Schnee- und Eisproben, Eisbohrung
			79°31.1'N	06°23.9'W	275	
		12:02-12:18	79°31.3'N	06°26.3'W	266	VN 200 m
			79°31.3'N	06°26.1'W	267	
	12:05-12:17	79°31.3'N	06°26.2'W	266	Bo 50 m	
			79°31.3'N	06°26.1'W	267	

Sta. No.	Stat. Date 1984	Time (GMT) Start End	Position		Depth (m)	Gear and Remarks
296	10.07.	12:31-12:48	79°31.3'N	06°26.0'W	262	Bio-Rosi 200 m
		12:56-13:05	79°31.3'N	06°25.6'W	267	
		13:06-13:19	79°31.3'N	06°25.5'W	269	Bo 50 m
		16:08-16:15	79°31.3'N	06°25.4'W	267	Bio-Multi-Sonde
		16:09-16:28	79°31.3'N	06°25.3'W	269	
		16:12-17:25	79°31.0'N	06°23.9'W	272	Hydrophon 250 m
		16:29-17:10	79°31.0'N	06°24.0'W	273	Lichtmessungen im Wasser
		08:30	79°41.9'N	06°39.6'W	257	RAMSES, Schee- und Eisproben, Eisbohrungen
		12:30-12:52	79°41.8'N	06°41.3'W	259	CTD
		12:33-12:38	79°41.8'N	06°41.3'W	259	Hydrophon 220 m
297	11.07.	12:54-13:08	79°41.7'N	06°40.6'W	259	
		13:10-13:20	79°41.8'N	06°41.1'W	258	VN 200 m
		12:23-12:41	79°41.7'N	06°40.8'W	259	Bio-Rosi 200 m
		12:38-12:43	79°41.7'N	06°40.8'W	259	Bo 50 m
		13:52-14:08	79°41.7'N	06°40.4'W	262	CTD
		14:12-14:31	79°41.7'N	06°40.2'W	262	Bio-Rosi
		14:39-14:54	79°41.7'N	06°39.8'W	265	Multi-Bio-Rosi
		04:20	79°49.0'N	05°37.4'W	366	Positionieren an Eisscholle
		08:11-08:40	79°48.1'N	05°39.2'W	341	CTD/RO
		08:16-09:40	79°48.0'N	05°39.7'W	331	
298	12.07.	08:16-09:40	79°48.0'N	05°39.3'W	332	Hydrophon
			79°47.8'N	05°40.5'W	319	

Stat. No.	Date 1984	Time (GMT) Start End	Position		Depth (m)	Gear and Remarks
298	12.07.	08:55-09:11	79°48.0'N	05°39.7'W	324	Bio-Rosi (Großer Wasserschöpfer) 200 m
			79°47.9'N	05°39.9'W	322	
		09:11-09:22	79°47.9'N	05°39.9'W	322	Bo 150 m
			79°47.9'N	05°40.3'W	320	
		09:22-09:32	79°47.9'N	05°40.3'W	319	Bio-Rosi (Großer Wasserschöpfer) 28 m
			79°47.9'N	05°40.4'W	317	
		09:32-09:41	79°47.9'N	05°40.4'W	317	BO 100 m
			79°47.8'N	05°40.5'W	319	
		09:43-10:03	79°47.8'N	05°40.4'W	318	MU
			79°47.8'N	05°40.8'W	313	
		10:50-11:40	79°47.7'N	05°41.3'W	314	Aussetzen Hoeber-Boje
			79°47.9'N	05°42.6'W	315	
		17:45-17:55	79°48.3'N	05°34.4'W	423	Multi-Bio-Sonde
			79°48.3'N	05°34.2'W	425	
299	13.07.	08:04-08:55	79°48.0'N	05°25.2'W	630	CTD/RO Bottom
			79°48.2'N	05°26.7'W	618	
		08:17-09:44	79°47.9'N	05°25.3'W	629	Hydrophon
			79°47.9'N	05°27.5'W	599	
		08:48-09:03	79°48.1'N	05°26.5'W	621	Multi-Bio-Sonde 50 m
			79°47.9'N	05°26.5'W	615	
		09:05-09:17	79°47.9'N	05°26.5'W	615	BO 150 m
			79°47.9'N	05°26.8'W	611	
		09:12-09:41	79°47.9'N	05°26.7'W	617	MU 500 m
			79°47.9'N	05°27.4'W	610	
		09:49-10:07	79°47.9'N	05°27.6'W	605	Bio-Rosi ((Großer Wasserschöpfer) 200 m
			79°47.7'N	05°27.3'W	595	
		10:33-10:45	79°47.5'N	05°28.4'W	591	Abbergen meteorologische Boje
300	14.07.	11:25-17:00	79°48.1'N	05°28.0'W	551	RAMSES
			79°49.1'N	05°18.6'W	746	
		14:45-20:10	79°49.2'N	05°26.4'W	629	In situ Messungen auf Scholle
			79°47.4'N	05°19.7'W	765	
		08:20-09:48	79°47.7'N	05°15.1'W	861	Hydrophon
			79°47.1'N	05°15.7'W	820	

S 8	Stat. No.	Date 1984	Time (GMT) Start End		Position	Depth (m)	Gear and Remarks
300	14.07.	08:30-09:20	79°47.5'N	05°15.5'W	861	CTD/RO	
			79°47.1'N	05°15.6'W	829		
			79°47.1'N	05°15.6'W	825	Bio-Rosi (Großer wasserschöpfer) 200 m	
			79°47.1'N	05°15.7'W	822		
			79°47.1'N	05°15.7'W	822	BO 150 m	
			79°47.0'N	05°15.8'W	814		
			79°47.1'N	05°15.9'W	812	Bio-Rosi (Großer wasserschöpfer) 21 m	
			79°47.0'N	05°16.0'W	810		
			79°47.0'N	05°16.0'W	810	BO	
			79°47.0'N	05°16.3'W	797		
			79°47.0'N	05°16.0'W	801	MU 500 m	
			79°46.9'N	05°18.0'W	792		
301	14.07.	10:52-11:00	79°46.9'N	05°18.4'W	771	Multi-Sonde 50 m	
			79°46.9'N	05°18.6'W	762		
			79°49.2'N	04°52.0'W	1323	CTD 350 m	
			79°48.7'N	04°49.5'W	1334		
			79°49.2'N	04°51.7'W	1326	Hydrophon 750 m	
			79°48.7'N	04°48.4'W	1344		
			79°48.7'N	04°49.2'W	1337	Monrovia Rosi	
			79°48.6'N	04°48.8'W	1338		
			79°48.4'N	04°47.6'W	1342	CTD Bottom 1300 m	
			79°48.8'N	04°47.8'W	1360		
302	14.07.	19:14-19:49	79°47.3'N	03°52.6'W	2000	CTD 500 m	
			79°47.3'N	03°55.9'W	2019		
			79°47.3'N	03°55.9'W	2017	Multi-Rosi	
			79°46.3'N	03°56.4'W	2020		
			79°46.9'N	03°56.4'W	2025	BO 150 m	
			79°46.8'N	03°56.6'W	2023		
			79°46.8'N	03°56.6'W	2024	MU 500 m	
			79°46.4'N	03°54.7'W	2022		
			79°46.7'N	03°56.8'W	2025	Hydrophon	
			79°45.6'N	03°54.4'W	2025		
			79°46.3'N	03°54.5'W	2023	Bio-Rosi (Großer wasserschöpfer) 200 m	
			79°46.0'N	03°54.3'W	2023		
303	14.07.	21:15-22:41	79°46.0'N	03°54.2'W	2023	CTD/RO Bottom	
			79°45.2'N	03°54'W	2034		

Stat. No.	Date 1984	Time (GMT) Start End	Position	Depth (m)	Gear and Remarks
302	14.07.	19:14-22:00	79°47.3'N 03°52.6'W 79°45.6'N 03°54.5'W	2000 2027	RAMSES, Schnee- und Eisproben, Eisbohrungen
303	15.07.	02:45-04:42	79°46.3'N 02°39.2'W 79°45.1'N 02°41.1'W	2595 2583	CTD
		03:00-04:18	79°46.3'N 02°38.4'W 79°45.2'N 02°41.2'W	2595 2584	Hydrophon 750 m
		05:23-06:35	79°44.8'N 02°41.4'W 79°44.1'N 02°39.9'W	2587 2595	CTD 1500 m
		07:16-07:52	79°43.7'N 02°38.4'W 79°43.2'N 02°40.5'W	2590 2592	CTD 500 m
304	15.07.	12:24-12:55	79°36.0'N 01°22.4'W 79°36.2'N 01°22.0'W	2772 2773	CTD 500 m
		12:34-13:58	79°36.1'N 01°22.2'W 79°36.4'N 01°20.9'W	2776 2775	Hydrophon 750 m
		12:38-12:51	79°36.1'N 01°22.2'W 79°36.1'N 01°22.0'W	2774 2773	Bio-Rosi 200 m
		12:24-15:22	79°36.0'N 01°22.4'W 79°36.4'N 01°18.2'W	2772 2777	RAMSES
		12:56-13:23	79°36.2'N 01°22.0'W 79°36.3'N 01°21.5'W	2773 2774	VN 500 m
		13:05-13:16	79°36.2'N 01°21.8'W 79°36.2'N 01°21.7'W	2773 2774	BO 150 m
		13:33-15:22	79°36.3'N 01°21.3'W 79°36.1'N 01°18.2'W	2774 2777	CTD Bottom
		13:39-13:50	79°36.3'N 01°21.2'W 79°36.3'N 01°21.0'W	2775 2775	Multi-Bio-Rosi 50 m
		14:49-14:55	79°36.4'N 01°20.0'W 79°36.4'N 01°20.0'W	2776 2776	Mikronetz
305	15.07.	18:57-19:44	79°23.8'N 00°38.6'W 79°24.0'N 00°35.2'W	2801	CTD
		19:08-20:08	79°23.8'N 00°35.7'W 79°23.9'N 00°35.6'W	2805 2808	Hydrophon 750 m
		20:00-20:12	79°23.8'N 00°35.4'W 79°23.8'N 00°35.5'W	2807 2809	Multi-Sonde
		20:14-22:07	79°23.9'N 00°35.5'W 79°23.8'N 00°35.6'W	2808	CTD/RO Bottom

090	Stat. No.	Date 1984	Time (GMT) Start End	Position		Depth (m)	Gear and Remarks
306	16.07.	01:16-01:54	79°12.2'N	00°08.2'W	2756	CTD 600 m	
			79°12.7'N	00°08.0'W	2757		
			01:22-02:32	79°12.5'N	00°08.0'W	2758	Hydrophon 750 m
				79°12.7'N	00°07.2'W	2757	
			01:30-01:43	79°12.5'N	00°08.1'W	2756	Multi-Bio-Rosi
				79°12.5'N	00°08.4'W	2757	
			01:57-02:10	79°12.7'N	00°08.0'W	2757	BO 150 m
				79°12.7'N	00°07.9'W	2756	
			02:16-04:17	79°12.8'N	00°07.9'W	2756	CTD Bottom
				79°13.1'N	00°06.4'W	2761	
307	16.07.	07:07-07:52	79°00.5'N	00°40.0'E	2595	CTD	
			79°00.5'N	00°38.3'E	2595		
			07:57-08:06	79°00.1'N	00°38.2'E	2599	Bongo 150 m
				79°00.6'N	00°38.1'E	2602	
			08:19-08:26	79°00.6'N	00°39.0'E	2596	Multi-Sonde
308	16.07.	08:30-10:26	79°00.6'N	00°39.2'E	2596		
				79°00.6'N	00°39.4'E	2598	CTD/RO Bottom
			11:17-12:10	78°59.9'N	00°43.4'E	2582	
				79°04.4'N	00°26.7'E	2670	CTD/RO 750 m
309	16.07.	16:23-16:32	79°04.3'N	00°27.2'E	2668		
				78°59.8'N	00°03.3'E	2589	BO 60
				79°00.1'N	00°01.4'E	2589	BO 60
310	16.06	17:14-17:24	78°54.9'N	00°00.5'E	2533	BO	
				78°54.8'N	00°00.6'E	2530	
			17:18-17:24	78°54.8'N	00°00.5'E	2533	Multi-Bio-Rosi
				78°54.8'N	00°00.6'E	2530	
			17:29-18:14	78°54.7'N	00.00.6'E	2530	CTD
				78°54.7'N	00°01.9'E	2530	
			19:05-19:44	78°49.9'N	00°00.8'E	2635	CTD
				78°50.1'N	00°01.8'E	2632	
			19:48-19:55	78°50.1'N	00°01.8'E	2633	BONGO
				78°50.1'N	00°01.8'E	2632	
311		19:59-20:09	78°50.1'N	00°01.6'E	2632	Multi-Bio-Rosi	
				78°50.2'N	00°01.2'E	2632	

Stat. No.	Date 1984	Time (GMT) Start End	Position		Depth (m)	Gear and Remarks	
312	17.07	21:50-23:50	78°45.0'N	00°00.8'E	2686	CTD	
			78°45.4'N	00°03.7'W	2685		
		23:54-00:01	78°45.4'N	00°03.8'W	2685	Bongo	
			78°45.4'N	00°04.1'W	2686		
		00:09-00:05	78°45.5'N	00°04.5'W	2687	Multi-Bio-Rosi	
			78°45.7'N	00°05.0'W	2685		
		01:02-01:39	78°40.0'N	00°00.0'	1960	CTD	
			78°40.2'N	00°01.2'W	2087		
		01:04-01:11	78°40.0'N	00°00.1'W	1960	Multi-Bio-Rosi	
			78°40.0'N	00°00.4'W	1962		
313		01:52-03:34	78°40.3'N	00°01.6'W	2089	CTD	
			78°40.9'N	00°04.7'W	2733		
		04:46-06:30	78°34.6'N	00°01.1'W	2412	CTD	
			78°35.2'N	00°06.1'N	2160		
		04:52-04.58	78°34.6'N	00°01.2'W	2412	Multi-Bio-Rosi	
314			78°34.6'N	00°01.3'W	2359		
		06:34-06:40	78°35.2'N	00°06.2'W	2158	Bongo	
			78°35.2'N	00°06.4'W	2160		
		17.07	07:35	78°29.9'N	00°00.2'E	2775	CTD
			08:00-08:05	78°29.9'N	00°00.4'E	2774	Multi-Sonde
315			78°29.8'N	00°00.6'E	2775		
		08:06-08:44	78°29.8'N	00°00.2'E	2777		
		09:27-10:16	78°24.9'N	00°00.3'E	2940	CTD/RO	
			78°25.0'N	00°00.8'E	2942		
		10:19-10:25	78°25.0'N	00°00.8'E	2941	BO	
316			78°25.1'N	00°01.9'W	2940		
		10:28-10:36	78°25.1'N	00°02.0'W	2942	Multi-Sonde	
			78°25.1'N	00°02.1'W	2939		
		11:21-12:09	78°20.0'N	00°00.0'W	3004	CTD/RO	
			78°20.1'N	00°00.4'W	3006		
317		12:14-12:23	78°20.2'N	00°00.3'W	3006	Multi-Bio-Rosi	
			78°20.2'N	00°00.2'E	3006		
		12:35	78°20.3'N	00°00.2'E	3006	CTD	
			78°20.9'N	00°02.3'W	2981		

	Stat. No.	Date 1984	Time (GMT) Start End	Position	Depth (m)	Gear and Remarks
	318		15:41-16:18	78°14.8'N 00°01.8'E	3030	CTD
			15:49-16:00	78°14.9'N 00°01.8'E	3032	CTD
			16:21-16:30	78°14.8'N 00°01.9'E	3030	Multi-Rosi
				78°14.8'N 00°01.9'E	3030	
	319	20.07.	14:26-15:53	78°15.0'N 00°01.8'E	3033	BONGO, Ende ARC II/2
			14:41-14:58	80°34.0'N 07°12.0'E	734	Rosi
			15:22-15:34	80°34.2'N 07°15.5'E	730	
			15:58-16:13	80°33.8'N 07°10.9'E	734	VN
			16:26-17:10	80°33.6'N 07°09.5'E	733	VN
			16:27-16:49	80°33.4'N 07°07.9'E	732	BO
			18:05-18:16	80°33.2'N 07°07.2'E	732	
	320	21.07.	00:05-01:46	80°34.3'N 07°16.1'E	732	LVS
			00:17-01:30	80°34.4'N 07°16.3'E	730	
	321	21.07.	07:45-09:35	80°34.4'N 07°16.5'E	732	VN
			07:49-08:02	80°34.5'N 07°16.3'E	730	
			10:00-11:18	80°34.4'N 07°14.6'E	728	
			11:29-11:41	80°34.3'N 07°13.8'E	729	
				80°34.3'N 07°13.6'E	731	VN
				80°34.4'N 07°12.3'E	728	
				80°38.2'N 09°27.4'E	1136	Rosi
				80°37.8'N 09°28.1'E	1194	
				80°38.2'N 09°27.5'E	1132	VN
				80°38.2'N 09°29.0'E	1158	
				80°43.7'N 12°50.8'E	1323	Rosi
				80°44.5'N 12°51.6'E	1335	
				80°43.7'N 12°51.0'E	1323	BONGO
				80°43.7'N 12°51.6'E	1321	
				80°44.7'N 12°51.1'E	1334	MU
				80°44.6'N 12°50.7'E	1361	
				80°44.6'N 12°50.6'E	1361	Multi-Sonde
				80°44.6'N 12°50.6'E	1363	

Stat. No.	Date 1984	Time (GMT)		Position		Depth (m)	Gear and Remarks
		Start	End				
322		20.08:20:48		80°54.4'N	18°35.2'E	166	CTD/Rosi
				80°54.4'N	18°35.3'E	167	
		20:14-20:28		80°54.3'N	18°35.3'E	169	BO
				80°54.3'N	18°35.3'E	167	
		20:15-21:17		80°54.3'N	18°35.3'E	168	Jig-Gerät
				80°54.9'N	18°34.9'E	161	
		21:00-21:24		80°54.4'N	18°35.2'E	167	
				80°54.9'N	18°34.9'E	164	
		21:03-21:15		80°54.4'N	18°35.2'E	166	Multi-Sonde
				80°54.9'N	18°35.0'E	161	
323	21.07.	22:42-22:54		81°02.9'N	17°39.2'E	507	CTD/Rosi
				81°02.9'N	17°39.3'E	506	
		22:56-23:04		81°02.9'N	17°39.3'E	506	Jig-Gerät
				81°02.9'N	17°39.3'E	506	
		22:58-23:49		81°02.9'N	17°39.3'E	505	
324	22.07.			81°03.2'N	17°40.9'E	493	
		23:58-00:05		81°03.3'N	17°41.5'E	491	LVS
		02:13-03:50		81°11.9'N	16°47.7'E	1254	Rosi
				81°11.7'N	16°47.6'E	1233	
		03:52-04.09		81°11.7'N	16°47.7'E	1235	Bongo
				81°11.7'N	16°47.7'E	1236	
		04:10-04:20		81°11.7'N	16°47.7'E	1236	Multi-Sonde
				81°11.6'N	16°47.7'E	1243	
		04:35-05:52		81°11.6'N	16°47.7'E	1254	VN
				81°11.3'N	16°46.5'E	1255	
325	22.07	09:55-11:09		81°18.2'N	15°23.3'E	2292	MU
				81°18.1'N	15°25.2'E	2268	
		11:24-11:52		81°18.4'N	15°23.5'E	2261	BO
				81°18.4'N	15°23.6'E	2268	
		12:00		81°18.4'N	15°23.6'E	2265	CTD/RO
				81°18.5'N	15°22.8'E	2261	
		15:04-18:00		81°18.6'N	15°23.8'E	2253	Livingston 200
				81°18.3'N	15°23.5'E	2285	
		16:41-18:50		81°17.9'N	15°23.1'E	2284	Livingston 100
		15:00-16:56		81°18.6'N	15°23.8'E	2253	ICE-Drilling

1 496	Stat. No.	Date 1984	Time (GMT) Start End	Position		Depth (m)	Gear and Remarks
326	23.07.		17:58-19:30	81°18.3'N	15°23.4'E	2272	Rosi
				81°18.0'N	15°22.7'E	2259	
			18:42-20:32	81°18.1'N	15°22.9'E	2268	Hydrophon
				81°17.9'N	15°22.1'E		
			19:12-20:43	81°18.0'N	15°22.6'E	2272	Livingston 100
				81°17.9'N	15°22.0'E	2252	
			13:47				XBT
			14:04	80°27.7'N	05°52.2'E	599	VN
			14:08-14:24	80°27.7'N	05°52.0'E	601	Bo
				80°27.6'N	05°51.6'E		
327			14:30-15.00	80°27.5'N	05°51.4'E	597	Jig-Jag
				80°27.5'N	05°51.5'E		
			15:00-15:10	80°27.5'N	05°51.5'E	597	Monrovia
				80°27.5'N	05°51.3'E	595	
			18:24-18:32	80°08.5'N	04°43.7'E	1016	Monrovia
				80°08.4'N	04°43.4'E	1019	
			18:36-18:53	80°08.5'N	04°44.5'E	1023	Bongo
				80°08.3'N	04°44.1'E	1022	
			18:25	80°08.5'N	04°43.1'E	1016	XBT
			18:49-19:52	80°08.3'N	04°44.2'E	1029	Hydrophon
328				80°08.6'N	04°43.0'E	1028	
			18:58-20:04	80°08.3'N	04°44.0'E	1027	Multi-Netz
				80°08.6'N	04°42.9'E	1027	
			22:06-23:20	80°04.0'N	03°08.6'E	2333	Hydrophon
			22:11-23:24	80°04.1'N	03°09.0'E	2341	MU
329	26.07.			80°04.2'N	03°09.9'E	2332	
			23:37-23:45	80°04.1'N	03°10.4'E	2333	Monrovia
				80°04.1'N	03°10.5'E	2332	
			08:33-09:08	81°46.2'N	10°41.4'W	211	CTD/RO
				81°46.0'N	10°35.8'W	211	
			08:50-09:46	81°46.1'N	10°41.3'W	211	Jig-Gerät
				81°46.0'N	10°36.2'W	207	
			09:13-09:28	81°46.0'N	10°35.8'W	211	BO
				81°46.0'N	10°35.8'W	211	
			09:35-09:47	81°46.0'N	10°36.2'W	205	BO
				81°46.0'N	10°36.2'W	207	

Stat. No.	Date 1984	Time (GMT)		Position		Depth (m)	Gear and Remarks
		Start	End				
330		09:51-10:02		81°46.0'N	10°36.2'W	207	BO
				81°46.2'N	10°37.3'W	211	
		10:10-10:17		81°46.2'N	10°37.1'W	211	Monrovia
				81°46.2'N	10°37.2'W	211	
		11:09-12:40		81°49.9'N	10°27.3'W	1100	CTD/RO
				81°50.4'N	10°31.5'W	1250	
		11:15-13:15		81°49.9'N	10°27.3'W	1130	Hydrophon
				81°50.6'N	10°32.6'W		
		12:14-13:23		81°50.0'N	10°29.1'W	1150	BO
				81°50.7'N	10°33.0'W	1500	
331		13:26-13:36		81°50.7'N	10°33.3'W	1500	BO
				81°50.9'N	10°30.3'W		
		14:05-16:36		81°53.9'N	10°20.0'W	2400	CTD
				81°54.9'N	10°09.7'W	1556	
		14:22-14:29		81°54.2'N	10°20.8'W	2390	Monrovia
				81°54.2'N	10°18.7'W	2390	Hydrophon
		14:29-20:34		81°56.0'N	09°54.1'W	2554	
				81°56.0'N	09°54.1'W	2554	
		14:37-14:58		81°54.3'N	10°18.2'W	2395	BO
				81°54.4'N	10°17.0'W	2440	
332	26.07.	15:20-18:05		81°54.6'N	10°13.6'W	2452	Livingston 100
				81°55.3'N	10°04.3'W	2526	
		18:20-19:49		81°55.4'N	10°03.5'W	2533	RO
				81°55.8'N	09°58.9'W	2574	
		22:27-22:36		82°04.7'N	09°31.6'W	2778	BO/VN
				82°04.7'N	09°30.7'W	2809	
		22:42-01:16		82°04.6'N	09°30.2'W	2781	CTD/RO
				82°04.3'N	09°23.6'W	2806	
		22:53-01:18		82°04.6'N	09°29.3'W	2785	Hydrophon
				82°04.3'N	09°23.5'W	2806	
27.07.		00:47-03:37		82°04.4'N	09°24.9'W	2800	BO
				82°04.0'N	09°18.1'W	2833	
		01:32-03:03		82°04.3'N	09°23.0'W	2810	Livingston 200
				82°04.2'N	09°19.1'W	2820	

19	Stat. No.	Date 1984	Time (GMT) Start End	Position	Depth (m)	Gear and Remarks
333			05:10-08:06	82°16.6'N 08°45.3'W	2922	RO/CTD
			08:12-08:22	82°15.8'N 08°36.6'W	2755	
			08:29-08:36	82°15.8'N 08°36.1'W	2719	BO
			08:41-11:40	82°15.7'N 08°35.8'W	2733	
			11:44-11:53	82°15.7'N 08°35.0'W	2794	Monrovia
			15:07-15:17	82°15.4'N 08°28.1'W	3222	BO/VN
			15:40-18:40	82°15.4'N 08°28.1'W	3222	
			16:15-16:24	82°15.5'N 08°27.3'W	3222	BO/VN
			15:40-19:04	82°15.5'N 08°26.6'W	3222	
			19:21-23:08	82°33.5'N 06°46.8'W	4044	BO
334			23:32-03:48	82°33.0'N 06°47.1'W	4044	Livingston
			03:48-05:21	82°33.0'N 06°47.9'W	4044	
			04:06-06:06	82°32.5'N 06°23.5'W	4330	BONGO
			-06:36	82°32.4'N 06°42.4'W	4155	
			10:37-13:23	82°32.0'N 06°38.0'W	4156	Rosi
			10:48-11:33	82°32.0'N 06°47.9'W	4044	Livingston
			11:05-11:14	82°32.2'N 06°21.6'W	4318	
			13:36-16:56	82°32.0'N 06°19.8'W	4327	Rosi
			13:51-14:15	82°32.5'N 06°18.3'W	4332	BO/VN
			28.07.	82°32.2'N 06°05.1'W	4563	
334			03:48-05:21	82°32.2'N 06°05.1'W	4563	Rosi
			04:06-06:06	82°32.1'N 06°04.2'W	4540	Livingston
			-06:36	82°31.6'N 05°57.1'W	4458	
			10:48-11:33	82°45.5'N 09°39.7'W	3251	CTD/RO
			11:05-11:14	82°45.8'N 09°48.7'W	3276	
			13:36-16:56	82°45.4'N 09°38.4'W	3253	Jig-Gerät
			13:51-14:15	82°45.8'N 09°39.8'W	3239	
			28.07.	82°45.9'N 09°40.1'W	3255	BO
			10:48-11:33	82°45.9'N 09°40.1'W	3261	
			11:05-11:14	82°44.4'N 09°49.8'W	3236	BO
335			13:36-16:56	82°45.0'N 09°39.5'W	3231	
			13:51-14:15	82°44.2'N 09°50.9'W	3234	Livingston 200
				82°43.9'N 09°53.0'W	3233	

Stat. No.	Date 1984	Time (GMT) Start End	Position		Depth (m)	Gear and Remarks
		14:23-15:45	82°43.8'N	09°53.6'W	3233	Jig-Gerät
			82°44.8'N	09°42.2'W	3233	
336	28.07.	18:33	82°50'0"N	09°24.3'W	3313	XBT
337		20:06	82°52.0'N	09°56.8'W	3307	XBT
338		21:04	82°56.9'N	10°06.7'W	3310	XBT
339		21:13	82°58.1'N	10°19.4'W	3310	XBT
340		21:36	83°00.0'N	10°28.1'W	3300	XBT
341	29.07	00:28	82°41.0'N	10°24.5'W	3139	XBT
342		01:57	82°34.0'N	08°48.5'W	3001	XBT
343		02:19	82°28.7'N	08°14.0'W	2901	XBT
344		02:40	82°25.4'N	07°44.2'W	3048	XBT
345		03:11	82°20.7'N	07°03.7'W	3413	XBT
346		03:48	82°15.1'N	06°13.5'W	3601	XBT
347		04:25	82°09.4'N	05°22.2'W	4121	XBT
348		04:56	82°05.7'N	04°40.0'W	3891	XBT
349		05:39	81°59.7'N	03°47.2'W	4091	XBT
350		07:06	81°55.3'N	04°16.7'W	3468	XBT
351		07:57	81°45.3'N	04°36.5'W	3981	XBT
352	29.07.	08:39	81°39.7'N	03°52.5'W	3251	XBT
353		09:33	81°35.3'N	03°04.7'W	4181	XBT
354		10:41-13:40	81°29.9'N	02°02.3'W	3150	CTD/RO
			81°28.6'N	02°01.3'W	3103	
		10:47-13:26	81°29.8'N	02°02.3'W	3150	Hydrophon
			81°28.7'N	02°01.5'W	3102	
		10:47-10:58	81°29.8'N	02°02.3'W	3150	BO/VN
			81°29.6'N	02°02.6'W	3150	
		11:05-11:14	81°29.5'N	02°02.8'W	3148	BO/VN
			81°29.4'N	02°02.9'W	3138	
		11:21-11:29	81°29.3'N	02°02.9'W	3138	Monrovia
			81°29.1'N	02°02.9'W	3122	
		11:37-12:30	81°29.0'N	02°02.6'W	3125	LVS 100
			81°29.3'N	02°03.8'W	3112	
355		14:39-14:49	81°26.3'N	02°47.4'W	3621	BO
			81°26.2'N	02°47.6'W	3653	
		14:54-15:13	81°26.2'N	02°47.7'W	3599	Monrovia
			81°26.5'N	02°45.4'W	3578	

→ 8	Stat. No.	Date 1984	Time (GMT) Start End	Position		Depth (m)	Gear and Remarks
356			15:03-18:10	81°26.0'N	02°47.9'W	3593	CTD
				81°25.1'N	02°47.8'W	3653	
			15:22-16:25	81°26.5'N	02°44.8'W	3567	Livingston
				81°26.0'N	02°47.0'W	3566	
			15:41-18:03	81°26.6'N	02°45.7'W	3556	Hydrophon
				81°25.2'N	02°47.8'W	3588	
			18:41-18:52	81°25.3'N	02°50.6'W	4049	BO
				81°25.4'N	02°54.4'W	4047	
			18:58-23:10	81°25.3'N	02°54.9'W	4048	BO
				81°24.5'N	02°54.4'W	3772	
357	30.07.		19:03:23:27	81°25.3'N	02°55.3'W	4047	Hydrophon
				81°24.4'N	02°54.7'W	3752	
358			01:13	81°17.2'N	03°42.7'W	4000	CTD-Station abgebrochen
359			02:52-05:40	81°06.4'N	04°11.0'W	3365	CTD
				81°06.7'N	04°17.2'W	3495	
			03:00-05:30	81°06.4'N	04°11.7'W	3371	Hydrophon
				81°06.8'N	04°16.7'W	3492	
			07:05	80°58.5'N	04°29.6'W	3022	XBT
			08:41	80°49.0'N	04°34.1'W	3105	XBT
			12:33-12:51	80°41.9'N	05°15.1'W	2988	Multinetz
				80°41.9'N	05°14.7'W	2988	
			13:00-16:10	80°41.5'N	05°13.8'W	2988	
			13:11-16:05	80°41.5'N	05°13.9'W	2985	CTD/RO
361				80°42.5'N	05°08.4'W	3008	
			13:28-13:43	80°41.4'N	05°14.6'W	2985	BO
				80°41.3'N	05°15.4'W	2987	
			13:53-14:37	80°41.9'N	05°12.4'W	2989	Livingston
				80°41.6'N	05°14.0'W	2997	
			16:35-17:47	80°42.2'N	05°09.4'W	3007	VN
				80°42.0'N	05°06.9'W	3009	
			08:53-09:23	77°32.3'N	05°43.0'W	417	MU
			09:28-10:28	77°32.4'N	05°41.9'W	459	
				77°32.3'N	05°41.8'W	483	CTD/RO
362	01.08.			77°31.8'N	05°40.7'W	581	
			10:36-11:18	77°31.8'N	05°40.5'W	600	MU
				77°31.3'N	05°39.7'W	644	

Stat. No.	Date 1984	Time (GMT) Start End	Position	Depth (m)	Gear and Remarks
363		11:26-11:42	77°31.3'N 05°39.6'W	645	BO
			77°31.2'N 05°39.2'W	655	
		11:49-11:57	77°31.1'N 05°39.1'W	654	Monrovia
			77°31.0'N 05°39.1'W	652	
		15:15-16:42	77°39.8'N 04°56.0'W	1140	CTD
			77°39.3'N 04°59.1'W	1071	
		15:15-16:42	77°39.8'N 04°56.0'W	1140	
		18:20-21:11	77°37.6'N 04°29.7'W	1881	RO
			77°32.9'N 04°35.7'W	1663	
		18:30-21:01	77°38.1'N 04°30.9'W	1879	Hydrophon
364			77°33.1'N 04°35.4'W	1583	
		19:18-19:28	77°36.3'N 04°33.5'W	1851	BO
			77°36.1'N 04°34.2'W	1818	
		19:50-21:38	77°34.8'N 04°32.1'W	1735	Livingston
			77°32.1'N 04°35.1'W	1496	
		23:41-00:52	77°38.4'N 04°34.4'W	1687	MU
			77°35.6'N 04°41.0'W	1592	
		23:54-01:15	77°37.5'N 04°37.0'W	1664	
			77°32.8'N 04°44.8'W	1585	
		01:00-02:10	77°32.8'N 04°41.2'W	1597	CTD
364 a	02.08.		77°32.8'N 04°44.8'W	1483	
		01:07-01:15	77°35.0'N 04°41.5'W	1589	Monrovia
			77°34.8'N 04°41.9'W	1585	
		02:25-03:02	77°33.3'N 04°44.6'W	1462	Multinetz
			77°32.9'N 04°47.5'W	1417	
		04:27-06:55	77°34.2'N 04°18.9'W	2455	Rosi
			77°29.7'N 04°14.1'W	2484	
		06:59-08:53	77°29.7'N 04°14.1'W	2484	Livingston
			77°27.3'N 04°11.7'W	2181	
		10:30	77°29.6'N 03°09.5'W	2786	XBT
366		12:26-15:17	77°39.7'N 02°29.4'W	3018	CTD
			77°37.9'N 02°28.2'W	3027	
367		12:47-15:06	77°39.6'N 02°29.7'N	3021	Hydrophon
			77°38.0'N 02°28.4'W	3027	

No.	Stat. No.	Date 1984	Time (GMT)		Position	Depth (m)	Gear and Remarks
			Start	End			
03.08	368/9	16:22	77°40.7'N	01°57.9'W	2809	XBT	
	370	18:23	77°40.4'N	00°31.9'W	3120	Livingston	
		20:58	77°40.2'N	00°28.3'W	3121	Livingston	
		21:12-22:30	77°40.3'N	00°27.6'W	3121	MU	
			77°39.8'N	00°24.7'W	3122		
		22:39-00:46	77°39.8'N	00°24.5'W	3126	CTD/R0	
			77°38.7'N	00°21.3'W	3130		
		00:55-01.58	77°38.7'N	00°21.4'W	3124	Multinetz	
			77°38.6'N	00°19.8'W	3127		
		02:05-02:13	77°38.6'N	00°19.7'W	3125	Monrovia	
			77°38.6'N	00°19.5'W	3128		
		02:19-02:30	77°38.4'N	00°21.1'W	3125	BO	
371			77°38.4'N	00°21.4'W	3125		
		02:33-05:16	77°38.4'N	00°21.5'W	3123	CTD	
			77°38.3'N	00°20.5'W	3126		
	371	06:34	77°38.3'N	00°32.2'W	3126	XBT	
		07:30	77°38.9'N	01°17.5'E	3173	XBT	
	372	08:19	77°39.6'N	01°56.8'E	3115		
	374	09:11-12:25	77°40.1'N	02°36.2'E	3105	CTD/R0	
			77°40.0'N	02°28.9'E	3105		
		09:20-11:38	77°40.1'N	02°30.3'E	3105	Hydrophon	
			77°40.0'N	02°29.6'E	3107		
		12:30-13:13	77°40.0'N	02°28.8'E	3105	Livingston	
			77°40.0'N	02°28.6'E	3105		
375		14:27	77°39.9'N	03°06.6'E	2936	XBT	
376		15:20	77°40.2'N	04°05.6'E	3000	XBT	
377		16:25	77°41.0'N	05°03.7'E	2939	XBT	
378		16:55-18:15	77°40.3'N	05°15.7'E	2462	VN	
			77°39.9'N	05°12.6'E	2430		
		18:20-18:36	77°39.9'N	05°12.6'E	2430	Monrovia	
			77°39.6'N	05°14.0'E	2429		
		18:41-18:53	77°39.6'N	05°14.0'E	2431	BO	
			77°39.2'N	05°15.3'E	2432		
		19:10-21:50	77°38.8'N	05°16.2'E	2454	Rosi	
			77°39.6'N	05°10.7'E	2482		
		21:58-22:41	77°39.6'N	05°10.5'E	2483	MU	

Stat. No.	Date 1984	Time (GMT) Start End	Position	Depth (m)	Gear and Remarks
			77°39.4'N 05°10.6'E	2490	
04.08.	22:55-00.08		77°39.6'N 05°10.9'E	2494	MU
			77°39.7'N 05°10.5'E	2497	
379	01:17-02:15		77°40.1'N 06°02.8'E	2480	XBT
380	02:15		77°39.8'N 06°54.4'E	1593	XBT
381	03:03-05:10		77°40.0'N 07°30.4'E	3520	Livingston
			77°39.7'N 07°32.8'E	3530	
	05:18-08:19		77°39.7'N 07°32.9'E	3526	Rosi
			77°39.5'N 07°34.0'E	3492	
382	09:51-11:05		77°40.1'N 08°31.3'E	2200	MU
			77°40.2'N 08°30.8'E	2208	
	11:15-13:35		77°40.2'N 08°30.7'E	2206	CTD/RO
			77°39.6'N 08°28.4'E	2204	
	13:13-13:28		77°39.7'N 08°28.6'E	2206	Monrovia
			77°39.6'N 08°28.4'E	2204	
	13:33-13:45		77°39.6'N 08°28.4'E	2204	BO
			77°39.5'N 08°28.3'E	2205	
	13:52-14:32		77°39.5'N 08°28.2'E	2207	Multinetz
			77°40.3'N 08°31.5'E	2201	
	15:08-16:05		77°40.5'N 08°82.6'E	2190	CTD
			77°40.4'N 08°32.7'E	2185	
383	17:45-19:08		77°39.5'N 09°43.7'E	1360	CTD
			77°40.4'N 09°43.3'E	1346	
384	20:12-21:07		77°40.4'N 10°22.8'E	813	MU
			77°40.6'N 10°23.7'E	797	
	20:49-21:25		77°40.5'N 10°23.4'E	801	Jig-Gerät
			77°41.0'N 10°21.7'E	788	
	21:32-21:44		77°40.7'N 10°21.3'E	820	Monrovia
			77°40.7'N 10°21.2'E	822	
	21:47-21:59		77°40.8'N 10°21.1'E	818	BO
			77°40.9'N 10°21.0'E	815	
	22:02-22:51		77°40.9'N 10°21.0'E	814	CTD/RO
			77°41.0'N 10°19.9'E	815	
	22:58-23:34		77°41.1'N 10°19.8'E	812	MU
			77°41.0'N 10°19.7'E	802	
	23:46-00:14		77°41.2'N 10°19.7'E	802	Livingston

172	Stat. No.	Date 1984	Time (GMT) Start End	Position	Depth (m)	Gear and Remarks
		05.08.				
385			01:30-02:04	77°41.3'N 10°19.4'E 77°40.0'N 11°18.1'E 77°39.9'N 11°19.0'E	801 298 300	Multinetz
			02:08-02:20	77°39.9'N 11°19.6'E	302	
			02:25-02:36	77°39.9'N 11°19.8'E	301	BO
				77°39.8'N 11°20.7'E	299	
			02:33-03:05	77°39.9'N 11°20.3'E	301	CTD
			02:55-03:19	77°39.8'N 11°21.5'E	297	Multinetz
				77°39.9'N 11°22.5'E	281	
386			10:35-12:00	76°59.8'N 16°07.1'E 76°59.9'N 16°07.1'E	56,0 55,0	Jig-Gerät
387			19:07-20:15	76°19.6'N 12°57.6'E 76°20.4'N 12°57.4'E	1524 1520	CTD
388	06.08.	07:24		74°32.7'N 15°16.1'E	1470	XBT
389		08:29		74°22.3'N 15°28.7'E	1600	XBT
390		09:13-10:24		74°17.7'N 15°34.2'E 74°18.4'N 15°33.3'E	1537 1617	MU
391		11:37		74°03.8'N 15°51.2'E	1919	XBT
392		12:15		73°55.6'N 15°59.5'E	430	XBT
393		13:15		73°41.8'N 16°13.6'E	439	XBT
394		14:15		73°28.2'N 16°27.0'E	459	XBT
395		15:15		73°17.3'N 16°25.0'E	488	XBT
396		16:15		73°03.7'N 16°39.6'E	457	XBT
397		17:15		72°50.6'N 16°55.1'E	408	XBT
398		18:13		72°38.0'N 17°10.9'E	368	XBT
399		19:13		72°24.5'N 17°27.5'E	362	XBT
400		20:21		72°10.0'N 17°43.2'E	353	XBT
401		21:49		71°50.4'N 18°07.1'E	283	XBT
402		22:39		71°39.0'N 18°18.0'E	266	XBT
403		23:32		71°26.4'N 18°27.1'E	242	XBT
404		01:00-05:49		71°10.0'N 18°33.6'E 71°10.0'N 18°32.4'E	160 160	Jig-Gerät
405		00:49		71°09.4'N 18°29.6'E	200	XBT
406		07:02		71°00.8'N 18°49.8'E	182	XBT
407		08:05		70°50.9'N 19°01.4'E	208	XBT , Ende ARC II/3

Stat. No.	Date 1984	Time (GMT) Start End	Position		Depth (m)	Gear and Remarks
410	10.08.	06:00-06:45	69°11.1'N	10°59.6'E	3000	Sed.Fallen-Verank.-Auslösung
		06:55-08:25	69°11.3'N	10°57.6'E	3000	Einholen der Verankerung
411		08:45-11:21	69°11.5'N	10°55.8'E	3000	CTD
			69°12.3'N	10°49.8'E	3000	CTD
412		09:41-09:51	69°12.2'N	10°50.2'E	3000	Secchi
		10:41-11:00	69°1122'N	10°52.4'E	3011	Planktonnetz
413			69°12.3'N	10°51.4'E	3011	Planktonnetz
		17:00-18:45	70°05.0'N	11°35.0'E	2888	GKG
414			70°06.2'N	11°34.5'E	2883	GKG
		19:00-22:10	70°06.2'N	11°34.5'E	2883	Profil 3
414		22:27-23.54	70°29.1'N	12°46.9'E	2645	Profilende
			70°30.0'N	12°50.0'E	2636	GKG
414			70°29.7'N	12°52.0'E	2638	GKG
		10./11.8.	70°29.6'N	12°52.3'E	2635	Profil 4
414			75°28.9'N	11°35.1'E	2180	Profilende
		00:03-04.50	75°50.3'N	11°30.4'E	2124	CTD
414		05:20-05:35	75°50.0'N	11°35.2'E	2098	CTD
			75°50.0'N	11°36.2'E	2100	CTD
414		06:10-07:30	75°49.8'N	11°37.9'E	2090	CTD
			75°49.6'N	11°27.6'E	2128	GKG
414		06:18-06:48	75°49.7'N	11°32.4'E	2112	GKG
			75°49.6'N	11°27.8'E	2129	MU
414		06:30-06:42	75°50.1'N	11°31.4'E	2129	MU
			75°49.9'N	11°29.9'E	2112	Planktonnetz
414		07:00-07:15	75°50.1'N	11°31.0'E	2120	Planktonnetz
			75°50.3'N	11°32.0'E	2114	MU
414		08:35-10:49	75°49.7'N	11°32.3'E	2109	MU
			75°50.2'N	11°29.6'E	2142	Sed.Fallen-Verankerung
414		10:51-10:57	75°51.4'N	11°28.7'E	2119	Ankergewicht zu Wasser
			75°51.3'N	11°28.7'E	2123	Sed.Fallen-Verankerung Ende
414		11:00-07:00	75°51.3'N	11°28.2'E	2123	Secchi
			75°51.3'N	11°28.0'E	2123	Secchi
414		11:00-07:00	75°51.6'N	11°26.5'E	2123	Profil 5
			78°52.9'N	04°03.4'E	2130	Profil 5 Ende

↓ Stat. No.	Date 1984	Time (GMT) Start End		Position		Depth (m)	Gear and Remarks	
415	13.08.	07:20-09:24		78°55.0'N	04°00.0'E	2510	CTD	
		07:26-08:31		78°54.4'N	04°02.9'E	2506	CTD	
		08:20-08:30		78°54.6'N	04°01.8'E	2513	MU	
		08:27-08:49		78°54.7'N	04°02.2'E	2526	MU	
		09:40-14:08		78°55.1'N	04°00.6'E	2526	Secchi	
		14:19-19:01		78°54.7'N	04°02.1'E	2506	Planktonnetz	
		19:42-23:49		78°54.9'N	03°59.1'E	2496	Profil 6/1	
		23:58-04:32		78°55.0'N	00°00.0'	2556	Ende Profil 6/1	
		04:45-09:15		78°56.3'N	00°00.0	2527	Profil 6/2	
	14.08.	09:24:13:44		78°56.3'N	04°00.8'E	2750	Ende Profil 6/2	
		13:54-18:15		78°57.3'N	03°59.6'E	2756	Profil 6/3	
		18:29-22:55		78°57.6'N	00°00.2'W	2518	Ende Profil 6/3	
		23:07-03:24		78°59.0'N	00°01.2'E	2576	Profil 6/4	
		03:34-08:00		78°59.0'N	04°00.0'E	2750	Ende Profil 6/4	
		08:34-12:55		79°00.1'N	03°59.7'E	2760	Profil 6/5	
		13:05-17:26		79°00.2'N	00°00.1'W	2598	Ende Profil 6/5	
		17:35-21:58		79°01.5'N	00°00.2'E	2618	Profil 6/6	
15.08.		21:58-05:58		79°01.6'N	004°0.0'E	2724	Ende Profil 6/6	
		00:00-00:00		79°02.8'N	04°00.0'E	2680	Profil 6/7	
		00:00-00:00		79°02.8'N	00°00.2'E	2630	Ende Profil 6/7	
		00:00-00:00		79°04.2'N	00°00.2'E	2660	Profil 6/8	
		00:00-00:00		79°04.0'N	04°00.2'E	2620	Ende Profil 6/8	
		00:00-00:00		79°05.3'N	04°00.0'E	2554	Profil 6/9	
		00:00-00:00		79°05.4'N	00°00.0'	2682	Ende Profil 6/9	
	16.08.	00:00-00:00		79°06.7'N	00°00.0'	2694	Profil 6/10	
		00:00-00:00		79°06.7'N	04°00.4'E	2520	Ende Profil 6/10	
		00:00-00:00		79°08.2'N	04°00.0'E	2528	Profil 6/11	
		00:00-00:00		79°08.0'N	00°00.0'	2703	Ende Profil 6/11	
		00:00-00:00		79°09.3'N	00°00.0'	2711	Profil 6/12	
	17.08.	00:00-00:00		79°09.3'N	04°00.0'E	2450	Ende Profil 6/12	
		00:00-00:00		79°10.8'N	03°59.0'E	2368	Profil 6/13	
		00:00-00:00		79°10.5'N	00°00.4'E	2724	Ende Profil 6/13	
		00:00-00:00		79°10.5'N	00°00.4'E	2724	Profil 7	
		00:00-00:00		78°53.0'N	04°57.0'W	1235	Ende Profil 7	

Stat. No.	Date 1984	Time (GMT) Start End	Position	Depth (m)	Gear and Remarks
416	16.08.	06:10-07:20	78°51.9'N 04°52.3'W	1229	CTD
		06:40-07:10	78°52.1'N 04°51.1'W	1254	CTD
		06:45-07:12	78°51.9'N 04°50.8'W	1242	MU
			78°52.1'N 04°51.1'W	1250	MU
		07:15-07:22	78°51.9'N 04°51.8'W	1242	Planktonnetz
			78°52.1'N 04°51.1'W	1242	Planktonnetz
		07:22-08:04	78°52.1'N 04°51.0'W	1249	GKG
			78°51.8'N 04°59.5'W	1249	GKG
		07:30-07:42	78°52.1'N 04°50.9'W	1250	MU
			78°52.1'N 04°50.6'W	1254	MU
		08:34-09:35	78°51.6'N 04°48.8'W	1263	Schwerelot
			78°51.2'N 04°48.2'W	1270	Schwerelot
417	12:05-13:48	78°56.0'N 03°56.4'W	2005	CTD	
		78°55.1'N 03°58.7'W	2029	CTD	
		12:20-12:50	78°55.4'N 03°58.4'W	2019	Planktonnetz
		13:02-13:04	78°55.4'N 03°58.4'W	2021	Secchi
		14:02-15:08	78°55.2'N 03°58.1'W	2028	Schwerelot
			78°54.6'N 03°58.8'W	2015	Schwerelot
		15:32-16:45	78°54.5'N 03°59.2'W	2012	GKG
			78°53.5'N 03°59.0'W	1979	GKG
		17:04-21:14	78°58.3'N 03°58.9'W	1993	Forts. Profil 7
		21:15-23:49	79°02.4'N 01°39.8'W	2636	CTD
418	17.08.	79°02.0'N 01°37.8'W	2638	CTD	
		21:24-21:50	79°02.4'N 01°39.9'W	2635	MU
			79°02.4'N 01°39.6'W	2637	MU
		22:10-22:25	79°02.3'N 01°39.3'W	2639	MU
			79°02.3'N 01°39.1'W	2639	MU
		21:28-21:53	79°02.4'N 01°39.9'W	2634	Planktonnetz
			79°02.4'N 01°39.6'W	2637	Planktonnetz
		22:13-22:15	79°02.3'N 01°39.2'W	2643	Secchi
		23:52-01:12	79°02.0'N 01°37.8'W	2639	GKG
			79°01.8'N 01°36.9'W	2642	GKG
17.08.	01:35-03:02	79°01.4'N 01°39.8'W	2641	Schwerelot	
		79°01.1'N 01°40.2'W	2644	Schwerelot	
17.08.	03:08-05:19	79°01.4'N 01°39.6'W	2642	Forts. Profil 7	

No.	Stat. No.	Date 1984	Time (GMT)		Position	Depth (m)	Gear and Remarks
			Start	End			
18.08.	419	19.08.	05:19-09:43		79°11.9'N 00°00.0'	2742	Ende Profil 7
					79°11.9'N 00°00.0'	2747	Profil 8/1
					79°11.9'N 04°00.1'E	2523	Ende Profil 8/1
			09:55-13:42		79°13.2'N 04°00.0'E	2885	Profil 8/2
					79°13.2'N 00°00.0'	2761	Ende Profil 8/2
			13:50-18:04		79°14.0'N 00°00.0'	2779	Profil 8/3
					79°14.0'N 04°00.0'E	2757	Ende Profil 8/3
			18:14-22:27		79°15.9'N 03°58.7'E	2530	Profil 8/4
					76°15.9'N 00°00.0'	2786	Ende Profil 8/4
			22:39-03:09		79°17.1'N 00°00.0'	2806	Profil 8/5
					79°17.1'N 04°00.0'E	2554	Ende Profil 8/5
			03:19-07:33		79°18.4'N 04°00.0'E	2702	Profil 8/6
					79°18.4'N 00°00.2'E	2821	Ende Profil 8/6
			07:48-12:35		79°19.7'N 00°00.2'E	2888	Profil 8/7
420					79°19.7'N 04°00.0'E	3078	Ende profil 8/7
			12:45-16:54		79°21.0'N 04°00.0'E	3048	Profil 8/8
					79°21.0'N 00°00.0'	2942	Ende Profil 8/8
			17:05-21:45		79°22.3'N 00°00.0'	2918	Profil 8/9
					79°22.3'N 04°00.0'E	3052	Ende Profil 8/9
			21:50-02:47		79°22.3'N 04°00.0'E	3052	Profil 9/1
					79°26.0'N 09°03.6'E	120	Ende Profil 9/1
			03:00-03:27		79°26.1'N 09°04.6'E	123	CTD
					79°26.2'N 09°05.6'E	122	CTD
			03:05-03:08		79°26.1'N 09°04.6'E	122	Secchi
			03:09-03:28		79°26.1'N 09°04.5'E	122	Planktonnetz
					79°26.2'N 09°04.0'E	122	Planktonnetz
			03:38-05:53		79°26.1'N 09°02.8'E	133	Profil 9/2
					79°24.1'N 06°58.5'E	1240	Ende Profil 9/2
			06:00-07:28		79°24.8'N 06°59.9'E	1246	CTD
					79°24.9'N 06°49.9'E	1257	CTD
			06:16-06:22		79°24.9'N 06°54.9'E	1250	Secchi
			06:20-06:57		79°24.9'N 06°54.7'E	1252	MU
					79°24.9'N 06°51.3'E	1258	MU
			06:23-06:43		79°24.9'N 06°54.4'E	1250	Planktonnetz
					79°24.9'N 06°52.9'E	1257	Planktonnetz
			07:35-08:17		79°24.9'N 06°49.3'E	1258	GKG

Stat. No.	Date 1984	Time (GMT) Start End		Position	Depth (m)	Gear and Remarks
421	20.08.	07:38-07:50	79°24.9'N	06°52.2'E	1264	GKG
			79°24.9'N	06°53.9'E	1258	MU
		08:20-11:28	79°24.9'N	06°53.3'E	1260	MU
			79°25.0'N	06°52.0'E	1264	Profil 9/3
		11:28-16:04	79°23.6'N	04°00.0'E	3155	Ende Profil 9/3
			79°23.6'N	04°00.0'E	3155	Profil 9/4
		16:13-18:10	79°23.5'N	00°00.0'	2956	Ende Profil 9/4
			79°23.3'N	00°01.5'W	2906	Profil 9/5
		18:10-18:35	79°10.6'N	01°56.9'E	3035	Ende Profil 9/5
			79°10.6'N	01°56.9'E	3035	Profil 9/6
		18:35-19:20	79°10.6'N	02°24.6'E	3654	Ende Profil 9/6
			79°10.6'N	02°24.6'E	3654	Profil 9/7
		19:20-20:01	79°06.7'N	03°13.7'E	5350	Ende Profil 9/7
			79°06.7'N	03°13.7'E	5350	Profil 9/8
		20:18-21:00	79°06.6'N	04°02.5'E	2512	Ende Profil 9/8
			79°04.1'N	04°02.0'E	2618	Profil 9/9
		21:19-22:12	79°04.1'N	03°30.9'E	3978	Ende Profil 9/9
			79°06.7'N	03°25.1'E	4888	Profil 9/8 (Wdh.)
		22:24-23:50	79°06.7'N	04°02.5'E	4888	Ende Profil 9/8
			79°06.7'N	04°02.0'E	2527	Profil 9/19
		00:00-04:27	79°07.9'N	02°48.2'E	5563	Ende Profil 9/10
			79°07.9'N	02°47.4'E	5564	GKG (nicht ausgelöst)
422		04:45-06:42	79°07.8'N	02°48.9'E	5560	GKG
			79°06.9'N	02°45.0'E	4075	Profil 10/1
		07:00-09:00	79°52.8'N	01°30.7'E	2541	Ende Profil 10/1
			78°52.7'N	01°29.6'E	2542	CTD
		07:06-07:13	78°52.2'N	01°24.4'E	2542	CTD
			78°52.7'N	01°29.5'E	2540	Secchi
		07:14-07:34	78°52.7'N	01°29.4'E	2540	Planktonnetz
			78°52.7'N	01°29.2'E	2535	Planktonnetz
		08:55-10:10	78°52.2'N	01°24.6'E	2500	GKG
			78°52.0'N	01°22.5'E	2500	GKG
		09:20-09:49	78°52.1'N	01°23.5'E	2500	MU
			78°52.1'N	01°23.2'E	2500	MU
L		09:49-10:26	78°52.0'N	01°22.5'E	2500	MU
		10:16-11:56	78°52.0'N	01°22.3'E	2116	CTD

178	Stat. No.	Date 1984	Time (GMT) Start End	Position	Depth (m)	Gear and Remarks
				78°51.7'N 01°20.9'E	2116	CTD
			11:58-14:00	78°51.7'N 01°20.9'E	2522	Kolbenlot
				78°51.6'N 01°17.9'E	2528	Kolbenlot
			14:53-17:00	78°52.3'N 01°28.3'E	2527	Sed.Fallen-Verankerung:Beginn
				78°52.5'N 01°24.2'E		Horchtest vom Schlauchboot
				78°52.5'N 01°22.5'E		Sed.Fallen-Verankerung:Ende
			17:17-00:31	78°51.6'N 01°25.7'E	2500	Profil 11/1
				77°10.4'N 01°55.6'W	3176	Ende Profil 11/1
	21.08.	01:50-12:15		77°02.7'N 01°49.3'W	3003	Weiterführung Profil 11/1
				74°35.0'N 06°23.2'W	3481	Ende Profil 11/1
423		12:30-18:05		74°33.8'N 06°24.9'W	3475	Sed.Fallen-Verankerung:Ansteuerung
		13:40		74°33.8'N 06°25.2'W		1.Auslösung
		14:17		74°33.7'N 06°28.7'W		2.Auslösung (keine Reaktion)
		18:05		74°33.7'N 06°26.2'W		Sed.-Fallen-Verankerung:Ende
		18:15-20:20		74°33.7'N 06°26.4'W	3476	CTD
				74°30.0'W 06°24.8'W	3477	CTD
		18:23-18:28		74°33.7'N 06°26.7'W	3476	Secchi
		18:29-19:00		74°33.6'N 06°27.0'W	3477	Planktonnetz
				74°33.8'N 06°26.3'W	3477	Planktonnetz
		18:55-19:40		74°33.7'N 06°26.1'W	3266	MU
				74°34.1'N 06°25.2'W	3365	MU
		20:35-21:54		74°33.7'N 06°25.7'W	3477	Sed.-Fallen-Verankerung: Auslösungen
				74°33.4'N 06°26.1'W		Suchkurse
		21:54-03:35		74°33.4'N 06°26.1'W		Profil 12
				73°49.1'N 09°59.3'W	3124	Ende Profil 12
	22.08.	03:30		73°49.0'N 09°59.4'W	3124	Profil 13/1, Seabeam-Test
		03:30-03:54		73°49.0'N 09°59.4'W	3124	Aussetzen Streamer
				73°48.5'N 09°57.3'W	3128	
		03:56-04:07		73°48.5'N 09°57.2'W	3128	Aussetzen Airgun
				73°48.2'N 09°56.2'W	3128	
		05:41-10:56		73°43.0'N 09°32.0'W	3073	Profil 13/1 Seismik
				73°27.1'N 08°17.2'W	3167	Ende profil 13/1
		12:15-17:17		73°22.7'N 08°28.8'W	3087	Profil 13/2 Seismik
				73°38.6'N 09°43.3'W	3030	Ende Profil 13/2
		18:44-24:00		73°34.2'N 09°55.0'W	3000	Profil 13/3
				73°18.3'N 08°40.8'W	3109	Ende Profil 13/3

Stat. No.	Date 1984	Time (GMT)		Position	Depth (m)	Gear and Remarks
		Start	End			
424	24.08.	23.08.	00:12-04:20	73°17.7'N 08°40.3'W	3110	Profil 13/4
			04:20-12:07	73°13.4'N 09°33.2'W	3126	Ende Profil 13/4
			13:56-22:30	73°13.4'N 09°33.2'W	3126	Profil 13/5
				73°43.3'N 08°13.7'W	3211	Ende Profil 13/5
			23:42-05:31	73°46.3'N 08°28.0'W	3206	Profil 13/6
				73°16.0'N 09°48.6'W	2925	Ende Profil 13/6
				73°19.0'N 10°02.5'W	2942	Profil 13/7
				73°43.0'N 09°00.0'W	3112	Ende Profil 13/7
		07:46-08:15	73°32.5'N 09°08.3'W	478	Dredge	
			08:50-09:30	73°32.2'N 09°06.3'W	364	Dredge
425	01.09.	09:45-10:45	73°32.3'N 09°08.9'W	785	Dredge	
				73°31.5'N 09°05.5'W	1491	Dredge
				73°31.3'N 09°04.1'W	1579	Dredge
				73°31.8'N 09°04.8'W	540	Dredge , Ende ARC II/4
		10:09-10:39	66°53.8'N 08°02.9'W	656	GKG	
426		12:00-12:35	66°59.9'N 07°44.4'W	989	GKG	
427		15:55-16:50	67°30.1'N 08°22.0'W	1543	GKG	
428		21:36-22:32	68°10.0'N 09°35.2'W	1886	GKG	
429	02.09	12:00:13:02	68°18.1'N 03°40.0'E		GKG	
		13:24-14:15	68°18.0'N 03°38.5'E		Wdh.GKG	
430	03.09.	08:00-09:48	69°20.8'N 04°26.6'W	3485	GKG	
		10:30-11:42	69°21.1'N 04°17.5'W	3485	SL 12 m	
431		16:30-17:35	69°22.3'N 06°32.4'W	2710	SL 12 m	
		17:52-19:12	69°22.5'N 06°31.3'W	2716	GKG	
432	04.09	08:50-10:00				Beobachter abgesetzt auf Jan-Mayen
		14:10-14:40	70°21.3'N 07°18.8'W	1093	Auslage OBS 10, Profil 2	
		16:15-16:42	70°05.9'N 07°20.7'W	1552	Auslage OBS 15, Profil 2	
		18:14-18:25	69°51.5'N 07°23.8'W	1640	Auslage T-OBS "Speedy", Profil 2	
		19:56-20:01	69°36.0'N 07°27.3'W	2249	Auslage T-OBS "Vincent", Profil 2	
433	4./5.9.	22:58-07:20				Wdh. von 435, Profil 2
		06:47-07:20				CTD-Sonde, Profil 2
434	05.09.	08:06-15:54	70°21.4'N 07°16.2'W			Profil 2
		-19:12	69°29.1'W 07°28.7'W			Einholen T-OBS "Vincent", Profil 2
		21:00-22:51	69°36.1'N 07°27.3'W	2244		
435			69°51.5'N 07°24.1'W	1800		
						Suche nach T-OBS "Speedy" Verlust, Profil 2

Stat. No.	Date 1984	Time (GMT) Start End		Position	Depth (m)	Gear and Remarks
		00:25-01:22	03:02-03:36			
433	06.09.	00:25-01:22	70°06.0'N 07°20.9'W	1538		Einholung OBS 15, Profil 2
432		03:02-03:36	70°20.9'N 07°17.6'W	1038		Einholen OBS 10, Profil 2
436		06:13-06:38	70°41.4'N 07°44.3'W	1161		Auslage OBS 24, Profil 3
437		09:19-09:38	70°16.3'N 07°44.5'W	1011		Auslage OBS 15, Profil 3
438		-15:54	69°51.7'N 07°42.1'W	850		Auslage T-OBS "Arkti", Profil 3
439		18:15-18:58	69°36.5'N 07°42.7'W	1605		Auslage COBOBS, Profil 3
440		-20:50	69°34.3'N 07°42.0'W	1660		Auslage T-OBS "Hägar", Profil 3
		20:59-21:49	69°34.3'N 07°42.0'W	1660		CTD-Sonde, Profil 3
	6./7.9.	23:18-09:40				Wdh. von 440-436 je 6 sm um die Aufnehmer
	07.09.	10:05	70°41.1'N 07°44.3'W			EXP von 436-440, Profil 3
		-18:55	69°34.3'N 07°42.0'W			Ende EXP, Profil 3
			69°34.2'N 07°42.6'W	1660		Suche nach T-OBS "Hägar"-Verlust, Profil 3
439	08.09.	-00:18	69°36.2'N 07°42.7'W	1605		Einholen COBOBS beendet, Profil 3
438		-03:48	69°51.2'N 07°43.2'W	850		Einholen T-OBS "Arkti", Profil 3
437		-06:33	70°16.2'N 07°44.0'W	1011		Einholen OBS 15, Profil 3
436		-10:38	70°41.2'N 07°44.8'W	1161		Einholen OBS 24, Profil 3
441	09.09.	02:00-03:03	69°49.2'N 05°13.4'W	3172		Auslage OBS 10, Profil 1
442		05:45-06:08	69°50.6'N 06°26.1'W	2588		Auslage T-OBS "Vincent", Profil 1
443		08:42-08:49	69°51.6'N 07°23.4'W	1645		Auslage T-OBS "Arkti", Profil 1
444		-10:27				Auslage COBOBS abgebrochen, Profil 1
445		12:00-13:00	69°52.6'N 08°16.2'W	793		CTD-Sonde, Profil 1
			69°52.6'N 08°16.2'W			EXP von 445-441, SB+ 3,5 kHz, Profil 1
			69°49.2'N 05°13.4'W			Ende EXP, Profil 1
441	10.09.	00:26-01:38	69°51.9'N 05°15.3'W	3160		Einholen OBS 10, Profil 1
442		04:25-05:30	69°50.6'N 06°24.6'W	2580		Einholen T-OBS "Vincent, Profil 1
443		09:36-09:42	69°51.1'N 07°24.1'W	1788		Einholen T-OBS "Arkti", Profil 1
446		15:00-15:45	69°01.1'N 08°01.9'W	1350		Auslage COB-OBS, Profil 4
		17:30-18:30	69°12.0'N 08°04.4'W	941		CTD, Profil 4
447		18:34-18:51	69°12.0'N 08°04.4'W	941		Auslage OBS 15, Profil 4
448		-19:29	69°13.5'N 08°06.6'W	968		Auslage T-OBS "Arkti", Profil 4
		21:00-08:15				Ag (Pos. 1 2 3 4) SB, 3,5 kHz
	11.09.	10.05	69°00.5'N 08°02.8'W			EXPL, SB, 3,5 kHz Anfang, Profil 4
		-18:15	70°22.2'N 08°21.4'W			EXPL, SB, 3.5 kHz Ende, Profil 4
		18:32	70°22.2'N 08°18.4'W			Profil 1sm östl. von 4, SB, 3,5 kHz, Profil 4 c
		-21:00	69°52.6'N 08°11.6'W			Ende, Profil 4 c
		21:15-22:20	69°52.6'N 08°16.2'W			Einholen OBS 24

Stat. No.	Date 1984	Time (GMT) Start End	Position	Depth (m)	Gear and Remarks
		22:39	69°52.6'N 08°11.6'W		
		-00:22	69°32.5'N 08°07.1'W		Profil 1 sm östl. von 4, SB 3.5 kHz
12.09.		01:15-01:24	69°32.0'N 07°48.3'W		Ende, Profil 4 c
		05:00-05:55	69°30.8'N 08°31.8'W		Aussetzen AG, Pos. 5, Profil 4 b
		06:00	69°30.8'N 08°31.8'W		Einholen AG, Pos. 6, Profil 4 b
		-07:40	69°32.0'N 07°48.3'W		EXPL. Pos. 6, Profil 4 b
		09:13	69°20.4'N 08°07.8'W		EXPL. Ende Pos. 5, Profil 4 b
		-11:45	69°08.4'N 08°04.8'W		WG Anfang Pos. 1
					WG Ende Pos. 2
448		12:22-12:41	69°14.4'N 08°06.3'W	966	Aufnahme T-OBS "Arkti"
447		13:02-13:38	69°12.4'N 08°05.8'W	936	Aufnahme OBS 15
446		15:00-15:55	69°01.5'N 08°03.1'W	1450	Aufnahme COB-OBS
		17:04-17:32		1038	Aussetzen TGS mit WG nördl. Pos. 4/3, SB, 3,5 kHz
		08:25	69°29.2'N 08°11.0'W		Richtungsänderung, SB, 3,5 kHz
		16:09-17:11	69°22.0'N 08°40.0'W		Einholen TGS, SB, 3,5 kHz
449		18:05-19:04	69°22.0'N 08°40.0'W	2122	GKG, SB, 3,5 kHz
		19:55-20:41	69°22.0'N 08°40.0'W	-2162	SL (12 m) SB, 3,5 kHz
		20:51-22:18	69°22.0'N 08°40.0'W	-2162	CTD-Sonde SB, 2,5 kHz
450	14.09.	03:08-04:08	69°23.0'N 10°47.0'W	1750	SL (12m), SB, 3,5 kHz
		04:58-05:46	69°23.0'N 10°47.0'W	1750	GKG (ohne Erfolg), SB, 3,5 kHz
451		10:08-10:54	69°23.0'N 12°55.0'W	1902	GKG (ohne Erfolg), SB, 3,5 kHz
		12:02-13:00	69°23.0'N 12°55.0'W	-18613	GKG, SB, 3,5 kHz
		12:34-14:37	69°23.0'N 12°55.0'W	1902	SL (12 m), "Banane", SB, 3.5 kHz
		16:00-16:41	69°23.0'N 12°55.0'W	1902	SL (12 m), SB, 3,5 kHz
452	15.09.	04:10-04:41	69°29.5'N 17°07.0'W	1400	SL (12 m), 3.5 kHz
		05:02-05:43	69°29.5'N 17°07.0'W	1400	GKG, SB, 3,5 kHz
453		13:35-14:02	70°00.0'N 21°07.0'W	500	GKG, SB, 3,5 kHz
		14:32-14:49	70°00.0'N 21°07.0'W	500	SL (12 m), SB, 3.5 kHz
		15:48-16:05	70°00.0'N 21°07.0'W	500	SB, 3,5 kHz
		16:12-16:40	70°00.0'N 21°07.0'W	500	CTD, SB, 3,5 kHz
454		20:15-20:43	69°29.8'W 19°28.2'W	858	BG
455		22:15-23:30	69°22.6'N 19°08.7'W	1500	CTD, Ende ARC II/5

Bezeichnung der eingesetzten Geräte

AG	Airgun
BG	Backengreifer
BO	Bongo
COB-OBS	Ozeanbodenseismograph
CTD	Temperatur-Leitfähigkeitssonde
EG	Strommesserankerung, Univ. of Washington
EXPL	Explosion
FS	Strommesserankerung, Univ. of Washington
GKG	Großkastengreifer
LVS	Livingston-Gerät
MU	Multinetz
MX	Strommesserankerung, Univ. of Washington
PLA	Planktonnetz
RAMSES	Mikro-Fernerkundung
RO, Rosi	Kranz mit Wasserschöpfern
SL	Schwerelot
T-OBS	Ozeanbodenseismograph
VN	Vertikalnetz
WG	Watergun
XBT	Bathy-Thermograph

BETEILIGTE INSTITUTE (PARTICIPATING INSTITUTIONS)

	Institutsadresse	Expeditions- teilnehmer	Fahrtabschnitte (FS "Polarstern")
Bundesrepublik Deutschland			
AWI	Alfred-Wegener-Institut für Polarforschung Columbus-Center 2850 Bremerhaven	22	1,2,3,4
DFVLR	Deutsche Forschungs- und Versuchs- anstalt für Luft- und Raumfahrt e.V. 8031 Oberpfaffenhofen		
DHI	Deutsches Hydrographisches Institut Bernhard-Nocht-Straße 78 2000 Hamburg 4	4	1,2,3
GIB	Geologisches Institut Ruhr-Universität Bochum Universitätsstraße 150 4630 Bochum-Querenburg	1	4
GL	Germanischer Lloyd (GL) Vorsetzen 32 2000 Hamburg 11	5	1
GPI	Geologisch-Paläontologisches Institut und Museum, Christian- Albrechts-Universität Olshausenstraße 40 2300 Kiel	15	4,5
HDW	Howaldswerke Deutsche Werft AG Postfach 6309 2300 Kiel 14	1	1
HL	Hapag-Lloyd Transport & Service GmbH Geo-Plate-Straße 2850 Bremerhaven-Kaiershafen	2	1
HSVA	Hamburgische Schiffbau-Versuchs- anstalt GmbH Bramfelder Straße 164 2000 Hamburg 60	11	1
HSW	Helicopter-Service Claus Wasserthal Kätnerweg 43 2000 Hamburg 65	5	1,2,3

IAP	Institut für Angewandte Physik Christian-Albrechts-Universität Olshausenstraße 40 2300 Kiel	2	4
IEH	Institut für Erdvermessung Universität Hannover Astronomische Station Nienburger Straße 5 3000 Hannover 1	2	4
IFMH	Institut für Meeresforschung Universität Hamburg Heimhuder Straße 71 2000 Hamburg 13		
IfMK	Institut für Meereskunde der Christian-Albrechts-Universität Düsternbrooker Weg 20 2300 Kiel 1	6	2, 4, 5
IGH	Institut für Geophysik Universität Hamburg Bundesstraße 55 2000 Hamburg 13	12	4, 5
IGK	Institut für Geophysik Christian-Albrechts-Universität Olshausenstraße 40 2300 Kiel	4	4
IHF	Institut für Hydrobiologie und Fischereiwissenschaften Zeisseweg 9 2000 Hamburg 50		
IPÖ	Institut für Polarökologie Christian-Albrechts-Universität Olshausenstraße 40 - 60 2300 Kiel	1	3
JAST	Jastram-Werke Billwerder Billdeich 2000 Hamburg-Bergedorf	1	1
LH	Deutsche Lufthansa AG Abteilung LM5 Von-Gablenz-Straße 2 - 6 5000 Köln 21	2	4
MIH	Meteorologisches Institut der Universität Hamburg Bundesstraße 55 2000 Hamburg 13	3	2

MIM	Meteorologisches Institut der Universität Mainz Anselm-F.-von-Bentzel-Weg 6500 Mainz	2	1
MPIfM	Max-Planck-Institut für Meteorologie Bundesstraße 55 2000 Hamburg 13	1	2
NDR	Norddeutscher Rundfunk Kiel Postfach 34 80 2300 Kiel	5	1,3
PS	Prakla-Seismos GmbH Buchholzer Straße 100 3000 Hannover 51	1	4
RGE	Firma Ruhrgas Postfach 4300 Essen	1	1
SFB 94	Sonderforschungsbereich 94 der Universität Hamburg Bundesstraße 55 2000 Hamburg	3	2
SWA	Deutscher Wetterdienst Seewetteramt Bernhard-Nocht-Straße 76 2000 Hamburg 4	4	1,2,3,4,5
RWTH	Rheinische Westfälische Technische Hochschule Worringer Weg 5100 Aachen	2	2
THW	Technisches Hilfswerk Carl-Cohn-Straße 36-38 2000 Hamburg 60	1	5
TNSW	Thyssen-Nordsee-Werke GmbH Postfach 2900 Emden	2	1
TUHH	Technische Universität Hamburg-Harburg Harburger Schloß 20 2000 Hamburg 90	3	1
VTG	Vereinigte Tanklager und Transportmittel GmbH Postfach 10 06 60 2800 Bremen 1	1	1

Frankreich

CNES	Centre Nationale d'Etudes Spatiales 18 Avenue Edouard Belin 31055 Toulouse	2	2
IFP	Institut Francais du Pétrole Paris	1	5
IFRE	Institut Francais de Recherche et d'Exploitation Centre de Brest, Brest	1	5
IPG	Institut Physique du Globe Paris	1	5
LOP	Laboratoire d'Oceanographie Physique de Musée Naturelle d'Histoire Naturelle, 43 Rue Cuiver 75231 Paris Cedex 05	1	2

Großbritannien

NS	New Scientist Commonwealth House 1-19 New Oxford Street London WC1 1NG	1	3
SPRI	Scott Polar Research Institute Lensfield Road Cambridge CB2 1ER	4	2

Kanada

AES	Atmospheric Environment Service Ice branch 365 Laurier Av.-W. Ottawa, Ontario K1A 0H3	3	1
BIO	Bedford Institute of Oceanography P.O. Box 1006 Dartmouth, Nova Scotia Kanada B2Y 4A2	2	2
CCG	Canadian Coast Guard Canada	2	1
IAC	Indian Affairs Canada	1	1
NRC	National Research Council of Canada Division of Building Research Geotechnical Section Ottawa, Ontario K1A 0R6	3	1

TDC Transport & Development Center Canada 1
 1000 Sherbrooke Street-W.
 P.O.box 549, Place de L'avitation
 Montreal, Quebec H3A 2R3

Norwegen

GPIB	Geophysical Institute University of Bergen 5014 Bergen	3	2,3
IGO	Institutt for geologi Universitetet i Oslo Postboks 1047, Blindern Oslo 3	1	4
NPI	Norsk Polar Institutt Rolfstangveien 12 1330 Oslo-Lufthavn	5	3
UBJ	Universitetet i Bergen Jordskjelvstasjonen 5014 Bergen-U.	1	5

Schweden

UG	University of Göteborg Göteborg	1	2
UL	University of Lund Dept. of Radiation Physics Lasarettet 22185 Lund	1	3
UST	University of Stockholm 10691 Stockholm		

Vereinigte Staaten von Amerika

BLOS	Bigelow Laboratory for Ocean Sciences 1 Boothbay, Maine	2	
BNL	Brookhaven National Laboratory Building 318 Upton, NY 11973	1	2
CaTe	California Institute of Technology Pasadena, California 91125	1	3
CRREL	US Army Cold Regions Research and Engineering Laboratory 72 Lymne Road Hannover, NH 03755	5	1,2

ERIM	Environmental Research Institute of Michigan P.O. Box 8618 Ann Arbor, Michigan 48107	2	2
LDGO	Lamont-Doherty Geological Observatory Palisades, NY 10964	3	2,3
NPS	Naval Postgraduate School Dept. of Oceanography, Code 680j Monterey, California 93940	1	2
ONR	Office of Naval Research Arctic Programs, Code 425 AR 800 N. Quincy Street Arlington, Virginia 22217	2	2,4
RSLUK	University of Kansas Remote Sensing Laboratory 22291 Irving Hill Drive Lawrence, KS 66045	1	2
SIO	Scripps Institution of Oceanography La Jolla, California 92093	4	3
UW	University of Washington School of Oceanography Seattle, Washington 98195	2	2,3
WHOI	Woods Hole Oceanographic Institution Woods Hole, Massachusetts 02543	4	3,4

LISTE DER FAHRTTEILNEHMER (PARTICIPANTS) auf FS "POLARSTERN"

1. FAHRTABSCHNITT - FIRST LEG

Name	Vorname (Surname)	Institut (Institution)	Fach (Discipline)
Asmus	Ken	AES	Meereis
Astheimer	Ulrike	AWI	Rechner
Barbour	William	-	Beobachtung
Beckmann	Hans-Jürgen	HL	Schiffstechnik
Blanke	Arend	TNSW	Beobachter
Brahms	Rolf-Hermann	VTG	Beobachter
Burkat	Dieter	MIM	Meteorologie
Burmeister	Karl-Heinz	NDR	Journalist
Csullion	John	IAC	Beobachter
Dentler	Frank-Ulrich	SWA	Bordwetterwarte
Dimmler	Werner	AWI	Elektronik
Edmunds	Sharon	-	Beobachtung
Evers	Karl-Ulrich	HSVA	Technik
Frederking	Robert	NRC	Technik
Göth	Rüdiger	GL	Technik
Götze	Hans-Jürgen	GL	Technik
Gow	Anthony J.	CRREL	Technik
Grabe	Günther	TUHH	Technik
Greuner	H. P.	RGE	Beobachter
Grinstead	John	CCG	Beobachter
Groth	Heiner	GL	Technik
Hackbarth	Günther	HSVA	Technik
Hellmann	Jens-Holger	HSVA	Technik
Henning	Klaus	HL	Schiffstechnik
Hiller	Wolfgang	AWI	Rechner
Hoffmann	Lutz	HSVA	Technik
Hosemann	Gert	NDR	Journalist
Isaac	Donald	AES	Meereis
Keating	Kathleen	HSVA	Dokumentation
Kirndörfer	Georg	NDR	Journalist
Klehe	Hans-Jörg	HDW	Techn./Beobachter
Klimsa	Werner	HSVA	Technik
Kojak	Apa	-	Beobachter
Krause	Hans	AWI	Rechner
Laframboise	Jacques	TDC	Beobachter
Lemke	Dieter	HSVA	Technik
Lundström	Volker	HSW	Hubschr./Technik
Lydorf	Uwe	HSVA	Technik
Martinson	Carl	CRREL	Technik
Mockenhaupt	Rainer	HSW	Hubschr./Pilot
Müller	Lutz	GL	Technik
Murdy	Dave	NRC	Technik
Nash	William	CCG	Beobachter
Ohlendorf	Hans	SWA	Bordwetterwarte
Ramseier	René	AES	Meereis
Rauße	Friedrich	TUHH	Vermessung
Sasse	Ingo	GL	Technik
Schüler	Oskar	TNSW	Techn./Beobachter
Schulze-Elshof	Hartmut	HSW	Hubschrauber/Pilot
Schütz	Lothar	MIM	Meteorologie
Schütz	Hans	HSW	Hubschr./Pilot

Schum	Günther	TUHH	Vermessung
Schwarz	Joachim	HSVA	Techn./Fahrtleiter
Sprunk	Bruno	HSVA	Technik
Strübing	Klaus	DHI	Meereis
Tattiniaux	Jean-Claude	CRREL	Technik
Timco	Garry	NRC	Technik
Weiß	Friedrich	JAST	Technik
Wolff	Karsten	HSVA	Technik

2. FAHRTABSCHNITT - SECOND LEG

Anderson	Leif	UG	Chemie
Augstein	Ernst	AWI	Koordin./Fahrtl.
Baranski	Beate	AWI	Meteorologie
Barthel	Klaus-Günther	IfMK	Biologie
Baumann	Marcus	RWTH	Biologie
Böhmer	Wolfgang	MIH	Meteorologie
Bohrer	Richard	AWI	Biologie
Brecht	Heinz.-H.	MIH	Meteorologie
Bröring	Joachim	AWI	Ozeanographie
Buens	Ilse	SFB 94	Biologie
Burns	Barbara	ERIM	Fernerkundung
Chapuis	Emile	CNES	Fernerkundung
Cowan	Andrew	SPRI	Photographie
Darnall	Clark H.	UW	Ozeanographie
Dentler	Frank Ulrich	SWA	Bordwetterwarste
Flenner	Gunnar	AWI	Meteorologie
Frey	Helmut	AWI	Ozeanographie
Gow	Anthony	CRREL	Meereis
Gradinger	Rolf	IfMK	Biologie
Hirche	Hans Jürgen	AWI	Biologie
Hoeber	Heinrich	MIH	Meteorologie
Horn	Dean A.	ONR	Koordination
Ito	Hajime	AWI	Meereis
Johannessen	Ola	GPIB	Koordination
Jones	Peter	BIO	Chemie
Kattner	Gerhard	SFB 94	Chemie
Kelley	Peter J.	BLOS	Biologie
Koltermann	Klaus Peter	DHI	Ozeanographie
Krause	Hans	AWI	Rechner
Lane	Peter V.	BNL	Biologie
Larson	R.	ERIM	Fernerkundung
Lenz	Jürgen	IfMK	Biologie
Lundström	Volker	HSW	Hubschrauber
Manley	Tom	LDGO	Ozeanographie
Menzel	Wolfgang	HSW	Hubschrauber
Mockenhaupt	Rainer	HSW	Hubschrauber
Moore	S.	SPRI	Meereis
Ohlendorf	Hans	SWA	Bordwetterwarste
Onstott	Robert	RSLUK	Fernerkundung
Richez	Claude	LOP	Ozeanographie
Rick	Hans Josef	RWTH	Biologie
Schgounn	Catherine	CNES	Fernerkundung
Schriever	Dirk	MPIfM	Meteorologie
Schütt	Monika	SFB 94	Biologie
Schütz	Hans	HSW	Hubschrauber
Sellmann	Lutz	AWI	Meteorologie
Smith	Walker O.	NPS	Biologie

Squire	Vernon	SPRI	Meereis
Strübing	Klaus	DHI	Meereis
Tüg	Helmut	AWI	Elektronik
Tucker III	William B.	CRREL	Meereis
Wadhams	Peter	SPRI	Meereis
Wamser	Christian	AWI	Meteorologe
Weeks	Wilson	CRREL	Meereis
Zemlyak	Frank	BIO	Chemie

3. FAHRTABSCHNITT - THIRD LEG

Bassek	Dieter	SWA	Bordwetterwarte
Casso	Susan	WHOI	Chemie
Castello	Jim	SIO	Chemie
Chipman	David	LDGO	Chemie
Diehl	Sabine	AWI	Biologie
Erlingsson	Björn	NPI	Glaziologie
Field	Timothy	SIO	Chemie
Foldvik	Arne	GPIB	Ozeanographie
Frikke	John	NPI	Biologie
Gjertz	Ian	NPI	Biologie
Günther	Johanna	SWA	Bordwetterwarte
Haberstroh	Doris	AWI	Biologie
Hallstadius	Lars	UL	Chemie
Hempel	Gotthilf	AWI	Biologie
Hempel	Irmtraut	IPÖ	Biologie
Koltermann	Klaus Peter	DHI	Ozeanographie
Linnehol	Björn	NPI	Biologie
Livingston	Hugh	WHOI	Chemie
Lüthje	Herbert	DHI	Phys.Ozeanogr.
Lydersen	Christian	NPI	Biologie
Menzel	Wolfgang	HSW	Hubschrauber
Mills	Stephan	NS	Journalist
Muus	David	SIO	Chemie
Piatkowski	Uwe	AWI	Biologie
Schmidt-Walther	Peer	NDR	Journalist
Schütz	Hans	HSW	Hubschrauber
Smethie	William	LDGO	Chemie
Spies	Annette	AWI	Biol.Ozeanogr.
Stordall	Mary	CaTe	Chemie
Swift	James	SIO	Phys.Ozean./Chemie
Torresen	Tor	GPIB	Ozeanographie
Tripp	Richard	UW	Phys.Ozeanographie
Wirtz	Reinhardt	NDR	Journalist
Wöckel	Peter	DHI	Ozeanographie

4. FAHRTABSCHNITT - FOURTH LEG

Andresen	Olaf	IGH	Geophysik
Asper	Vernon	WHOI	Ozeanographie
Bassek	Dieter	SWA	Bordwetterwarte
Bleil	Ulrich	GIB	Geophysik
Bohrmann	Gerhard	GPI	Geologie
Cherkis	Norman	ONR	Geologie
Fiedler	Horst	GPI	Technik
Fischer	Gerhard	GPI	Geologie
Gehrmann	Thomas	IGK	Geophysik

Grahl	Wolf-D.	IGK	Technik
Grünig	Sigrun	AWI	Geologie
Günther	Johanna	SWA	Bordwetterwarte
Henrich	Rüdiger	GPI	Geologie
Hillermann	Elke	IGH	Techn.Ass.
Honjo	Suzumu	WHOI	Ozeanographie
Jedicke	Frank	IGK	Geophysik
Koeve	Wolfgang	IfMK	Biologie
Linke	Peter	IfMK	Biologie
Lutter	Ulrich	IAP	Ozeanographie
Meyer	Ulrich	IEH	Kartographie
Mülhan	Norbert	GPI	Geologie/Technik
Ostermann	Dorinda	WHOI	Ozeanogr./Technik
Phillips	Dennis	LH	Journalist
Reil	Werner	PS	Geodäsie
Sarnthein	Michael	GPI	Geologie
Schaible	Wolfram	LH	Photograph
Schenke	Hans-Werner	AWI	Geol./Seabeam
Schmidt	Michael	IAP	Ozeanographie
Schreiber	Reinhold	IGK	Geophysik
Schuchardt	A.	IEH	Geodäsie
Stabell	Björg	IGO/GPI	Paläontologie
Thiede	Jörn	GPI	Paläont./Fahrtl.
Wefer	Gerold	GPI	Geologie
Zahn	Rainer	GPI	Geologie

5. FAHRTABSCHNITT - FOURTH LEG

Altenbach	Alexander	GPI	Paläontologie
Andresen	Olaf	IGH	Geophysik
Avedik	Felix	IFRE	Geophysik
Bassek	Dieter	SWA	Bordwetterwarte
Birgisdottier	Lovina	GPI	Geologie
Dreves	Erno	IGH	Techniker
Gallart	Jose	IPG	Geophysik
Gebhardt	Volkmar	IGH	Geophysik
Grotkopp	Jan	IGH	Geophysik
Günther	Johanna	SWA	Bordwetterwarte
Herber	Rolf	IGH	Physik
Hillermann	Elke	IGH	Tech.Ass.
Klussmann	Jürgen	IGH	Geoph./Seismol.
Locke	Sigurd	GPI	Geologie
Lundbeck	Holger	THW	Technik
Lutze	Gerhard-F.	GPI	Geologe
Neuhaus-Steinmetz	Hermann	IGH	Physik
Niemann	Volkmar	IGH	Geophysik
Nuppenau	Volker	IGH	Elektronik
Pinet	Bertrand	IFP	Geophysik
Rahal	Mohamed	IGH	Geophysik
Reimers	Wolfgang	GPI	Tech.Ass.
Romero	Marina	IfMK	Biologie
Salomon	Brigitte	GPI	Tech.Ass.
Sandvoll	M.	UBJ	Geologie
Weigel	Wilfried	IGH	Geoph./Fahrtl.